

RĪGAS TEHNISKĀ UNIVERSITĀTE

Materiālzinātnes un lietišķās ķīmijas fakultāte

Organiskās ķīmijas tehnoloģijas institūts

Bioloģiski aktīvo savienojumu ķīmijas tehnoloģijas katedra

Olga BOBIĽEVA

Doktora studiju programmas “Ķīmija” doktorante

HIDROOKSIKARBONSKĀBJU RECEPTORU SINTĒTISKO LIGANDU PĒTĪJUMI

Promocijas darbs

Zinātniskais vadītājs:

Dr. chem.

Einārs LOŽA

RTU Izdevniecība

Rīga 2019

ANOTĀCIJA

Hidroksikarbonskābju receptoru sintētisko ligandu pētījumi.

Bobiļeva O., zinātniskais vadītājs *Dr. Chem.* E. Loža. Promocijas darbs, 161 lappuse, 78 attēli, 19 tabulas, 159 literatūras avoti. Latviešu valodā.

HIDROSIKARBONSKĀBju RECEPTORI, FARMAKOFORAIS MODELIS ATEROSKLEROZE, KONFORMACIONĀLĀ IEROBEŽOŠANA, KARBOKSILGRUPAS BIOIZOSTĒRI, 2-AMIDOCIKLOHEKS-1-ĒN-KARBONSKĀBE

Promocijas darbs ir veltīts augstas afinitātes hidroksikarbonskābju receptora 2 agonistu izveidei. Jaunu ligandu dizainā ir izmantota zināmu agonistu konformacionālās ierobežošanas pieeja, farmakoforā modeļa izstrāde un molekulas struktūrelementu aizvietošana ar to bioizostēriem. Ir analizētas iegūto savienojumu struktūras-aktivitātes likumsakarības un savienojumu saistīšanās ar plazmas proteīniem. Ir izstrādatus hidroksikarbonskābju receptora 2 agonistu (*E*)-2-(3-(arilakrilamido)cikloheks-1-ēn-1-karbonskābju, 2-(3-arylpropiolamido)cikloheks-1-ēn-1-karbonskābju un 2-(5-arylpent-4-īnamido)cikloheks-1-ēn-1-karbonskābju sintēzes metodes.

ANNOTATION

Studies of synthetic ligands of hydroxycarboxylic acid receptors.

Bobileva O., supervisor *Dr. Chem.* E. Loza. Doctoral thesis, 161 pages, 78 figures, 19 tables, 159 literature references. In Latvian.

HYDROXYCARBOXYLIC ACID RECEPTORS, ATHEROSCLEROSIS,
PHARMACOPHORE MODEL, CONFORMATIONAL RESTRICTION, 2-
AMIDOCYCLOHEX-1-ENE CARBOXYLIC ACID, CARBOXYLIC ACID GROUP
BIOISOSTERES

The aim of the doctoral thesis was to develop high affinity agonists of hydroxycarboxylic acid receptor 2. Conformational restriction approach of known agonists, pharmacophore model development, and bioisosteric replacement strategy were used to design new ligands. Structure-activity relationships of synthesized ligands and their binding to plasma proteins were analyzed. Methods for the preparation of hydroxycarboxylic acid receptor 2 agonists (*E*)-2-(3-(arylacrylamido)cyclohex-1-enecarboxylic acids, 2-(3-arylpropiolamido)cyclohex-1-enecarboxylic acids un 2-(5-arylpent-4-ynamido)cyclohex-1-enecarboxylic acids have been developed.

LIETOTIE SAĪSINĀJUMI

Ac	acetil
ADME	absorbcija, izplatīšanās, metabolisms, izdalīšana (<i>absorption, distribution, metabolism, excretion</i>)
AEŠH-MS	augsti efektīvā šķidrumu hromatogrāfija – masspektrometrija
AIMS	augstas izšķirtspējas masspektrometrija
Arg	arginīns
Asn	asparagīns
BSA	vērša plazmas albumīns (<i>bovine serum albumin</i>)
Bu	butil
cAMP	cikliskais adenozīnmonofosfāts
CDI	karbonildiimidazols
dba	dibenzilidēnacetons
DCC	<i>N,N'</i> -dicikloheksilkarbodiimīds
DCM	dihlormetāns
DIPEA	diizopropiletilamīns
DMA	<i>N,N</i> -dimetilacetamīds
DMF	<i>N,N</i> -dimetilformamīds
DMSO	dimetilsulfoksīds
dppf	1,1`-bis(difenilfosfanil)ferrocēns
EC ₅₀	vidējā efektīvā koncentrācija
EDC	1-etyl-3-(3-dimetilaminopropil)karbodiimīda hidrohlorīds
EL	āršūnas starpspirāļu cilpa (<i>extracellular loop</i>)
Et	etyl
GDP	guanozīndifosfāts
GH-MS	gāzu hromatogrāfija – masspektrometrija
GPCR	ar G-proteīnu saistītie receptori (<i>G-protein coupled receptors</i>)
GTP	guanozīntrifosfāts
h	stunda
Hal	halogēna atoms
HBTU	<i>O</i> -(benzotriazol-1-il)- <i>N,N,N',N'</i> -tetrametiluronija heksafluorofosfāts
HCA	hidroksikarbonskābju receptors
HDL	augsta blīvuma lipoproteīni (<i>high density lipoproteins</i>)
His	histidīns
HOBr	1-hidroksibenztriazols
IBX	2-iodoksibenzoskābe
IC ₅₀	vidējā inhibējošā koncentrācija
IL	iekššūnas starpspirāļu cilpa (<i>intracellular loop</i>)
Ile	izoleicīns
IS	infrasarkanais spektrs
KMR	kodolmagnētiskā rezonanse
LDL	zema blīvuma lipoproteīni (<i>low density lipoproteins</i>)

Me	metil
Ms	metānsulfonil, mezil
NCS	<i>N</i> -hlorsukcinimīds
PE	petrolēteris
pies.	piesātināts
Ph	fenil
Phe	fenilalanīns
Pr	propil
<i>p</i> TSA	para-toluolsulfoskābe
RLB	radioliganda izspiešanas tests (<i>radioligand binding</i>)
rt	istabas temperatūra
SD	standartnovirze (<i>standard deviation</i>)
SEM	2-(trimetilsilil)etoksimetil
Ser	serīns
<i>t</i>	terc
TBAF	tetrabutilamonija fluorīds
TBS	<i>terc</i> -butildimetilsilil
TEA	trietylamīns
TFAA	trifluoretiķskābes anhidrīds
THF	tetrahidrofurāns
THP	tetrahidropiranil
TM	transmembrānas α -spirāle
TMS	trimetilsilil
Tol	tolil
Trp	triptofāns
Ts	tozil, <i>p</i> -toluolsulfonil
Tyr	tirozīns
β -OHB	3-hidroksibutirāts

SATURS

IEVADS	7
1. LITERATŪRAS APSKATS.....	9
1.1. Hidroksikarbonskābju receptori	9
1.2. HCA2 struktūra un receptora mijiedarbība ar ligandu	11
HCA2 aktivācijas signālceļi.....	14
Aktivitātes noteikšanas testi.....	15
1.3. HCA2 ligandi.....	16
Niacīns un tā analogi.....	16
Pirazola atvasinājumi	17
Acifrāns un tā analogi	19
Fumarāti	19
Piridopirimidoni	20
Piranopirimidīndioni	21
Ksantīna atvasinājumi	22
4-(Fenil)tio-1 <i>H</i> -pirazola atvasinājumi	22
Silīciju saturošie savienojumi	23
Antranilskābes atvasinājumi un to analogi	24
HCA2 alostēriskie modulatori	27
1.4. Literatūras apskata kopsavilkums.....	28
2. AKRILAMIDOCIKLOHEKSĒNKARBONSKĀBI SATUROŠIE HCA2 LIGANDI ...	29
2.1. Savienojumu iegūšana	29
2.2. Struktūras-aktivitātes likumsakarības.....	34
2.3. Farmakoforā modeļa izstrāde	39
2.4. HCA2 ligandu saistīšanās ar vērša sēruma albumīnu.....	42
2.5. HCA2 ligandi ar heterociklisko linkeru	44
3. FENILACETILĒNU SATUROŠIE HCA2 LIGANDI UN TO MODIFIKĀCIJAS	46
3.1. Savienojumu iegūšana	46
3.2. Struktūras-aktivitātes likumsakarības.....	53
4. HCA2 LIGANDU KARBONSKĀBES DAĻAS UN AMĪDA GRUPAS MODIFICĒŠANA.....	60
4.1. Savienojumu iegūšana	60
4.2. Struktūras-aktivitātes likumsakarības.....	68
5. EKSPERIMENTĀLĀ DAĻA.....	73
5.1. Vispārējas metodes	73
5.2. Eksperimentu apraksti	73
5.3. Aprēķini	144
SECINĀJUMI	148
LITERATŪRAS SARAKSTS	149
PATEICĪBAS	161

IEVADS

Ateroskleroze ir visbiežāk sastopamā hroniskā asinsvadu slimība. Tās visu attīstības stadiju patoģēnēzē ir dažāda veida iekaisumu procesi, kas ietekmē apolipoproteīnu izgulsnēšanos asinsvadu sieniņās. Aterosklerotiskais process sākas agrā jaunībā un progresē atkarībā no cilvēka dzīvesveida, iedzīmtības un citiem faktoriem. Mūsdienās aterosklerozes medikamentozās terapijas galvenā taktika ir zema blīvuma lipoproteīnu koncentrācijas samazināšana asinsrites sistēmā. Šīm mērķim izmanto divu tipu preparātus – statīnus un fibrātus.¹ Pašlaik pasaulei notiek vairāku pretiekaisumu preparātu pārbaude aterosklerozes dzīvnieku modeļos un klīniskajos pētījumos.²

Hidroksikarbonskābju 2 receptors (HCA2) ir ar G-proteīniem saistīts receptors, kurš ir ekspresēts taukšūnās un vairāku veidu imūnšūnās. Šī receptora ligandi – 3-hidroksibutirāts, niacīns, butirāts un monometilfumarāts aktivē receptoru un izraisa labvēlīgus efektus, saistītus ar iekaisuma samazināšanos, tostarp arī antiaterosklerotisku efektu. Uzskata, ka sintētiskiem HCA2 agonistiem var būt terapeitiski nozīmīgs efekts aterosklerozes un citu ar iekaisumu saistītu slimību ārstēšanā.

Kardiovaskulāro slimību ārstēšana ir viens no prioritāriem sabiedrības veselības uzlabošanas virzieniem, jo asinsrites sistēmas slimības ir galvenais nāves iemesls Eiropas Savienības valstīs.³ Valsts pētījumu programmas “Biomedicīna sabiedrības veselībai” ietvaros 2014.–2017. gados HCA2 ir bijis viens no izvēlētajiem mērķa proteīniem jaunu ārstniecības vielu izstrādes iespēju pētījumos.

Promocijas darba mērķis:

Pētījumu mērķis ir augstas afinitātes HCA2 agonistu izveide.

Promocijas darba galvenie uzdevumi:

1. Iegūt receptora ligandu modeļvielas ar rotāciju un konformāciju veidošanas ierobežojošiem elementiem. Izpētīt ligandu struktūru kustīguma ietekmi uz savienojumu aktivitāti.
2. Izveidot HCA2 ligandu farmakoforo modeli.
3. Izpētīt HCA2 ligandu struktūras-aktivitātes likumsakarības
4. Izpētīt ligandu struktūrdaļu aizvietošanas iespējas ar iespējamiem bioizostēriem.

Promocijas darba rezultātu aprobācija

Zinātniskās publikācijas:

1. Bobileva, O., Ikaunieks, M., Duburs, G., Mandrika, I., Petrovska, R., Klovins, J., Loza, E. Synthesis and evaluation of (*E*)-2-(5-phenylpent-2-en-4-ynamido)cyclohex-1-ene-1-carboxylate derivatives as HCA2 receptor agonists. *Bioorg. Med. Chem.* **2017**, 25 (16), 4314–4329.

2. Bobileva, O., Bokaldere, R., Gailite, V., Kaula, I., Ikaunieks, M., Duburs, G., Petrovska, R., Mandrika, I., Klovins, J., Loza, E. Synthesis and evaluation of (*E*)-2-(acrylamido)cyclohex-1-enecarboxylic acid derivatives as HCA1, HCA2, and HCA3 receptor agonists. *Bioorg. Med. Chem.* **2014**, 22 (14), 3654–3669.

Patents:

1. Loža, E., Bobileva, O., Bokaldere, R., Gailīte, V., Kaula, I., Ikaunieks, M., Mandrika, I., Petrovska, R., Kloviņš, J., Duburs, G., Bisenieks, E. 3'-Ariil un heterilaizvietotās 2-akrilamidocikloheksēnkarbonskābes kā hidroksikarbonskābju receptoru saimes (HCA2) jauna ligandu grupa. LV14982 B, 2015.

Referāti tēžu krājumos:

1. Bobileva, O., Ikaunieks, M., Mandrika, I., Petrovska, R., Loza, E. Phenylacetylene containing cyclohex-1-enecarboxylic acid derivatives as HCA2 agonists. *53rd International Conference on Medicinal Chemistry*, July 5-7, **2017**, Toulouse, France. Abstract booklet p 229.
2. Bobileva, O., Ikaunieks, M., Duburs, G., Petrovska, R., Mandrika, I., Klovins, J., Loza, E. 2-Amidocyclohex-1-ene carboxylic acid derivatives as Hydroxy-carboxylic acid receptors agonists. *Drug Discovery Conference*, August 27-29, **2015**, Riga, Latvia. Abstract booklet p 89.
3. Loža, E., Bobileva O. (*E*)-2-(Acrylamido)cyclohex-1-enecarboxylic acid derivatives – novel group of hydroxy-carboxylic acid receptor ligands. *Drug Discovery Conference*, August 27-29, **2015**, Riga, Latvia. Abstract booklet p 68.
4. Bobileva, O., Bokaldere, R., Gailite, V., Kaula, I., Ikaunieks, M., Duburs, G., Petrovska, R., Mandrika, I., Klovins, J., Loza, E. Novel derivatives of 2-amidocyclohex-1-ene carboxylic acid as HCA1, HCA2, and HCA3 receptor agonists. *GLISTEN Budapest 2014 Conference*, October 2-4, **2014**, Budapest, Hungary. Abstract booklet p. 57, ISBN: 978-963-7067-27-3

1. LITERATŪRAS APSKATS

Literatūras apskatā ir apkopota informācija par hidroksikarbonskābju receptoriem (HCA) un to funkcijām organismā. Plašāks ieskats ir sniegs par HCA2 struktūru, šī receptora ligandiem, kā arī aprakstīti savienojumu aktivitātes noteikšanas testi uz HCA2.

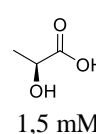
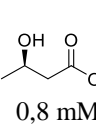
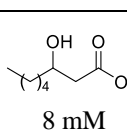
1.1. Hidroksikarbonskābju receptori

Ar G-proteīnu saistītie receptori (GPCR) ir lielāka membrānu receptoru grupa zīdītajū organismos. GPCR piedalās praktiski visos fizioloģiskajos procesos, un pašlaik vairāk nekā 30 % tirgū pieejamo zāļvielu mērķproteīni ir GPCR.⁴ Tipiski GPCR ligandi ir hormoni, mediatori un neirotransmitteri. Vielmaiņas produktus jeb metabolītus agrāk uzskatīja galvenokārt par enerģijas avotu vielmaiņas procesos, taču pēdējā laikā ir atklāti vairāki GPCR, kuru endogēnie ligandi ir uzturvielas un to metabolīti.^{4,5}

HCA grupā ir trīs receptori. Šo receptoru nosaukums ir radies no receptoru endogēno ligandu klases nosaukuma, kas ir hidroksikarbonskābes. HCA1 endogēnais ligands ir laktāts, HCA2 – (*R*)-3-hidroksibutirāts (β -OHB) un HCA3 – hidroksioktaoāts. Alternatīvi HCA receptoru nosaukumi un receptoru endogēno ligandu struktūras ir apkopotas 1.1. tabulā.

1.1. tabula

HCA receptoru nosaukumi, ligandi un funkcijas^{6,7}

Receptors	Citi nosaukumi	Endogēnais ligands, EC ₅₀	Ekspresija	Receptora funkcijas	Sekvences līdzība ar HCA2
HCA1	GPR81 GPR104 TA-GPCR FKSG80 HCAR1	 1,5 mM	Adipocīti	Lipolīzes samazināšana	50 %
HCA2	GPR109a HM74a PUMA-G NIACR1 HCAR2	 0,8 mM	Adipocīti, monocīti, makrofāgi, neutrofili, epidermas Langerhansa šūnas, keratinocīti, zarnu epitelijšūnas, tīklenes epitēlijs	Lipolīzes samazināšana, imūnšūnu aktivēšana	-
HCA3	GPR109b HM74 NIACR2 HCAR3	 8 mM	Adipocīti, imūnšūnas, epidermas Langerhansa šūnas, keratinocīti, zarnu epitelijšūnas	Lipolīzes samazināšana	95 %

HCA grupā visvairāk pētītais receptoris ir HCA2. To neatkarīgi atklāja trīs laboratorijas 2002.–2003. gados^{8–10}. HCA2 ir ekspresēts galvenokārt baltajos un brūnajos adipocītos, epidermas Langerhansa šūnās, keratinocītos, zarnu epitelijšūnās, kā arī dažādās imūnšūnās – monocītos, makrofāgos, neutrofilos¹¹. Receptora endogēnais ligands β -OHB ir taukskābju β -

oksidēšanās produkts organismā, kas rodas aknās. Viela aktivē receptoru 0,8 mM koncentrācijā¹². Šāda koncentrācija organismā tiek sasniegta tikai badošanās rezultātā – pēc 1–2 dienu ilga izsalkuma β -OHB koncentrācija asins plazmā var sasniegt 1–2 mM, bet, badošanos turpinot vēl ilgāku laiku, pat 4–6 mM. Uzskata, ka parastos apstākļos HCA2 ir neaktīvs, taču badošanās laikā receptora aktivēšana ar endogēnā liganda palīdzību samazina lipolīzi jeb taukskābju ražošanu taukšūnās.⁷ Izvirzīta hipotēze, ka tas varētu būt mehānisms, kādā veidā tiek saglabātas enerģijas rezerves organismā badošanās laikā.¹³

Agrāk zinātniskajā literatūrā HCA2 sauca par nikotīnskābes receptoru, jo niacīns (viens no vitamīna B3 grupas komponentiem) ir šī receptora augstas afinitātes ligands, kuru jau no 1950-tajiem gadiem izmanto dislipidēmijas un aterosklerozes ārstēšanā. Niacīna terapeitiskā deva ir 1–3 g dienā, savukārt vitamīna B3 dienas deva ir tikai 12–18 mg. Uzreiz pēc HCA2 receptora atklāšanas tika uzskatīts, ka, niacīnam aktivējot HCA2, plazmā samazinās zema blīvuma lipoproteīnu (LDL) koncentrācija un palielinās augsta blīvuma lipoproteīnu (HDL) koncentrācija. Vēlāk, izmantojot peles modeli bez HCA2, tika parādīts, ka niacīna antilipolītiskais efekts nav saistīts ar HCA2 aktivēšanu, jo arī pelēm, kurām nebija HCA2 receptora, novēroja šādas pašas lipoproteīnu koncentrācijas izmaiņas niacīna iedarbības rezultātā.¹⁴

Ateroskleroze ir lēna un progresīva apolipoproteīnu akumulēšanās uz asinsvadu sieniņām. Lipoīdu izgulsnēšanās pamatā ir vairāka veida iekaisuma procesi, kuros piedalās arī balto asins šūnu veidi – makrofāgi un monocīti.¹⁵ Niacīna plejotropais antiaterosklerotiskais efekts ir saistīts ar tā darbību imūnšūnās un ar spēju regulēt lipoproteīnu koncentrāciju plazmā. Niacīns inhibē makrofāgu akumulēšanos aterosklerozes pangās, kā arī novērš makrofāgu pārvēršanos par putu šūnām.¹⁶ Ir arī parādīts, ka HCA2 aktivēšana ar niacīnu stimulē holesterīna transportu no makrofāgiem.¹⁷

Ateroskleroze ir visvairāk pētītā ar HCA2 darbību saistītā slimība. Bet HCA2 ir izplatīts arī vairākos citos organisma audos, un citu patoloģiju gadījumos HCA2 agonistiem novērota arī pretiekaisuma darbība. Piemēram, vairāki pētījumi parāda, ka niacīna pretiekaisuma efekts adipozos audos, diabēta retinopātijā un sepsē ir saistīts ar HCA2 aktivēšanu.¹⁸

Psoriāzes ārstēšanā izmantotās zāles monometilfumarāts ir HCA2 ligands. Vielas iedarbības mehānisms nav zināms, iespējams, ka tas ir saistīts ar HCA2 aktivēšanu keratinocītos un imūnšūnās.¹⁹ Dimetilfumarāts, kurš organismā ātri tiek metabolizēts par monometilfumarātu, 2014. gadā tika apstiprināts Eiropā kā zāles multiplās sklerozes ārstēšanai ar komerciālo nosaukumu *Tecfidera*.²⁰ Uzskata, ka vielai ir plejotrops darbības mehānisms. Monometilfumarāts darbojas kā citoprotektors un neiroprotektors, aktivējot Nrf2 signālceļu, un kā imūnomodulators, aktivējot HCA2 imūnšūnās.²¹

Niacīna terapijas būtisks trūkums aterosklerozes ārstēšanā ir tā izraisītais ādas apsārtums. Tas ir saistīts ar to, ka HCA2 ir ekspresēts epidermas Langerhansa šūnās, un receptora aktivēšanas rezultātā šūnās palielinās prostanoīdu sintāžu līmenis un tiek ražoti prostaglandīni – vielas, kuru iedarbības rezultātā novēro asinsvadu paplašināšanos.²²

HCA2 spēj aktivēt arī taukskābe butirāts (EC₅₀ 0,7–1,6 mM). Butirāts un citas īso ķēžu taukskābes zīdītāju organismā rodas zarnās kā mikroorganismu darbības vielmaiņas produkts šķiedrvielu anaerobās fermentācijas rezultātā. Ir zināms, ka diēta ar augstu šķiedrvielu

daudzumu ir labvēlīga zarnu veselībai, taču tās darbības mehānismi joprojām tiek skaidroti. Butirāta koncentrācija zarnās ir pietiekama, lai aktivētu HCA2 receptoru, kas ir ekspresēts zarnu epitēlijšūnās un imūnšūnās, kas atrodas zarnu mikroflorā.⁵ Ir parādīts, ka pelēm bez HCA2 receptora ir lielāka tendence veidoties iekaisumiem un audzējiem zarnās,²³ kā arī alergijām uz pārtikas produktiem.²⁴

HCA1 ir filoģenētiski visvecākais no HCA receptoriem, un tā klātbūtne ir atrasta jau zivīs. Receptorš galvenokārt ir ekspresēts adipocītos un tā aktivēšana samazina lipolīzi (1.1. tabula). Līdzīgi kā HCA2 gadījumā, HCA1 endogēnā liganda koncentrācija organismā parastos apstākļos ir nepietiekama, lai aktivētu receptoru. Laktāta koncentrācija palielinās intensīvas fiziskās darbības rezultātā, kad tā sasniedz pat 10–20 mM. Taču, izmantojot peles modeļus bez HCA1, ir parādīts, ka receptora funkcija nav saistīta ar lipolīzes regulāciju fiziskās slodzes laikā.⁷ Taukšūnās laktāts rodas no glikozes, kuras koncentrācijas palielināšanos šūnā izraisa insulīns. Laktāts var piesaistīties pie taukšūnu membrānās esošā HCA1, kā rezultātā samazinās lipolīze. Šīs mehānisms izskaidro insulīna izraisīto lipolīzes inhibīšanu.²⁵

HCA1 ir ekspresēts arī vairāku veidu audzēju audos. Krūts, plaušu un zarnu vēža šūnās HCA1 ekspresija ir augstāka nekā parastajās šūnās.²⁶ Laktāta koncentrācija audzēju audos ir paaugstināta, kā rezultātā HCA1 receptors tiek aktivēts un tas ietekmē metabolismu vēža šūnās, samazinot pretvēža preparātu efektivitāti. Pētījumi parāda, ka HCA1 inhibīšana var samazināt audzēju šūnu izdzīvošanu.¹³ Bet līdz šim nav zināmi šī receptora antagonisti.

HCA3 receptora ekspresija ir ļoti līdzīga HCA2, taču šis receptors ir ekspresēts tikai augstāko primātu audos, tāpēc neeksistē HCA3 peles modeļi un, salīdzinājumā ar HCA1 un HCA2, receptors ir daudz mazāk izpētīts.⁷ Līdzīgi kā HCA2 gadījumā, HCA3 receptora aktivēšana samazina lipolīzi.

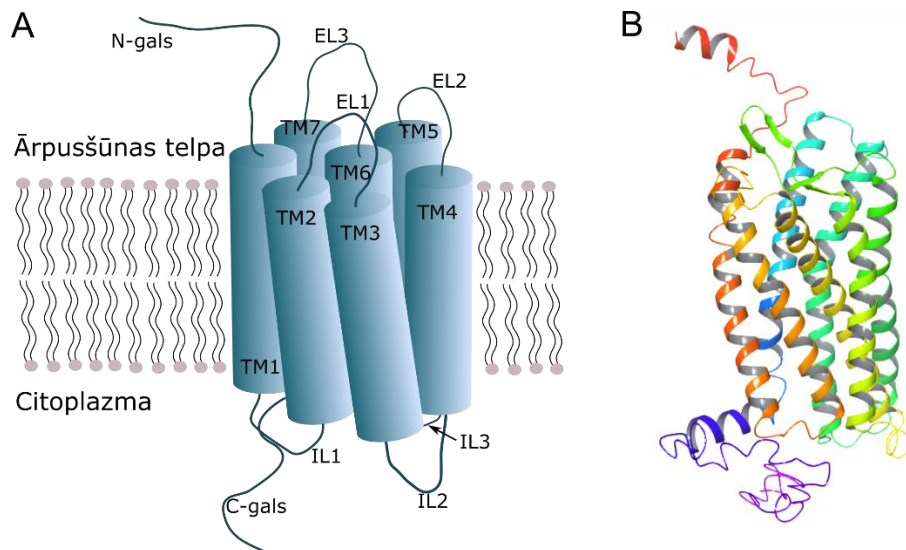
Kaut gan HCA2 ir terapijā izmantoto niacīna un metilfumarāta prekursora dimetilfumarāta mērķreceptors un vairākos pētījumos ir parādīti HCA2 aktivēšanas labvēlīgie efekti, HCA receptoru aktivēšanas terapeitiskais potenciāls vēl nav pilnībā izpētīts. Uzskata, ka HCA2 aktivēšanai var būt terapeitiskais potenciāls, saistīts ar lipolīzi un iekaisumu samazinošu HCA2 ligandu darbību.^{13,18}

1.2. HCA2 struktūra un receptora mijiedarbība ar ligandu

HCA kristāliskas struktūras līdz šim nav pazīstamas. GPCR ir šūnu membrānas proteīni, un to kristalizēšana ir saistīta ar dažādām grūtībām. Pirmā augstas izšķirtspējas kristāliskā struktūra GPCR kompleksam ar rodopsīnu tika noskaidrota tikai 2000. gadā²⁷. Līdz ar kristalizēšanas tehnoloģiju attīstību atrisinātu GPCR struktūru skaits ir strauji palielinājies un 15.11.2017. bija zināmas jau 46 dažādas cilvēka un citu zīdītāju GPCR rentgenstruktūras, iegūtas kompleksiem ar agonistiem, antagonistiem, kā arī alostēriskajiem modulatoriem.⁴ GPCR struktūru līdzību izmanto homoloģijas modeļu izstrādē datormodelēšanā.

HCA2 struktūru nosacīti var iedalīt 3 pamatdaļās (1.1. att.):

1. ārpussūnas daļa, kura sastāv no N-gala un 3 starpspirāļu cilpām (EL1–EL3);
2. transmembrānas domēns – septiņas transmembrānas α -spirāles (TM1–TM7);
3. iekšsūnas daļa, kura sastāv no proteīna C-gala un 3 iekšsūnas starpspirāļu cilpām (IL1–IL3).



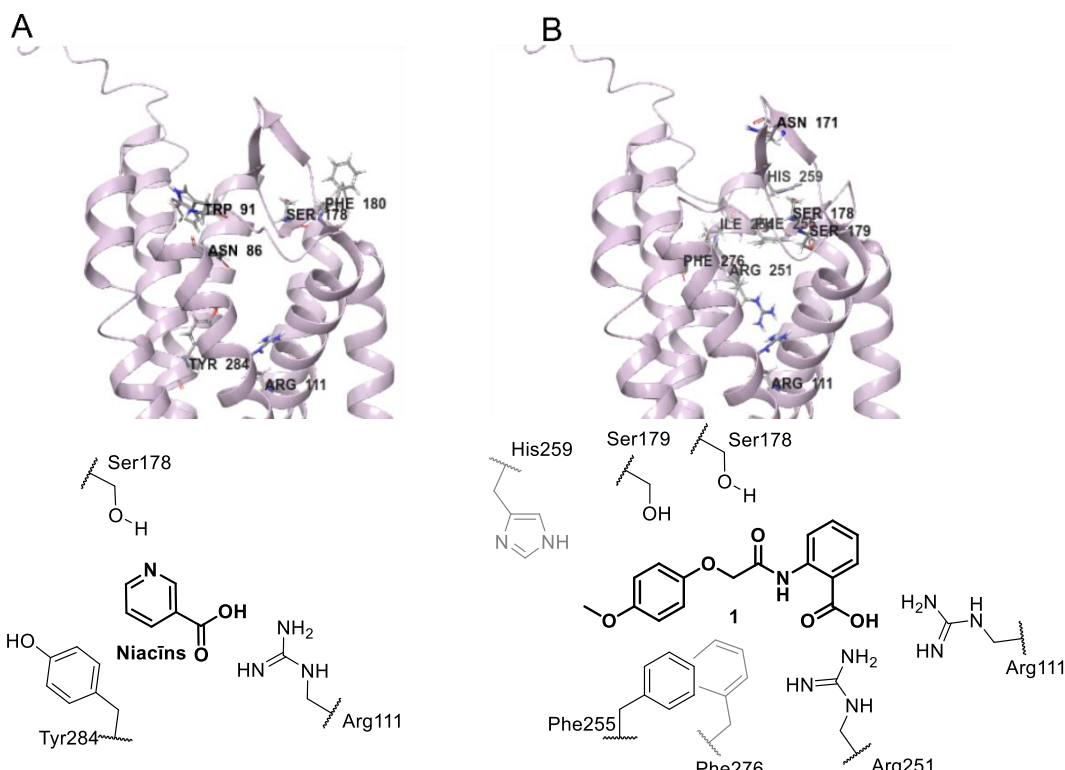
1.1. attēls. HCA2 struktūra
A – receptora shēma; B – receptora modelis²⁸

Ārpussūnas reģions atbild par receptora pieejamību ligandam, transmembrānas daļa ir receptora mijiedarbības vieta ar ligandu un tā, receptora aktivācijas rezultātā mainot receptora konformāciju, nodod signālu iekšsūnas daļai. Iekšsūnas daļa mijiedarbojas ar G-proteīnu un nodod signālu tālāk.

2016. gadā *IJzerman* grupā tika veikts pētījums HCA2 un HCA3 proteīnu C-terminālā gala lomas noskaidrošanai receptoru aktivēšanā.²⁹ Tā, HCA2 un HCA3 līdzība ir 95 %, taču dažādu ligandu selektivitāte pret šiem receptoriem būtiski atšķiras. Mutāciju rezultātā tika iegūts HCA2 proteīns ar HCA3 proteīna C-galu un otrādi – HCA3 receptors ar HCA2 terminālo C-galu. Bioloģiskajos testos abu receptoru mijiedarbība ar to ligandiem (HCA2 – nikotīnskābe, HCA3 – acifrāns) būtiski neizmanījās. Līdz ar to pētījuma autori secināja, ka HCA2 un HCA3 receptoru terminālie C-gali praktiski neietekmē receptora-liganda mijiedarbību.

Transmembrānas domēns atrodas perpendikulāri šūnas membrānai, un tā pozīcija un orientācija katram GPCR ir individuāla. Tā kā starp spirālēm pastāv stipra starpmolekulārā mijiedarbība, parasti tikai spirāļu sānu ķēdes piedalās liganda piesaistīšanā.³⁰ Liganda un receptora saistīšanās vieta atrodas receptora augšdaļā, kur atrodas dzīļš hidrofobs dobums. Sistemātisks kristalizēto GPCR salīdzinājums parāda, ka parasti TM3, TM6 un TM7 sānu ķēdes piedalās mijiedarbībā ar ligandu.³¹ Receptori membrānā ir ļoti kustīgi un var pastāvēt vairākos konformācijas stāvokļos, sākot ar pilnīgi neaktīvu pamatstāvokli un beidzot ar vairākiem iespējamiem aktivētiem stāvokļiem.

Literatūrā ir aprakstīti vairāki HCA2 homoloģijas modeļi. Pirmais ir publicēts 2005. gadā un ir izveidots, balstoties uz cilvēka rodopsīna 1HZX struktūru³². Receptoru struktūru identitāte ir 15 % un sekvences identitāte ir 30 %.³³ Izmantojot HCA2 un HCA3 himēras modelus, ir noskaidrota niacīna iespējamā saistīšanās vieta ar HCA2. Aprēķini parāda, ka liganda mijiedarbības vieta ar proteīnu ir starp transmembrānas α -spirālēm TM2 un TM7. Niacīna karboksilgrupa veido ūdeņraža saiti ar Arg111 (TM7) aminogrupu, bet tā piridīna daļas slāpekļa atoms mijiedarbojas ar Ser178; bez tam piridīna cikls veido π - π mijedarbību ar aminoskābēm Trp91 un Tyr284 (1.2. att. A). Šī saistības vieta atšķiras no citu GPCR A-klases agonistu saistības vietām.³²



1.2. attēls. HCA2 un ligandu iespējamās saistīšanas vietas
A – niacīns; B – savienojums 1

Cita receptora un liganda iespējamā saistīšanās vieta ir atrasta antranilskābi saturoša HCA2 liganda **1** dокинга rezultātā, un šis modelis ir vairāk līdzīgs parastai A-klases GPCR un to agonistu mijiedarbības vietai (1.2. att. B).³⁴ Modelis tika izveidots, balstoties uz vērša rodopsīna 1L9H kristāla struktūru. Ir aprēķināts, ka savienojuma **1** un HCA2 mijiedarbība notiek galvenokārt starp TM3, TM5 un TM6 spirālu, kā arī starp ārpussūnas EL2 spirāles aminoskābēm. Līdzīgi kā niacīna gadījumā, svarīga liganda **1** struktūras daļa ir karbonskābes grupa, kas veido sāls tiltiņu ar Arg111 vai Arg251 aminoskābju aminogrupām. Ser178 var veidot ūdeņraža saiti ar savienojuma **1** amīdgrupas karbonilgrupu. Hidrofobo mijiedarbību ar ligandu nodrošina transmembrānas α -spirālu aminoskābes Ile254 (TM6), Phe255 (TM6) un Phe276 (TM7). Savukārt, starpspirāļu cilpu aminoskābes Asn171 (EL2), Ser179 (EL2) un His259 (EL3) mijiedarbojas ar ligandu receptora kabatas ieejā (1.2. att. B).

Literatūrā ir aprakstīti 5-metil-1*H*-pirazol-3-karbonskābes dokinga eksperimenti, kurā HCA2 modelis ir izveidots uz delta-tipa opioīda receptora struktūras 4N6H pamata.³⁵ Šī pētījuma autori ir atraduši vismaz 4 saistīšanās kabatas ar augstu aprēķinātu modeļa vērtējumu, un tās atšķiras no iepriekš aprakstītajiem modeļiem.

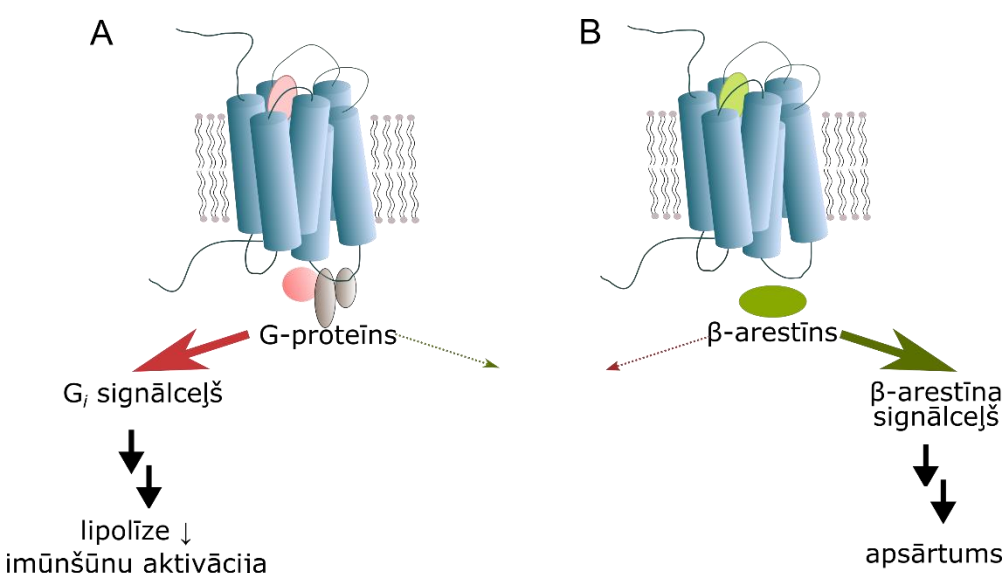
Modelēšanas rezultātu atšķirības parāda to, ka izveidotie homologijas modeļi ir stipri atkarīgi no izmantotās veidnes struktūras un nav precīzi. Tā kā GPCR ir ļoti kustīgi proteīni, iespējams, ka ligandu saistīšanās vietu ar HCA2 ietekmē arī izmantotā liganda veids.

HCA2 aktivācijas signālceļi

Membrānu proteīni kalpo kā informācijas pārnesējs no šūnas apkārtējās vides uz šūnas iekšieni. Ligandam, saistoties ar receptoru, notiek nelielas izmaiņas transmembrānas domēna konformācijā, kas, savukārt, izraisa ievērojamas izmaiņas receptora intracelulārajā daļā un aktivē heterotrimēro G-proteīnu.

HCA receptoru aktivēšana notiek *Gi* ceļā – G-proteīna a subvienībā guanozīndifosfātu (GDP) nomaina guanozintrifosfāts (GTP), šo izmaiņu rezultātā a subvienība tiek aktivēta un tā disociē no G-proteīna un pārnes signālu uz intracelulārajiem celiem. Tā inhibē pirmējo efektormolekulu – adenilātciklāzi un rezultātā samazinās cikliskā adenozinmonofosfāta (cAMP) koncentrācija šūnā. G-proteīna aktivēšana izraisa arī Ca^{2+} jonus koncentrācijas palielināšanos citoplazmā. cAMP un Ca^{2+} joni ir otrējās signālmolekulas, kuras izplata signālu tālāk, iespaidojot šūnas funkcionālo aktivitāti.

GPCR aktivēšanas rezultātā notiek arī receptora fosforilēšana ar dažādu ar G-proteīnu saistīto kināžu palīdzību. Fosforilēšanas rezultātā pie GPCR piesaistās β -arestīni, un šis process var desensitizēt receptoru. Izveidotais GPCR- β -arestīna komplekss var šūnā veidot β -arestīna signālceļu, kas atšķiras no *Gi* ceļa.³⁶ Tā kā GPCR ir ļoti kustīgs proteīns un tam ir iespējamas vairākas konformācijas, ar dažādiem ligandiem ir iespējams stabilizēt atšķirīgas receptora konformācijas, kas var veicināt vai nu *Gi*, vai β -arestīna signālceļu šūnā (1.3. att.).



1.3. attēls. HCA2 signālceļi

A – receptoru aktivē ligands, kas veicina *Gi* signālceļu; B – receptoru aktivē ligands, kas veicina β -arestīna signālceļu

Lefkowitz parādīja, ka ādas apsārtums, kas rodas, niacīnam aktivējot HCA2 receptoru, ir saistīts ar β -arestīna signālceļa aktivēšanu, bet niacīna antilipolitiskais efekts nav saistīts ar β -arestīna signālceļu.³⁷ Tas nozīme, ka niacīns darbojas kā divējādas dabas ligands, aktivējot gan Gi, gan β -arestīna signālceļu. Tā kā literatūrā ir aprakstīti tādi HCA2 ligandi kā, piemēram, MK-0354³⁸, SCH900271³⁹, kuri neizraisa nevēlamo apsārtuma blakusefektu, uzskata, ka ar piemērotu ligandu palīdzību ir iespējams veicināt vēlamo HCA2 signālceļu šūnā.

Aktivitātes noteikšanas testi

Savienojumu aktivitātes jeb ligands-receptors mijiedarbības raksturošanai HCA gadījumā tiek izmantotas vairākas metodes, kuras pieder pie divām grupām. Pirmā ir liganda saistīšanās testi, kur pētāmas vielas aktivitāti nosaka tas, cik efektīvi viela saistās ar receptoru vai aizvieto receptora endogēno ligandu, vai arī citu piemērotu receptora augstas afinitātes ligandu. Otrā grupa ir funkcionālie testi, ar kuru palīdzību nosaka šūnas sekundāro atbildi uz liganda iedarbību uz receptoru, t.i., uz receptora aktivēšanas rezultātu.

HCA2 radioligandu izspiešanas metode ir ligandu saistīšanās tests, kurā izmanto ar tritija izotopu iezīmētu niacīnu ($[^3\text{H}]\text{-niacīns}$). Metodi izmanto liganda afinitātes noteikšanai, kā arī liganda asociācijas/disociācijas ātruma mērišanai. Metodes trūkums ir tas, ka afinitātes dati paši par sevi neatšķir agonistu no antagonista vai alostēriska modulatora, un šī parametra noteikšanā ir nepieciešama funkcionāla metode.⁴⁰

Viena no plašāk izmantotajām liganda un HCA2 saistības novērtēšanas funkcionālajām metodēm ir cAMP koncentrācijas izmaiņu mēriumi šūnā. Šūnu līnijas, kurās ir ekspresēts HCA2, tiek apstrādātas ar forskolīnu, kurš palielina adenilātciklāzes aktivitāti. Tas ir nepieciešams, jo bez forskolīna cAMP līmenis šūnā būtu ļoti zems un tā izmaiņas būtu nedetektējamas. Tad šūnām tiek pievienots pētāmais ligands noteiktā koncentrācijā un tiek mērita cAMP koncentrācijas samazināšanās, izmantojot speciāli pievienotas fluorescējošas vielas fluorescence mēriņumus, kura ir atkarīga no cAMP koncentrācijas.⁴⁰

Ca^{2+} koncentrācijas palielināšanās mēriumi ir līdzīgi cAMP līmeņa mērišanas eksperimentam. Liganda un receptora iedarbības rezultātā šūnā mainās kalcija jonu koncentrācija, ko ir iespējams izmērīt, pievienojot paraugam fluorescējošu krāsvielu, kura saistās ar kalciju. Jāpiebilst, ka kalcija jonu koncentrācijas palielināšanās mehānismi ar HCA2 palīdzību ir sarežģīti, un to koncentrācija palielinās gan citoplazmā no endoplazmatiskā tīkla, gan caur jonus kanāliem no šūnas ārpuses.

Ar radioaktīvu ^{35}S ($t_{1/2} \sim 87$ dienas) iezīmēta guanozīn-5'-O-[gamma-tio]trifosfāta ($[^{35}\text{S}]\text{GTP}\gamma\text{S}$) analīze ir funkcionāla metode, kurā mēra to, cik aktivēts ir G-proteīns pēc agonista piesaistīšanās receptoram. Metodes priekšrocība ir tā, ka tiek mērits viens no primārajiem GPCR aktivēšanas rezultātiem tā iniciētā signālceļa kaskādē. Aktivējot GPCR, pie G-proteīna α -subvienības notiek GDP nomaiņa pret GTP. $[^{35}\text{S}]\text{GTP}\gamma\text{S}$ metodē $[^{35}\text{S}]\text{GTP}\gamma\text{S}$ aizvieto endogēno GTP un tas neatgriezeniski saistās pie $\text{G}\alpha$ daļas pēc receptora aktivēšanas. Tā kā γ -tiofosfāta saite normālos apstākļos šūnā nehidrolizējas, tālākas ķīmiskās izmaiņas ar $\text{G}\alpha-[^{35}\text{S}]\text{GTP}\gamma\text{S}$ daļiņu nenotiek un novēro $\text{G}\alpha-[^{35}\text{S}]\text{GTP}\gamma\text{S}$ daļiņu uzkrāšanos, kuru daudzumu var izmērīt, izmantojot iezīmēto ^{35}S .⁴¹

Aktivitātes mērišanas rezultāts ir atkarīgs no metodē izmantotās receptoru ekspresējošās šūnu līnijas, fluorescences, radioaktivitātes vai cita signāla detektēšanas metodes un aparatūras. Tā kā minēto apstākļu dēļ nevar tieši salīdzināt dažādu testu datus savā starpā, parasti salīdzināšanai izmanto references vielas. Literatūras apskatā pie HCA2 ligandu aktivitātes vai afinitātes ir norādīta ligands-receptors mijiedarbības raksturošanas metode un references liganda aktivitāte.

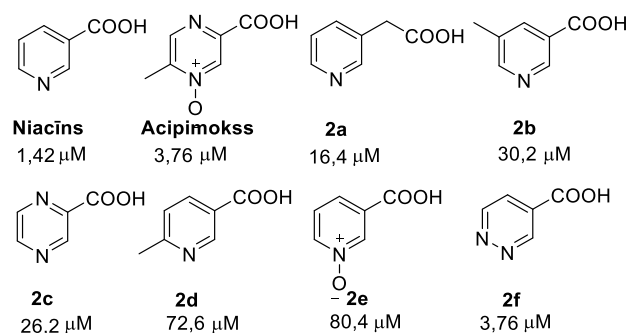
1.3. HCA2 ligandi

Literatūrā aprakstīto HCA2 ligandu meklējumos galvenokārt ir izmantotas divas pieejas – jau atrasto zināmo aktīvo ligandu modifikācijas, piemēram, niacīna un acifrāna analogu sintēze, un augstas caurlaidības savienojumu bibliotēku skrīnings, kura mērķis ir atrast jauna tipa aktīvās struktūras. Starp sintezētajām savienojumu grupām ir dažādi pirazola atvasinājumi, antranilskābes atvasinājumi, pirānopirimidīni un citi. Praktiski visās minētajās savienojumu klasēs ir izdevies atrast selektīvus HCA2 ligandus ar augstu afinitāti pret receptoru. *In vivo* testos galvenokārt tiek pārbaudīts savienojumu antilipolītiskais efekts – brīvo taukskābju, triglicerīdu, LDL un HDL koncentrācijas izmaiņas. Pašlaik visus līdersavienojumus apvieno tas, ka atrastie perspektīvie savienojumi, kuri ir tikuši virzīti tālāk klīniskajiem pētījumiem, klīnisko pētījumu 2. fāzē nav uzrādījuši vēlamo LDL samazināšanas un HDL palielināšanas efektu. Šīs fakts ir palīdzējis atklāt to, ka, pretēji sākotnējām cerībām, niacīna antilipolītiskais efekts nav saistīts ar HCA2 aktivēšanu.

Tālāk literatūras apskatā ir aprakstītas nozīmīgākās HCA ligandu klasses ar vairākiem piemēriem un vielu aktivitātes datiem, taču plašāks ieskats ir sniepts par antranilskābes atvasinājumiem, jo šī HCA2 ligandu klase ir izvēlēta par pamatu mūsu sintētiskajam darbam.

Niacīns un tā analogi

1950-tajos gados vācu zinātnieku grupa pirmoreiz aprakstīja nikotīnskābes (jeb niacīna, sk. 1.4. att.) izmantošanu kā zāles dislipidēmijas ārstēšanā.⁴² Niacīns vēsturiski kļuva par pirmo līdzekli, kas pazemināja zema blīvuma lipoproteīnu koncentrāciju asins serumā. Tomēr, līdz ar statīnu izgudrošanu un izmantošanu ārstniecībā, kopš 2008. gada Eiropas medicīnas aģentūra vairs neakceptē niacīna izmantošanu⁴³, kaut arī ASV joprojām ārstniecībā tiek izmantotas pakāpeniski niacīnu atbrīvojošas tā zāļu formas⁴⁴.



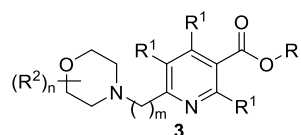
1.4. attēls. Niacīns un tā analogi
EC₅₀, [³⁵S]GTPγS tests

Neskatoties uz to, ka nebija zināms niacīna darbības mehānisms organismā, 1970-tajos gados tika iegūtas niacīnam līdzīgas zāles – acipimokss (1.4. att.).⁴⁵ Vēlāk, jau 1980-tajos gados, *Aktories* un viņa grupa noskaidroja, ka niacīns un acipimokss iedarbojas uz kaut kādu membrānas receptoru, kā rezultātā samazinās cAMP koncentrācija šūnā.⁴⁶

Pirmā niacīna un tā analogu struktūras-aktivitātes likumsakarību analīze tika veikta 2001. gadā. Tā kā tajā laikā niacīna mērķreceptors vēl nebija atklāts, savienojumu aktivitāte tika noteikta, izmantojot metodi, kur viela mijiedarbojas ar žurku šūnu membrānām. Interesanti, ka nikotīnskābes iedarbība uz šūnām tika novērota tikai adipocītu un liesas šūnu gadījumā, bet, izmantojot aknu, nieru, prozencefalona, plaušu vai sirds šūnas, izmaiņas praktiski netika konstatētas, līdz ar to secināja, ka receptors ir ekspresēts tikai žurku adipocītos un liesas šūnās.⁴⁷

Ir iegūtas un pārbaudītas niacīnam un acipimoksam līdzīgas karbonskābes, piemēram **2a-f** (1.4. att.). Nikotīnskābes struktūra ir ļoti vienkārša, un tās modificēšana noveda pie aktivitātes zuduma, piemēram, 5-metilnikotīnskābes (**2b**) aktivitāte ir 30 reizes mazāka, bet nikotīnamīds ir pavisam neaktīvs.⁴⁷

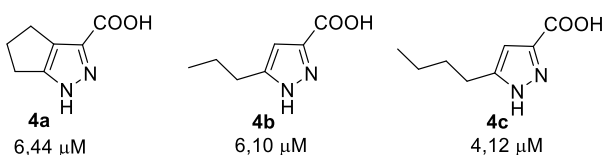
ARI-3037 ir niacīna analogs, kurš *in vitro* testos neaktivē β -arestīna signālceļu un rezultātā neizraisa ādas apsārtumu. Šis savienojums uzrāda spēju samazināt holesterīna, LDL un triglicerīdu koncentrāciju šūnās līdzīgi kā niacīns, taču nav skaidrs, vai viela ir niacīna mimētiķis, vai HCA2 agonists. Savienojums tika pārbaudīts klīnisko pētījumu 2. fāzē, kuru rezultāti nav publicēti.⁴⁸ Diemžēl, ARI-3037 struktūra nav atklāta, tomēr 1.5. attēlā parādītās *Arisaph Pharmaceuticals* patentētās struktūras **3** ļauj secināt, ka ARI-3037 varētu būt 6-vietā aizvietots piridīn-3-karbonskābes atvasinājums.⁴⁹



1.5. attēls. *Arisaph Pharmaceuticals* patentēto niacīna atvasinājumu struktūra

Pirazola atvasinājumi

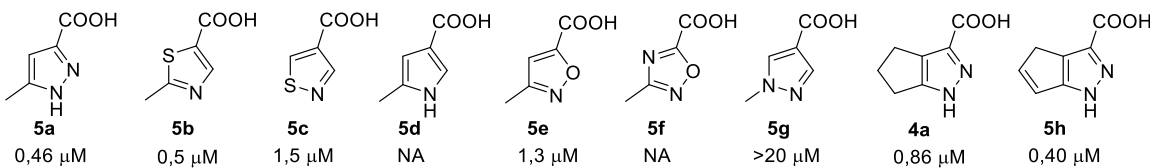
Heidelbergas universitātes zinātnieki pievērsa uzmanību pirazola atvasinājumiem, kuriem pirms 20 gadiem tika atklāta lipīdu līmeni samazinoša aktivitāte *in vivo*. Resintezejot tos un iegūstot analogus ar dažādiem aizvietotājiem 5-pozīcijā, izrādījās, ka tie ir daļēji HCA2 receptora agonisti.⁵⁰ Visaktīvākie savienojumi ir parādīti 1.6. attēlā.



1.6. attēls. Pirazola karbonskābi saturošie HCA2 ligandi
 EC_{50} , [^{35}S]GTP γS tests, niacīns 1,70 μM

Arena Pharmaceuticals un *Merck* zinātnieki pārbaudīja dažādas halogēnsaturošas piridīnkarbonskābes un citas slāpekli saturošas 6-locekļu heterocikliskās karbonskābes, taču

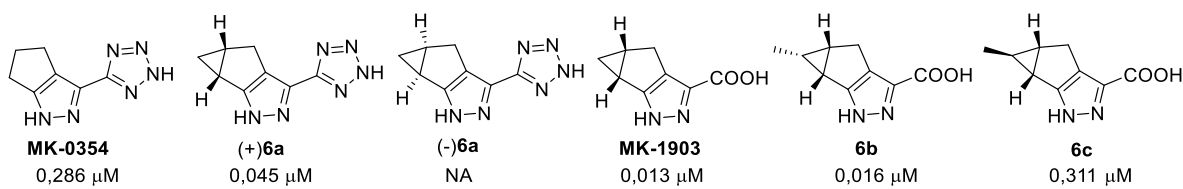
neviena no pārbaudīto savienojumu aktivitātēm nebija līdzīga niacīnam.⁵¹ Tika pārbaudītas arī 5-locekļu heterociklus saturošas karbonskābes, starp kurām aktīvas izrādījās 5-metil-pirazolkarbonskābe **5a** un tiofēnkarbonskābe **5b** (1.7. att.).



1.7. attēls. Heterociklisko karbonskābi saturošie HCA2 ligandi
EC₅₀, cAMP tests, niacīns 0,12 μM

Tālākiem pētījumiem tika izvēlēts pirazola heterocikls **5a** un tika veikta aizvietotāju ietekmes pārbaude. Līdzīgi kā iepriekšminētajiem Heidelbergas universitātes zinātniekiem, modifīcējot 5-pozīciju, tika iegūti 24 savienojuma **5a** atvasinājumi, ieviešot garākas alifātiskās sānu ķēdes, aromātiskās sistēmas, spirta, sulfoksīda, sulfīda vai citus aizvietotājus, tomēr visaktīvākais savienojums palika **5a**. Nākamā pārbaudītā savienojumu sērija bija karbonskābi saturošie bicikliskie pirazoli, no kuriem visaktīvākais izrādījās savienojums **5h** (EC₅₀ 0,4 μM).⁵¹

Turpinot pirazolkarbonskābju izpēti, karbonskābes grupa tika nomainīta uz bioizostēru tetrazolu un tika pārbaudīti vairāki bicikliskie pirazolil-tetrazoli (1.8. att.).⁵² Sērijas vienkāršākais savienojums MK-0354 tika izvēlēts kā līdersavienojums.³⁸ Viela MK-0354 ir daļējs HCA2 agonists. Savienojumam nav ādas apsārtuma blakusefekta kā niacīnam, taču brīvo taukskābju pazemināšanas rādītāji *in vivo* ir salīdzināmi ar niacīnu. Savienojumam ir labākas farmakokinētiskās īpašības peļu modeļos, zema toksicitāte un augsta selektivitāte pret HCA2, salīdzinot ar vairāk nekā 120 citu proteīnu. Savienojumu MK-0354 izvēlējās klīniskajiem pētījumiem, taču šo pētījumu 2. stadijā tas neuzrādīja vēlamo HDL un triglicerīdu samazināšanās efektu un klīniskie pētījumi tika apturēti.⁵³



1.8. attēls. Biciklisku un triciklisku pirazolu saturošie HCA2 ligandi
EC₅₀, cAMP tests, niacīns 0,051 μM

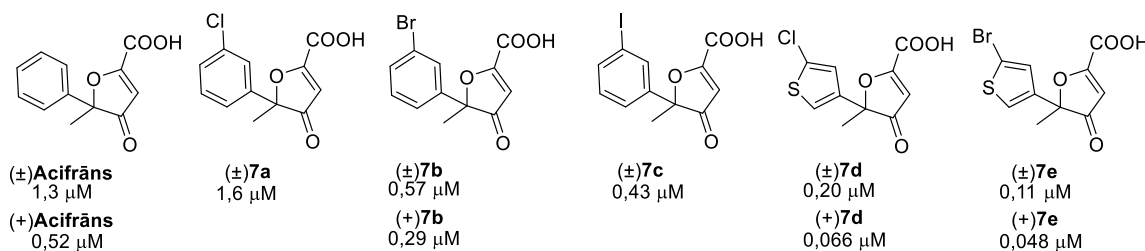
Veicot tālākas līdersavienojuma MK-0354 struktūras modifikācijas, tika iegūta triciklisku pirazolu saturošu HCA2 ligandu sērija (1.8. att.).⁵⁴ Visaugstāko aktivitāti uzrādīja racēmiskais savienojums (\pm)**6a** (EC₅₀ 0,21 μM cAMP testā). Sadalot enantiomērus izradījās, ka ($-$)**6a** savienojums neietekmē cAMP līmeni pat 100 μM koncentrācijā, bet ($+$)**6a** izomēra aktivitāte ir salīdzināma ar niacīnu. Pēc tam *Merck* zinātnieki no pirazolil-tetrazoliem atgriezās atpakaļ pie pirazolil-karbonskābēm un ieguva triciklisku pirazolil-karbonskābju sēriju, kurā tika identificēts savienojums MK-1903, kuram piemita jau nanomolāra aktivitāte.⁵⁵ Minēto savienojumu sērija parāda, ka pat nelielas liganda struktūras izmaiņas noved pie aktivitātes zuduma, piemēram, MK-1903 analoga **6b** aktivitāte ir salīdzināma ar vielas MK-1903

aktivitāti, bet savienojumam ar *endo*-metil grupu **6c** aktivitāte samazinās 20 reizes; palielinot aizvietotāja tilpumu metilgrupas vietā, vielas aktivitāte samazinās un, piemēram, *i*-propil grupu saturošs racēmisks MK-1903 analogs vairs nav aktīvs.

Savienojums MK-1903 tika izvēlēts tālākiem klīniskajiem pētījumiem. Līdzīgi kā MK-0354 gadījumā, ligandam MK-1903 ir labas farmakokinētiskās īpašības un brīvo taukskābju samazināšanas efekts asins serumā dzīvnieku modeļos un klīniskajos pētījumos. Taču klīnisko pētījumu 1. un 2. stadijās šis savienojums uzrādīja nevēlamu blakusefektu – ādas apsārtumu pat mazās devās – sākot no 10 mg. Vielas spēja samazināt HDL un triglicerīdu līmeni asinīs bija mazāka nekā niacīnam, un klīniskie pētījumi arī šīs aktīvās vielas gadījumā tika apturēti.

Acifrāns un tā analogi

Acifrāns tika iegūts Ayerst Laboratories 1980-to gadu sākumā kā zālviela hiperlipidēmijas ārstēšanai. Viela samazināja triglicerīdu līmeni peļu asins serumā mazākās koncentrācijās nekā niacīns.⁵⁶ Tālākie pētījumi parādīja, ka (*S*) jeb (+)-acifrāns ir aktīvs (EC₅₀ 0,52 μM, cAMP tests), savukārt tā enantiomērs (*R*)-acifrāns ir pilnīgi neaktīvs. Ir sintezētas vairākas acifrāna analogu sērijas.^{57,58} Daži no šiem savienojumiem ir parādīti. 1.9. attēlā. Ieviešot aizvietotājus molekulas fenilgrupā, tikai 3-bromo un 3-iodo acifrāna analogiem **7b** un **7c** uzlabojās aktivitāte, salīdzinājumā ar originālo savienojumu. Tika mēģināts aizvietot molekulas fenilgrupas daļu ar heterocikliem – piridīnu, furānu, tiofēnu, kā arī ar cikoheksēnu vai ciklopentēnu, un veiksmīgākie savienojumi izrādījās tiofēnu saturošie acifrāna analogi **7d** un **7e**. Konstatēts, ka savienojumu (+)-enatiomēra aktivitāte ir lielāka kā attiecīgajiem racemātiem un savienojums (+)**7e** ir 11 reizēs aktīvāks par (+)-acifrānu (1.9. att.).



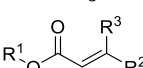
1.9. attēls. Racēmiskie un hirālie acifrāna analogi
EC₅₀, cAMP tests, niacīns 0,12 μM

Fumarāti

Tā kā HCA receptoru endogēnie ligandi ir mazmolekulārās karbonskābes, 2008. gadā tika veikts skrīnings, kurā tika pārbaudītas 1500 dažādas mazmolekulāras karbonskābes. Monometilfumarāts, kuru izmanto psoriāzes ārstēšanā, tika identificēts kā HCA2 selektīvs agonists (1.2. tabula) (EC₅₀ 9,7 μM Ca²⁺ tests, niacīns 2,0 μM).⁵⁹ Šajā testā monometilfumarāta homologa monoetilfumarāta aktivitāte EC₅₀ izrādījās tikai 26 μM, bet dimetilfumarāts un fumārskābe bija neaktīvi.

1.2. tabula

Propēnkarbonskābju atvasinājumi kā HCA2 ligandi

N.p.k.	Savienojums 	R ¹	R ²	R ³	K _i (μM) vai % ^a
1.	Fumārskābe	H	COOH	H	10 %
2.	Monometilfumarāts	Me	COOH	H	0,18
3.	Monoetilfumarāts	Et	COOH	H	0,41
4.	8a	Pr	COOH	H	1,0
5.	8b	Ph	COOH	H	10 %
6.	8c	Bn	COOH	H	3,5
7.	Kanēļskābe	H	Ph	H	4,9
8.	8d	H	4-OH-C ₆ H ₄	H	14
9.	8e	H	Ph	Me	1 %

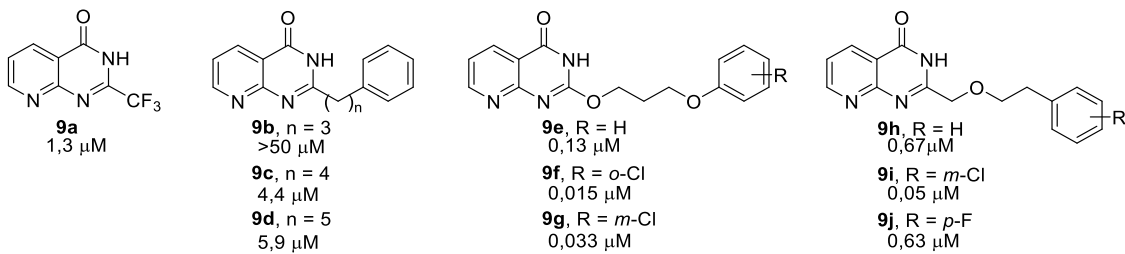
a saistīšanās līdzsvara koncentrācija (μM) vai % no [³H]-niacīna aizvietošanas

10 μM koncentrācijas testā

Ir zināms, ka kanēļskābei un dažiem tās atvasinājumiem, kuri ir sastopami augļos un dārzenos, piemīt antioksidantu īpašības. Zinātniskajā literatūrā ir atrodami dati, kas liecina, ka kanēļskābe un 4-hidroksikanēļskābes atvasinājumi samazina holesterīna un triglicerīdu koncentrāciju asins plazmā.⁶⁰ Šo un līdzīgu mazmolekulāru karbonskābju struktūras-aktivitātes likumsakarību izzināšanai tika sintezēta dažādi aizvietotu *trans*-propēnkarbonskābju sērija. Kā redzams no 1.2. tabulas datiem, monometilfumarāts ir visaktīvākais savienojums sērijā, un, palielinoties R¹ aizvietotājam, vielas aktivitāte samazinās, bet savienojumi, kur pie divkāršās saites ir papildus pievienota metilgrupa (R³ ir Me), ir neaktīvi. Izmantojot molekulāro modelēšanu, ir piedāvāts HCA2 agonistu farmakoforais modelis, kuram atbilst mazmolekulārs lineārs, maksimāli 8 Å garš, karbonskābi saturošs savienojums.⁶¹

Piridopirimidoni

Veicot savienojumu bibliotēkas skrīningu, *Hoffmann-La Roche* zinātnieki identificēja trifluorometilpiridopirimidonu **9a** kā HCA2 ligandu (1.10. att.).⁶² Izmantojot datormodelēšanu, struktūra **9a** tika ievietota HCA2 receptorā un noskaidrojās, ka saistīšanās modelis atbilst *Tunaru*³² iepriekš piedāvātam saistības modelim. Tā, piridopirimidona slāpekļa atomi atveido niacīna karbonskābes daļu un saistās ar Arg111, piridopirimidona karbonilgrupa veido ūdeņraža saiti ar Ser178 līdzīgi niacīna piridīna slāpekļa atomam, bet trifluormetil grupa atrodas receptora tukšajā kabatā starp TM5 un TM6.



1.10. attēls. Piridopirimidonu saturošie HCA2 agonisti IC_{50} , radioligandu metode

No saistības modeļa un no bioloģiskās aktivitātes datiem izriet, ka savienojuma **9a** piridopirimidona daļa ir nepieciešama aktivitātes nodrošināšanai, un, aizvietojot jebkuru cikla slāpekļi ar oglekļa atomu vai alkilējot pirimidona NH grupu, aktivitāte strauji samazinās. Aizvietojot trifluormetil grupu ar dažāda garuma linkeriem ar fenil grupām to galā, kuras varētu aizņemt receptora tukšo kabatu, izrādījās, ka 4 vai 5 metilēngrupas ir optimāls linkera garums (1.10. att., **9b-d**). Ievadot linkera daļā heteroatomus, tika atrasti ētera-tipa linkeri, kuri uzlabo savienojumu afinitāti pret receptoru (vielas **9e**, **9h**). Tālāk izvēršot pētījumus, tika testēta aizvietotāju ietekme fenil grupā uz pētāmo vielu aktivitāti, un, pārbaudot fluor, hlor, metil un metoksi grupas dažādās pozīcijās, rezultātā tika atrasti savienojumi ar *o*-hlor aizvietotāju **9f**, kā arī *m*-hlor aizvietotājiem **9g** un **9i**, kuri izrādījās augstas afinitātes selektīvi HCA2 ligandi. Tālāk savienojumi **9a** un **9j** tika pārbaudīti *in vivo* testos, taču tie uzrādīja nevēlamas farmakokinētiskās īpašības un minēto savienojumu tālāka virzība uz klīniskajiem pētījumiem netika turpināta.

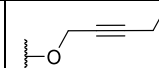
Piranopirimidīndioni

Firmas *Merck* veiktā savienojumu bibliotēku skrīningā tika atrasts tiobarbitūskābes atvasinājums **10a** (1.3. tabula), kuram piemita HCA2 agonista īpašības. *Merck* zinātnieki modifīcēja savienojumu **10a**, nomainot aizvietotājus R¹ un R² 2-C un 5-C pozīcijās, un veica iegūto savienojumu struktūras-aktivitātes likumsakarību analīzi, kas atļāva uzlabot tālāk sintezējamo vielu aktivitāti, no kurām dažas struktūras ir parādītas 1.3. tabulā.^{63,64} Rezultātā tika iegūti vairāki aktīvi savienojumi, piemēram **10d,e**, kuriem ir labas farmakokinētiskās īpašības un augsta *in vivo* aktivitāte peļu un suņu modeļos (1.3. tabula).

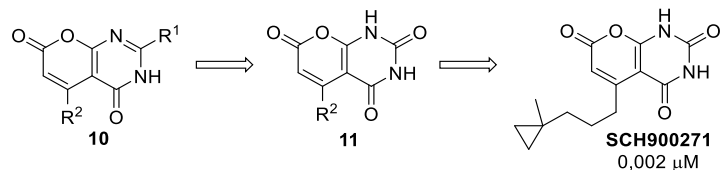
Savienojumi tika attīstīti tālāk un izrādījās, ka, vienkāršojot struktūru un R¹ aizvietotāja vietā ieliekot karbonil grupu, savienojumu aktivitāte uzlabojas. Pētījumu rezultātā tika atrasts savienojums SCH900271 (1.11. att.), kurš samazināja brīvo taukskābju un triglicerīdu koncentrāciju suņu plasmā 10 reizes mazākā devā (1 mg/kg) kā niacīns, turklāt viela neizraisīja apsārtuma blakusefektu dozās līdz pat 10 mg/kg.³⁹

1.3. tabula

Piranopirimidindionu atvasinājumi

N.p.k.	Savienojums 10	R ¹	R ²	EC ₅₀ (μM) cAMP metode
1.	10a	SH	Et	0,47
2.	10b	H, iPr, nBu vai COOEt	Et	>10
3.	10c	CHF ₂	pentil	0,13
4.	10d	CHF ₂		0,059
5.	10e	CHF ₂		0,049
6.	10f			0,067

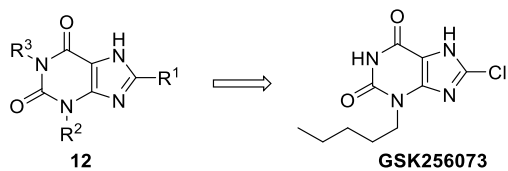
Savienojums SCH900271 tika izvēlēts tālākiem klīniskajiem pētījumiem, taču, līdzīgi kā MK-1902 un MK-0354 gadījumā, neuzrādīja HDL un triglicerīdu samazināšanas efektu.



1.11. attēls. Piranopirimidindionu modificēšana
EC₅₀, cAMP tests

Ksantīna atvasinājumi

GlaxoSmithKline laboratorijās ir pētīti ksantīnu saturoši HCA2 ligandi **12** (1.12. att.).^{65,66} Diemžēl, literatūrā nav publicētas savienojumu struktūras-aktivitātes likumsakarības, taču zinātniekiem ir izdevies identificēt savienojumu GSK256073 (EC₅₀ 0,032 μM [³⁵S]GTPγS tests, niacīns 0,20 μM).⁶⁷ Šis savienojums ir selektīvs pret HCA2, tas samazināja seruma triglicerīdu līmeni klīniskajos pētījumos, kā arī neuzrādīja nopietrus blakusefektus un ādas apsārtumu.



1.12. attēls Ksantīna atvasinājumi

4-(Fenil)tio-1*H*-pirazola atvasinājumi

Vēl viens savienojums, kas, izmantojot savienojumu bibliotēkas skrīningu, tika identificēts kā HCA2 agonists, ir 4-(fenil)tio-1*H*-pirazols **13a** (1.4. tabula).⁶⁸ Struktūras-

aktivitātes likumsakarību pētījumiem tika iegūta savienojuma **13a** analogu sērija **13b-g** ar dažādiem aizvietotājiem un to aktivitātes salīdzinātas ar niacīnu. Šajā pētījumā savienojumi tika pārbaudīti arī β -arestīna saistības testā, kurš parāda, vai, aktivējot receptoru, ligands aktivē arī β -arestīna signālceļu vai nē. No 1.4. tabulā parādītajiem datiem var redzēt, ka pētniekiem nav izdevies uzlabot savienojuma **13a** aktivitāti, kurš ir tikpat aktīvs kā niacīns. Tomēr zinātnieki ieguva savienojumus, kuri 3–4 reizes vājāk kā niacīns aktivē β -arestīna signālceļu, piemēram, struktūras **13c,f,g** (1.4. tabula).

1.4. tabula

4-(Fenil)tio-1*H*-pirazola atvasinājumi

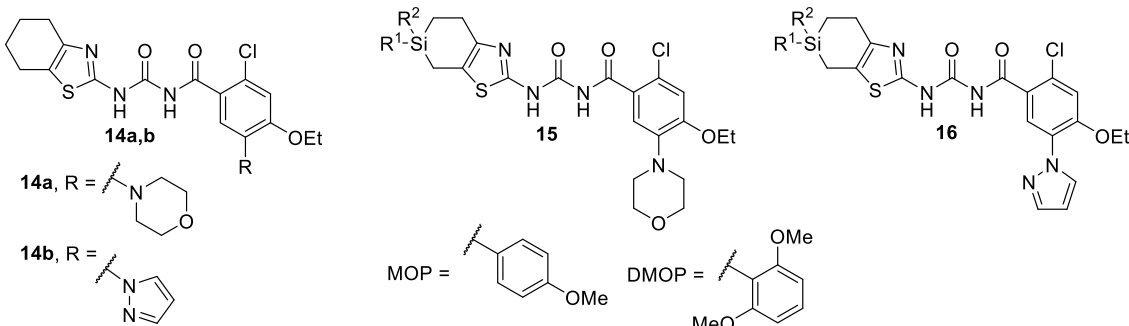
N.p.k.	Savienojums	\mathbf{R}^1	\mathbf{R}^2	EC ₅₀ (μM) Ca ²⁺ tests	β -arestīna aktivēšana (reizes, 10 μM koncentrācijā)
1.	13a	Me	4-Cl	0,045	2,31
2.	13b	Me	4-Br	0,13	2,19
3.	13c	Me	4- <i>t</i> Bu	1,3	1,03
4.	13d	Me	4-NHAc	0,85	3,16
5.	13e	Me	2-Cl	0,28	3,46
6.	13f	Ph	2-Cl	0,85	1,03
7.	13g	Ph	H	0,20	1,75
8.	Niacīns	-	-	0,052	4,82

Silīciju saturošie savienojumi

Tacke grupa nodarbojas ar silīciju saturošu bioloģiski aktīvu savienojumu sistemātiskiem pētījumiem, un HCA receptoru ligandu izstrāde ir daļa no tiem.⁶⁹ Savienojumi **14-16** tika pārbaudīti HCA1 un HCA2 cAMP testos, un gandrīz visi sintezētie savienojumi izrādījās abu receptoru agonisti, izņemot analogu **16b**, kurš ir selektīvs pret HCA1 (1.5. tabula). Salīdzinot ar analogiem bez silīcija atoma **14a** un **14b**, silīciju saturošie savienojumi **15** un **16** ir mazāk aktīvi un ar zemāku šķīdību bioloģiskās vidēs.

1.5. tabula

Silīciju saturošie HCA1 un HCA2 ligandi



N.p.k.	Savienojums	R¹	R²	EC₅₀ (µM)	EC₅₀ (µM)
				cAMP tests	cAMP tests
				HCA1	HCA2
1.	14a	-	-	0,24	2,1
2.	15a	Pr	MOP	4,4	4,8
3.	15b	Me	MOP	1,0	1,2
4.	15c	Pr	DMOP	3,6	3,3
5.	15d	Me	DMOP	1,2	1,3
6.	14b	-	-	0,018	0,25
7.	16a	Pr	MOP	1,3	1,8
8.	16b	Ph	MOP	2,0	>100
9.	16c	Pr	DMOP	0,84	0,68

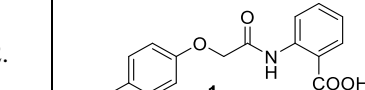
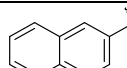
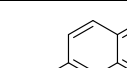
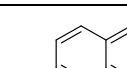
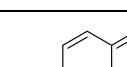
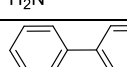
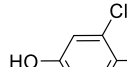
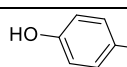
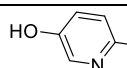
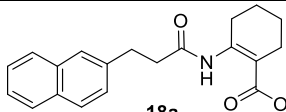
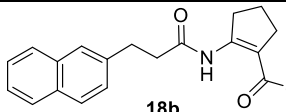
Antranilskābes atvasinājumi un to analogi

Antranilskābi saturošs savienojums **1** (1.6. tabula), kuru, izmantojot savienojumu bibliotēkas skrīningu, ir identificējši *Merck* zinātnieki, ir vājš HCA2 agonists. Savienojuma **1** analogu sērijas izveidei un izpētei tika izmantota HCA2 homoloģijas modeļa izveide un struktūras dokings.³⁴

Aizvietojot savienojuma **1** fenolētera daļas ētera skābekļa atomu ar metilēngrupu un ievietojot fenolgrupas vietā dažādus aromātiskus ciklus, *Merck* zinātnieku grupa izveidoja jaunu HCA2 ligandu sēriju **17**, kuras reprezentatīvi pārstāvji ir parādīti 1.6. tabulā. Veiktā darba rezultātā tika noskaidrotas dažas būtiskas minētās savienojumu sērijas struktūras-aktivitātes likumsakarības. Tā, 2-naftil grupa palielina liganda hidrofobās virsmas mijiedarbību ar receptora kabatu (savienojums **17a**). Vielu aktivitātes uzlabošanos, ievadot 2-naftil grupas 6-pozīcijā papildus hidroksil vai amino grupas (**17c** un **17d**), skaidro ar mijiedarbības pastiprināšanos, veidojoties jaunievesto grupu papildus saistībai ar aminoskābju Asn171, Ser179, un His259 atlikumiem receptora kabatas ieejā.

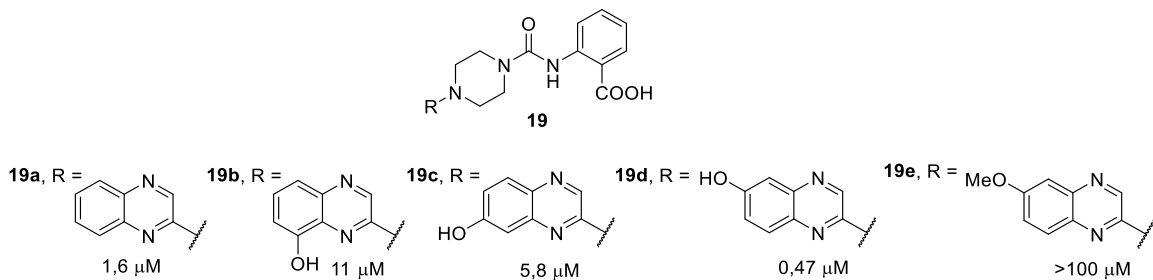
1.6. tabula

Antranilskābi saturošie HCA2 agonisti

N.p.k.	Savienojums 17	R	IC ₅₀ (μM)	EC ₅₀ (μM) [³⁵ S]GTPγS tests
1.	Niacīns	-	0,13	1,4
2.		-	69 % pie 2,5 μM	12,5
3.	17a		0,14	1,0
4.	17b		0,087	1,25
5.	17c		0,024	0,38
6.	17d		0,034	0,54
7.	17e		0,094	0,59
8.	17f		0,004	0,045
9.	17g		0,010	0,12
10.	17h		0,004	0,027
11.		-	0,038	0,69
12.		-	0,13	0,84

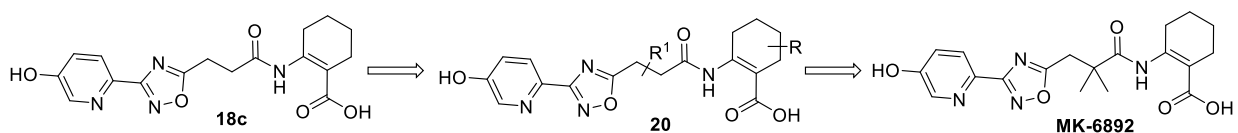
Bifenil savienojums **17e** ir augstas afinitātes HCA2 ligands, taču farmakokinētiskajos un stabilitātes pētījumos viela izrādījās labs citohroma P450 inhibitoris, kā arī šim savienojumam ir slikta biopieejamība un augsta saistība ar plazmas proteīniem. Šīs nevēlamās īpašības ir izdevies novērst savienojumu **17** biheteroaril sērijā. Tā, atvasinājums **17g** samazināja brīvo taukskābju koncentrāciju *in vivo* testos un neizraisīja apsārtuma efektu peļu modeļos.⁷⁰

Ar mērķi uzlabot savienojumu farmakoloģiskās īpašības, ir iegūti savienojumu **17** analogi, kur antranilskābe ir aizvietota ar cikloheksēnkarbonskābi vai ciklopentēnkarbonskābi, piemēram, **18a,b** (1.6. tabula).⁷¹ Cikloheksēna vai ciklopentēna ciklu saturošie analogi ir stabilāki citohroma P450 inhibīcijas testos, kā arī tiem ir labāka biopieejamība.



1.13. attēls. Urīnvielu saturošie HCA2 agonisti EC₅₀, [³⁵S]GTPγS tests

Merck zinātnieki mērķtiecīgi turpināja modifīcēt antranilskābi saturošo struktūru **1**. Literatūrā ir aprakstīta urīnvielu saturoša antranilskābes atvasinājumu **19** sērija (1.13. att.).⁷² Savienojumiem **19** nav tik augsta aktivitāte kā savienojumiem **17c-h**, taču šajā piemērā var redzēt, cik aktivitāte ir jūtīga pret aizvietotāju pozīcijas maiņu. Ievadot hidroksilgrupu savienojumu **19** hinoksalīna daļas 6-pozīcijā, aktivitāte uzlabojas (**19d**, EC₅₀ 0,47 μM), bet, mainot hidroksilgrupas novietojumu uz 8- vai 7-pozīciju kā, piemēram, savienojumu **19b** un **19c** gadījumā, vielu aktivitāte samazinās. Interesanti, ka savienojums **19e** ar metoksi grupu 6-pozīcijā ir pavisam neaktīvs, kaut gan tā analogs **17b** (1.6. tabula) spēja efektīvi aktivēt HCA2 (EC₅₀ 1,25 μM).

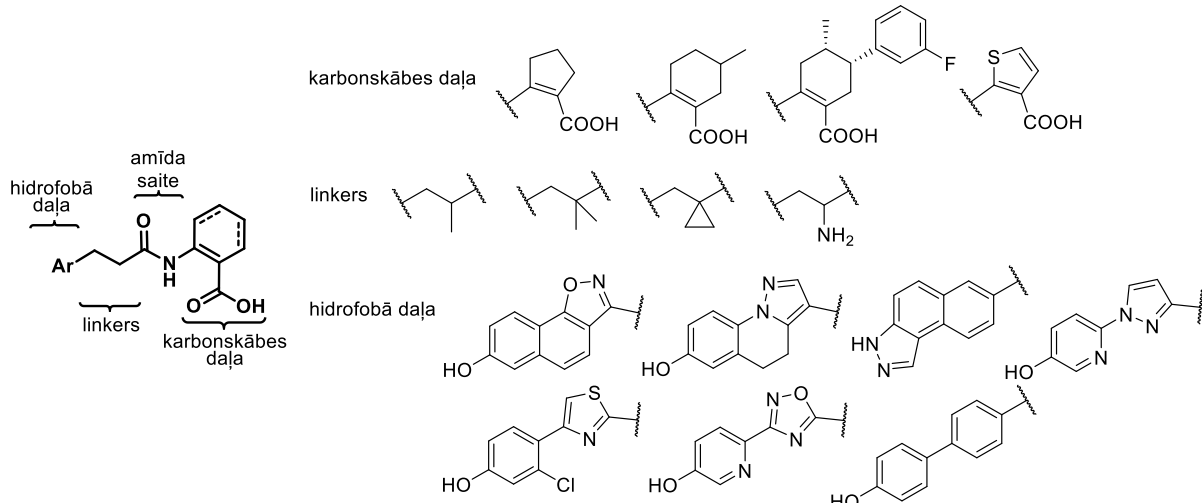


1.14. attēls. Cikloheksēnkarbonskābi saturošo HCA2 ligandu dizains

Turpinot pētījumus, ir iegūti savienojuma **18c** analogi **20**, kuros –CH₂CH₂– tiltiņš jeb linkers ir modifīcēts,^{73,74} kā arī savienojumi **20** ar papildus aizvietotājiem pie cikloheksēna cikla,⁷⁵ un vairāki cikloheksēnkarbonskābes un antranilskābes atvasinājumi ar dažādām heterociklu, kā arī triciklu variācijām aromātiskajā daļā.^{76,77} Rezultātā *Merck* kā līdersavienojumu tālākai virzībai izraudzījās struktūru MK-6892 (1.14. att.), kas ir augstas afinitātes HCA2 ligands (IC₅₀ 0,004 μM, EC₅₀ 0,022 μM [³⁵S]GTPγS tests)⁷³ ar labām farmakokinētiskām īpašībām un spēju efektīvi samazināt brīvo taukskābju līmeni plazmā, neizraisot ādas apsārtuma blakusefektu peļu un suņu modeļos.

Apkopojot *Merck* publicētās struktūras, antranilskābes atvasinājumu un to analogu HCA2 liganda vispārīgā struktūra ir parādīta 1.15. attēlā. Struktūras karbonskābes daļā var būt antranilskābe un cikloheksēnkarbonskābe, ko var aizvietot arī ar tiofēnkarbonskābi.⁷⁸ Cikloheksēna 4-pozīcijā var atrasties diezgan liels aizvietotājs, piemēram, 3-fluorfenil grupa, kas norāda uz tukšu dobumu receptorā pie karbonskābes daļas saistīšanās vietas. HCA2 agonistu svarīga struktūriezīme ir otrējās amīda grupas klātbūtne molekulā, kuras kustīgais ūdeņraža atoms veido iekšmolekulāru ūdeņraža saiti ar karbonilgrupas skābekli, kas ir pierādīts, izmantojot KMR un rentgenstruktūralanalīzi.⁷⁹ Uzskata, ka ūdeņraža saites izveidotā un stabilizētā konformācija atbilst HCA2 ligandam nepieciešamajai bioaktīvajai konformācijai, jo, metilējot amīda slāpekļa atomu, iegūst pavisam neaktīvu savienojumu.⁷¹ Savienojumu aktivitāte arī zūd, ja noreducē cikloheksēna dubultsaiti par *cis* vai *trans*

piesātinātu analogu, kas parāda, ka bioaktīvas konformācijas nodrošināšanai ir nepieciešams arī planārs aizvietotāju novietojums kā tas ir divkāršās saites gadījumā.^{71,77}

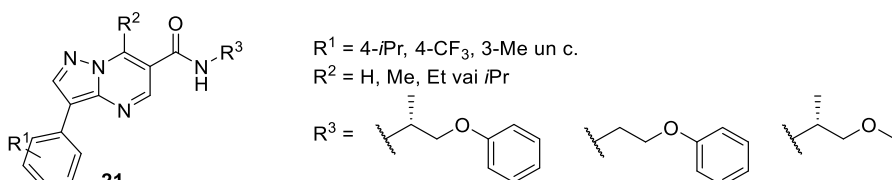


1.15. attēls. Vispārīgā uz antranilskābes bāzes veidoto HCA2 ligandu struktūra

HCA2 ligandu aromātisko daļu var uzskatīt par liganda struktūras hidrofobo daļu, jo, atbilstoši *Deng* datormodelēšanas rezultātiem³⁴, šī struktūras daļa nodrošina liganda hidrofobo mijiedarbību ar receptoru. Hidrofobajā daļā var atrasties dažādi heteroatomus saturoši bicikli un tricikli, un parasti heteroatomu klātbūtne šajā daļā palielina savienojumu aktivitāti, kā arī uzlabo to farmakokinētiskās īpašības. Hidrofobās daļas aktivitāti uzlabo arī pretēji linkera pievienošanas vietai novietota hidroksilgrupa, ko dažos gadījumos var aizvietot ar fluora atomu vai aminogrupu.⁷⁴ Liganda amīda saiti un hidrofobo daļu savieno linkers. Pie tā var atrasties metil, ciklopropil vai ciklobutil aizvietotāji. Papildus aminogrupas iekļaušana linkera daļā samazina liganda saistīšanos ar plazmas proteīniem un uzlabo tā ADME īpašības.

HCA2 alostēriskie modulatori

Vienīgā publicētā HCA2 alostērisko modulatoru klase ir pirazolopirimidīni **21** (1.16. att.).^{80,81}



1.16. attēls. HCA2 alostēriskie modulatori

Savienojumiem ir vāja HCA2 aktivēšanas spēja [³⁵S]GTPγS testā, taču tie spēj palielināt niacīna aktivitāti vairākas reizes atkarībā no koncentrācijas. Daži savienojumi tika pārbaudīti kopā ar HCA2 endogēno ligandu β-OHB, un arī šajos testos tie uzrādīja spēju palielināt liganda aktivitāti caurmērā 8 reizes. No terapeutiskā viedokļa alostēriskais modulators ļauj izmantot ārstniecisko vielu – receptora agonistu mazākās devās. Diemžēl, mums literatūrā neizdevās atrast datus, kur HCA2 alostērisko modulatoru ietekme uz receptora aktivēšanas efektiem būtu pārbaudīta *in vivo* testos.

1.4. Literatūras apskata kopsavilkums

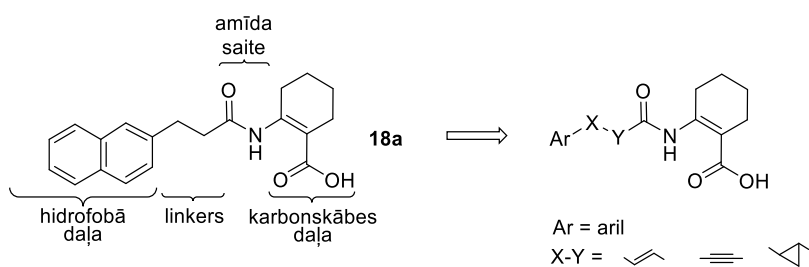
HCA, līdzīgi kā citi GPCR, ir izplatīti dažāda veida šūnās un tie organismā pilda vairākas funkcijas. HCA endogēnie ligandi ir uzturvielu metabolīti. HCA palīdz uzturēt homeostāzi, regulējot lipolīzes, iekaisuma un citus procesus. No HCA grupas visvairāk pētītais receptors ir HCA2. HCA2 agonistus izmanto aterosklerozes un multiplās sklerozes ārstēšanā, tomēr uzskata, ka HCA2 ligandu terapeitiskais potenciāls vēl nav pilnībā izpētīts. Ir zināmas vairākas HCA2 agonistu klases, kā arī daži alostēriskie modulatori. Jaunu ligandu identificēšanai zinātnieki ir izmantojuši 2 piejas – augstās caurlaidības skrīningu vai zināmo HCA2 agonistu struktūru modifcēšanu.

HCA2 kristāliskā struktūra nav zināma. Izveidotie HCA2 homoloģijas modeļi atšķiras un šīs atšķirības norāda uz dažādām receptora–liganda mijiedarbības vietām. Homoloģijas modeļi ir stipri atkarīgi no izmantotās veidnes struktūras un līdz šim nav tikuši izmantoti jaunu ligandu virtuālajam skrīningam. Receptora struktūras modeļa trūkums un ligandu daudzveidība apgrūtina receptora un liganda saistības vietas raksturošanu, līdz ar to nav iepējama ar receptora struktūru pamatota ligandu izstrāde.

2. AKRILAMIDOCIKLOHEKSĒNKARBONSKĀBI SATUROŠIE HCA2 LIGANDI

Liganda un receptora mijiedarbības procesā notiek gan liganda, gan receptora konformāciju maiņa. Jo mazāks ligandam ir rotējošo saišu skaits, jo lielāka varbūtība, ka liganda konformāciju izmaiņas mijiedarbības procesā ir nelielas un struktūras enerģētiski izdevīgākā konformācija varētu atbilst receptoram nepieciešamajai biokonformācijai.

Tā kā HCA2 kristāliskā struktūra nav zināma, par receptora aktīvo centru var spriest tikai pēc analogijas ar līdzīgas kristāliskas struktūras receptoru ligandu piesaistes vietu, kā arī analizējot HCA2 zināmās ligandu struktūras. Kā jau promocijas darba literatūras apskata daļā bija parādīts, praktiski visi pamatsavienojumi, kas farmaceitiskajās firmās ir tikuši attīstīti kā HCA2 sintētiskie ligandi, ir atrasti augstās caurlaidības skrīninga rezultātā. Mūsu darba sākuma etapā kā izejas savienojums tālākai modifikācijai tika izvēlēta *Merck* zinātnieku atklātā struktūra **18a**, kas ir augstas afinitātes HCA2 agonists un neizraisa ādas apsārtumu *in vivo* modeļos (2.1. att.).



2.1. attēls. HCA2 agonista **18a** struktūra

Mūsu pieejas pamatā jaunu savienojumu izveidē ir konformācionālās ierobežošanas jeb rigidifikācijas koncepcija, saskaņā ar kuru, ievedot 2-amidocikloheks-1-ēnkarbonskābes molekulas **18a** karbonskābes un hidrofobās daļas savienojošā linkerā rotāciju ierobežojošus elementus, varētu iegūt savienojumus ar augstāku aktivitāti un selektivitāti, ja kāda no jauniegūtās molekulas enerģētiski izdevīgām konformācijām sakristu ar receptoram nepieciešamo bioaktīvo konformāciju.

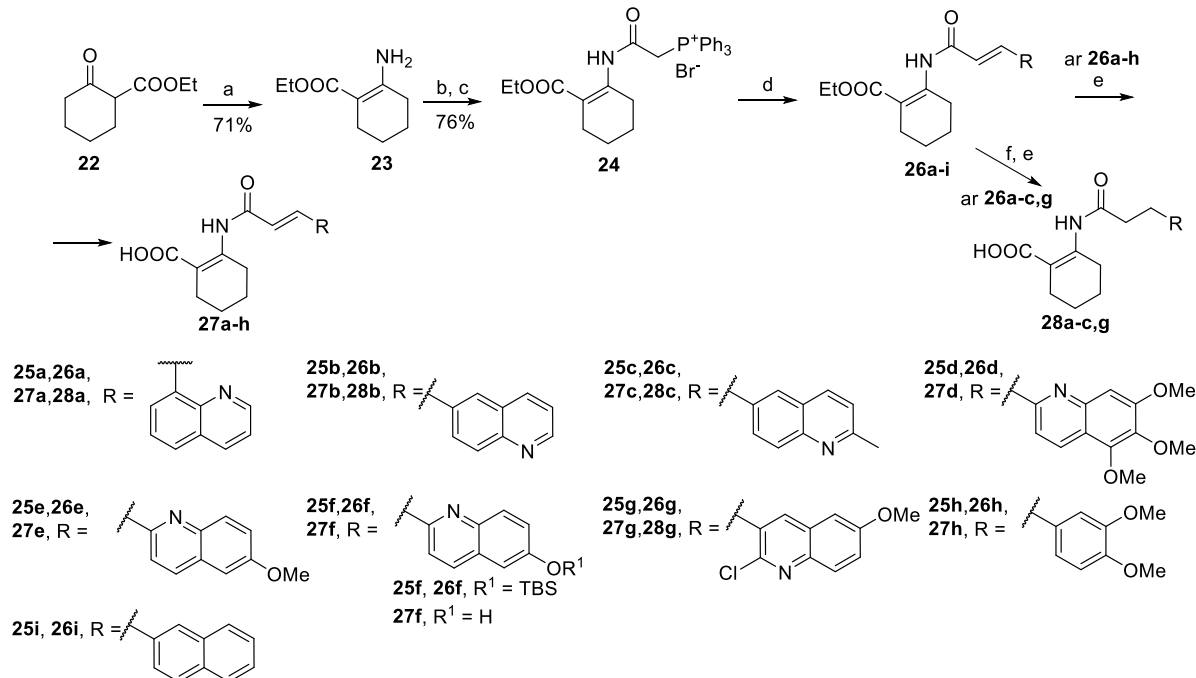
Šī darba nodaļa ir veltīta struktūras **18a** linkera daļas modificēšanai ar dubultsaiti, trīskāršo saiti un 1,2-ciklopropilgrupu, kā arī jaunu arilgrupu meklējumiem potenciālo ligandu hidrofobajā daļā. Būtiski ir arī tas, ka 2-amidocikloheks-1-ēnkarbonskābju atvasinājumus aizsargājošie patenti šādas struktūras modifikācijas ligandu linkera daļā praktiski neietver.

2.1. Savienojumu iegūšana

Mērķa molekulu **27**, kuru linkera daļa satur dubultsaiti, sintēzei izstrādājām vispārēju konverģēantu sintēzes metodi, kuras pamatā ir Vitiga reakcija (2.2. att.). Šī sintēzes shēma ļauj iegūt mērķsavienojumus no aril vai heterociklus saturošiem aldehīdiem un šim mērķim izveidota oriģināla trifenilfosfonija bromīda atvasinājuma **24** divos soļos.

Sintēzes realizēšanai nepieciešamo trifenilfosfonija bromīdu **24** ieguvām sekojoši (2.2. att.). Vispirms komerciāli pieejamo cikloheksanona etilesteri **22** ar amonija acetātu pārvērtām

par vinilamīnu **23**, kura aminogrupu acilējām ar 2-bromacetil bromīdu, un tad iegūto bromoacetamīda intermediātu pārvērtām par Vitiga reakcijā izmantojamo fosfonija sāli **24**.



2.2. attēls. Savienojumu **27a-h** un **28a-c,g** iegūšanas shēma

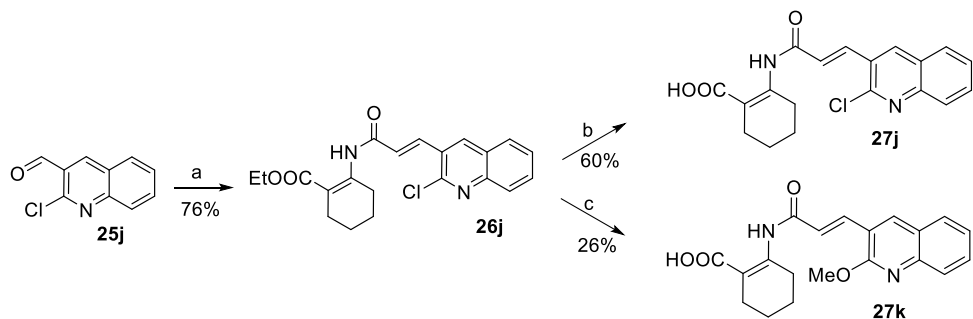
Reāgenti un apstākli: (a) $\text{NH}_4\text{OAc}, \text{MeOH}$, rt, 16 h; (b) 2-bromacetil bromīds, piridīns, $\text{THF}, -5^\circ\text{C}$, 1 h; (c) PPh_3 , benzols, vārišana, 3 h; (d) RCHO (**25a-i**), $t\text{BuOK}$, DMSO , rt, 1–2 h, 33–82 %; (e) 10 N NaOH , THF, MeOH , rt, 5–18 h, 22–75 %; (f) 10 % Pd/C , H_2 , MeOH , rt, 40 min – 2 h, 54–88 %

Lielākā daļa no Vitiga reakcijā izmantotajiem aldehīdiem **25a-i** bija komerciāli pieejami, izņemot savienojumus **25b**, **25c** un **25f**, no kuriem pirmos divus ieguvām no attiecīgajiem spirtiem, izmantojot Dessa-Martina oksidēšanas metodi.⁸² Lai iegūtu hidroksinaftalīnu saturošo savienojumu **27f**, Vitiga reakcijā izmantojām ar TBS aizsargātu attiecīgo hidroksinaftilaldehīdu **25f**. Minēto aldehīdu **25b**, **25c** un **25f** sintēžu sīkāks izklāsts ir atrodams eksperimentālajā daļā. Vitiga reakcijai nepieciešamo fosfonija ilīdu izveidojām no trifenilfosfonija bromīda **24**, izmantojot $t\text{BuOK}$, un tā tālākās reakcijās ar aldehīdiem **25a-i** ieguvām *E*-olefinus **26a-i**. Gadījumā, kad blakus aldehīda grupai bija liels aizvietotājs – kā, piem., hlora atoms savienojumā **26g**, Vitiga reakcijā veidojās arī *Z*-izomēra piemaisījums attiecībā $E:Z = 1:0,14$ ($^1\text{H-KMR}$). Noskaidrojām, ka izomēri nav atdalāmi, izmantojot hromatogrāfiju, taču pēc sintēzes nākamās stadijas – estera grupas bāziskās hidrolīzes, *Z*-izomēra piemaisījums reakcijas maisījumā vairs netika konstatēts.

Etilesteru **26a-i** un līdzīgu zemākaprakstīto savienojumu hidrolīzes reakciju iznākumi, veidojot attiecīgas karbonskābes **26a-i**, nav augsti (parasti zem 50 %), ko var izskaidrot ar pietiekami viegli hidrolizējamas amīda grupas klātbūtni molekulā. Ar mērķi atrast alternatīvu etilgrupai karbonskābes grupas aizsardzībā, kuru būtu iespējams nošķelt nehidrolītiskos apstākļos, tika veikta eksperimentu sērija ar etilesteru **26** metilesteru analogu nošķelšanu ar LiCl , benzilesteru analogu nošķelšanu ar TMSBr vai hidrogenējot, kā arī tika izmēģināta etilesteru **26** *t*-butil estera analoga nošķelšanu skābā vidē. Tā kā attiecīgo karbonskābju **27** iznākumi bija vēl mazāki nekā attiecīgajās bāziskās hidrolīzes reakcijās, visos nākamajos

eksperimentos ir izmantota etilesteru hidrolīze ar NaOH šķīdumu THF un MeOH maisījumā, un ir iegūti savienojumi **27a-h** ar 22–75 % iznākumiem.

Dubultsaites un vienkāršās saites linkeru saturošo savienojumu bioloģisko īpašību salīdzināšanai daļai no olefinu karbonskābēm (**27a-c,g**) ieguvām piesātinātos analogus **28a-c,g**, izmantojot alkēnu **26a-c,g** hidrogenēšanu 10 % Pd/C klātienē (2.2. att.). Reakcija notika selektīvi, neskarot cikloheksēna dubultsaiti, un pēc attiecīgo etilesteru hidrolīzes ieguvām savienojumus **28a-c,g**.

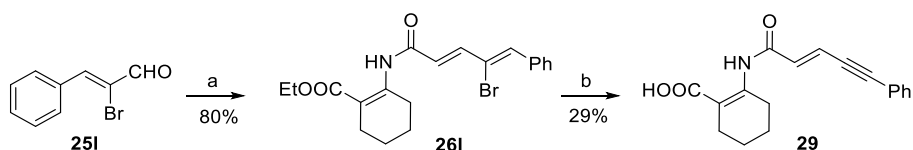


2.3. attēls. Savienojumu **27j** un **27k** iegūšana

Reaģenti un apstākļi: (a) **24**, *t*BuOK, DMSO, rt, 1 h; (b) 10 N NaOH, THF, 50 °C, 18 h; (c) 10 N NaOH, THF, MeOH, rt, 19 h

No aldehīda **25j** Vitiga reakcijā veidojās olefīns **26j** *E* un *Z* izomēru maisījuma veidā, *E:Z* = 1:0,15 (¹H-KMR). Savienojuma **26j** bāziskajā hidrolīzē metanola klātienē hlora aizvietošanās rezultātā veidojās tā 2-metoksi analogs **27k**. Veicot reakciju bez metanola klātbūtnes, izejvielas šķīdības dēļ bija nepieciešama sildīšana, taču nenotika hlora aizvietošanās un tika iegūts hloru saturošs savienojums **27j** (2.3. att.).

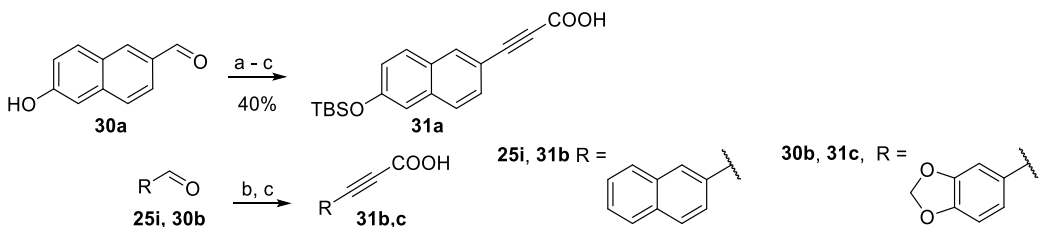
Vitiga reakcijā no 2-bromkanēškābes aldehīda **25l** ieguvām bromu saturošu savienojumu **26l**, kura bāziskās hidrolīzes apstākļos vienlaicīgi notika arī HBr eliminēšanās, un rezultātā veidojās fenilacetilēna fragmentu saturošs savienojums **29** (2.4. att.).



2.4. attēls. Savienojuma **29** iegūšana

Reaģenti un apstākļi: (a) **24**, *t*BuOK, DMSO, rt, 1 h; (b) 10 N NaOH, THF, MeOH, rt, 48 h

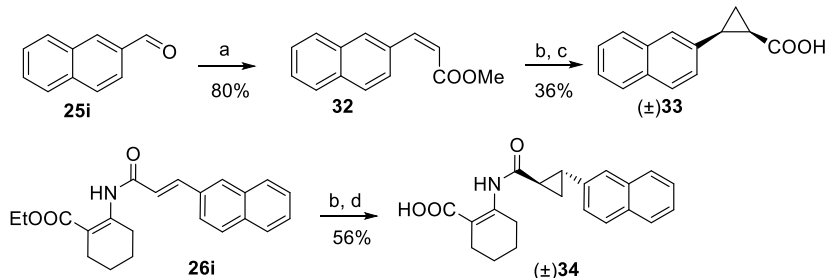
Trīskāršās saites linkeru saturošo savienojumu **38a-c** sintēzei no komerciāli pieejamiem aldehīdiem **30a,b** un **25i** ieguvām arilpropiolskābes **31a-c**, izmantojot Korija-Fuksa reakciju.⁸³ Vispirms aldehīdus **30a,b** un **25i** pārvērtām par attiecīgiem dibromolefīniem. Tad, izmantojot *n*BuLi, dibromolefinus pārvērtām par litija acetilenīdiem, kuriem kā elektrofilu pievienojām CO₂, iegūstot nepieciešamās propiolskābes **31a-c** (2.5. att.).



2.5. attēls. Arilpropioliskābju **31a-c** iegūšana

Reaģenti un apstākļi: (a) TBSCl, imidazols, DMF, rt, 1 h, 99 %; (b) PPh₃, CBr₄, DCM, rt, 1,5 h, 69–89 %; (c) *i*) *n*BuLi, THF, –78 °C, 40 m in; *ii*) CO₂, –78 °C, tad rt, 48–62 %

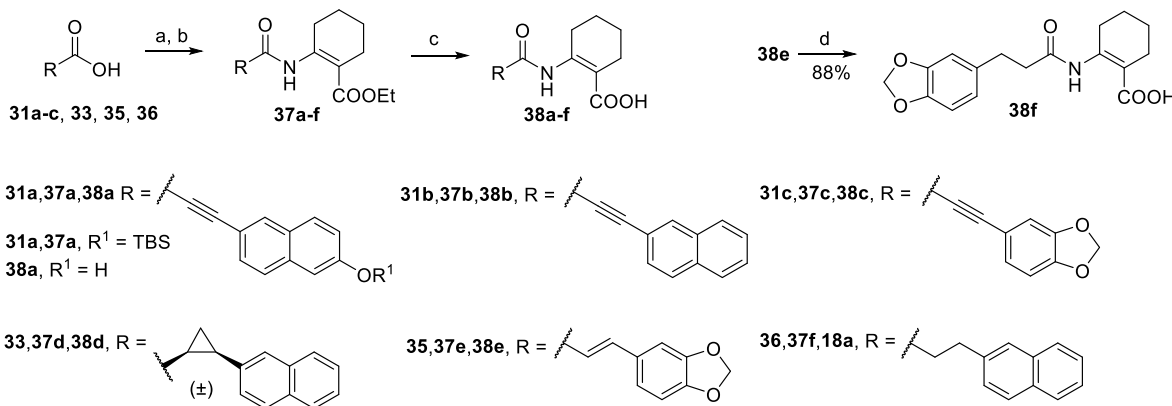
Cis un *trans* ciklopropāna linkeru saturošo savienojumu (\pm)**33** un (\pm)**34** sintēzei izmantojām no diazometāna ģenerēta karbēna reakcijas ar attiecīgiem alkēniem (2.6. att.). *Cis*-ciklopropānkarbonskābes (\pm)**33** iegūšanai vispirms *Z*-selektīvā Hornera-Emonsa 2-naftalīnkarbaldehīda (**25i**) reakcijā ar 2-(bis(*o*-tolil)fosforil)acetātu⁸⁴ ieguvām *Z*-olefinu **32** (*Z:E* = 100:8, ¹H-KMR analīze). Pallādija acetāta katalizētā *Z*-olefīna **32** ciklopropanēšanas reakcijā veidojās *cis*-ciklopropāna atvasinājums, no kura pēc metilestera bāziskās hidrolīzes ieguvām *cis*-ciklopropānkarbonskābi (\pm)**33**. *Trans*-ciklopropāna atvasinājumu (\pm)**34** ieguvām no *E*-alkēna **26i** analogiskā reakciju sekvencē, un pēc etilgrupas nošķelšanas no ciklopropāna intermediāta ieguvām mērķsavienojumu (\pm)**34**.



2.6. attēls. Ciklopropānu saturošo savienojumu (\pm)**33** un (\pm)**34** iegūšana

Reaģenti un apstākļi: (a) (*o*-MePhO)₂P(O)CH₂COOMe, *t*BuOK, DMSO, rt, 1 h; (b) CH₂N₂ šķīdums Et₂O, Pd(OAc)₂, DCM, 0 °C – rt, 1 h; (c) KOH, MeOH, H₂O, 50 °C, 21 h; (d) 10 N NaOH, THF, MeOH, 50 °C, 3 h

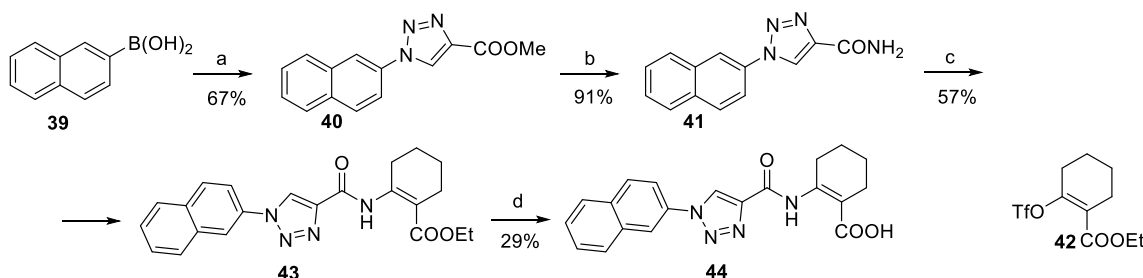
Amīda saites izveidei starp karbonskābēm un vinilamīnu **23** pārbaudījām vairākas metodes – jaukto anhidrīdu metodi ar izobutilhlorformiātu, karbonskābes aktivēšanu ar CDI, EDC vai HBTU reaģentiem, taču amīda saite neveidojās, acīmredzot, vinilamīna **23** vājo nukleofilo īpašību dēļ. Veiksmīgāka izrādījās vinilamīna **23** acilēšana ar karbonskābju hlorīdiem, kurus ieguvām, apstrādājot karbonskābes ar oksalilhlorīdu, un izmantojām uzreiz tālākā vinilamīna **23** acilēšanas reakcijā. Metodes trūkums – karbonskābju hlorīdu veidošanās reakcijā izdalās HCl, kas var reaģēt ar dubultsaitēm un trīskāršajām saitēm, veidojot blakusproduktus un samazinot reakciju iznākumus. 2.7. attēlā ir parādītas ar šo metodi no attiecīgajām karbonskābēm **31a-c**, **33**, **35** un **36** iegūto mērķsavienojumu **18**, **38a-f** sintēzes. Savienojumu **38f** ieguvām, hidrogenējot olefinu **38e** 10 % Pd/C klātienē.



2.7. attēls. Savienojumu **18a**, **38a-f** iegūšana

Reaģenti un apstākļi: (a) oksalilhlorīds, DMF, DCM, rt, 1 h; (b) **23**, TEA, DCM, 0°C, 1 h, 39–76 %; (c) NaOH, THF, MeOH, H₂O, rt, 5–18 h, 3–83 %; (d) 10 % Pd/C, H₂, MeOH, rt, 2 h

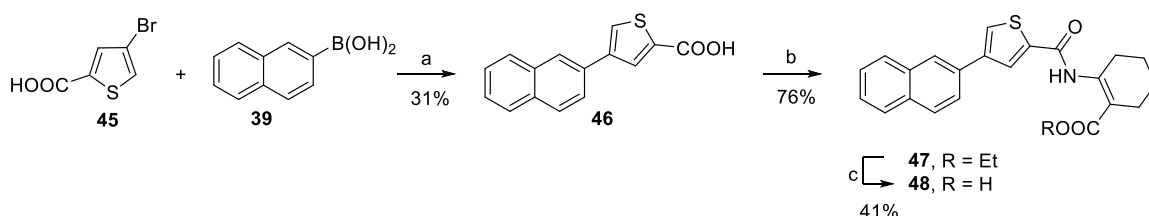
Triazola linkeru saturošu HCA2 ligandu **44** sintezējām no naftilborskābes **39** sekojoši. Izmantojot vara katalīzi, borskābi **39** pārvērtām *in situ* par attiecīgo azīdu, kurš tālākā ciklopievienošanas reakcijā ar metilpropiolātu selektīvi veidoja 1,4-aizvietotu triazolu **40**.⁸⁵ Apstrādājot metilesteri **40** ar amonjaku, ieguvām amīdu **41**, kurš pallādijs katalizētā triflāta **42**⁸⁶ amidēšanas reakcijā veidoja amīdesteri **43**. Etilesteri **43** bāziskās hidrolīzes reakcijā ieguvām mērķsavienojumu **44** (2.8. att.).



2.8. attēls. Triazola linkeru saturoša HCA2 liganda **44** iegūšana

Reaģenti un apstākļi: (a) *i*) NaN₃, Cu(OAc)₂, MeOH, 50 °C, 1,5 h; *ii*) metilpropiolāts, nātrijs askorbāts, rt, 2 h; (b) 7 N NH₃, MeOH, rt, 32 h; (c) **42**, Pd₂(dba)₃, Xanthphos, Cs₂CO₃, dioksāns, 80 °C, 2 h; (d) 2 N NaOH, THF, MeOH, rt, 18 h

Tiofēna linkeru saturoša HCA2 liganda **48** sintēze ir parādīta 2.9. attēlā.



2.9. attēls. Tiofēna linkeru saturoša HCA2 liganda **48** iegūšana

Reaģenti un apstākļi: (a) Pd(PPh₃)₄, Na₂CO₃, THF, H₂O, 85 °C, 3 h; (b) *i*) oksalilhlorīds, DMF, DCM, rt, 1 h; *ii*) **23**, TEA, DCM, 0°C, 1 h; (c) 2 N NaOH, THF, MeOH, rt, 18 h

Suzuki reakcijas apstākļos no borskābes **39** un tiofēnbromīda **45** ieguvām naftiltiofēnkarbonāki **46**, kuru tālākā reakcijā ar oksalilhlorīdu pārvērtām par attiecīgo

karbonskābes hlorīdu. Acilējot vinilamīnu **23** ar sintezēto hloranhidrīdu un veicot iegūtā amīdestera **47** bāzisko hidrolīzi, ieguvām mērķsavienojumu **48**.

2.2. Struktūras-aktivitātes likumsakarības

Sintezēto savienojumu aktivitāšu eksperimentālie pētījumi ir veikti Latvijas Biomedicīnas pētījumu un studiju centrā (BMC). Vielu aktivitātes ir noteiktas funkcionālajā cAMP testā, izmantojot cilvēka embrionālo nieru šūnu membrānās (HEK-293) ekspresētus HCA2. Kā references vielu mēs izmantojām literatūrā aprakstītu un mūsu resintezētu 2-(3-(naftalīn-2-il)propanamido)cikloheks-1-ēnkarbonskābi (**18a**), kuras literatūrā norādītā afinitāte ir 38 nM^{71} . BMC noteiktā savienojuma **18a** funkcionālā aktivitāte minētajā cAMP testā ir $8,3 \mu\text{M}$. Struktūru kustīguma un iespējamu konformāciju skaita raksturošanai mēs izmantojām rotējošo saišu^a skaitu molekulā. Datormodelēšanas aprēķinus veicām, izmantojot *Schrödinger Small-Molecule Drug Discovery Suite*⁸⁷.

Darbā sintezēto savienojuma **18a** analogu, kuros piesātinātā linkera daļa ir nomainīta ar tādiem saišu rotāciju ierobežojošiem elementiem kā dubultsaite (**27i**), trīskāršā saite (**38b**), *trans*-ciklopropāna (**34**) vai *cis*-ciklopropāna grupas (**38d**), bet hidrofobā (naftalīn-2-il) un karbonskābes daļas ir atstātas nemainītas, cAMP testa rezultāti ir parādīti 2.1. tabula.

2.1. tabula

Dažādus linkeru saturošo savienojumu **18a**, **27i**, **34**, un **38b,d** īpašību salīdzinājums

N.p.k.	Savienojuma numurs	Struktūra	Rotējošo saišu skaits	logP	EC ₅₀ ±SD, μM^{a}
1.	18a		5	3,61	$8,3 \pm 2,4$
2.	27i		4	3,48	$4,5 \pm 1,2$
3.	38b		3	3,71	$1,2^{\text{b}}$
4.	34		4	3,50	$12,5 \pm 5$
5.	38d		4	3,50	34 % ^c

a aprēķināts no vismaz 3 eksperimentiem

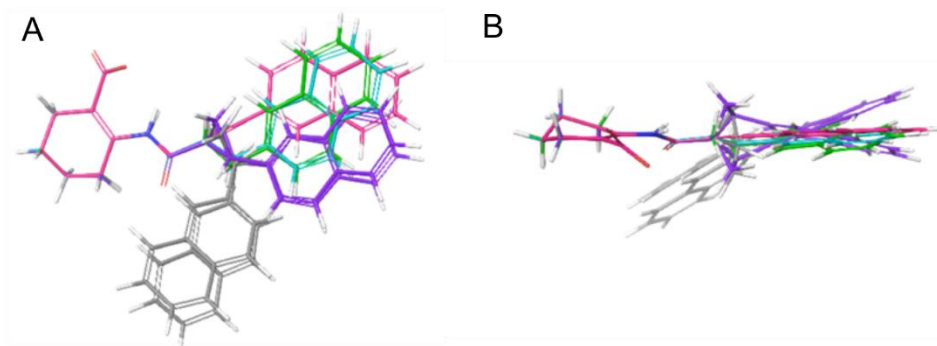
b viena mērījuma rezultāts

c cAMP inhibēšana, ja liganda koncentrācija ir $50 \mu\text{M}$

Kā redzams, savienojumu aktivitātēm ir tendence palielināties rindā *cis*-ciklopropāns << *trans*-ciklopropāns < vienkāršā saite < dubultsaite < trīskāršā saite. Nomainot vienkāršās saites linkeru uz dubultsaiti vai ciklopropānu, savienojuma rotējošo saišu skaits samazinās par vienu, bet trīskāršās saites gadījumā tas ir vēl mazāks. Savienojumu polārās virsmas laukums nemainās, bet vielu lipofilitātes izmaiņas ir nenozīmīgas (2.1. tabula).

^a Par rotējošām saitēm tiek uzskatīta jebkura vienkāršā saite starp netermināliem smagiem atomiem, kuri nav ciklā, izņemot amīda C-N saiti

Izmantojot datormodelēšanu, izveidojām naftalīnu saturošo savienojumu **18a**, **27i**, **34**, **38b,d** enerģētiski izdevīgāko konformēru struktūras. Savietojot šīs struktūras, kā vienādu elementu izvēloties cikloheksēnkarboksilāta daļu, var redzēt struktūru atšķirības telpā (2.10. att.). Trīskāršās saites linkeru saturošā struktūra **38b**, dubultsaiti saturošā struktūra **27i** un vienkāršās saites linkeru saturošā struktūra **18a** pārklājās un attiecīgi šie savienojumi ir aktīvāki, bet *trans*-ciklopropānu saturošā savienojuma **34** abi enantiomēri nedaudz iziet no plaknes un, kā redzams 2.10. A attēlā, atrodas zemāk par **18a**, kas varētu būt skaidrojums savienojuma **34** aktivitātes samazinājumam. Savukārt, *cis*-ciklopropāna linkeru saturošā savienojuma **38d** enantiomēru hidrofobā daļa vispār nepārklājās ar **18a**, **38b** un **27i** hidrofobām daļām un šis savienojums ir praktiski neaktīvs.



2.10. attēls. Dažādu linkeru saturošo struktūru savietošana
18a – zāļš, **27i** – zils, **34** – violeti, **38b** – rozā, **38d** – pelēks

Lai noskaidrotu savienojumu hidrofobās daļas ietekmi uz to bioloģisko aktivitāti, sintezējām divkāršās saites linkeru saturošā naftalīn-2-il atvasinājuma **27i** struktūranalogu **27a-h,j,k,m-w** sēriju ar dažādām hidrofobām daļām, bez tam vairākiem no šiem savienojumiem ieguvām arī analogus ar vienkāršās saites linkeru (**28a-c,g, 38f, 49**) un trīskāršas saites linkeru (**38a-c**).^a Minēto savienojumu struktūras un aktivitātes ir apkopotas 2.2. tabulā.

Vispirms mēs salīdzinājām aktivitātes izmaiņas, mainot struktūras linkera daļu no vienkāršās saites uz dubultsaiti un trīskāršo saiti savienojumiem ar nemainīgu hidrofobo un karbonskābes daļu. Rindā vienkāršā saite< dubultsaitē < trīskāršā saite 6-hidroksinaftalīn-2-il aizvietotāju saturošiem savienojumiem aktivitātes ir līdzīgas (EC₅₀ savienojumam **49** – 1,9 μM, **27w** – 1,4 μM, **38a** – 0,9 μM), bet benzodioksolu saturošiem savienojumiem aktivitāte uzlabojas (EC₅₀ **38f** – 51,6 μM, **38e** – 5,8 μM).

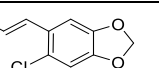
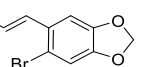
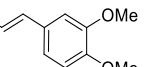
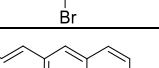
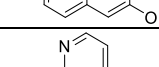
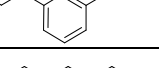
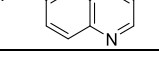
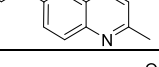
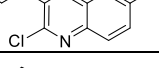
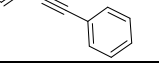
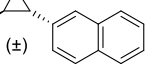
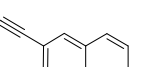
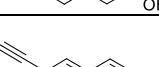
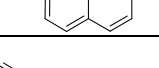
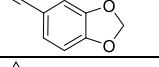
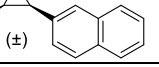
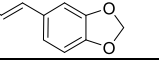
Tomēr novērotā likumsakarība, ka, ieviešot rigidifikācijas elementus molekulā, tās aktivitāte palielinās, nav universāla un ir atkarīga no savienojumu hidrofobās daļas. Piemēram, savienojumiem ar (2-hloro-6-metoksi)hinolīn-3-il aizvietotāju **27g** un **28g** aktivitātes praktiski ir līdzīgas – dubultsaiti saturošā savienojuma **27g** EC₅₀ ir 6,3 μM un vienkāršo saiti saturošā **28g** – 4,1 μM. Savukārt, savienojums ar hinolīn-8-il hidrofobu daļu **27a** ir neaktīvs, bet tās analogs ar vienkāršo saiti ir ļoti vājš ligands, jo spēj aktivēt receptoru tikai par 60 % 50 μM koncentrācijā.

^a Savienojumi **27i,m-w** un **49** ir iegūti sadarbībā ar R. Bokalderi, V. Gailīti, I. Kaulu un M. Ikaunieku

2.2. tabula

Cikloheksēnkarbonskābju atvasinājumu HCA aktivēšanas dati

N.p.k.	Savienojums	Struktūra	HCA2		HCA1	HCA3
			EC ₅₀ ±SD, μM ^a	Inh., % ^b	Inh., % ^b	Inh., % ^b
1.	18a		8,3 ± 2,4		66 ± 4	41 ± 4
2.	27a			NA	54 ± 10	NA
3.	27b			68 ± 10	39 ± 19	24 ± 10
4.	27c			NA	NA	NA
5.	27d			53 ± 21	61 ± 8	38 ± 13
6.	27e			30 ± 7	32 ± 6	19 ± 2
7.	27f		0,5 ^c 0,35 ± 0,10 ^d			
8.	27g		6,3 ± 4,1		NA	21 ± 7
9.	27h			51 ± 13	58 ± 6	31 ± 14
10.	27i		4,5 ± 1,2			14 ± 3
11.	27j		27,5 ± 3,5		52 ± 13	37 ± 13
12.	27k			59 ± 11	58 ± 11	27 ± 11
13.	27m			59 ± 5	51 ± 18	51 ± 3
14.	27n			NA	NA	26 ± 10
15.	27o			NA	NA	NA
16.	27p		4,1 ± 1,4		NA	NA
17.	27q			27 ± 13	NA	NA
18.	27r		6,8 ± 3,7		66 ± 16	NA
19.	27s		26,3 ± 4,5		48 ± 10	36 ± 22

N.p.k.	Savienojums	Struktūra	HCA2		HCA1	HCA3
			EC ₅₀ ±SD, μM ^a	Inh., % ^b	Inh., % ^b	Inh., % ^b
20.	27t			17 ± 9	59 ± 6	34 ± 15
21.	27u			24 ± 7	54 ± 14	NA
22.	27v			23 ± 12	46 ± 3	NA
23.	27w		1,4 ± 0,1		NA	NA
24.	28a			60 ± 6	55 ± 6	NA
25.	28b			70 ± 14	60 ± 15	26 ± 7
26.	28c		36,4 ± 11,2		54 ± 17	23 ± 6
27.	28g		4,1 ± 2,9		53 ± 7	24 ± 10
28.	29		3,6 ± 1,6		56 ± 10	NA
29.	34		12,5 ± 5		55 ± 15	40 ± 5
30.	38a		0,9 ± 0,5		NA	NA
31.	38b		1,2 ^c 0,23 ± 0,10 ^d			
32.	38c		1,7 ± 1,5 ^d			
33.	38d			34 ± 18	NA	NA
34.	38e		5,8 ± 4,2		26 ± 7	NA
35.	38f		51,6 ± 4,2		62 ± 3	28 ± 7
36.	49		1,9 ± 0,9			26 ± 4

a aprēķināts no vismaz 3 eksperimentiem

b cAMP inhibēšana, ja liganda koncentrācija ir 50 μM

c viena mēriņuma rezultāts

d eksperimenti veikti bez BSA

NA nav aktīva 50 μM koncentrācijā

Hinolīn-6-il aizvietotāju saturoši savienojumi **27b** un **28b** abi ir ļoti vāji HCA2 ligandi. Papildus 2-metilgrupas ievešana savienojumā samazina aktivitāti divkāršās saites linkera gadījumā un (2-metil)hinolīn-6-il hidrofobo daļu saturošais savienojums **27c** ir neaktīvs, bet tās analogs ar vienkāršo saiti **28c** ir vājs HCA2 ligands (EC_{50} ir 36,4 μM).

Kā redzams no 2.2. tabulas datiem, ligandu naftalīn-2-il grupu var nomainīt ar hinolīn-2-il grupu vai benzodioksolu un šādas nomaiņas rezultātā iegūtie savienojumi aktivitāti saglabā (EC_{50} naftalīn-2-il atvasinājumam **27i** ir 4,5 μM , hinolīn-2-il analogam **27p** – 4,1 μM , bet benzodioksolam **38e** 5,8 μM). Interesanti, ka ievietojot naftalīn-2-il grupas vietā hinolīn-8-il (**27a**), hinolīn-6-il (**27b**) un hinolīn-4-il (**27o**) grupas, aktīvus savienojumus neiegūst.

Līdzīgi literatūrā minētajām likumsakarībām, arī mūsu sintezētajiem divkāršās saites linkeru saturošajiem hinolīn-2-il atvasinājumiem aktivitāti uzlabo hidroksilgrupa hidrofobajā daļā, piemēram, 6-hidroksihinolīn-2-il aizvietotāju saturoša struktūra **27f** (EC_{50} 0,5 μM) ir 8 reizes aktīvāka par hinolīn-2-il saturošo savienojumu **27p** (EC_{50} 4,1 μM). Tomēr hidroksilgrupas pievienošanas vieta ir būtiska un aktivitātes palielināšanai tai svarīga hidroksilgrupas pozīcija pretēji linkeram, jo analogs **27q** ar hidroksilgrupu 8-pozīcijā zaudē aktivitāti. Metoksigrupa 6-pozicijā stipri samazina aktivitāti, tā, piemēram, savienojumi ar 6-metoksihinolīn-2-il un 6-metoksinaftalīn-2-il hidrofobo daļu **27e** un **27n** ir neaktīvi. Bet arī šeit ir svarīga metoksi grupas pozīcija, jo savienojuma **27g**, kurš arī satur metoksigrupu, EC_{50} ir tikai 6,3 μM . Trīs metoksigrupas saturošs savienojums **27d** ir praktiski neaktīvs.

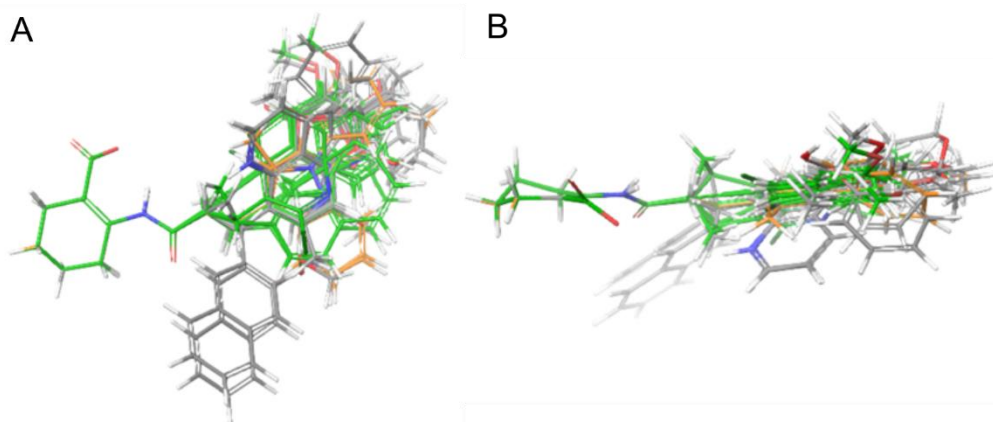
Benzodioksolu **38e** var aizvietot ar par vienu metilēngrupu lielāku ciklu dihidrobenzodioksīnu **27r**, jo aktivitāte praktiski nemainās (EC_{50} **38e** – 5,8 μM un **27r** – 6,8 μM). Formāli “atverot” dihidrobenzodioksīna ciklu, attiecīgais savienojums **27h** ar diviem metoksi aizvietotājiem ir jau vājs HCA2 agonists un 50 μM koncentrācijā spēj samazināt cAMP līmeni par 51 %. Mēģinājumi modulēt dimetoksi atvasinājuma **27h** aktivitāti, ievedot tā aromātiskajā ciklā halogēnus, parādīja, ka attiecīgajam 3-brom analogam **27v** aktivitāte vēl 2 reizes samazinās (23 %), toties 2-hlor analoga **27s** gadījumā novēro jau būtisku liganda aktivitātes pieaugumu (EC_{50} 26,3 μM). Interesanti, ka benzodioksola **38f** gadījumā papildus halogenu atomu ievešana benzola gredzenā gan 6-, gan 3-pozīcijā savienojumu **27t,u,m** aktivitāti, tikai samazina (attiecīgi 17, 24, 59 %).

Interesanta ir struktūra **29**, kuras hidrofobajā daļā ir fenilacetilenil aizvietotājs, un šī savienojuma EC_{50} ir 3,6 μM , kas ir salīdzināma ar 2-naftil saturošā savienojuma **27i** aktivitāti (EC_{50} 4,5 μM). Tas ļauj secināt, ka, iespējams, liganda un receptora hidrofobo mijiedarbību veido galvenokārt hidrofobās daļas apgabals, kurš atrodas attālinātā pozīcijā no linkeru pievienošanas vietas, bet trīskāršās saites vietā mijiedarbība ar receptoru nav izteikta.

Lielākā daļa no iegūtajiem savienojumiem ir pārbaudīta uz HCA1, HCA2 un HCA3. Visi mūsu sintezētie aktīvie savienojumi ir selektīvi pret HCA2, jo tie ir vai nu neaktīvi, vai arī ļoti vāji HCA1 un HCA3 agonisti. 50 μM koncentrācijā HCA1 un HCA3 aktivēšana nepārsniedz 50–60 %, un vislielākā spēja aktivēt HCA1 (66 %) ir savienojumiem **18a** un **27r**. Selektivitāte pret HCA2 ir nepieciešama gadījumā, ja vēlamais farmakoloģiskais efekts ir saistīts ar imūnšūnu aktivēšanu. Bet, ja ir nepieciešams aktivēt receptoru taukšūnās, iespējams, ka selektivitāte nav tik svarīga, jo visi trīs receptori ir ekspresēti adipocītos.

Sintezēto savienojumu struktūras-aktivitātes likumsakarību izpēte parāda, ka ligandu aktivitāte ir būtiski atkarīga no hidrofobās daļas un tās aizvietotājiem, un pat nelielas struktūras izmaiņas var novest pie pilnīga aktivitātes zuduma. Ar mērķi izskaidrot dažu

strukturāli ļoti līdzīgu savienojumu aktivitātes atšķirības, veicām sintezēto struktūru analīzi ar datormodelēšanas palīdzību. 2. tabulā redzami ligandi tika sadalīti 3. grupās atkarībā no to HCA2 aktivēšanas spējas. Pieņemām, ka savienojums ir aktīvs, ja tā EC₅₀ ir zemāka par 15 μM (15 savienojumi), savienojums ir vājs HCA2 agonists, ja tā aktivitāte ir lielāka par 15 μM vai arī viela 50 μM koncentrācijā samazina cAMP līmeni (2.2. tabula, 5. kolonna). Savienojums ir neaktīvs, ja tas nespēj samazināt cAMP koncentrāciju (4 savienojumi). Tālāk mēs savietojām savienojumu 3D struktūras, izvēloties cikloheksēnkarboksilāta daļu kā kopīgu elementu. Kā references ligandu izmantojām savienojumu **18a**, jo šī viela ir jau literatūrā aprakstīts HCA2 ligands.



2.11. attēls. Savietotas HCA2 ligandu struktūras
Aktīvie savienojumi (EC₅₀ < 15 μM) – zaļā krāsā, vāji aktīvie (EC₅₀ > 15 μM) – pelēkā, neaktīvie – oranžā

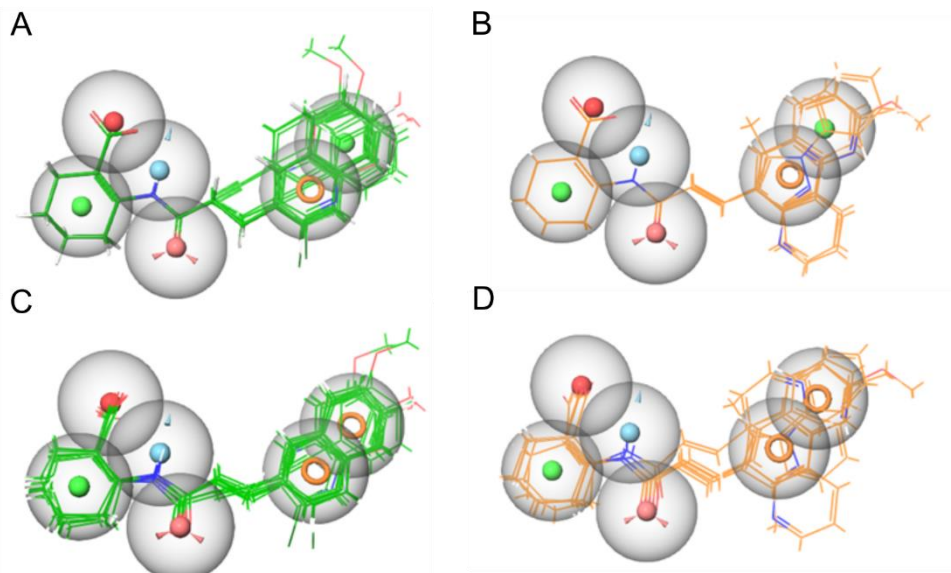
2.11. attēlā var redzēt, ka visi aktīvi HCA2 ligandi atrodas galvenokārt vienā plaknē un labi pārklājas viens ar otru. Savukārt, dažu vāji aktīvu un pilnīgi neaktīvu savienojumu struktūru hidrofobās daļas atrodas ārpus aktīvo vielu plaknes, piemēram, savienojuma **27a,o** **28a** hinolīn-8-il vai hinolīn-4-il aizvietotāji. Zemāka aktivitāte ir arī savienojumiem, kuru hidrofobā daļa ir par 1,7–2,1 Å garāka nekā references savienojuma **18a** hidrofobā daļa.

2.3. Farmakoforā modeļa izstrāde

Farmakoforais modelis palīdz izprast ligandu elementu izvietojumu telpā. Tā kā nav zināma HCA2 kristāliska struktūra kā arī liganda-receptora mijiedarbības vieta, izvēlējāmies izveidot ligandu farmakoforo modeli uz sintezēto HCA2 ligandu bāzes. Farmakoforā modeļa izveidei ir nepieciešams daudzveidīgs savienojumu klāsts, un mūsu sintezētie HCA2 ligandi satur dažādus aizvietotājus struktūras hidrofobajā daļā, taču ligandu cikloheksēnkarbonskābes daļa visām struktūrām ir vienāda. Līdz ar to iegūtais modelis ir vairāk piemērots liganda hidrofobās daļas raksturošanai.

Izmantojot savienojumu 3D struktūras, ar datorprogrammas palīdzību izveidojām vairākus HCA2 ligandu farmakoforos modeļus, izmantojot dažādas metodes. Piemēram, 2.12. attēlā ir redzami modeļi ADHNRR vai ADHHNR ar labāko aprēķināto modeļa vērtējumu (*result score*), kur A ir ūdeņraža saites akceptors, D ir ūdeņraža saites donors, N – negatīvi lādēts elements, H – hidrofobs apgabals, R – aromātiskais gredzens. Ja pieņem, ka hidrofobā daļa un aromātiskais gredzens ir vienādi farmakoforie elementi, tad abi 2.12. attēlā redzamie

modeļi ir praktiski vienādi, jo nebūtiski atšķiras tikai elementu telpiskais novietojums (attālums un leņķi starp elementiem). Šiem farmakoforajiem modeļiem atbilst 12 no 15 aktīvajiem savienojumiem (6 farmakofori no 6, 2.12. att. A un C). Savukārt, var redzēt, ka dažu neaktīvo savienojumu aromātiskās daļas neietilpst farmakoforā elementa sfērā, ja tās rādiuss ir 2 Å (B un D).



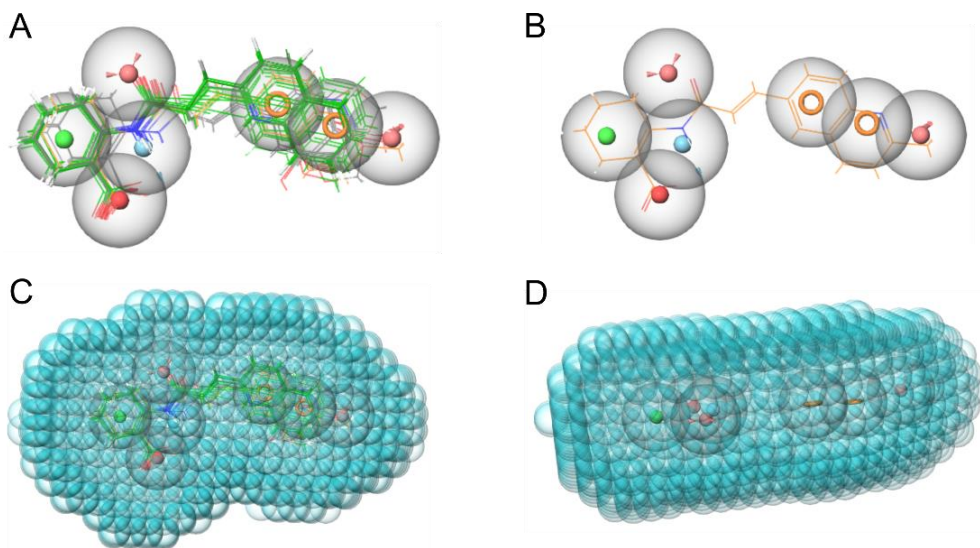
2.12. attēls. HCA2 ligandu farmakoforie modeļi

A un B – ADHNRR; C un D – ADHHR; aktīvie savienojumi ir zaļā krāsā, neaktīvie – oranžā; akceptors – gaiši sarkans, donors – zils, negatīvi lādēts elements – sarkans, hidrofobs elements – zaļš, aromātisks gredzens – oranžs

Izveidotie farmakoforie modeļi norāda uz to, ka hidrofobās daļas apakšā nedrīkst atrasties apjomīgie hidrofobie elementi. Šo vietu telpā ar datorprogrammas palīdzību var iezīmēt kā izslēgto telpu (*excluded volume*) un izmantot farmakoforā modeļa tālākā izveidē. Rezultātā izslēgto telpu čaula ierobežo telpu apkārt ligandam un var atgādināt liganda piesaistes vietu receptorā. Iegūtās atziņas, savukārt, var izmantot jaunu ligandu dizainā, jo svarīga ir ne tikai farmakoforu klātbūtne vajadzīgajā vietā molekulā, bet arī liganda izmēri, lai varētu ievietoties liganda piesaistes vietā receptorā.

Atbilstoši mūsu hipotēzei, ka, ja bioloģiski aktīva savienojuma aktivitāte pieaug, ievedot tā struktūrā rotāciju ierobežojošus elementus, tad kāda no šo modificēto savienojumu enerģētiski izdevīgām konformācijām varētu atbilst liganda bioaktīvajai konformācijai, mēs izveidojām farmakoforo modeli ar izslēgtām telpām uz struktūras **38a** pamata, jo savienojumam piemīt labas HCA2 aktīvēšanas īpašības un struktūrai ir minimāls rotējošo saišu skaits. Modelis ir līdzīgs 2.12. attēlā redzamajam, bet, tā kā hidroksilgrupas klātene hidrofobajā naftalīnil daļā uzlabo savienojuma aktivitāti, modelim pievienojām vēl papildus ūdeņraža saites akceptoru hidroksilgrupas vietā. Tālāk mēs veicām manuālu modeļa hidrofobās daļas struktūrelementu pozīciju un deskriptoru maiņu, lai pēc iespējas vairāk aktīvu un mazāk neaktīvu savienojumu atbilstu modelim. Modeļa izveidē un pareizības pārbaudē ir izmantoti tikai mūsu sintezētie savienojumi, tāpēc, piemēram, nav ievērots tas fakts, ka dažiem literatūrā aprakstītiem HCA2 ligandiem pie cikloheksēnkarbonskābes 4 vai 5 pozīcijā var būt aizvietotāji.

Šādā veidā izveidotais modelis ir parādīts 2.13. attēlā, modelim ir 7 farmakoforijem apgabali un izslēgto telpu čaula. Atbilstoši modelim, HCA2 ligands ir praktiski plakana struktūra ar garumu 15–17 Å. Pie nosacījuma, ka vismaz 5 no 7 liganda farmakoforajiem apgabaliem ir jāsakrīt ar modeļa farmakoforajiem apgabaliem, modelim atbilst 18 struktūras no 2.2. tabulas (2.13. att. A); no tām 12 ir aktīvie savienojumi un 1 neaktīvs savienojums. Aktīvi savienojumi, kuri neatbilst modelim, ir 2-pozīcijā hlora atomu saturošie savienojumi **27g** un **28g**, kuru Cl-aizvietotājs ir tik liels, ka jau ievietojas izslēgtajā telpā. Trešais aktīvais savienojums, kurš neatbilst modelim, ir ciklopropānu saturošais savienojums **34**, kurš nav pietiekami plakans. Neaktīvs savienojums, kurš atbilst modelim, ir **27c**, kura metilhinolīna farmakofors sakrīt ar modeļa aromātiskajiem elementiem (2.13. att. B).

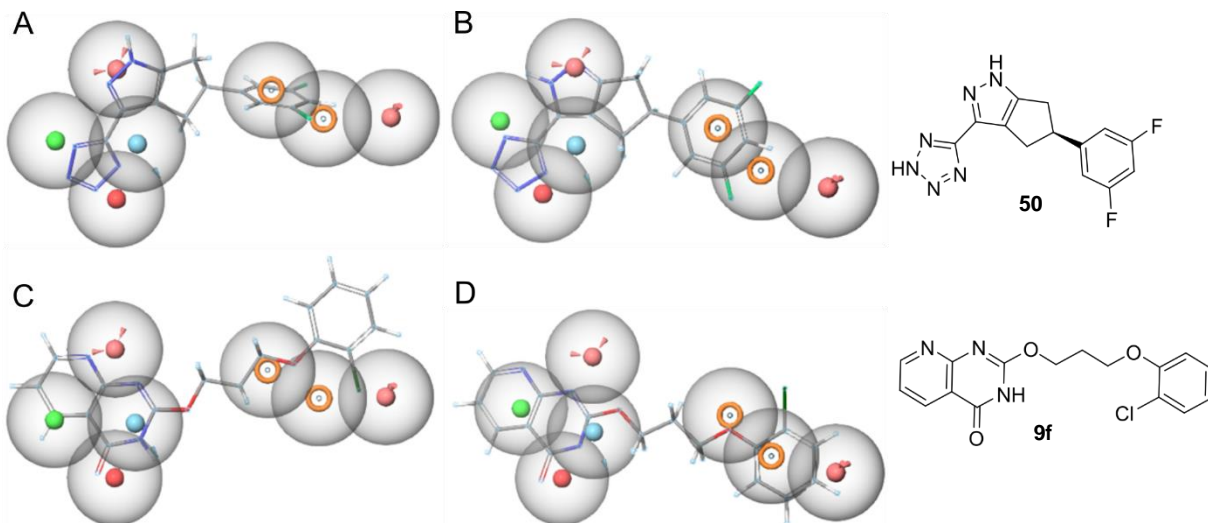


2.13. attēls. HCA2 ligandu farmakoforais modelis AADHNRR

A – visi modelim atbilstoši ligandi; B – **27c** struktūras atbilstība modelim; C un D – modelis ar izslēgtām telpām; aktīvie savienojumi ir zaļā krāsā, neaktīvie – oranžā; akceptors – gaiši sarkans, donors – zils, negatīvi lādēts elements – sarkans, hidrofobs elements – zaļš, aromātisks gredzens – oranžs, zila sfēra – izslēgtā telpa

Izmantojot Eiropas Bioinformātikas institūta ligandu datubāzi ChEMBL⁸⁸, mēs pārbaudījām iegūto HCA2 ligandu farmakoforo modeli uz datubāzē iekļautajiem HCA2 ligandiem^a. Vispirms tika atlasīti visi datubāzē iekļautie HCA2 ligandi, kuriem ir pieejama informācija par savienojuma afinitāti (radioligandu izspiešanas metode), jo šīs metodes rezultātus var ērtāk un drošāk salīdzināt sava starpā, nekā funkcionālo metožu datus. Rezultātā ieguvām 245 struktūras no dažādām HCA2 ligandu klasēm – antranilskābes atvasinājumiem, niacīna analogiem, pirazolu saturošiem savienojumiem un piridopirimidona atvasinājumiem. Ligandu skrīninga rezultātā ir atrasta līdzība starp dažādu HCA2 ligandu klašu savienojumiem. Piemēram, 2.14. attēlā ir redzama piridopirimidona atvasinājuma **9f** un bicikliska pirazola **50** atbilstība mūsu izstrādātajam modelim, skrīningu veicot ar vairākām metodēm un pieņemot, ka struktūra atbilst modelim, ja vismaz 4 no 7 farmakoforajiem apgabaliem sakrīt.

^a ChEMBL datubāze izmantota 31.01.2017.



2.14. attēls. HCA2 ligandu skrīningā iekļauto savienojumu **50** un **9f** atrastā atbilstība farmakoforajam modelim

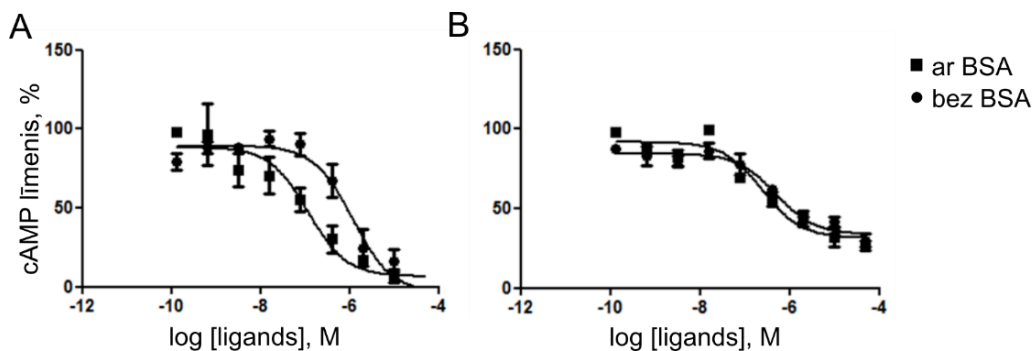
A un C – metodē izmantotas 3D struktūras ar minimizētu enerģiju, un modelis ir bez izslēgtām telpām; B un D – struktūrām izveidoti jauni konformēri, un modelis ir ar izslēgtām telpām

Pēc datormodelēšanas rezultātiem var spriest, ka savienojuma **9f** *o*-hlorfenil aizvietotājs ir struktūras hidrofobā daļa, karbonilgrupa atrodas cikloheksēnkarbonskābes karboksilgrupas vietā un deprotonētais piridopirimidonā slāpeklis atbilst farmakoforā modeļa negatīvi lādētajam elementam. Iegūtos rezultātus var izmantot jaunu HCA2 ligandu dizainā, bet, tā kā GPCR ir ļoti kustīgi proteīni, pastāv iespēja, ka dažādu ligandu klašu pārstāvji saistās ar receptoru atšķirīgās vietās vai arī receptors aktivētā stāvoklī veido atšķirīgas konformācijas ar dažāda veida ligandiem. Pierādīt ligandu atbilstību noteiktam farmakoforajam modelim ir iespējams, iegūstot receptora–liganda kompleksa rentgenstruktūru vai veicot KMR pētījumus.

2.4. HCA2 ligandu saistīšanās ar vērša sēruma albumīnu

No literatūras datiem ir zināms, ka antranilskābi saturošiem HCA2 ligandiem piemīt izteikta tendence saistīties ar plazmas proteīniem. Vērša seruma albumīns (BSA) ir plazmas proteīns, ko izmanto HCA2 receptoru ekspresējošo šūnu iegūšanā. Saskaņā ar pasaule aprobētu metodoloģiju, ligandu aktivitātes noteikšanā ar cAMP testu palīdzību BSA izmanto buferšķīdumā, lai izslēgtu analizējamo savienojumu nespecifisko saistīšanos ar receptoriem. Arī mūsu visu augstākaprakstīto savienojumu aktivitāšu noteikšanas eksperimentos BMC ar cAMP testu palīdzību buferšķīdumā ir izmantota 2 % BSA piedeva. Lai novērtētu sintezēto savienojumu iespējamo saistīšanos ar cAMP testā esošo BSA, ir veikti aktivitātes noteikšanas eksperimenti, kuros analizējamās vielas **27i**, **28g**, **29**, **34**, **38a** un **38e** izturēja 5 % BSA šķīdumā 30–45 minūtes un tad veica cAMP testu. Tā kā savienojumu efektīvās koncentrācijas mainījās nebūtiski, sākumā pieņemām, ka pētāmo ligandu saistīšanās ar BSA ir nenozīmīga. Vēlāk BMC tika veikts cAMP noteikšanas tests, izmantojot BSA nesaturošu buferšķīdumu, un šī testa rezultāti atšķirās no 2 % BSA saturoša testa rezultātiem. Piemēram, 2.15. attēlā ir parādītas cAMP koncentrācijas izmaiņas atkarībā no liganda koncentrācijas savienojumiem **38b** (A) un **27f** (B) BSA klātbūtnē un bez tā. Savienojuma **38b** gadījumā atšķirība ir liela, bet

27f gadījumā tā ir nebūtiska. Izvēlētas mūsu aktīvo savienojumu sērijas aktivitātes, noteiktas BMC ar un bez BSA piedevas, ir apkopotas 2.3. tabulā.



2.15. attēls. cAMP funkcionālās atbildes līknes
A – savienojums **38b**; B – savienojums **27f**

2.3. tabula

Dažu cikloheksēnkarbonskābju atvasinājumu aktivitātes atkarībā no BSA piedevas

N.p.k.	Savienojums	Struktūra	HCA2, EC ₅₀ ±SD, μM ^a		Attiecība ar un bez BSA, reizēs
			Ar 2 % BSA	Bez BSA	
1.	18a		8,3 ± 2,4	0,15 ± 0,13	55
2.	27f		0,51 ^b	0,35 ± 0,10	< 2
3.	27g		6,3 ± 4,1	2,82 ± 0,25 ^c	2
4.	27i		4,5 ± 1,2	0,95 ± 0,84	5
5.	27w		1,4 ± 0,1	0,23 ± 0,29	6
6.	28g		4,1 ± 2,9	1,31 ± 2,14	3
7.	29		3,6 ± 1,6	1,01 ± 0,59	4
8.	34		12,5 ± 5	0,36 ± 0,05	35
9.	38a		0,9 ± 0,5	0,08 ± 0,03	11
10.	38b		1,2 ^b	0,23 ± 0,10	5
11.	49		1,9 ± 0,9	0,04 ± 0,02	48

a aprēķināts no vismaz 3 eksperimentiem

b viena mērījuma rezultāts

c divu mērījumu rezultāts

Mēs mēģinājām atrast likumsakarības starp BSA ietekmi uz efektīvo koncentrāciju un savienojumu struktūru. No 2.3. tabulas datiem ir redzams, ka vislielākā atšķirība (35–55 reizes) ir savienojumiem **18a**, **34**, un **49** ar piesātinātiem alifātiskajiem linkeriem, tomēr iznēmums ir savienojums **28g** (3 reizes). Mainot vienkāršās saites linkeru uz dubultsaiti, ir novērojama tendence, ka aktivitātes atšķirība samazinās. Mums nav izdevies atrast likumsakarības starp 2.3. tabulā iekļauto struktūru fiziko-ķīmiskajiem deskriptoriem (ūdeņraža donoru vai akceptoru skaits, polārās virsmas laukums, lipofilitāte utt.) un EC₅₀ izmaiņām BSA ietekmē.

Bioloģiskās aktivitātes testu rezultātu izmaiņas ar un bez BSA piedevas ietekmē arī mūsu secinājumus par struktūras-aktivitātes likumsakarībām. 6-Hidroksinaftalīn-2-il atvasinājumu **49**, **27w** un **38a** linkeru rindā vienkāršā saite – dubultaite – trīskāršā saite visaugstākā savienojumu aktivitāte testā bez BSA ir novērojama vienkāršo saiti saturošai struktūrai **49**.

Kvantitatīvai ligandu saistīšanās ar plazmas proteīniem noteikšanai izmanto speciālas metodes, piemēram, dialīzi, elektroforēzi. No otras puses, ir pierādīts, ka vielu saistīšanās ar plazmas proteīniem *in vitro* testos ne vienmēr korelē ar brīvo vielas koncentrāciju *in vivo*.⁸⁹ Ir zināms, ka karbonskābes ļoti labi saistās ar plazmas proteīniem, un tā kā mūsu sintezētie savienojumi ir karbonskābes, tālākos mūsu sintezēto ligandu funkcionālās aktivitātes noteikšanas eksperimentos ar cAMP testu ir izmantota metode bez BSA piedevas. Vielu aktivitātes sava starpā var salīdzināt, izmantojot references savienojumu. Tālākā darbā vairāku mūsu sintezēto savienojumu aktivitātes BMC tika noteiktas, izmantojot arī radioligandu metodi – ar tritija izotopu iezīmētu niacīnu ([³H]-niacīns).

2.5. HCA2 ligandi ar heterociklisko linkeru

Tā kā mūsu sintezēto potenciālo HCA2 ligandu linkeru ir aktivētas nepiesātinātas saites, kuras fizioloģiskajā vidē var reaģēt ar bioloģiskajiem nukleofīliem, tālākā perspektīvā tās nav vēlami zāļvielu elementi. Alternatīva dubultsaites linkeram varētu būt 5-locekļu heterocikls. No otras puses, daži HCA2 ligandi ar mūsu darbā līdzīgām struktūrām, kur linkers ir tiofēns, pirazols vai tiazols, un karbonskābes daļā ir antranilskābe⁹⁰, ir jau nosegti ar patentiem, bet, diemžēl, nav publicēta šo savienojumu bioloģiskā aktivitāte. Arī *Merck* attīstītā savienojuma MK-6892 linkers ir ar divām papildus metilgrupām, kas norāda, ka linkera vietā varētu būt arī apjomīgāks aizvietotājs. Lai pārbaudītu, vai linkera vietā heterociklu saturoši savienojumi varētu būt HCA2 agonisti, mēs ieguvām savienojumus ar triazola linkeru **44** un tiofēnu **48** (2.4. tabula). Savienojumu EC₅₀ ir 3–4 μM, kas ir par kārtu lielāka, nekā references savienojumam **38b**.

2.4. tabula

Heterociklu saturošo savienojumu **44** un **48** aktivitātes dati

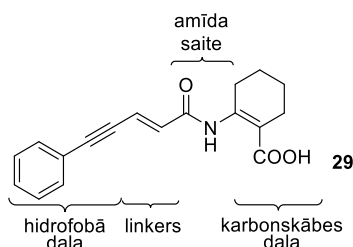
N.p.k.	Savienojums	Struktūra	HCA2, EC ₅₀ ±SD, μM ^a
1.	38b		0,23 ± 0,10
2.	44		3,28 ± 1,22
3.	48		3,94 ± 4,7

a aprēķināts no vismaz 3 eksperimentiem, metode bez BSA

Triazols **44** atbilst izveidotajām HCA2 liganda farmakoforajam modelim, bet tiofēns **48** neatbilst, jo struktūras hidrofobā daļa nesakrīt ar modeļa aromātisko daļu. Tā kā heterociklus saturošas struktūras ir patentētas, bez tam abu mūsu sintezēto heterociklu saturošo savienojumu šķīdība ir ievērojami sliktāka par savienojuma **38b** un to dubultaies linkeru saturošo analogu šķīdību, šis pētījuma virziens tālāk netika turpināts.

3. FENILACETILĒNU SATUROŠIE HCA2 LIGANDI UN TO MODIFIKĀCIJAS

Mūsu uzmanību piesaistīja iepriekšējā nodaļā aprakstītais HCA2 ligands **29** ar fenilacetilēna grupu liganda hidrofobajā daļā (3.1. att.). Savienojuma aktivitāte ir $3,6 \mu\text{M}$ cAMP testā BSA klātbūtnē un $1,01 \mu\text{M}$ bez BSA. Struktūrai **29** ir mazs rotējošo saišu skaits, tāpēc tā nav kustīga un tās modifikācijas var izmantot kā modeļvielas ligandu konformacionālās stabilitātes hipotēzes pārbaudei, kā arī jaunu HCA2 ligandu izstrādē.

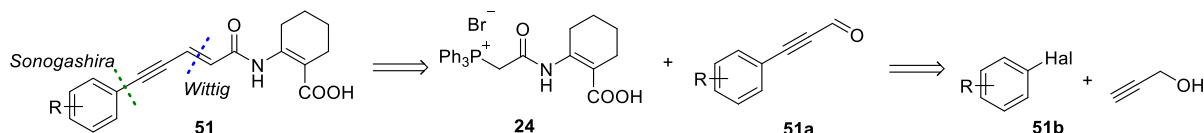


3.1. attēls. Fenilacetilēnu saturošais HCA2 ligands **29**

Interesanti, ka 2-amidocikloheks-1-ēnkarbonskābju sēriju izveidojošie *Merck* zinātnieki savās publikācijās ir parādījuši, ka aktīvu savienojumu izveidei liganda hidrofobajā daļā ir nepieciešama apjomīgas bicikliskas aromātiskas grupas klātbūtnē.^{71,74,75} Līdzīgu tendenci mūsu izveidoto un iepriekšējā nodaļā aprakstīto savienojumu sērijām ar divkāršo un trīskāršo saiti linkera daļā novērojām arī mēs savā darbā. Interesanti, ka savienojuma **29** gadījumā aktivitātes nodrošināšanai pietiek jau ar benzola gredzena klātbūtni kombinācijā ar acetilēna grupu. Tā kā benzola gredzena modificēšana ar aizvietotājiem, salīdzinot ar bicikliskām sistēmām, ir vienkāršāka un dod papildus iespējas farmakoloģiskās telpas izzināšanā, mēs pievērsāmies savienojuma **29** izmantošanas iespēju izpētei jaunu HCA2 ligandu dizainā.

3.1. Savienojumu iegūšana

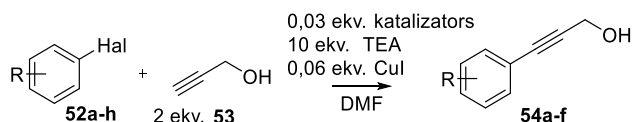
Savienojuma **29** trīskāršā saite veidojās tā sintēzē HBr eliminēšanas rezultātā (2.4. att.), taču struktūras **29** analogu sintēzei izmantot līdzīgu stratēģiju nelikās mērķtiecīgi. Izvēlēto mērķsavienojumu **51** retrosintētiskā analīze (3.2. att.) parāda, ka 3-fenilpropiolaldehīdus **51a** ar dažādiem aizvietotājiem R varētu iegūt, izmantojot piemērotu arilhalogenīdu **51b** Sonogaširas reakciju ar propargilspirtu, savukārt *E*-alkēnu iegūšanai varētu izmantot iepriekš atstrādāto aldehīdu **51a**. Vitiga reakciju ar fosfonija sāli **24**.



3.2. attēls. Enīnu saturošo savienojumu **51** iegūšanas retrosintētiskā analīze

Tā kā mūs interesēja enīna funkciju saturošie savienojumu ar hidroksilgrupām struktūras hidrofobajā daļā, mēs veicām Sonogaširas reakcijas apstākļu un hidroksilgrupu iespējamo aizsarggrupu izpēti (3.3. att., 3.1. tabula). Propargilspirta reakcijas ar ariljodīdiem **52a,f,g**

notiek istabas temperatūrā, bet reakcijas ar arilbromīdiem paaugstinātā temperatūrā, izmantojot 0,03 ekvivalentus $\text{Pd}(\text{PPh}_3)_4$ un 0,06 ekvivalentus CuI trietilamīna klatienē. Neaizsargāta fenola **52d** reakcijas iznākums ir zems – 12 % (5. rinda). Bāziskos apstākļos 60–70 °C temperatūrā notiek TBS un acetil aizsarggrupu nošķelšanās (3. un 6. rinda), tāpēc hidroksilarilbromīdu hidroksilgrupas aizsardzībai izmantojām bāziskos apstākļos izturīgāku THP grupu (2. un 9. rinda), kuru var viegli nošķelt skābā vidē. THP-aizsargāto produktu **54b** un **54f** iznākumi ir zemi (25–55 %), savukārt ariljodīdi **52f,g**, kuri nesatur hidroksilgrupas, dod produktus ar augstiem iznākumiem (91–98 %).



3.3. attēls. Propargilspirta Sonogaširas reakcijas substrātu izpēte

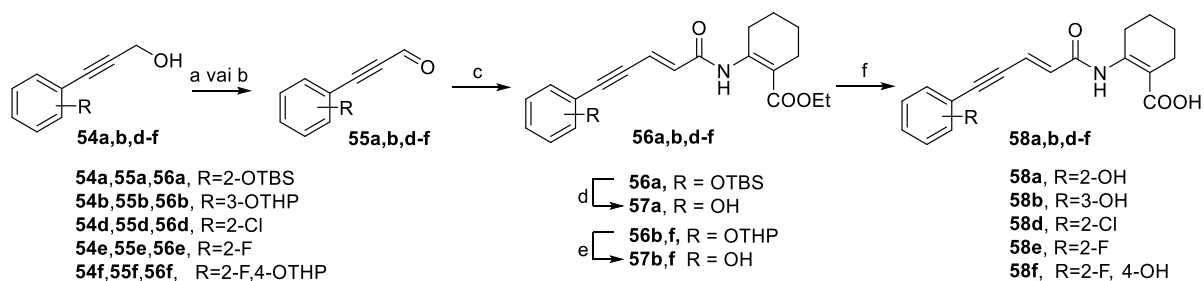
3.1. tabula

Propargilspirta Sonogaširas reakcijas iznākumi

N.p.k.	Izejviela	Katalizators	Temperatūra, °C	Laiks, h	Produkts	Iznākums, %
1.		$\text{Pd}(\text{PPh}_3)_4$	istabas t.	16	54a	45
2.		$\text{Pd}(\text{PPh}_3)_4$	70	16	54b	55
3.		$\text{Pd}(\text{PPh}_3)_4$	60	9	54c	16 ^a
4.		$\text{Pd}(\text{PPh}_3)_2\text{Cl}_2$	istabas t.	24	–	0
5.		$\text{Pd}(\text{PPh}_3)_4$	60	9	54c	12
6.		$\text{Pd}(\text{PPh}_3)_4$	70	7	–	0
7.		$\text{Pd}(\text{PPh}_3)_4$	istabas t.	16	54d	98
8.		$\text{Pd}(\text{PPh}_3)_4$	istabas t.	16	54e	91
9.		$\text{Pd}(\text{PPh}_3)_4$	70	24	54f	25

a iegūts produkts ar brīvu fenola grupu

Iegūtos aizvietotos propargilspirtus **54a,b,d-f** nooksidējām līdz attiecīgajiem propināliem **55a,b,d-f**, izmantojot oksidēšanu ar Dessa-Martina perjodinānu vai MnO_2 (3.4. att.).

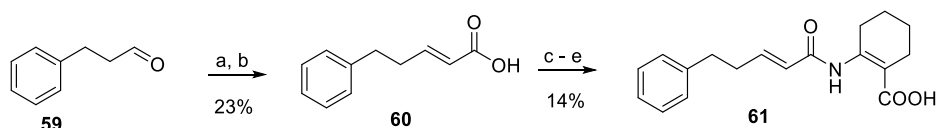


3.4. attēls. Enīna funkciju saturošo savienojumu iegūšanas shēma

Reāgenti un apstākļi: (a) Dessa-Martina reāgents, DCM, rt, 2 h, 84–94 %; (b) MnO_2 , DCM, rt, 48–72 h, 43–46 %; (c) **24**, $t\text{BuOK}$, DMSO, rt, 1 h, 65–93 %; (d) TBAF, THF, rt, 2 h, 84 %; (e) *p*TSA, DCM, MeOH, rt, 6 h, 81–98 %; (f) 2 N NaOH, THF, MeOH, 6–18 h, 38–54 %

Vitiga reakcijās mēs izmantojām iepriekš iegūto fosfonija sāli **24**, un reakcijās ar aldehīdiem **55a,b,d-f** tika iegūti *E*-alkēni **56a,b,d-f**. No aldehīdiem **55d-f**, kuriem aromātiskajā daļā ir aizvietotājs *o*-pozicijā, radās arī hromatogrāfiski neatdalāmi *Z*-izomēri (AEŠH-MS analīzē 6–8 %), tāpēc nākamajā reakcijā izmantojām izomēru maisījumu. Pēc bāziskās hidrolīzes *Z*-izomēru klātbūtne reakcijas produktos vairs netika novēroti.

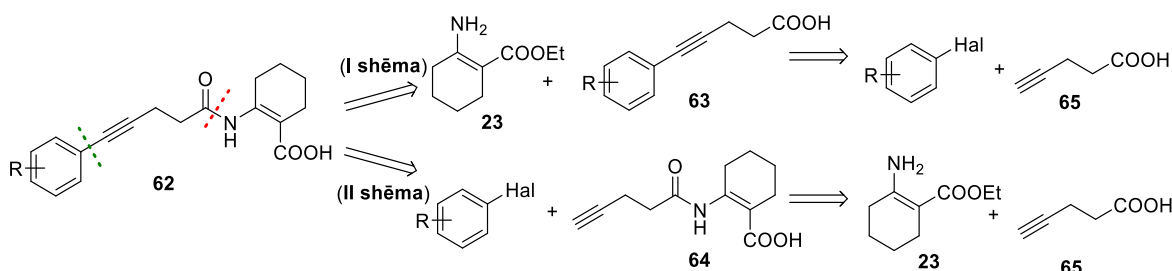
Savienojuma **56a** TBS aizsarggrupu nošķēlām, izmantojot TBAF, savukārt savienojumu **56b,f** THP grupu – skābā vidē ar katalītisku *p*-toluulsulfoskābes daudzuma palīdzību. Pēc etilesteru bāziskās hidrolīzes ieguvām mērķsavienojumus **58a,b,d-f**.



3.5. attēls. Savienojuma **61** iegūšana

Reāgenti un apstākļi: (a) metil 2-(dimetoksifosforil)acetāts, $t\text{BuOK}$, DMSO, rt, 1 h; (b) NaOH, MeOH, H_2O , rt; (c) oksalihlorīds, DMF, DCM, rt, 1 h; (d) **23**, TEA, DCM, 0 °C, 1 h; (e) 2 N NaOH, THF, MeOH

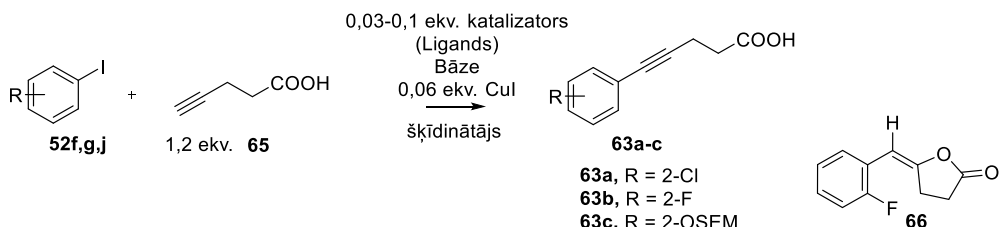
Savienojuma **61** iegūšanas shēma ir parādīta 3.5. attēlā. 3-Fenilpropanāla (**59**) Horner-Vadsvorta-Emonsa reakcijā ar metil 2-(dimetoksifosforil)acetātu un sekojošā metilesteru hidrolīzē ieguvām karbonskābes **60** *E* un *Z* izomēru maisījumu (*E:Z* = 1:0,21 ^1H -KMR analīzē). Karbonskābi **60** pārvērtām par karbonskābes hlorīdu, ko izmantojām vinilamīna **23** acilēšanai, un tad veicām iegūtā amīdestera estera grupas hidrolīzi. Pēc vairākkārtējas produkta hromatogrāfiskas attīrīšanas ieguvām mērķsavienojumu **61** ar nepieciešamo dubultsaites *E*-konfigurāciju.



3.6. attēls. Fenilalkīnu saturošo savienojumu **62** iegūšanas retrosintētiskā analīze

Fenilalkīnu saturošo savienojumu **62** retrosintētiskā analīze ir redzama 3.6. attēlā. Vispirms tika plānota karbonskābju **63** iegūšana, izmantojot C-C sametināšanas reakciju, tad

sekojoša amīda saites veidošanas reakcija, acilējot vinilamīnu **23** ar karbonskābju **63** hlorīdiem (I shēma). Literatūrā ir zināmas pent-4-īnskābes (**65**) Sonogaširas reakcijas ar dažādiem ariljodīdiem⁹¹, un, veicot reakciju ar 2-hlor-1-jodbenzolu (**52f**) un alkīnu **65** līdzīgos apstākļos, produktu **63a** ieguvām ar 21 % iznākumu. Mēs veicām jodbenzolu **52f,g,i** un alkīnskābes **65** reakciju apstākļu izpēti, mainot katalizatorus, bāzes un šķīdinātājus (3.7. att., 3.2. tabula).



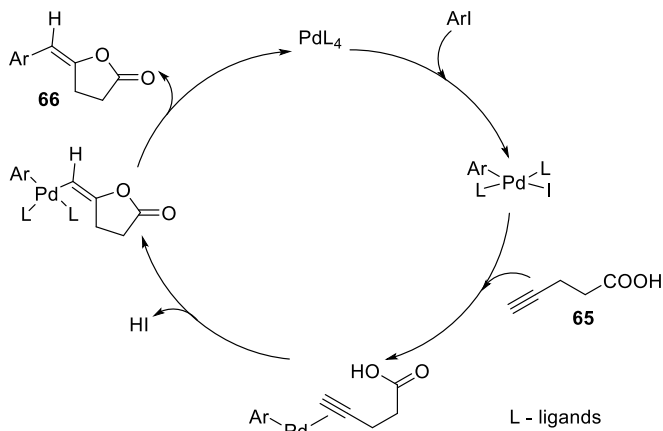
3.7. attēls. Sonogašira reakcijas apstākļu izpēte

3.2. tabula

Sonogašira reakcijas apstākļu izpēte

N.p.k.	Izejviela	Katalizators, ligands	Bāze	Šķīdinātājs, reakcijas apstākļi	Produkts	Iznākums, %
1.	52f	Pd(PPh ₃) ₄	TEA	DMF rt, 18 h	63a	21
2.	52g	Pd(PPh ₃) ₄	TEA	DMF rt, 18 h	63b	31
3.	52g	Pd(PPh ₃) ₂ Cl	Et ₂ NH	— rt, 20 h	63b	20
4.	52g	Pd(PPh ₃) ₂ Cl	TEA	MeCN rt, 20 h	63b	33
5.	52i	10% Pd/C PPh ₃	Cs ₂ CO ₃	DMF/H ₂ O 1:1 80 °C, 7 h	63c	30
6.	52g	Pd(OAc) ₂ P(<i>o</i> -Tol) ₃	DIPEA	MeCN rt, 18 h	63b 66	4 24

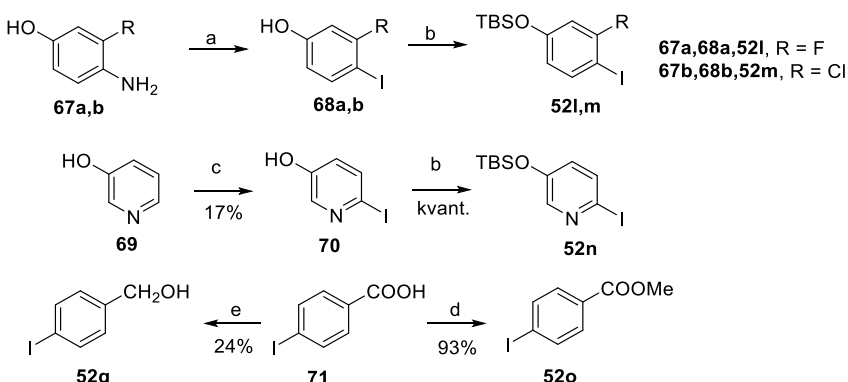
Diemžēl, produktu **63** iznākumi būtiski neuzlabojās, jo reakciju gaitā veidojās vairāku neidentificējamu produktu maisījumi, turklāt karbonskābes **63** ir polāras vielas, ko bija grūti attīrīt. Veicot Sonogaširas reakciju ar apjomīgāku fosfīna ligandu P(*o*-Tol)₃ (6. rinda), mums izdevās identificēt vienu no reakcijas blakusproduktiem – butirolaktonu **66**, kurš veidojas pallādijs katalizētā karbonskābes un alkīna 5-*exo-dig* ciklizācijas rezultātā⁹² (3.8. att.). Pallādijs komplekss var koordinēties pie trīskāršās saites un aktivēt to, un tad ir iespējama karboksilāta nukleofilā pievienošanās pie trīskāršās saites, veidojoties γ -butirolaktonam. Iespējams arī, ka ciklizācija notiek pēc produkta **63b** veidošanās, tam pārgrupējoties par **66**. Zināms, ka šāda veida reakciju var katalizēt arī vars.⁹³



3.8. attēls. Laktona **66** iespējamais veidošanās mehānisms

No blakusprodukta **66** veidošanās ir iespējams izvairīties, veicot reakciju ar aizsargātu karbonskābi, tāpēc mēs izmēģinājām otro sintēzes ceļu, saskaņā ar kuru vispirms veicām amīna **23** acilēšanu un tad C-C saites izveidošanu (3.6. att., II shēma). Izmantojot oksalihlorīdu un DMF katalītiskā daudzumā, karbonskābi **65** pārvērtām par attiecīgo karbonskābes hlorīdu, ko izmantojām vinilamīna **23** acilēšanā, iegūstot amīdu **64**. Arilbromīdu un alkīna **64** Sonogaširas reakcija istabas temperatūrā nenotika, bet, paceļot temperatūru, reakcijas apstākļos novērojām izejvielas **64** sabrukšanu, iespējams, amīda saites šķelšanās rezultātā. Tādēļ mērķsavienojumu **62** iegūšana tika veikta istabas temperatūrā no attiecīgajiem ariljodīdiem, kuri bija komerciāli pieejami vai arī tika iegūti, izmantojot 3.9. attēlā redzamās shēmas.

3-Fluor-4-jodfenolu (**68a**) un 3-hlor-4-jodfenolu (**68b**) ieguvām no attiecīgajiem anilīniem **67a,b** diazotēšanās reakcijā, 6-jodpiridīn-3-olu (**70**) – 3-hidroksipiridīna (**69**) jodēšanas reakcijā pēc literatūrā aprakstītās metodes⁹⁴. Jodfenolu hidroksilgrupu aizsardzībai izmantojām TBS grupu. Spirtu **52q** ieguvām 4-jodbenzoskābes (**71**) reducēšanas reakcijā (3.9. att.).

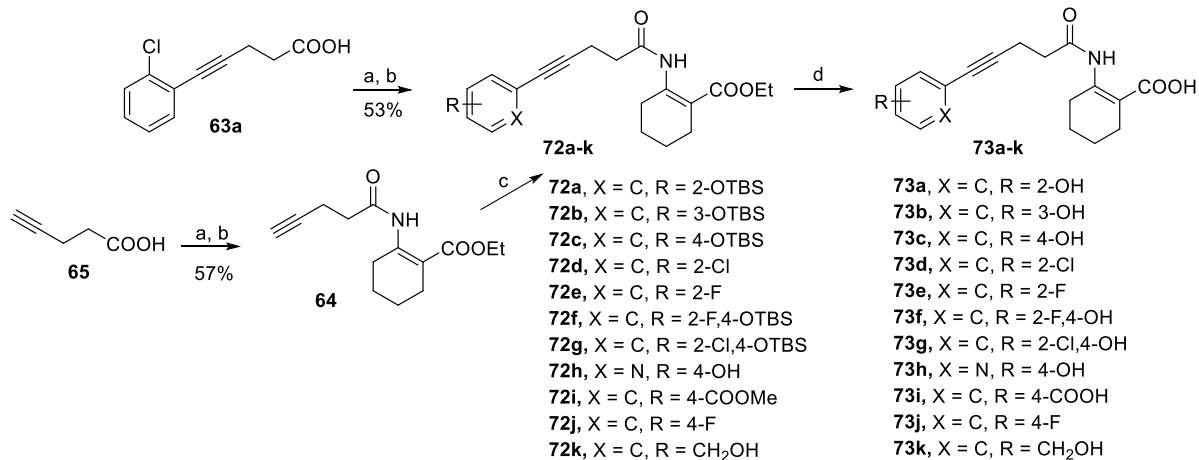


3.9. attēls. Sonogaširas reakcijas substrātu iegūšana

Reāgenti un apstākļi: (a) *i*) NaNO_3 , HCl , H_2O , 0°C , 10 min; *ii*) KI , H_2O , 0°C , 1 h; (b) TBSCl , imidazols, DMF , rt, 1 h; (c) NaI , NaOH , NaOCl , $\text{MeOH}/\text{H}_2\text{O}$, 0°C , 2 h; (d) K_2HPO_4 , MeOH , vārīšana, 9 h; (e) BH_3 , THF , rt, 18 h

Sonogaširas reakcijā istabas temperatūrā no attiecīgajiem jodīdiem **52** un alkīna **64** veidojās fenilacetilēna atvasinājumi **72a-c,e-k** ar vidējiem līdz labiem iznākumiem (37–90 %,

3.3. tabula). TBS grupas nošķelšanu veicām bāziskā vidē vienlaicīgi ar etilgrupas hidrolīzi un ieguvām mērķsavienojumus **73a-k** (3.10. att.).



3.10. attēls. Fenilalkīnu saturošo savienojumu **73a-k** iegūšanas shēma

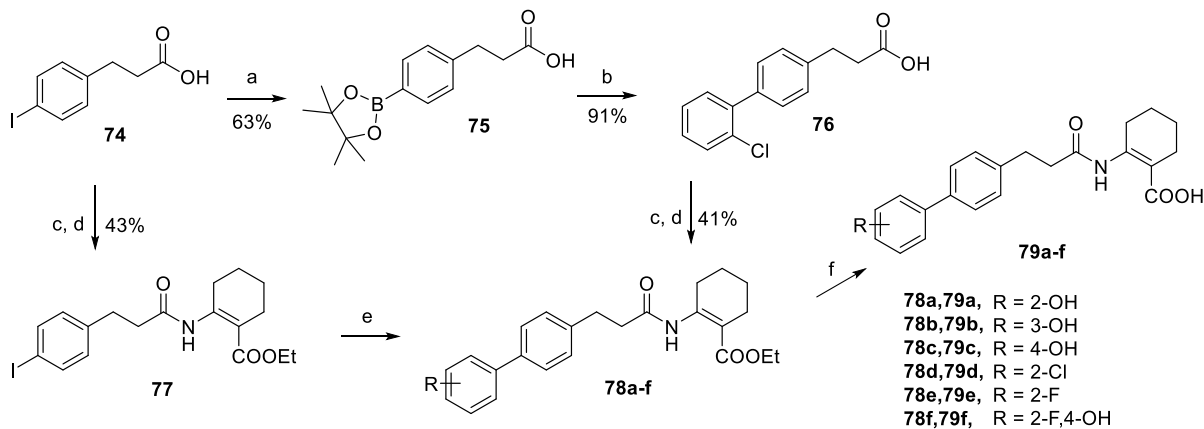
Reaģenti un apstākļi: (a) oksalihlorīds, DMF, DCM, rt, 1 h; (b) **23**, TEA vai DIPEA, DCM, 0 °C, 1 h; (c) attiecīgais jodīds **52**, PdCl₂[PPh₃]₂, CuI, TEA, MeCN, rt, 18 h, 37–90 %; (d) 2 N NaOH, EtOH vai THF, MeOH, rt, 15–24 h, 27–54 %

3.3. tabula

Sonogaširas reakcijas produktu **72** iznākumi

N.p.k.	Izejviela	Produkts	Iznākums, %
1.	52a	72a	52
2.	52j	72b	79
3.	52k	72c	51
4.	52g	72e	71
5.	52l	72f	62
6.	52m	72g	37
7.	52n	72h	41
8.	52o	72i	90
9.	52p	72j	78
10.	52q	72k	44

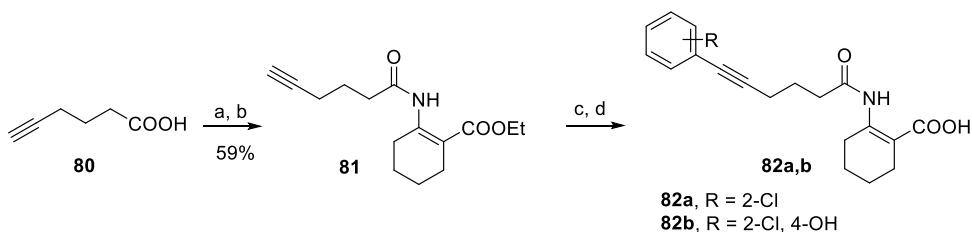
Bifeniletilēnu saturošo savienojumu **79** sintēzes shēma ir parādīta 3.11. attēlā. Mērķsavienojumu **79** iegūšanai izmantojām divus sintēzes ceļus, kuri atšķīrās ar reakciju sekvenci. Saskaņā ar pirmo no jodfenilpropānskābes **74**⁹⁵ Mijauras borilēšanas reakcijā ieguvām boronātu **75**, kuru tālāk izmantojām Suzuki reakcijā ar 1-hlor-2-jodbenzolu un ieguvām karbonskābi **76**. Amīda saites veidošanai izmantojām atstrādāto metodi – vinilamīna **23** acilēšanu ar karbonskābes **76** hlorīdu un ieguvām savienojumu **78d**. Otrs sintēzes celš ir konverģents – vispirms veicām vinilamīna **23** acilēšanas reakciju ar jodfenilpropānskābes **74** hlorīdu un ieguvām amīdu **77**, kuru izmantojām Suzuki reakcijās ar attiecīgajām arilborskābēm vai arilpinakolboronātiem. Sametināšanās reakcija notika 80 °C temperatūrā 2 stundu laikā K₂CO₃ klātienē, un izejvielas **77** amīda saites sabrukšana vai etilesteru hidrolīze šādos apstākļos bija nenozīmīga un produktu **78** iznākumi sasniedza 75–87 %. Pēc etilesteru bāziskās hidrolīzes ieguvām savienojumus **79a-f**.



3.11. attēls. Savienojumu **79a-f** iegūšana

Reaģenti un apstākļi: (a) bis(pinakolato)diborons, $\text{Pd}(\text{dppf})\text{Cl}_2$, KOAc , DMF , 80°C , 2,5 h; (b) 1-hlor-2-jodbenzols, $\text{Pd}(\text{dppf})\text{Cl}_2$, K_2CO_3 , dioksāns, H_2O , 80°C , 2 h; (c) oksalilhlorīds, DMF , DCM , rt, 1 h; (d) **23**, TEA , DCM , 0°C , 1 h; (e) arilborskābe vai arilborskābes pinakolātesteris, $\text{Pd}(\text{dppf})\text{Cl}_2$, K_2CO_3 , dioksāns, H_2O , 80°C , 1–4 h, 75–87 %; (f) 2 N NaOH , THF , MeOH , rt, 16–18 h, 36–62 %

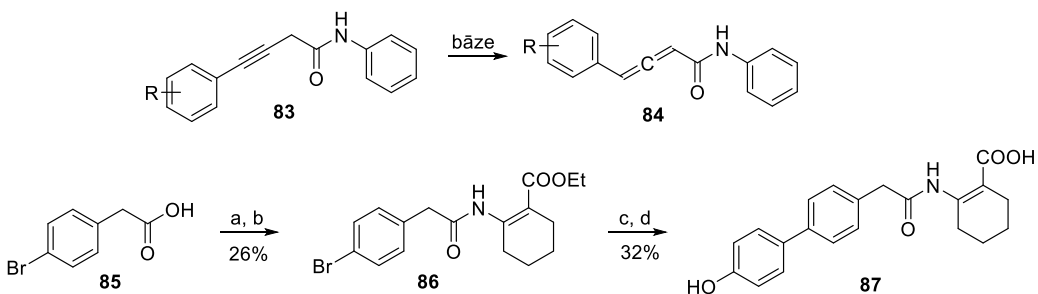
Savienojumi **82a,b** tika iegūti analogiski fenilalkīniem **73**. Mērķsavienojumi satur par vienu metilēngrupu garāku linkeru, tāpēc sintēzes izejviela bija heks-5-īnskābe **80** (3.12. att.).



3.12. attēls. Fenilalkīnu saturošo savienojumu **82a,b** iegūšanas shēma

Reaģenti un apstākļi: (a) oksalilhlorīds, DMF , DCM , rt, 1 h; (b) **23**, TEA , DCM , 0°C , 1 h; (c) attiecīgais ariljodīds, $\text{Pd}(\text{PPh}_3)_4$, CuI , TEA , DMF , rt, 18 h, 37–70 %; (d) 2 N NaOH , EtOH , THF , rt, 15–24 h, 35–54 %

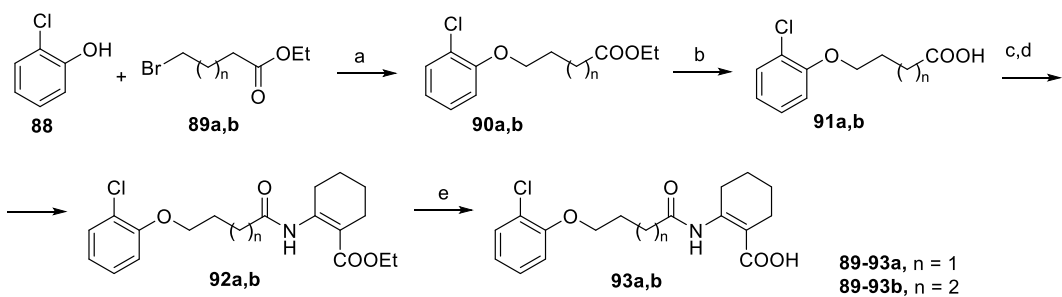
HCA2 ligandu linkera garuma nozīmes pētījumiem bija nepieciešams iegūt aktīvu savienojumu **73** analogu ar īsāku linkeru. Veicot literatūras izpēti noskaidrojām, ka fenilalkinil grupu saturošs analogs ar īsāku linkeru – propargilamīda **83** atvasinājums bāzes klātienē var viegli pārvērsties par allēnamīdu **84** (3.13. att.).^{96,97} Tāpēc izvēlējamies iegūt bifeniletil grupu saturošu HCA2 liganda **79c** analogu **87**. Savienojumu ieguvām no 4-bromfeniletiķskābes (**85**), pārvēršot to par karbonskābes hlorīdu un veicot ar to amiņa **23** acilēšanu. Tālāk Suzuki reakcijā izveidojām bifenil sistēmu un veicām etilesteru hidrolīzi, iegūstot nepieciešamo struktūru **87**.



3.13. attēls. Savienojuma **87** sintēze.

Reāgenti un apstākļi: (a) oksalilhlorīds, DMF, DCM, rt, 1 h; (b) **23**, DIPEA, DCM, 0 °C, 1 h; (c) 4-hidroksifenilborskābe, Pd(dppf)Cl₂, K₂CO₃, dioksāns, H₂O, 80 °C, 18 h; (e) 2 N NaOH, THF, EtOH, rt, 18 h.

Ētera funkciju saturošo savienojumu **93a,b** iegūšana ir redzama 3.14. attēlā. Fenilētera saiti izveidojām bromīdu **89** aizvietošanas reakcijā ar 2-hlorfenolu (**88**). Tad nohidrolizējām etilesterus **90** un iegūtās karbonskābes **91** izmantojām amīdu **92** sintēzē. Pēc amīdesteru **92a,b** bāziskās hidrolīzes ieguvām savienojumus **93a,b**.



3.14. attēls. Savienojumu **93a,b** iegūšana

Reāgenti un apstākļi: (a) K₂CO₃, DMF, 80 °C, 2–4 h, 69–99 %; (b) 2 N NaOH, H₂O, THF, 50 °C, 4 h, 87–96 %; (c) oksalilhlorīds, DMF, DCM, rt, 1 h; (d) **23**, DIPEA, DCM, 0 °C, 1 h, 45–53 %; (e) 2 N NaOH, THF, EtOH, rt, 16–18 h, 61–72 %

3.2. Struktūras-aktivitātes likumsakarības

Tā kā HCA2 ligandu aktivitāti varētu uzlabot hidroksilgrupas klātbūtnē hidrofobajā apgalā, vispirms mēs ieguvām savienojuma **29** analogus **58a-c^a** ar hidroksilgrupām dažādās pozīcijās. Mēs novērojām, ka jauno savienojumu **58a-c** aktivitāte palieinājās gan funkcionālajā testā, gan niacīna izspiešanas testā (3.4. tabula, 1.–4. rinda). Ligandam ar *o*-hidroksilgrupu **58a** un *p*-hidroksilgrupu **58c** ir augstāka afinitāte (IC₅₀ 0,037 μM un 0,025 μM) nekā *m*-analogam **58b** (IC₅₀ 0,38 μM), tāpēc tālāk pievērsām uzmanību *o* un *p*-vietu modifīcēšanai un vispirms ievadījām halogēnu atomus *o*-vietā. *o*-Hlor atvasinājums **58d** (EC₅₀ 0,27 μM) spēja aktivēt HCA2 receptoru līdzīgi kā *o*-hidroksi analogs **58a** (EC₅₀ 0,25 μM), *o*-fluor analoga **58e** aktivitāte samazinājās divas reizes (EC₅₀ 0,45 μM), taču afinitāte nedaudz uzlabojās (IC₅₀ 0,016 μM), tāpēc pieņemām, ka *o*-vietā var būt hlora vai fluora atoms. Savienojuma **58f** ar 2-fluor-4-hidroksi aizvietotājiem aktivitāte uzlabojās 9 reizes (EC₅₀ 0,11 μM), salīdzinot ar neaizvietota savienojuma **29** aktivitāti (EC₅₀ 1,01 μM).

^a savienojums **58c** ir iegūts sadarbībā ar Dr. chem. M. Ikaunieku

3.4. tabula.

Enīna funkciju saturošo savienojumu **58a-f** aktivitātes dati

N.p.k.	Savienojums	Struktūra	cAMP EC ₅₀ ± SD, μM ^a	RLB IC ₅₀ ± SD, μM ^a
1.	29		1,01 ± 0,59	0,33 ± 0,071
2.	58a		0,25 ± 0,11	0,037 ± 0,011
3.	58b		0,39 ± 0,16	0,38 ± 0,068
4.	58c		0,13 ± 0,02	0,025 ± 0,004
5.	58d		0,27 ± 0,14	0,088 ± 0,024
6.	58e		0,45 ± 0,15	0,016 ± 0,001
7.	58f		0,11 ± 0,06	0,33 ± 0,081

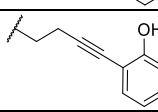
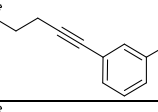
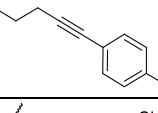
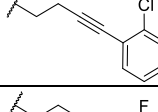
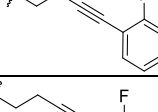
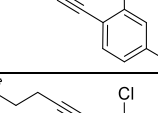
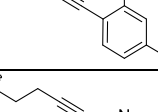
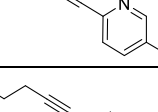
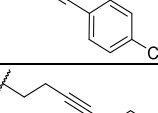
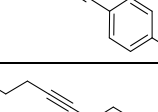
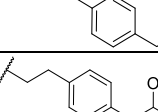
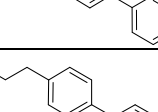
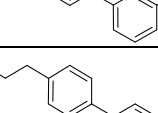
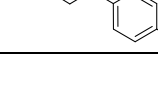
a aprēķināts no vismaz 3 eksperimentiem

Lai noskaidrotu, kura enīna saites daļa – trīskāršā saite vai dubultsaite vairāk ietekmē savienojumu aktivitāti, ieguvām savienojumu **61**, kurš satur tikai dubultsaiti, un savienojumus **73**, kuri satur tikai trīskāršo saiti. Dubultsaiti saturošā savienojuma **61** aktivitāte samazinājās 19 reizes (3.5. tabula, 1. rinda, EC₅₀ 19,6 μM) un afinitāte 9 reizes (IC₅₀ 2,83 μM), salīdzinot ar analogu **29** (EC₅₀ 1,01 μM, IC₅₀ 0,33 μM). Savietojot savienojumu **29**, **61** un **73c** 3D struktūras, tās labi pārklājās, tāpēc, iespējams, dubultsaiti saturošā savienojuma **61** aktivitātes samazināšanos izraisa struktūras dažādu konformāciju veidošanas iespēja jeb kustīgums, jo struktūras rotējošo saišu skaits tai ir 6, bet, piemēram, struktūrai **73c** tas ir tikai 4.

Noskaidrojām, ka savienojumi, kuri satur tikai trīskāršo saiti **73a-f**, ir augstas afinitātes HCA2 agonisti (3.5. tabula). *o*-Hidroksigrupu saturoša savienojuma **73a** aktivitāte samazinās gandrīz 3 reizes (EC₅₀ 0,72 μM), salīdzinot ar **58a** aktivitāti (EC₅₀ 0,25 μM), bet savienojumu **73c-f** aktivitātes atšķiras no to attiecīgo analogu **58c-f** aktivitātēm mazāk nekā 2 reizes. Vislielākā aktivitātes samazināšanās (8 reizes), salīdzinot ar analoga **58b** aktivitāti, ir novērojama *m*-hidroksilgrupu saturošam savienojumam **73b**, bet, tā kā afinitātes samazināšanās nav tik liela (3 reizes, **58b** IC₅₀ 0,14 μM, **73b** – 0,38 μM), mēs pieņemam, ka dubultsaites aizvietošana ar vienkāršo saiti kopumā būtiski neizmaina savienojumu aktivitāti. Šāda linkera modifikācija uzlabo savienojuma stabilitāti *in vivo*, jo struktūra vairs nesatur aktivētu nepiesātināto saiti.

3.5. tabula

Fenilacetilēnu atvasinājumu un to analogu aktivitātes dati

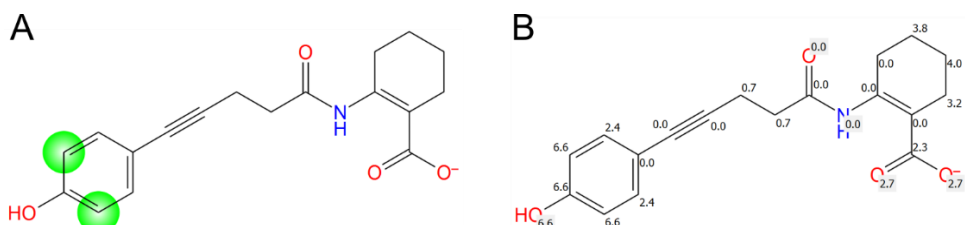
N.p.k.	Savienojums	Struktūra	cAMP EC ₅₀ ±SD, μM ^a	RLB IC ₅₀ ±SD, μM ^a
1.	61		19,6 ± 3,1	2,83 ± 0,93
2.	73a		0,72 ± 0,10	0,23 ± 0,089
3.	73b		2,98 ± 0,49	0,14 ± 0,09
4.	73c		0,16 ± 0,06	0,013 ± 0,006
5.	73d		0,19 ± 0,08	0,056 ± 0,017
6.	73e		0,36 ± 0,12	0,067 ± 0,009
7.	73f		0,08 ± 0,01	0,028 ± 0,002
8.	73g		0,09 ± 0,02	0,076 ± 0,019
9.	73h		3,37 ± 1,39	0,67 ± 0,13
10.	73i		5,61 ± 1,10	3,62 ± 0,54
11.	73j		0,63 ± 0,09	0,29 ± 0,078
12.	73k		NA	
13.	79a		0,41 ± 0,14	0,040 ± 0,005
14.	79b		0,23 ± 0,12	0,032 ± 0,08
15.	79c		0,07 ± 0,01	0,021 ± 0,004

N.p.k.	Savienojums	Struktūra	cAMP EC ₅₀ ± SD, μM ^a	RLB IC ₅₀ ± SD, μM ^a
16.	79d		0,13 ± 0,06	0,075 ± 0,007
17.	79e		0,19 ± 0,04	0,28 ± 0,05
18.	79f		0,26 ± 0,09	0,058 ± 0,009

a aprēķināts no vismaz 3 eksperimentiem

NA nav aktīva 50 μM koncentrācijā

Ir zināms, ka trīskāršā saite organismā var oksidēties ar citochroma P450 palīdzību, tāpēc, izmantojot datormodelēšanu, mēs noteicām savienojuma **73c** iespējamo metabolisko stabilitāti. Aprēķini parādīja, ka trīskāršā saite neatrodas tik tuvu ($\leq 5 \text{ Å}$) P450 enzīma dzelzs atomam, lai viegli oksidētos. Kā redzams 3.15. attēlā, aprēķinātā metaboliski nestabilākā vieta molekulā ir aromātiskajā gredzenā.



3.15. attēls. Savienojuma **73c** metaboliskā stabilitāte

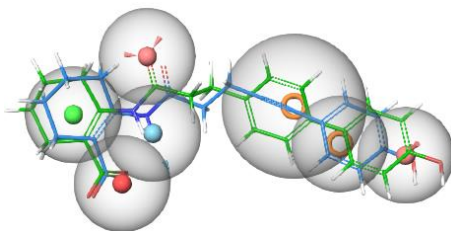
A – zaļā krāsā nestabilāka vieta; B – Fe–pieejamība, jo lielākā vērtība, jo augstāka pieejamība dzelzs atomam

Iepriekš mēs novērojām, ka savienojumu aktivitāti būtiski ietekmē hidrofobās daļas veids un tās aizvietotāji, tāpēc izdarījām dažas modifikācijas ligandu struktūras hidrofobajā daļā. Ieguvām savienojumu **73g** ar 2-hlor-4-hidroksi aizvietotājiem, kura aktivitāte (EC₅₀ 0,09 μM) ir līdzīga 2-fluor-4-hidroksi analoga **73f** aktivitātei (EC₅₀ 0,08 μM). Ieguvām arī Merck atrastā savienojuma MK-6892 analoga **73h**, kurš, tāpat kā MK-6892, satur hidroksipiridīnu liganda hidrofobajā daļā. Interesanti, ka savienojuma **73h** aktivitāte ievērojami kritās (EC₅₀ 3,37 μM), salīdzinot ar hidroksifenil analoga **73c** aktivitāti (EC₅₀ 0,16 μM).

Literatūrā ir atrodami dati, ka dažreiz *p*-fluor aizvietotājs hidrofobajā daļā nemaina savienojumu aktivitāti, salīdzinot ar *p*-hidroksi analogiem.⁷⁴ Lai pārbaudītu *p*-fluor aizvietotāja ietekmi, ieguvām savienojumu **73j** (11. rinda). Tā aktivitāte (EC₅₀ 0,63 μM) samazinājās 4 reizes, bet afinitāte 22 reizes (IC₅₀ 0,29 μM), salīdzinot ar *p*-hidroksi analoga **73c**, tāpēc var secināt, ka šajā gadījumā fluora atoms nav hidroksilgrupas bioizostērs. Mēginot atrast alternatīvu *p*-hidroksilgrupai, ir iegūts fenilacetilēna atvasinājumu **73i** ar karbonskābi *p*-vietā, taču iegūtā savienojuma aktivitāte samazinājās jau 35 reizes. Ievadot *p*-hidroksigrupas vietā hidroksimetil aizvietotāju, ieguvām pavisam neaktīvu savienojumu **73k** (12. rinda). Līdz

ar to visaktīvākais savienojums šajā sērijā, nesmot vērā aktivitāti un afinitāti, ir 2-fluor-4-hidroksi aizvietotājus saturošs ligands **73g**.

Merck zinātnieku publikācijā ir aprakstīti daži cikloheksēnkarbonskābi saturoši HCA2 ligandi, kuri vielas hidrofobajā apgabalā satur bifenil sistēmu.⁷⁰ Lai pārbaudītu, vai trīskāršā saite mūsu gadījumā varētu darboties kā benzola cikla bioizostērs, ieguvām savienojumu **73a-f** bifenil analogus **79a-c**, kuros trīskāršās saites vietā ir benzola gredzens, to starpā arī literatūrā jau aprakstītu HCA2 ligandu **79c**⁹⁸. Salīdzinot iegūto bifenil savienojumu **79** un fenilacetilēni grupu saturošo HCA2 agonistu aktivitātes, var redzēt, ka bifenil atvasinājumi **79a,c-e** ir 1,5–3 reizes aktīvāki par to analogiem **73a,c-e**. Izņēmums šajā sērijā ir *m*-hidroksigrupu saturošs atvasinājums **79b**, kurš ir 13 reizes aktīvāks funkcionālajā testā (EC_{50} 0,23 μM) par trīskāršo saiti saturošo analogu **73b** (EC_{50} 2,98 μM), un savienojuma **79b** afinitāte, salīdzinot ar vielu **73b**, uzlabojas 4 reizes. Turpretī, 2-fluor-4-hidroksi aizvietotājus saturoša bifenilatvasinājuma **79f** aktivitāte un afinitāte samazinās 2–3 reizes (EC_{50} 0,26 μM , IC_{50} 58 μM), salīdzinot ar tā trīskāršās saites analoga **73f** datiem (EC_{50} 0,08 μM , IC_{50} 28 μM). Kopumā, diemžēl, mums nav izdevies atrast nepārprotamu korelāciju starp savienojumu **73a-f** un **79a-f** bioloģiskās aktivitātes datiem.



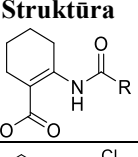
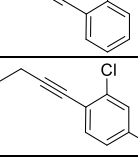
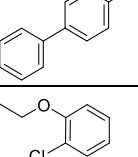
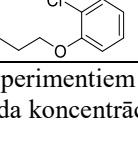
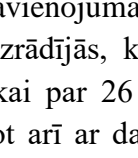
3.16. attēls. Modificētais farmakoforais modelis un ligandi **73c** un **79c**
73c – zils, **79c** – zaļš

Mūsu sintezētie fenilacetilēnu saturošie savienojumi atbilst izstrādātajam HCA2 ligandu modelim, izņemot savienojumus **73d** un **73i**. Modelēšanas skrīningā, izmantojot metodi ar izslēgtām telpām, neviens no savienojumiem ar bifenilsistēmu **79a-f** neatbilst izstrādātajam modelim. Zinot, ka bifenilsistēmu saturošie savienojumi ir nedaudz garāki par fenilacetilēnu saturošiem savienojumiem, jo trīskāršās saites hidrofobais farmakoforais elements ir mazāks par benzola gredzena aromātisko farmakoforo elementu, mēs modificējām modeli. Hidrofobajā daļā noņēmām izslēgtās telpas pie akceptora elementa un palielinājām pie linkera esošā aromātiskā farmakoforā elementa sfēras rādiusu līdz 3 Å. Rezultātā ieguvām jaunus modeļus, kuriem atbilst arī 3–4 bifenilsistēmu saturošie savienojumi no 6, atkarībā no izdzēstā izslēgto telpu daudzuma. Bifenil sistēmas un fenilacetilēna fragmentu pārklāšanās (3.16. att.) un salīdzināto savienojumu bioloģiskās aktivitātes liecina par to, ka trīskāršā saite savienojumos **73a-f** ir benzola gredzena bioizostērs.

Bifenilsistēmu saturošās struktūras **79** ir par apmēram 2 Å garākas, nekā to attiecīgie fenilacetilēn analogi **73**. Ar mērķi izpētīt linkera garuma ietekmi uz savienojumu aktivitāti, tika iegūti divi augstas afinitātes HCA2 ligandu **73d** un **73g** analogi **82a** un **82b**, kuri saturēja par vienu metilēngrupu garākus linkerus. Iegūto savienojumu aktivitāte samazinājās 2,3–2,5 reizes (3.6. tabula), salīdzinot ar to analogu **73d,g** aktivitātēm. Līdz ar struktūras pagarināšanos, rotējošo saišu daudzums, salīdzinot ar struktūrām **73d,g**, palielinās par vienu, tāpēc, iespējams, aktivitātes izmaiņas varētu izraisīt struktūru kustīguma palielināšanās.

3.6. tabula

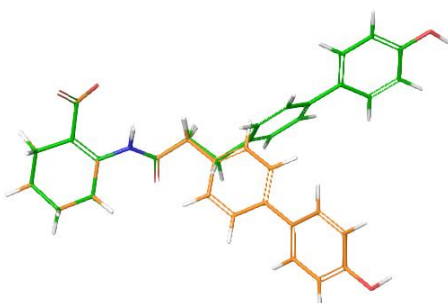
Modificēto HCA2 ligandu bioloģiskās aktivitātes dati

N.p.k.	Savienojums	Struktūra	cAMP EC ₅₀ ±SD, μM ^a
1.	82a		0,45 ± 0,05
2.	82b		0,23 ± 0,09
3.	89		26 ± 8 % ^b
4.	93a		7,03 ± 1,93
5.	93b		4,40 ± 1,83

a aprēķināts no vismaz 3 eksperimentiem

b cAMP inhibēšana, ja liganda koncentrācija ir 50 μM

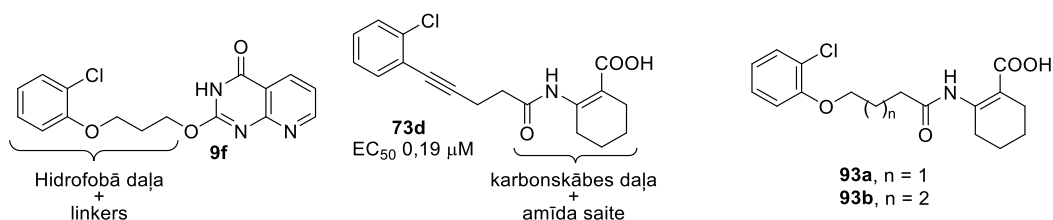
Saīsinot bifenilsistēmu saturošam savienojumam **79c** linkera garumu par vienu metilēngrupu, tika iegūts tā analogs **89**. Izrādījās, ka sis savienojums ir ļoti vājš HCA2 agonists, jo tas samazina cAMP līmeni tikai par 26 % 50 μM koncentrācijā (3.6. tabula). Straujo aktivitātes zudumu varētu izskaidrot arī ar datormodelēšanas palīdzību – savietojot struktūras **79c** un **89**, var redzēt, ka to hidrofobie apgabali vispār nepārklājas (3.17. att.) un ūsākā analoga **89** struktūras ģeometrijas dēļ tas neatbilst HCA2 ligandu farmakoforajam modelim.



3.17. attēls. Bifenilsistēmu saturošo struktūru **79c** un **89** savietošana
79c – zaļš; **89** – oranžs

ChEMBL datubāzē iekļauto HCA2 ligandu skrīningā mums izdevās identificēt piridopirimidonu klases ligandu atbilstību mūsu izstrādātajam farmakoforajam modelim. 3.18. attēlā ir parādīta literatūrā aprakstīta augstas afinitātes HCA2 liganda **9f** struktūra, kura, līdzīgi kā savienojums **73d**, satur *o*-hlor aizvietotāju liganda hidrofobajā daļā. Lai pārbaudītu, vai ir iespējams apvienot struktūras **9f** hidrofobo daļu, ietverot tās linkera daļu, ar cikloheksēnkarbonskābi, ieguvām savienojumus **93a,b**. Farmakoforajam modelim atbilst abi minētie sintezētie savienojumi. Līdz ar savienojumu hidrofobās daļas maiņu, ievērojami

palielinās šo struktūru iespējamo konformāciju skaits, jo struktūrai **93a** ir 7 rotējošas saites, bet **93b** – 8 rotējošas saites. Salīdzinājumam – savienojumam **73d** ir tikai 5 rotējošās saites, bet **9f** – 6.



3.18. attēls. Savienojumi **93a,b**

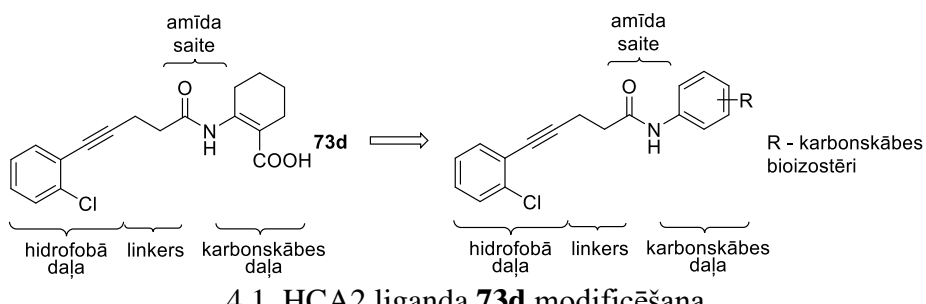
Garāko linkeru saturošā savienojuma **93b** aktivitāte, salīdzinot ar savienojuma **73d** aktivitāti, samazinās 23 reizes (EC_{50} 4,40 μM), bet īsāko linkeru saturošā savienojuma **93a** – 37 reizes (EC_{50} 7,03 μM) (3.6. tabula). Līdz ar to var izdarīt secinājumu, ka HCA2 ligandos, aizvietojot trīskāršo saiti ar metilēnētera fragmentu, molekula kļūst kustīgāka un tās aktivitāte samazinās.

4. HCA2 LIGANDU KARBONSKĀBES DAĻAS UN AMĪDA GRUPAS MODIFICĒŠANA

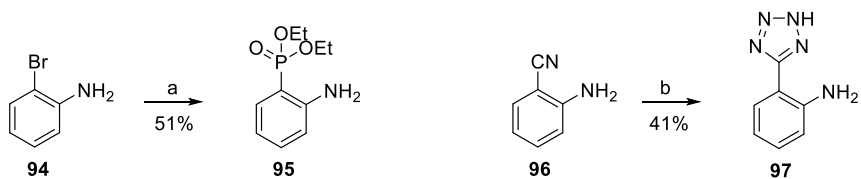
Iepriekšējās darba daļas mēs aprakstījām cikloheksēnkarbonskābi saturošus HCA2 ligandus ar dažādām hidrofobām daļām un linkeriem. Salīdzinoši maz ir zināms par HCA2 ligandu analogiem, kuriem būtu modificēta karbonskābes daļa un amīda grupa. Veicot iepriekš iegūto HCA2 ligandu karbonskābes daļas modifikācijas, iegūtās struktūras—aktivitātes likumsakarības varētu dot ieskatu HCA2 ligandu farmakoforā modeļa karbonskābes daļā un palīdzēt izprast mijiedarbību starp ligandu un receptoru. Bez tam, no farmakokinētikas viedokļa amīda saiti saturošie savienojumi varētu būt arī nestabili. Iepriekš mēs novērojām cikloheksēnkarbonskābju saturošo HCA2 ligandu amīda saites šķelšanos hidrolītiskā vidē, tāpēc iespējamais amīda saites aizvietošanas ieguvums varētu būt savienojumu stabilitātes uzlabošanās.

4.1. Savienojumu iegūšana

Kā pamatstruktūru, kuras karbonskābes daļas modifikācijas var izmantot aktivitātes novērtēšanai, mēs izvēlējāmies savienojumu **73d**, jo tas ir augstas afinitātes HCA2 agonists (EC_{50} 0,19 μM , IC_{50} 56 nM), kura iegūšanai nav nepieciešamas aizsarggrupas hidrofobajā daļā. Tā kā liganda **73d** karbonskābes daļu veidojošais 2-amidocikloheks-1-ēnkarbonskābes fragments ir grūti modificējams, tika nolemts iegūt **73d** analoga, kur liganda karbonskābes daļā 2-amidocikloheks-1-ēnkarbonskābes vietā ir aromātiskais gredzens (4.1. att.).



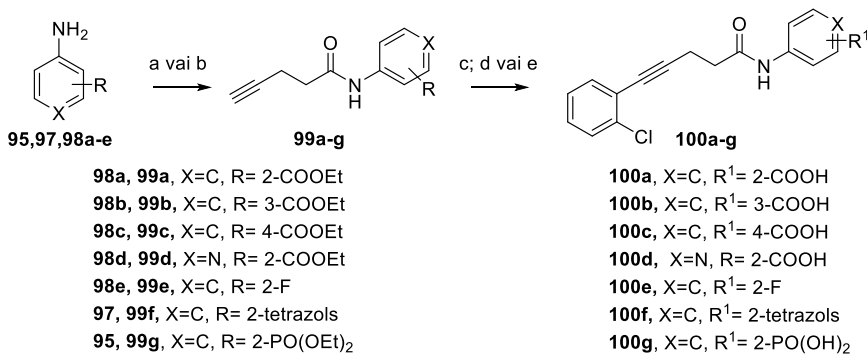
Savienojuma **73d** analoga **100a-g** iegūšanai vispirms sintezējām darbam nepieciešamus anilīnus, kuri satur karbonskābes iespējamās bioizostērās grupas vai to prekursorus (4.2. att.). Fosfonātu **95** ieguvām pallādija katalizētā 2-bromanilīna (**94**) un dietilfosfīta sametināšanās reakcijā.⁹⁹ Tetrazolu **97** sintezējām no nitrila **96**, bet pārējie darbā izmantotie anilīni **98a-e** bija komerciāli pieejamas vielas.



4.2. attēls. 2-Vietā aizvietoto anilīnu iegūšana

Reaģenti un apstākļi: (a) dietilfosfīts, $\text{Pd}(\text{OAc})_2$, PPh_3 , TEA, EtOH, $80\text{ }^\circ\text{C}$, 16 h; (b) NaN_3 , NH_4Cl , DMF, $105\text{ }^\circ\text{C}$, 72 h

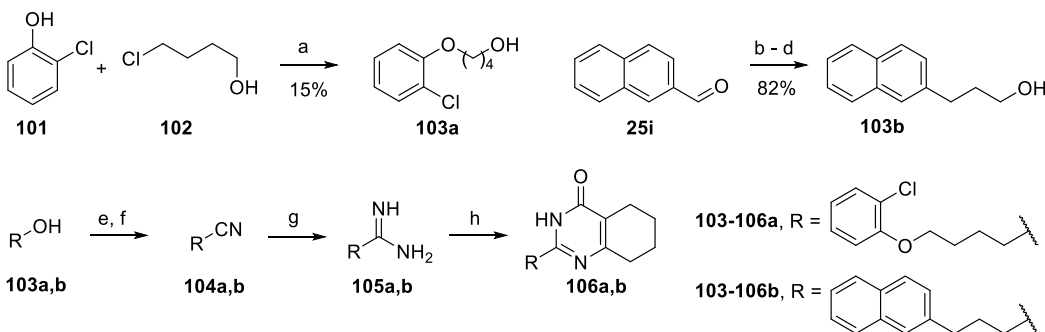
Amīda saites izveidei savienojumos **99a-g** mēs izmantojām divas metodes – amīdu **99a-d,g** ieguvām anilīnu **98a-d**, **95** acilēšanas reakcijās ar pent-4-īnskābes hlorīdu, savukārt, amīdu **99e,f** iegūšanai izmantojām karbonskābes aktivēšanu ar EDC un HOBr reaģētu kombināciju. Pēdējā solī vielām **99a-d,g** veicām aizsarggrupu nošķelšanu. Karbonskābes etilesteri savienojumiem **99a-d** nošķēlām ar bāziskās hidrolīzes palīdzību, bet fosforskābi **100g** ieguvām, nošķelot intermdiāta **99g** dietilfosfonāta etilgrupas ar TMSBr (4.3. att.).



4.3. attēls. Savienojumu **100a-g** iegūšana

Reaģenti un apstākļi: (a) pent-4-īnskābes hlorīds, DIPEA, DCM, $0\text{ }^\circ\text{C}$, 1 h, 57–76 %; (b) pent-4-īnskābe, EDC, HOBr, DCM, rt, 24 h, 49–64 %; (c) 1-hlor-2-jodbenzols, $\text{PdCl}_2[\text{PPh}_3]_2$, CuI, TEA, MeCN, rt, 2–18 h, 46–64 %; (d) 2 N NaOH, EtOH, rt, 15–24 h, 32–80 %; (e) *i*) TMSBr, DCM, 6 d, rt; *ii*) MeOH, H_2O , rt, 3 h, 70 %

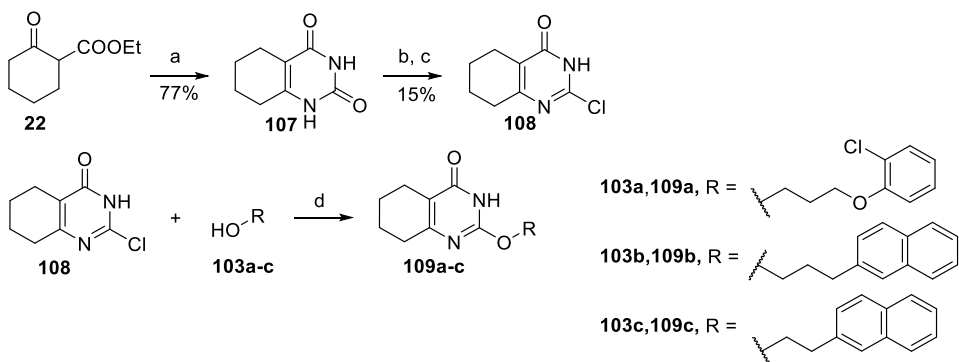
Karbonskābes daļā modificēto HCA2 ligandu iegūšanai izpētījām tetrahidrohinazolinonu sintēzes iespējas. Parasti tetrahidrohinazolinonus iegūst vara katalizētā amidīnu reakcijā ar 2-bromcikloalk-1-ēnkarbonskābēm¹⁰⁰ vai amidīnu un okso-cikloheksēnkarboksilāta ciklokondensācijas reakcija¹⁰¹. Mēs izvēlējamies otro sintēzes ceļu, saskaņā ar kuru var izmantot mums pieejamo 2-okso-cikloheksān-1-karbonskābes etilesteri (**22**). Tetrahidrohinazolīn-4(3*H*)-onu **106a,b** iegūšanas shēma ir parādīta 4.4. attēlā. Mērķsavienojumu sintēzei bija nepieciešams iegūt amidīnus **105a,b**. Vispirms, izmantojot 2-hlorfenola (**101**) aizvietošanas reakciju ar 4-hlorbutanolu (**102**), ieguvām spiritu **103a**. Spiritu **103b** ieguvām 3 stadiju sintēzē no 2-naftalīnaldehīda (**25i**).¹⁰² Spiritus **103a,b** pārvērtām par mezilātiem un tad veicām nukleofilās aizvietošanas reakciju ar kālija cianīdu, iegūstot nitrilus **104a,b**. Pinnera reakcijā no attiecīgiem nitriliem ieguvām amidīnus **105a,b**, kurus pārvērtām par galaproduktiem **106a,b** ciklokondensācijas reakcijā ar cikloheksēnkarboksilātu **22** K_2CO_3 klātbūtnē.



4.4. attēls. Tetrahidroimidazolīn-4(3*H*)-onu **106a,b** sintēze

Reāgenti un apstākļi: (a) K_2CO_3 , DMF, 80 °C, 20 h; (b) metil 2-(dimetoksifosforil)acetāts, *t*BuOK, DMSO, rt, 40 min; (c) 10 % Pd/C, H_2 , MeOH, rt, 40 min; (d) LiAlH_4 , THF, 0 °C, rt, 1 h; (e) MsCl , TEA, THF, 0 °C – rt, 2 h; (f) KCN , DMF, 70 °C, 16 h, 76–86 %; (g) *i*) AcCl , MeOH, 18 h, rt; *ii*) 7N NH_3 / MeOH, rt, 24 h, 40–51 %; (h) **22**, K_2CO_3 , abs. EtOH, vārišana, 6 h, 18–58 %

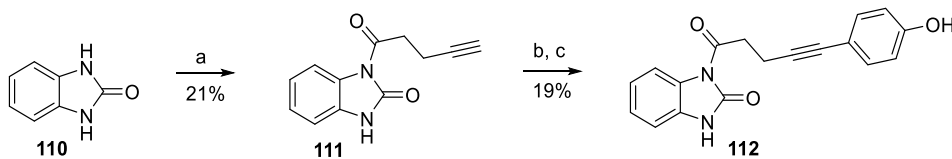
Savienojumu **106a,b** analoga **109b** iegūšana ir parādīta 4.5. attēlā. No 2-okso-cikloheksān-1-karbonskābes etilesterā (**22**) un urīnvielas ieguvām tetrahidroimidazolīndionu **107**, ko pārvērtām par dihlortetrahidroimidazolīnu, izmantojot POCl_3 . Bāziskā vidē vienu hlora atomu nomainījām pret hidroksilgrupu un ieguvām savienojumu **108**. Hlortetrahidroimidazolīnona **108** reakcijā ar spiritu **103b** ieguvām mērķsavienojumu **109b**. Analogiskā reakcijā ar spiritu **103c** novērojām produkta **109c** veidošanos ar AEŠH-MS analīzes palīdzību, taču konstatējām, ka gan produkts, gan izejviela reakcijas vidē sadalās, veidojoties produktu maisījumiem, kurā mums izdevās identificēt tikai 2-vinilnaftalīnu. Mums neizdevās iegūt arī savienojumu **109a**, jo, ilgstoši sildot reakcijas maisījumu bāziskā vidē, no izejvielas **108** radās tikai tetrahidroimidazolīndions **107**.



4.5. attēls. Tetrahidroimidazolīn-4(3*H*)-ona **109b** sintēze

Reāgenti un apstākļi: (a) urīnviela, NaOMe , EtOH, 80 °C, 4,5 h; (b) POCl_3 , 115 °C, 2 h; (c) 1 N NaOH , THF, rt, 6 d; (d) *t*BuOK, THF, DMSO, 50 °C, 24 h, 31 %

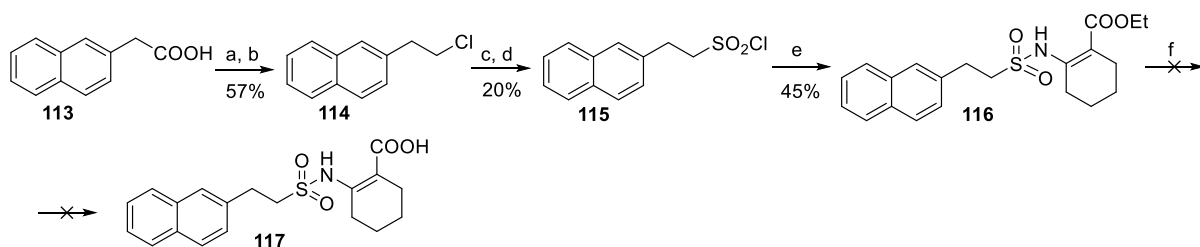
Benzimidazolonu saturošu HCA2 liganda **73c** analogu **112** ieguvām no dihidrobenzimidazolona **110**. Vispirms savienojuma **110** acilēšanas reakcijā ar pent-4-īnskābes hlorīdu ieguvām monoacilētu benzimidazolona atvasinājumu **111**. Iegūto alkīnu **111** iesaistījām Sonogašira reakcijā ar jodbenzolu **52k**, un tad iegūtajam sametināšanas produktam nošķēlām TBS aizsarggrupu un ieguvām mērķsavienojumu **112** (4.6. att.).



4.6. attēls. Benzimidazolona **112** sintēze

Reaģenti un apstākļi: (a) *i*) NaH, DMF, 0 °C, 20 min; *ii*) pent-4-īnskābes hlorīds, 0 °C, tad rt, 20 h; (b) **52k**, PdCl₂[PPh₃]₂, CuI, TEA, MeCN, 18 h, rt; (c) TBAF, THF, 30 min, rt

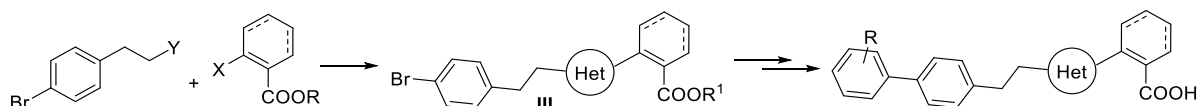
HCA2 liganda **38e** analoga **117** iegūšanai, kur amīda funkcija ir aizvietota ar tā iespējamo bioizostēru sulfonamīdu, izmantojām 4.7. attēlā redzamo shēmu. Noreducējot 2-naftiletikskābi (**113**) ar LiAlH₄, ieguvām spirtu, ko pārvērtām par hlorīdu **114**, izmantojot SOCl₂. Tad hlorīda **114** un nātrijs sulfīta Štrekera reakcijā ieguvām attiecīgu nātrijs sulfonātu, ko iesaistījām tālākā reakcijā ar PCl₅ un ieguvām sulfonihlorīdu **115**¹⁰³. Sulfonihlorīda **115** reakcijā ar vinilamīnu **23** veidojās sulfonamīds **116**. Diemžēl, mums neizdevās piemeklēt tādus reakcijas apstākļus, kuros varētu hidrolizēt etilesteri **116** par vajadzīgo karbonskābi **117**, nesagraujot sulfonamīdu **116**. Līdz ar to HCA2 liganda modifikāciju **117** mums iegūt neizdevās.



4.7. attēls. Sulfonamīda **117** iegūšanas mēģinājums

Reaģenti un apstākļi: (a) LiAlH₄, THF, 0 °C, 2 h; (b) SOCl₂, piridīns, Et₂O, 35 °C, 4 h; (c) Na₂SO₃, H₂O, etilēnglikols, 120 °C, 24 h; (d) PCl₅, PhMe, 90 °C, 3 h; (e) **23**, TEA, PhMe, 65 °C, 1 h; (f) 2 N NaOH, MeOH, THF, rt, 1 h

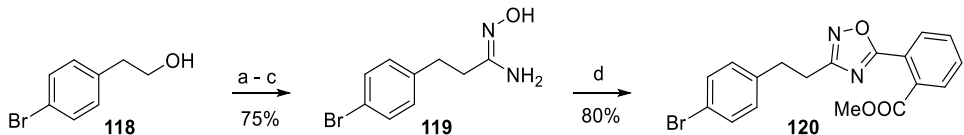
HCA2 ligandu analogu, kurā amīda funkcionalā grupa ir nomainīta ar iespējamu bioizostēru heterociklu, iegūšanas stratēģijas pamatā izvēlējāmies heterocikla izveidi no 2 būvblokiem – liganda karbonskābes daļas un liganda linkera daļas (4.8. att.). Mūsu ieplānotajā sintēzes shēmā linkera daļa satur arilbromīda grupu, kuru tālāk bijām paredzējuši izmantot C-C sametināšanas reakcijās un iegūt savienojumus ar dažādiem aizvietotājiem liganda hidrofobajā daļā. Ērtākai savienojumu bioloģiskas aktivitātes salīdzināšanai centāmies iegūt savienojumus ar vienādu 4-hidroksi-bifenil hidrofobo daļu, kurus var uzskatīt par aktīvā HCA2 liganda **79c** analogiem.



4.8. attēls. Heterociklu saturošo HCA2 ligandu sintēzes stratēģija

Kā būvblokus 1,2,4-oksadiazola **120** iegūšanā izmantojām ftālskābes monometilesteri, kuru pārvērtām par skābes hlorīdu, un amīdoksīms **119**, kuru ieguvām 3 stadijās no spirta **118**. Amidoksīms **119** reakcijā ar ftālskābes monometilesteru hlorīdu vispirms izveido *O*-

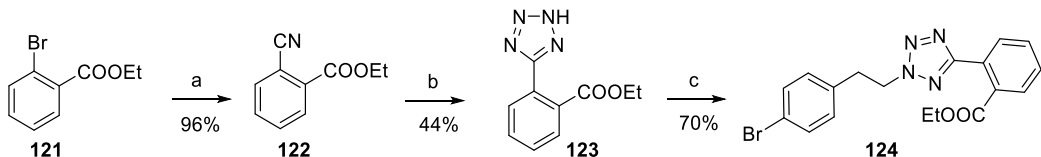
acilamidoksīmu, kurš, sildot piridīna klātienē, ciklokondensācijas reakcijā pārvēršas par 1,2,4-oksadiazolu **120** (4.9. att.).



4.9. attēls. 1,2,4-Oksadiazola **120** iegūšana

Reagenti un apstākļi: (a) MsCl, TEA, THF, 0 °C, tad rt, 2 h; (b) KCN, DMF, 70 °C, 5 h; (c) 50 % NH₂OH/H₂O, EtOH, 50 °C, 5 h, tad rt, 16 h; (d) *i*) ftalskābes monometilesteris, (COCl)₂, DCM; *ii*) piridīns, DCM, 0 °C, tad rt, 1 h; *iii*) piridīns, PhMe, 80 °C, 20 h

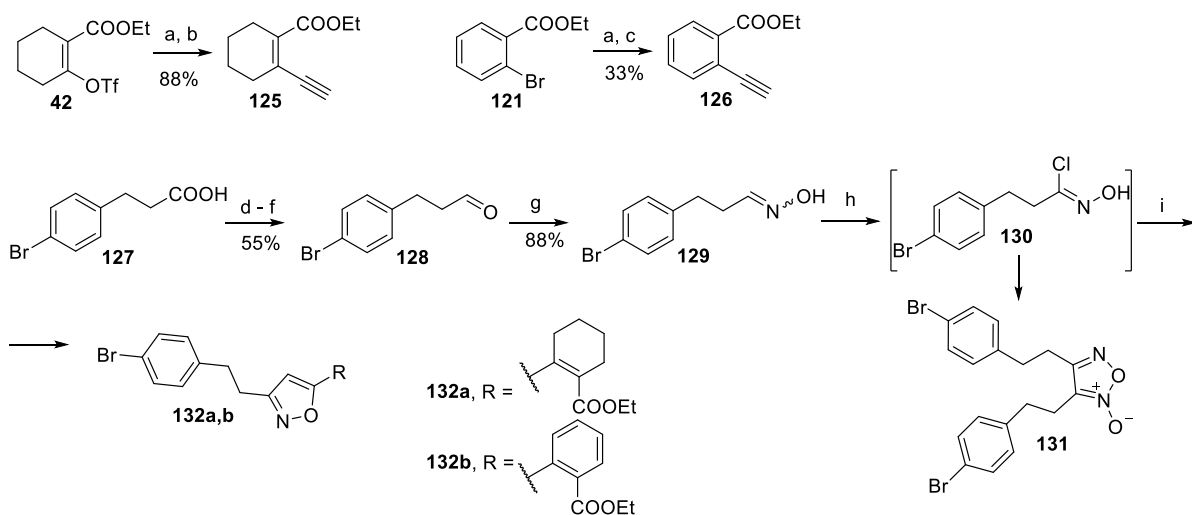
Lai iegūtu tetrazolu **124**, vispirms pallādija katalizētā cianēšanas reakcijā no arilbromīda **121** ieguvām arilcianīdu **122**.¹⁰⁴ Izmantojot NaN_3 un NH_4Cl reaģēntu kombināciju, cianīdu **122** pārvērtām par nepieciešamo tetrazolu **122**. Tetrazola **122** alkilēšanas reakcijā ar 4-bromfeniletilmēzilātu novērojām 2 izomēru veidošanos attiecībā 72:16 (AEŠH-MS), no kuriem tīrā veidā izdalījām parākumā esošā *2H*-tetrazola alkilēšanas produktu **124** (4.10. att.). Mazākumā esošais *1H*-tetrazola atvasinājums tīrā veidā no reakcijas maisījuma netika izdalīts.



4.10. attēls. Tetrazola **124** iegūšana

Reagenti un apstākļi: (a) Zn(CN)₂, Zn, Pd₂(dba)₃, Pd(dppf)Cl₂, DMA, 110 °C, 16 h; (b) Na₃N, NH₄Cl, DMF, 110 °C, 16 h; (c) 4-bromfeniletilmezilāts, K₂CO₃, DMF, 70 °C, 18 h

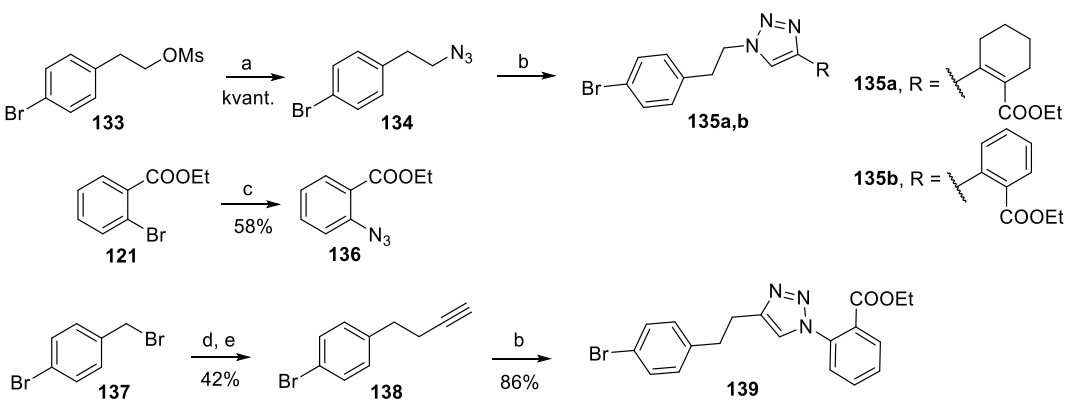
Izoksazolu **132a,b** iegūšanai izmantojām alkīnu **125** un **126** un no oksīma **129** *in situ* izveidota nitrila oksīda ciklopievienošanās reakciju (4.11 att.). Alkīnu saturošos būvblokus **125** un **126** ieguvām attiecīgi no savienojumiem **42** un **121** Sonogaširas reakcijā ar trimetilsililacetilēnu ar sekojošu TMS-aizsarggrupas nošķelšanu.¹⁰⁵ Karbonskābi **127** apstrādājām ar metilspirtu sērskābes klātienē, tad iegūto metilesteri noreducējām ar LiAlH₄ līdz attiecīgajam spirtam, kuru, savukārt, nooksidējām līdz aldehīdam **128** ar Dessa-Martina perjodināna palīdzību. Aldehīdu **128**, apstrādājot ar hidroksilamīnu, pārvērtām par oksīmu **129**, ko, nooksidējot ar NCS, ieguvām *N*-hidroksiimidoilhlorīdu **130**. Savienojumu **130** bijām plānojuši izmantot vara katalizētā selektīvā 3,5-izoksazolu sintēzē.¹⁰⁶ Diemžēl, alifātiskais *N*-hidroksiimidoilhlorīds **130** izrādījās nestabils un istabas temperatūrā izveidoja nitrila oksīdu, kurš saciklizējās par furoksānu **131** (AEŠH-MS). Tādēļ izoksazolu iegūšanai izmantojām metodi, saskaņā ar kuru *N*-hidroksiimidoilhlorīdu **130** izveidojām *in situ* un tam uzreiz pievienojām attiecīgu alkīnu **125** vai **126**, kurš stājās ciklopievienošanās reakcijā. Rezultātā ieguvām 3,5-aizvietoto un 3,4-aizvietoto izoksazolu maisījumu, kurā stērisku apsvērumu dēļ nepieciešamais 3,5-izoksazols **132a** vai **132b** veidojās pārākumā. Nepieciešamos 3,5-izoksazolus **132a,b** tīrā veidā izdalījām ar hromatogrāfijas palīdzību.



4.11. attēls. Izoksazolu **132a,b** iegūšana

Reāgenti un apstākļi: (a) TMSA, $\text{PdCl}_2[\text{PPh}_3]_2$, CuI, TEA, THF, 25–60 °C, 2–3 h; (b) K_2CO_3 , MeOH, rt, 1 h; (c) TBAF, THF, rt, 0 °C, 30 min; (d) k. H_2SO_4 , MeOH, rt, 16 h; (e) LiAlH_4 , THF, 0 °C, 30 min; (f) Dessa-Martina reāgents, DCM, rt, 1 h; (g) $\text{NH}_2\text{OH}\cdot\text{HCl}$, TEA, DCM, rt, 2 h; (h) NCS, DMF, 60 °C, 1 h; (i) **125** vai **126**, TEA, DMF, rt, 1 h, 43–51 %

Ērti 1,2,3-triazolu iegūšanas būvbloki ir azīdi un alkīni. Mums nepieciešamo azīdu **134** ieguvām no mezilāta **133** nukleofīlās aizvietošanas reakcijā ar NaN_3 . Savukārt, 2-azidobenzoskābes etilesteri (**136**) sintezējām no bromīda **121** un NaN_3 CuI/trans-*N,N*-dimetilcikloheksān-1,2-diamīna katalizētā reakcijā.¹⁰⁷ Alkīnu saturošu būvbloku **138** ieguvām, izmantojot literatūrā aprakstītu metodi – no trimetilsililpropīna ģenerēta litija acetilenīda reakcijā ar benzilbromīdu **137** un sekojošu TMS aizsarggrupas nošķelšanu no iegūtā pievienošanās produkta.¹⁰⁸ Selektīvai 1,4-aizvietoto 1,2,3-triazolu iegūšanai izmantojām vara (I) katalizētu alkīnu-azīdu 1,3-dipolāru ciklopievienošanās reakciju,¹⁰⁶ un ar šo metodi, izmantojot attiecīgas alkīnu **125**, **126** un **138**, un azīdu **134** un **135** kombinācijas, ieguvām triazolus **135a,b** un **139** (4.12. att.).

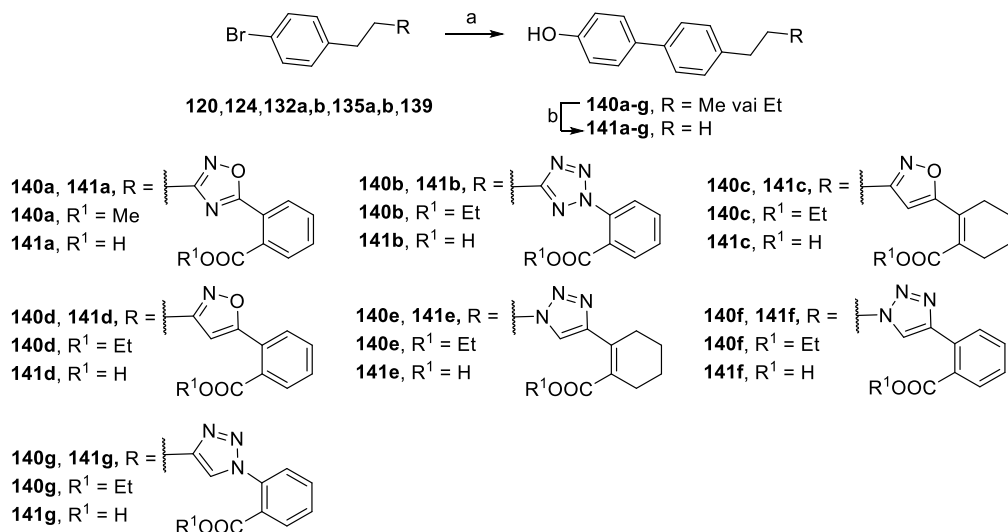


4.12. attēls. Triazolu **135a,b** un **139** iegūšana

Reāgenti un apstākļi: (a) NaN_3 , DMF, rt, 17 h; (b) attiecīgais alkīns **125** vai **126**, vai azīds **136**, $\text{CuSO}_4\cdot 5\text{H}_2\text{O}$, nātrijs askorbāts, 40 °C, 2–3 h, 66–86 %; (c) NaN_3 , CuI, nātrijs askorbāts, trans-*N,N*-dimetilcikloheksān-1,2-diamīns, EtOH, H_2O , 100 °C, 7 h; (d) 1-trimetilsili-1-propīns, *nBuLi*, THF, -78 °C, 10 min, tad rt, 15 h; (e) K_2CO_3 , MeOH, rt, 2 h

Augstāk aprakstītos iegūtos bromīdus **120**, **124**, **132a,b**, **135a,b** un **139** iesaistījām Suzuki reakcijā ar 4-hidroksifenilborskābi (4.13. att.). Tā kā savienojumi **140a-g** vairs nesaturēja

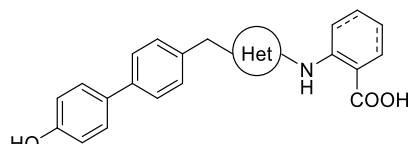
amīda saiti kā iepriekšējās nodaļās aprakstītie mērķsavienojumi, bāziskās hidrolīzes reakcijas iznākumi uzlabojās (52–88 %, vidēji 69 %), salīdzinot, piemēram, ar bifenilsistēmu saturošo savienojumu **78a-f** hidrolīzes reakcijas iznākumiem (36–62 %, vidēji 48 %). No minētā var secināt, ka amīda saites aizvietošana ar heterociklu uzlabo mērķsavienojumu hidrolītisko stabilitāti.



4.13. attēls. Heterociklus saturošo HCA2 ligandu analoga **141a-g** iegūšana

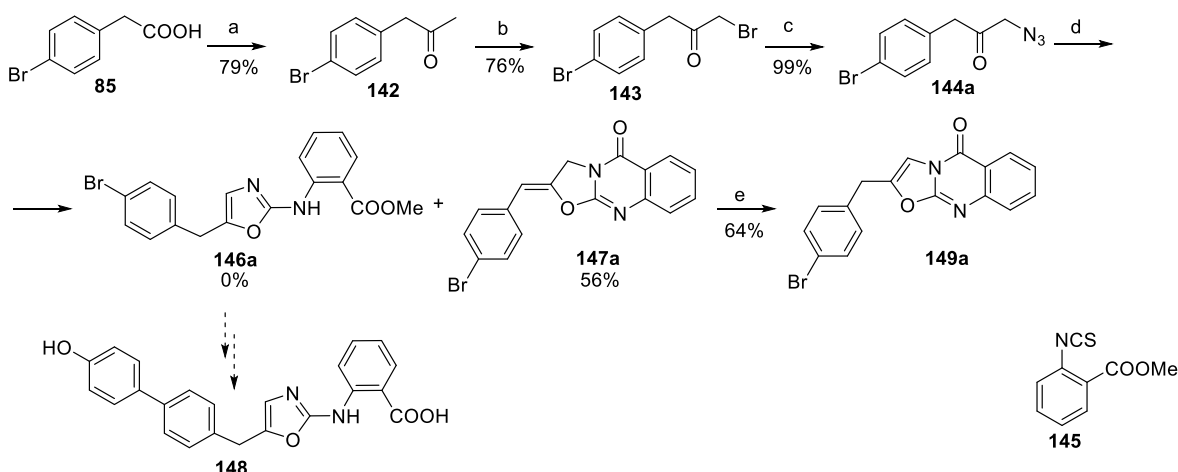
Reāgenți un apstākļi: (a) 4-hidroksifenilborskābe, Pd(dppf)Cl₂, K₂CO₃, dioksāns, H₂O, 80 °C, 18 h, 48–78%; (b) 2 N NaOH, THF, EtOH, rt, 5–18 h, 52–88 %

Amīda grupas iespējamais bioizostērs varētu būt arī heterociklisks amīns ar struktūru, kura ir redzama 4.14. attēlā. Amīda karbonilgrupu un daļu no linkera aizvieto heterocikls, bet amīns paliek, nodrošinot ūdeņraža saiti ar karboksilgrupu. Veicot literatūras izpēti, konstatējām, ka līdzīgi savienojumi, kur heterocikls ir oksazols, izoksazols vai oksadiazols, nav aprakstīti.



4.14. attēls. Heterociklisku amīnu saturošs HCA2 liganda analogs

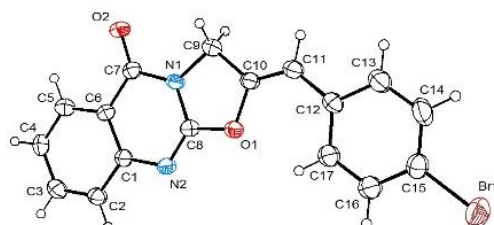
Azidoketonu un izotiocianātu reakcija fosfinu klātienē ir metode, ar kuras palīdzību parasti iegūst 2-aminooksazolus. Reakcijā vispirms veidojas iminofosforāns, kurš reaģē ar izotiocianātu un veido β -ketokarbodiimīdu. β -Ketokarbodiimīds savukārt pārgrupējas par aminooksazolu.¹⁰⁹ Mūsu ieplānotā 2-aminooksazola atvasinājuma **148** sintēzei nepieciešamo azidoketonu **144a** ieguvām 3 stadijās no bromfeniletiķskābes **85**. Vispirms Deikina-Vesta sintēzē savienojumu **85** pārvērtām par β -arilketonu **142**¹¹⁰, no kura tālākā bromēšanas reakcijā ieguvām bromketonu **143**.¹¹¹ Nomainot ketonā broma atomu ar NaN₃ palīdzību pret azidogrupu, ieguvām azidoketonu **144a** (4.15. att.).



4.15. attēls. 2-Aminooksazola **148** iegūšana

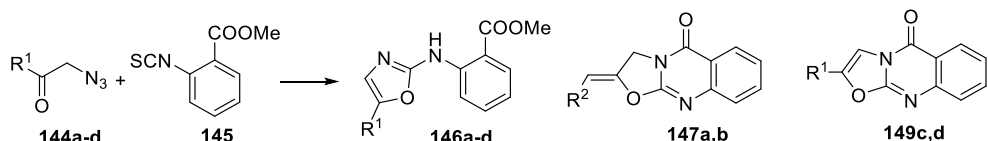
Reāgenti un apstākļi: (a) Ac_2O , *N*-metilimidazols, rt, 16 h; (b) *i* Br_2 , 48% HBr , AcOH , rt, 5 h; *ii* acetons, rt, 16 h; (c) NaN_3 , MeOH , rt, 2 h; (d) **145**, PPh_3 , dioksāns, 80°C , 2 h; (e) K_2CO_3 dioksāns, 80°C , 7 d

Konstatējām, ka azīda **144a** un izotiocianāta **145** reakcijā trifenilfosfīna klātienē pēc *Dhar* protokola¹¹² izveidojās triciklisks metanola eliminēšanās produkts ar eksociklisku Z-divkāršo saiti **147a**, kura struktūra tika pierādīta, izmantojot rentgenstruktūralīzi (4.16. att.). Interesanti, ka savienojuma **147a** *E*-izomēra klātbūtnē reakcijas maisījumā netika konstatēta. Veicot reakciju 0°C vai istabas temperatūrā, kā arī nomainot trifenilfosfīnu pret aktīvāko tri-*n*-butilfosfīnu, savienojuma **147a** iznākumi samazinājās, bet vēlamā aminoooksazola **146a** klātbūtni reakcijas maisījumā novērojām tikai AEŠH-MS analīzē. Ilgstoši sildot savienojumu **147a** K_2CO_3 klātienē, tas pārvērtās par endociklisku dubultsaiti saturošu oksazolohinozalinonu **149a** (93 % konversija 7 dienās).



4.16. attēls. Savienojuma **147a** rentgenstruktūra

Literatūrā nav aprakstīti tricikliskā savienojuma **147a** analogi, bet ir zināms, ka piemēram, iegūstot 2-arylaminooksazolus pallādijs katalizētā C-N saites veidošanas reakcijā starp 2-aminoooksazolu un 2-hlorbenzoskābes metilesteri, veidojas līdzīgs triciklisks kondensācijas produkts.¹¹³ Mēs veicām vairāku β -azidoketonu **144a-d** reakcijas ar izotiocianātu **145** (4.17. att., 4.1. tabula) un noskaidrojām, ka tricikliskais produkts **147** ar eksociklisko dubultsaiti veidojās tikai gadījumā, kad izejvielā **144 R**¹ ir benzil aizvietotājs (1. un 2. rinda), bez tam nelielos daudzumos reakcijā veidojās arī nepieciešamais oksazols **146**. No β -azidoketoniem, kur R^1 ir Me (**144c**) vai CH_2COOEt (**144d**), ieguvām tikai attiecīgos aminoooksazolus **146c,d** (3. un 4. rinda). 4.18. attēlā ir parādīts iespējamais savienojuma **147** veidošanās mehānisms. β -Ketokarbodiimīda **B** ketogrupai abās pusēs ir protoni, un, ja notiek protona atraušana no benziltipa oglēkļa atoma, veidojas produkts ar garāku konjugēto sistēmu, kā arī kļūst iespējama metanola eliminēšanās, kas varētu būt procesa virzošais spēks.



4.17. attēls. Azīdu un izotiocianātu reakcijas izpēte

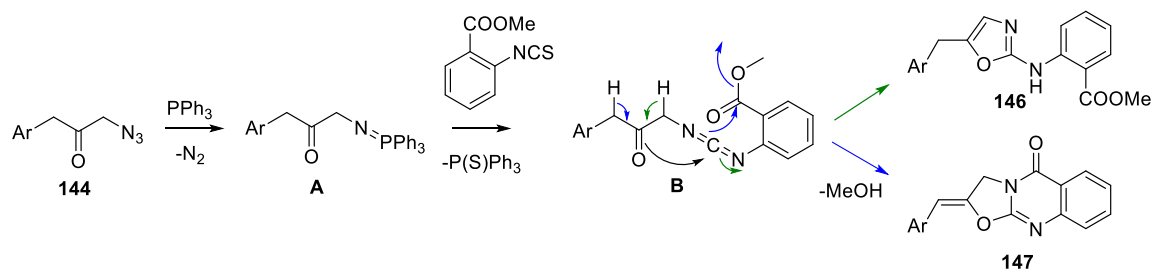
4.1. tabula

Azīdu **144a-d** un izotiocianāta **145** reakcijas izpēte

N.p.k.	Izejviela	R ¹	Metode	Produkts	Iznākums, %
1.	144a		PPh ₃ , dioksāns, 80 °C, 2 h	146a^a 147a (R ² = 4-BrC ₆ H ₄)	— 56
2.	144b		PPh ₃ , dioksāns, 80 °C, 2 h	146b 147b (R ² = 4-MeC ₆ H ₄)	17 41
3.	144c	-Me	PPh ₃ , dioksāns, 80 °C, 2 h	146c	53
4.	144d	-CH ₂ COOEt	PPh ₃ , dioksāns, 80 °C, 2 h	146d	44
5.	144c	-Me	PPh ₃ , dioksāns, 80 °C, 2 h; tad K ₂ CO ₃ , 80 °C, 1 h	149c	76
6.	144d	-CH ₂ COOEt	PPh ₃ , dioksāns, 80 °C, 2 h; tad K ₂ CO ₃ , 80 °C, 1 h	149d	40

a **146a** ir novērots AEŠH-MS analīzē (~5 %)

K₂CO₃ klātienē ir iespējams veikt aminoaksazolu ciklokondensāciju un iegūt oksazolohinozalinonus. Veicot aminoaksazolu sintēzi ar tai sekojošu ciklizāciju viena poda reakcijā, azidoketonu **144c,d** reakcijā ar izotiocianātu **145** ieguvām produktus **149c,d** (5. un 6. rinda). Secinājām, ka izmantojot 4.15. attēlā redzamo shēmu, mērķsavienojuma **148** sintēze varētu būt problemātiska, ja ciklokondensācijas reakcija bāziskajā vidē struktūrai **146a** notikuši ātrāk kā Suzuki reakcija vai tālākā hidrolīze.



4.18. attēls. Iespējamais savienojumu **147** veidošanās mehānisms

Secinājām, ka fenilgrupas *o*-pozīcijā esošais esteris nav stabils kombinācijā ar *N*-fenil-2-amino-1,3-oksazolu un bāzisku vidi. Iespējams, ka šāda veida struktūras varētu būt nestabilas arī fizioloģiskā vidē, tāpēc tālākus pētījumus par šādu savienojumu iegūšanu neturpinājām.

4.2. Struktūras-aktivitātes likumsakarības

Iz zināms, ka HCA2 ligandos cikloheksēnkarbonskābi var aizvietot ar antranilskābi, kas parasti gan nedaudz samazina aktivitāti, kaut arī dažos gadījumos aktivitātes izmaiņas ir nenozīmīgas. Līdz šim visi mūsu aprakstītie HCA2 ligandi satur cikloheksēnkarbonskābi, taču

to ir relatīvi grūtāk ķīmiski modificēt nekā antranilskābi. Tāpēc lielākā daļā potenciālo ligandu karbonskābes daļas un amīda grupas modificēšanas eksperimentu mēs izvēlējāmies sintezēt mērķsavienojumus, kuros cikloheksēnkarbonkskābes daļas vietā ir antranilskābe. Iegūto savienojumu aktivitāšu novērtēšanai mēs sintezējām arī cikloheksēnkarbonskābes atvasinājuma **73d** antranilskābes analogu **100a**. Antranilskābes atvasinājuma **100a** aktivitāte gan samazinājās 15 reizes (EC_{50} 2,84 μM , 4.2. tabula, 2. rinda) un afinitāte 4 reizes, tomēr šo savienojumu ir ērti izmanot kā references vielu aktivitātes salīdzināšanai, veicot tālāku struktūras modificēšanu.

4.2. tabula

HCA2 ligandu karbonskābju daļas modifikāciju bioloģiskās aktivitātes dati

N.p.k.	Savienojums	Struktūra	cAMP $EC_{50} \pm SD, \mu\text{M}^a$	RLB $IC_{50} \pm SD, \mu\text{M}^a$
1.	73d		$0,19 \pm 0,08$	$0,056 \pm 0,017$
2.	100a		$2,84 \pm 1,24$	$0,23 \pm 0,04$
3.	100b		NA	
4.	100c		NA	
5.	100d		$32,7 \pm 15,5$	
6.	100e		NA	
7.	100f		$25,9 \pm 9,3$	$16,4 \pm 5,5$
8.	100g		$3,40 \pm 4,50$	

a aprēķināts no vismaz 3 eksperimentiem

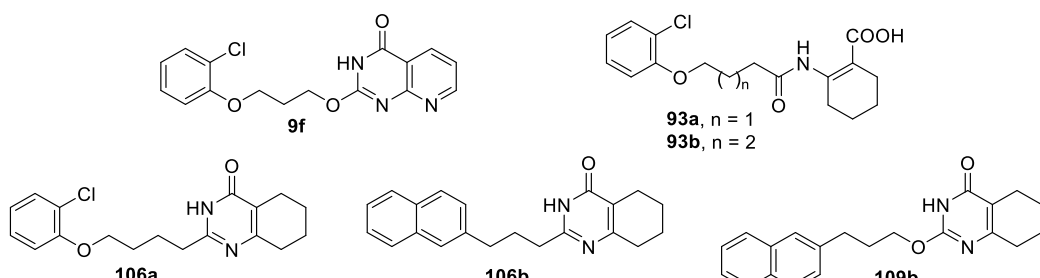
NA – nav aktīva 50 μM koncentrācijā

Mēs ieguvām savienojuma **100a** analogus **100b,c**, kuros ir nomainīta karbonskābes pozīcija bednzola gredzenā. Noskaidrojām, ka savienojumiem **100b,c**, kuros karbonskābes grupa atrodas attiecīgi meta un para pozīcijā pret acilamīda grupu, nav HCA2 aktivēšanas īpašību. Aizvietojot savienojuma **100a** orto karbonskābes grupu ar fluora atomu, kura

elektronegativitātes dēļ tas arī varētu uzvesties kā ūdeņraža saites akceptor, ieguvām savienojumu **100e**, kurš arī nav aktīvs.

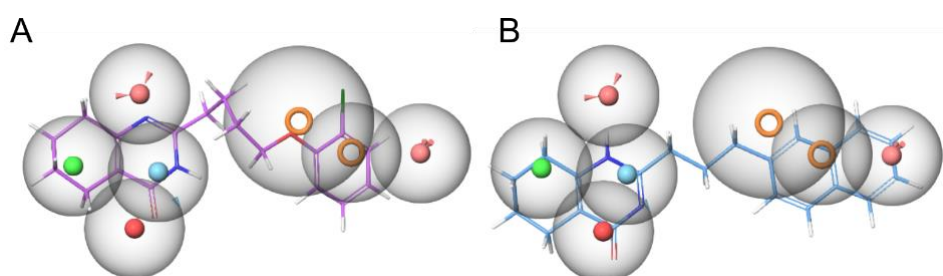
Nikotīnskābe ir plaši zināms HCA2 ligands, tāpēc mēs ieguvām HCA2 liganda **100a** analogu **100d**, kurā antranilskābe ir nomainīta pret nikotīnskābi, taču šī modifikācija izradījās neveiksmīga, jo savienojuma aktivitātes samazinājās 12 reizes (4.2. tabula, 5. rinda).

Tālāk mēs ieguvām savienojuma **100a** analogus, kuros karbonskābe ir aizvietota ar to iespējamiem bioizstēriem – tetrazolu **100f** un fosforskābi **100g**. Tetrazolu saturoša savienojuma **100f** aktivitāte samazinājās 9 reizes. Fosfonāta **100g** modifikācija izrādījās veiksmīgāka, jo iegūtā savienojuma EC₅₀ ir 3,40 μM, un tā ir salīdzināma ar references savienojuma aktivitāti. Gan tetrazola grupa, gan fosforskābes grupa ir telpiski lielākas par karbonskābi, un jauno savienojumu virsmas laukumi ir praktiski vienādi. Tetrazols ir plakans un farmakoforajā modelī iespiežas izslēgtajā telpā. Savukārt, fosforskābe nav plakana un datormodelēšanā tā atdarina karbonskābes grupu un atbilst izstrādātajam farmakoforajam modelim.



4.19. att. Tetrahidrohinazolīn-4(3*H*)-onu saturošie HCA2 ligandu analogi

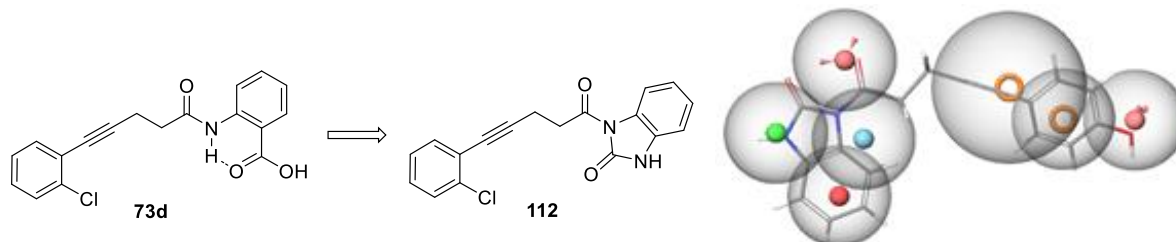
Uz struktūru **9f**, **93a,b** pamata mēs ieguvām tetrahidrohinazolīn-4(3*H*)-onu saturošu savienojumu sēriju (4.19. att.). Nemot vērā piridopirimidonu atbilstību cikloheksēnkarbonskābi saturošo HCA2 ligandu farmakoforajam modelim, mēs pieņemām, ka tetrahidrohinazolīn-4(3*H*)-ons varētu būt cikloheksēnkarbonskābes bioizstērs. Šajā gadījumā liganda hidrofobajā daļā ir *o*-hlorobenzols (**106a**) vai naftalīns (**106b**, **109b**). Diemžēl, neviens no sintezētajiem savienojumiem neuzrāda HCA2 aktivēšanas efektu. Datormodelēšanā savienojumi **106a** un **106b** atbilst modelim, bet abām struktūrām trūkst ūdeņraža saites akceptora farmakoforā elementa karbonskābes daļā un hidrofobā daļā (4.20. att.).



4.20. attēls. Savienojumu **106a** un **106b** atbilstība farmakoforajam modelim
A – **106a**; B – **106b**

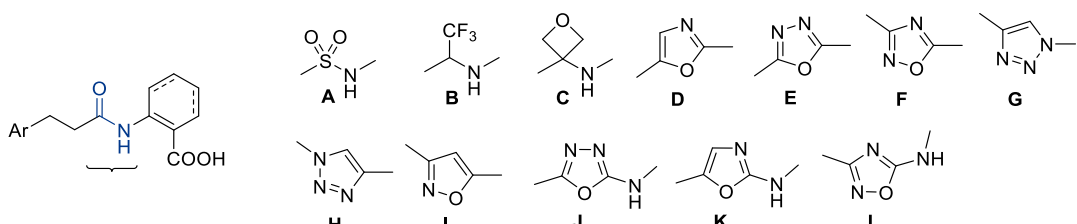
Iepriekš apskatītajā piridopirimidona **9a** dokinga HCA2 modelī savienojuma karbonilgrupa miejiedarbojas ar Ser178, bet antranilāta **1** modelī saistību ar Ser178 veido amīda grupas karbonilgrupa. Savukārt, saistību ar Arg111 veido piridopirimidona slāpeklā atomi, bet antranilātam **1** – karboksilāta grupa (1.2. att., 13. lpp).^{34,62} Mūsu izveidotajā farmakoforajā modelī tetrahidrohinazolīn-4(3H)-ons ir apgriezts otrādi, jo negatīvi lādētā elementa jeb karboksilāta vietā atrodas tetrahidrohinazolinona karbonilgrupa. Pilnīgs aktivitātes zudums norāda, ka tetrahidrohinazolīn-4(3H)-ons nav cikloheksēnkarbonskābes bioizostērs, kā arī to, ka piridopirimidonu nevar aizvietot ar tetrahidrohinazolīn-4(3H)-onu.

Zināms, ka antranilskābju atvasinājumu iekšmolekulāro ūdeņraža saiti ir iespējams aizvietot ar urīnvielu saturošu ciklu.^{114,115} Mēs ieguvām liganda **73d** analogu benzoimidazolona atvasinājumu **112**, kurš izrādījās neaktīvs. Kaut arī struktūra **112** ir neliela un labi iederas liganda farmakoforajā modelī, tomēr negatīvi lādētā karbonskābes elementa vietā struktūrai **112** atrodas aromātiskais cikls un izveidotajam mērķsavienojumam trūkst elektronu donora elementa (4.21. att.).



4.21. attēls. Benzoimidazolonu saturošs HCA2 liganda **73d** analogs **112**

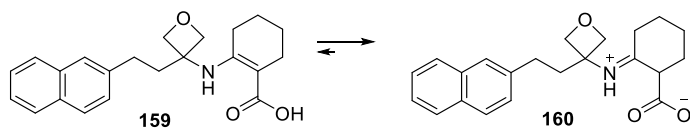
Iegūto savienojumu **100b,c,e**, **106a,b**, **109b** un **112** bioloģiskās aktivitātes trūkums norāda uz karbonskābes grupas nepieciešamību 2-pozīcijā, ka tas ir, piemēram, antranilskābei. Apjomīgākā tetrazola **100f** aktivitātes samazināšanās varētu norādīt uz iespējamu telpas trūkumu receptora kabatā liganda karbonskābes daļas un receptora mijiedarbības vietā. Farmakoforajā modelī šajā vietā atrodas negatīvi lādēts elements vai ūdeņraža saites akceptors. Fosforskābe **100g** un tetrazols **100f**, kuri uzrāda aktivitāti uz HCA2, bioloģiskajās vidēs var būt deprotonēti, tāpēc tie var būt negatīvi lādēti farmakofori. Secinājām, ka korektāk ir izmantot skrīninga metodi bez negatīvi lādēta elementa pielīdzināšanas akceptoram.



4.22. attēls. Iespējamie amīda grupas bioizostēri

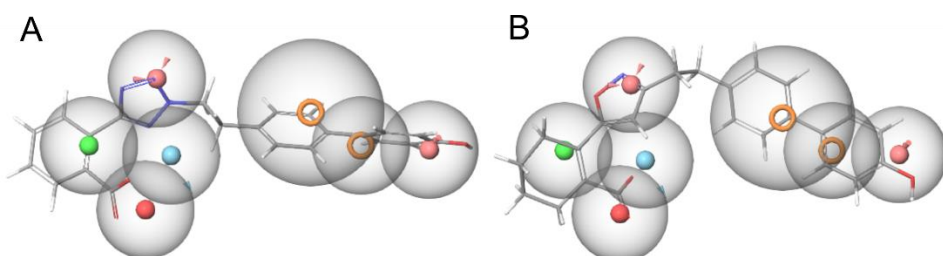
Nākamais solis HCA2 ligandu modificēšanā bija amīda saites nomaiņa uz iespējamiem bioizostēriem. Amīdu aizvieto ar sulfonamīdu, tioamīdu, trifluoretilamīnu, oksetānamīnu, dažādiem heterocikliem utt.^{116–118} Mēs apsvērām dažādu savienojumu sintēzes iespējas (4.22. att.). Vispirms mēs novērtējām HCA2 ligandu **18a** un **79c** analogus ar iespējamām bioizostērām grupām A–L amīda saites vietā, izmantojot datormodelēšanu. Izveidojot

iespējamo struktūru konformērus, noskaidrojām, ka cikloheksēnkarbonskābi saturošie trifluoretilamīna B un oksetāna C atvasinājumi pie pH $7,0 \pm 0,5$ ir betaīni, piemēru var redzēt 4.23. attēlā. Šāda veida savienojumi ir β -aminoskābes, betaīna formā parādās hirālais centrs, līdz ar to līdzīgu savienojumu sintēzes iespējas mēs neapsvērām.



4.23. attēls. Oksetānamīnu saturoša savienojuma betaīns

Skrīningā, izmantojot metodi bez izslēgtām telpām, visām struktūrām ir atrastas konformācijas, kuras atbilst farmakoforajam modelim, bet tikai sulfonamīds A, aminooksadiazoli J, L un aminooksazols K atveido amīda grupas abus farmakoforos elementus, pārējām grupām trūkst ūdeņraža saites donorā elementa. Oksadiazolu E un F, triazolu G un H un izoksazola I atvasinājumiem heterocikls aprēķinātos modeļos uzvedās kā ūdeņraža saites akceptors. Savienojumu **141b,c** konformēru atbilstība farmakoforajam modelim ir parādīta 4.24. attēlā, un šo struktūru novietojums ir līdzīgs augstās afinitātes HCA2 liganda **79c** konformācijai (3.16. att.)



4.24. attēls. Savienojumu **141b,c** atbilstība farmakoforajam modelim
A – **141b**; B – **141c**

Visi 4.22. attēlā uzzīmētie amīda saites iespējamie bioizostēri ir telpiski lielāki par amīda funkciju, tāpēc, iespējams, sakrīt ar izslēgtām telpām un neatbilst farmakoforajam modelim. Bet nav zināms, cik liela telpa receptorā ir pieejama ligandam vietā, kur atrodas amīda saite. Diemžēl, mums nav izdevies iegūt sulfonamīdu vai heterociklisku amīnu saturošus savienojumus. Neviens no sintezētajiem heterociklus saturošajiem savienojumiem **141a-g** (4.13. att. 66. lpp) neuzrādīja HCA2 aktivēšanas īpašības. Pēc iegūtajiem rezultātiem var secināt, ka amīda saite HCA2 ligandos kalpo ne tikai kā struktūras savienošanas fragments, bet tā piedalās mijiedarbībā ar receptoru. Salīdzinot jaunās, heterociklus saturošās struktūras ar savienojuma **79c** struktūru un farmakoforo modeli, redzams, ka aktivitātes trūkuma iespējamie iemesli varētu būt arī jauno struktūru kopējais garums, heterocikla telpiskais izmērs un farmakoforā donora elementa trūkums.

5. EKSPERIMENTĀLĀ DAĻA

5.1. Vispārējas metodes

^1H -KMR un ^{13}C -KMR spektri ir uzņemti ar VARIAN 400 MHz vai BRUKER 300 MHz spektrometriem, references signāls – šķīdinātājs (CDCl_3 7,26 ppm, $\text{DMSO}-d_6$ 2,50 ppm). AEŠH-MS analīzes veiktas ar *Waters Acquity AEŠH* iekārtu, kolonna *Acquity UPLC BEH C18* (1,7 μm , $2,1 \times 50$ mm), kustīgā fāze 10–95 % MeCN gradients 0,01 % HCOOH šķīdumā. GH-MS uzņemti, izmantojot *Agilent 5975C* sērijas gāzu hromatogrāfu, kolonna *Agilent Technologies* (30 m \times 0,250 mm). Elementanalīze veikta ar *Carlo Erba EA 1108* iekārtu. Infrasarkanie spektri uzņemti ar *Shimadzu FTIR IR Prestige-21* spektrometru. AIMS uzņemti ar *Q-TOF Micro* augstas izšķirtspējas massspektrometru.

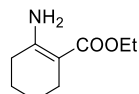
Plānslāņa hromatogrāfijai lietotas Silica gel F254 (*Merck*) sorbenta plāksnes. Produktu detektēšanai izmantota UV (254 un 366 nm) lampa vai KMnO_4 šķīdums. Kolonnu hromatogrāfijai izmantots silikagels *Silicagel 60* 0,035–0,070 mm (*Merck*) vai *Biotage SNAP* kolonnas. Apgrieztās fāzes kolonnu hromatogrāfijā izmantots *Biotage Isolera One* šķidrumu hromatogrāfs ar kolonnu KP-C18-SH. Rentgenstruktūralīze veikta ar *Nonius KappaCCD* difraktometru.

Reāgenti iegādāti no *Acros*, *AlfaAesar*, *Apollo Scientific*, *Enamine*, *Fluorochem* un *TCI Europe* izplatītājiem. Sausie šķīdinātāji pagatavoti, izmantojot *MB-SPS MBraun* šķīdinātāju attīrīšanas iekārtu ar Al_2O_3 žāvēšanas kolonnām.

Literatūrā aprakstītajiem savienojumiem ir dotas atsauces uz literatūru un uzrādīti tikai to ^1H -KMR spektri.

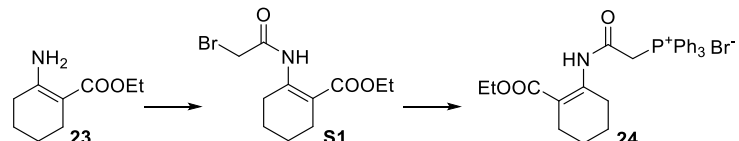
5.2. Eksperimentu apraksti

2-Amino-cikloheks-1-ēn-1-karbonskābes etilesteris (23)¹¹⁹



2-Okso-cikloheksān-1-karbonskābes etilesterā (22) (4,0 ml, 25,0 mmol) šķīdumam MeOH (40 ml) pievieno amonija acetātu (4,81 g, 62,5 mmol) un maisa istabas temperatūrā 18 stundas. Reakcijas maisījumu ietvaicē, atšķaida ar EtOAc (30 ml), mazgā ar ūdeni divas reizes, žāvē virs Na_2SO_4 un ietvaicē. Atlikumu apstrādā ar petrolēteri (3 ml), nogulsnesnofiltrē, mazgā ar petrolēteri un žāvē. Iegūst 3,02 g (71 %) produkta 23. ^1H -KMR (300 MHz, CDCl_3) δ 6.00 (b s, 2H), 4.14 (q, $J = 7.1$ Hz, 2H), 2.27 – 2.08 (m, 4H), 1.76 – 1.53 (m, 4H), 1.27 (t, $J = 7.1$ Hz, 3H).

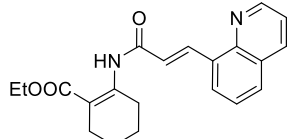
(2-((2-Etoksikarbonil)cikloheks-1-ēn-1-il)amino)-2-oksoetil)trifenilfosfonija bromīds (24)



2-(2-Bromacetamido)cikloheks-1-ēn-1-karbonskābes etilesteris (S1). 2-Amino-cikloheks-1-ēn-1-karbonskābes etilesterā (23) (3,33 g, 19,7 mmol) un piridīna (2,33 g, 29,5 mmol)

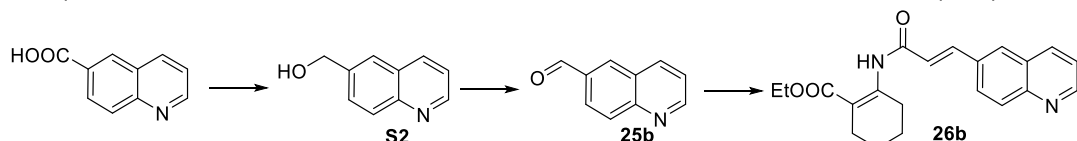
šķīdumam THF (50 ml) 1 stundas laikā -5 °C temperatūrā pievieno 2-bromoacetil bromīdu (3,93 g, 19,5 mmol) un maisa 45 min. Reakcijas maisījumu atšķaida ar EtOAc (50 ml) un pies. NaHCO₃ (50 ml), ūdens slāni ekstrahē ar EtOAc trīs reizes. Organiskus slāņus apvieno, mazgā secīgi ar pies. NaHCO₃ šķīdumu, ūdeni, pies. NaCl šķīdumu un žāvē virs Na₂SO₄, tad ietvaicē. Atlikumu izšķīdina EtOAc (50 ml), nogulsnesnofiltrē un filtrātu ietvaicē. Iegūst 5,00 g (88 %) produkta **S1**. Brūna eļļa. ¹H-KMR (400 MHz, CDCl₃) δ 12.08 (s, 1H), 4.21 (q, J = 7.1 Hz, 2H), 3.86 (s, 2H), 2.90 – 2.96 (m, 2H), 2.30 – 2.36 (m, 2H), 1.55 – 1.68 (m, 4H), 1.30 (t, J = 7.1 Hz, 3H), GH-MS m/z: 289.0 M⁺. (2-((2-Etoksikarbonil)cikloheks-1-ēn-1-il)amino)-2-oksoetil trifenilfosfonija bromīds (**24**). Bromīda **S1** (4,99 g, 17,2 mmol) un trifenilfosfīna (4,52 g, 17,2 mmol) šķīdumu benzolā (35 ml) vāra 3 stundas. Reakcijas maisījumu atdzesē līdz istabas temperatūrai, izveidojušās nogulsnesnofiltrē un žāvē virs P₂O₅ vakuumā. Iegūst 8,20 g (86 %) produkta **24**, balta cieta viela. ¹H-KMR (400 MHz, CDCl₃) δ 11.09 (s, 1H), 7.82 – 7.91 (m, 6H), 7.71 – 7.78 (m, 3H), 7.60 – 7.68 (m, 6H), 5.44 (d, J = 13.7 Hz, 2H), 4.10 (q, J = 7.1 Hz, 2H), 2.39 – 2.46 (m, 2H), 2.25 – 2.31 (m, 2H), 1.49 – 1.57 (m, 4H), 1.21 (t, J = 7.1 Hz, 3H). ¹³C-KMR (100 MHz, CDCl₃) δ 168.4, 161.0 (d, J_{CP} = 4.2 Hz), 143.9, 134.8 (d, J_{CP} = 2.9 Hz), 134.1 (d, J_{CP} = 10.5 Hz), 130.1 (d, J_{CP} = 13.1 Hz), 118.5 (d, J_{CP} = 89.0 Hz), 114.1, 60.4, 34.8 (d, J_{CP} = 59.3 Hz), 28.8, 24.9, 21.6, 21.5. AEŠH-MS (ESI) m/z: 473.2 [M-Br]⁻. Elementanalīze: aprēķināts C₂₉H₃₁BrNO₃P: C 63.05, H 5.66, N 2.54; atrasts: C 62.90, H 6.01, N 2.27.

(E)-2-(3-(Hinolīn-8-il)akrilamido)cikloheks-1-ēnkarbonskābes etilesteris (**26a**)



Fosfonija sāls **24** (0,60 g, 1,09 mmol) šķīdumam DMSO (5 ml) pievieno tBuOK (0,12 g, 1,07 mmol) un maisa 5 min., tad maisījumam pievieno hinolīn-8-karbaldehīdu (**25a**) (0,15 g, 0,95 mmol) un maisa istabas temperatūrā 1,5 stundu. Reakcijas maisījumu atšķaida ar ūdeni un ekstrahē ar EtOAc, ekstraktu mazgā ar ūdeni, pies. NaCl šķīdumu, žāvē virs Na₂SO₄ un ietvaicē. Atlikumu hromatografē uz silikagela (EtOAc-PE, 1:4-1:3). Iegūst 0,23 g (69 %) produkta **26a**, balta cieta viela. ¹H-KMR (400 MHz, CDCl₃) δ 11.95 (s, 1H), 8.98 (dd, J = 1.8, 4.2 Hz, 1H), 8.83 (d, J = 15.9 Hz, 1H), 8.15 (dd, J = 1.8, 8.3 Hz, 1H), 7.98 (ddd, J = 0.5, 1.3, 7.3 Hz, 1H), 7.83 (dd, J = 1.3, 8.2 Hz, 1H), 7.54 (t, J = 7.7 Hz, 1H), 7.44 (dd, J = 4.2, 8.3 Hz, 1H), 6.94 (d, J = 15.9 Hz, 1H), 4.21 (q, J = 7.1 Hz, 2H), 3.10 – 3.15 (m, 2H) 2.33 – 2.38 (m, 2H), 1.58 – 1.71 (m, 4H), 1.32 (t, J = 7.1 Hz, 3H). ¹³C-KMR (100 MHz, CDCl₃) δ 170.2, 164.5, 152.9, 150.3, 146.5, 138.9, 136.3, 133.6, 129.8, 128.6, 128.3, 126.3, 125.1, 121.6, 104.9, 60.4, 28.9, 24.5, 22.1, 21.9, 14.4. AEŠH-MS (ESI) m/z: 351.3 [M+H]⁺.

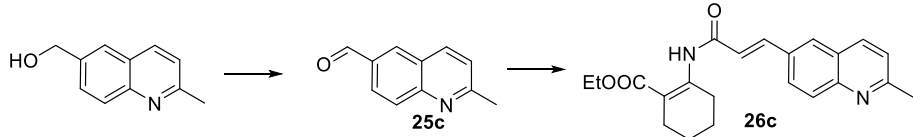
(E)-2-(3-(Hinolīn-6-il)akrilamido)cikloheks-1-ēnkarbonskābes etilesteris (**26b**)



Hinolīn-6-il-metanol (**S2**).⁸² Hinolīn-6-karbonskābes (0,45 g, 2,60 mmol) šķīdumu THF (6 ml) piepilina 10 min. laikā LiAlH₄ (0,30 g, 7,89 mmol) suspensijai THF (15 ml) argona atmosfērā, dzesējot ledus vannā, un maisa istabas temperatūrā 2 stundas. Reakcijas maisījumu atdzesē ledus vannā, atšķaida ar THF un piepilina 10 % NaOH līdz vairs neizdalās gāze, tad

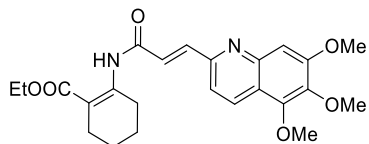
maisa 30 min., maisījumunofiltrē caur celītu unfiltrātu ietvaicē. Atlikumu hromatografē uz silikagela (*Biotage*, EtOAc-PE, 25-100 %), iegūst 0,36 g (72 %) produkta **S2**. ¹H-KMR (400 MHz, CDCl₃) δ 8.89 (dd, *J* = 4.2, 1.4 Hz, 1H), 8.14 (dd, *J* = 8.3, 1.4 Hz, 2H), 8.09 (d, *J* = 8.7 Hz, 1H), 7.81 (s, 1H), 7.70 (dd, *J* = 8.7, 2.0 Hz, 1H), 7.40 (dd, *J* = 8.3, 4.2 Hz, 1H), 4.91 (s, 2H), 2.28 (s, 1H). *Hinolīn-6-il-karbaldehīds (25b)*.⁸² Spīra **S2** (0,35 g, 2,20 mmol) šķīdumam DCM (4 ml), dzesējot ledus vannā piepilina Dessa-Martina perjodināna 15 % šķīdumu DCM (5,7 ml, 2,20 mmol) un maisa 1 stundu istabas temperatūrā. Reakcijas maisījumu atšķaida ar DCM, pievieno 10 % Na₂S₂O₅ šķīdumu (10 ml) un maisa 10 min., tad organisko slāni atdala, mazgā ar pies. NaHCO₃ šķīdumu, pies. NaCl šķīdumu, žāvē virs Na₂SO₄ un ietvaicē. Atlikumu hromatografē uz silikagela (EtOAc-PE, 1:2-1:1), iegūst 0,20 g (57 %) produkta **25b**. ¹H-KMR (400 MHz, CDCl₃) δ 10.21 (d, *J* = 0.5 Hz, 1H), 9.06 (dd, *J* = 4.2, 1.7 Hz, 1H), 8.36 (d, *J* = 1.6 Hz, 1H), 8.34 (dd, *J* = 8.3, 1.7 Hz, 1H), 8.25 – 8.22 (dd, *J* = 8.7, 0.5 Hz, 1H), 8.20 (dd, *J* = 8.7, 1.6 Hz, 1H), 7.53 (dd, *J* = 8.3, 4.2 Hz, 1H). (*E*)-2-(3-(*Hinolīn-6-il*)akrilamido)cikloheks-1-ēnkarbonskābes etilesteris (**26b**). **26b** iegūst no aldehīda **25b** (0,19 g, 1,20 mmol), fosfonija sāls **24** (0,80 g, 1,45 mmol) un *t*BuOK (0,16 g, 1,43 mmol), izmantojot alkēna **26a** iegūšanas metodi. Iegūst 0,29 g (68 %) produkta **26b**, balta cieta viela. ¹H-KMR (400 MHz, CDCl₃) δ 12.00 (s, 1H), 8.91 (dd, *J* = 1.6, 4.3 Hz, 1H), 8.17 (dd, *J* = 1.6, 8.3 Hz, 1H), 8.08 (d, *J* = 9.3 Hz, 1H), 7.92 (dd, *J* = 1.9, 9.3 Hz, 1H), 7.92 (d, *J* = 1.9 Hz, 1H), 7.80 (d, *J* = 15.5 Hz, 1H), 7.42 (dd, *J* = 4.3, 8.3 Hz, 1H), 6.65 (d, *J* = 15.5 Hz, 1H), 4.22 (q, *J* = 7.1 Hz, 2H), 3.08 – 3.13 (m, 2H), 2.33 – 2.39 (m, 2H), 1.59 – 1.71 (m, 4H), 1.33 (t, *J* = 7.1 Hz, 3H). AEŠH-MS (ESI) *m/z*: 351.2 [M+H]⁺.

(E)-2-(3-(2-Metilhinolīn-6-il)akrilamido)cikloheks-1-ēnkarbonskābes etilesteris (26c)



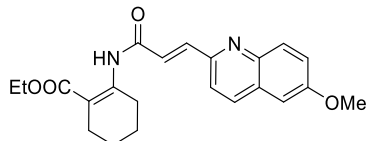
(2-Metilhinolīn-6-il)karbaldehīds (25c).¹²⁰ (2-Metilhinolīn-6-il)metanola (0,25 g, 1,44 mmol) šķīdumam DCM (2 ml) un THF (1 ml) maisījumā, dzesējot ledus vannā, piepilina Dessa-Martin perjodināna 15 % šķīdumu DCM (4,8 ml, 1,88 mmol) un maisa 30 min. istabas temperatūrā. Reakcijas maisījumu atšķaida ar DCM, maisa 10 min. ar 10 % Na₂S₂O₅ šķīdumu (10 ml), tad organisko slāni atdala, mazgā ar pies. NaCl šķīdumu, žāvē virs Na₂SO₄ un ietvaicē. Atlikumu hromatografē uz silikagela (EtOAc-PE, 1:1), iegūst 0,20 g (80 %) produkta **25c**. ¹H-KMR (400 MHz, CDCl₃) δ 10.18 (d, *J* = 0.6 Hz, 1H), 8.30 (d, *J* = 1.8 Hz, 1H), 8.20 (d, *J* = 8.4 Hz, 1H), 8.17 (dd, *J* = 8.7, 1.8 Hz, 1H), 8.11 (dd, *J* = 8.7, 0.6 Hz, 1H), 7.40 (d, *J* = 8.4 Hz, 1H), 2.80 (s, 3H). (*E*)-2-(3-(2-Metilhinolīn-6-il)akrilamido)cikloheks-1-ēnkarbonskābes etilesteris (**26c**). **26c** iegūst no aldehīda **25c** (0,15 g, 0,88 mmol), fosfonija sāls **24** (0,56 g, 1,01 mmol) un *t*BuOK (0,11 g, 0,90 mmol), izmantojot alkēna **26a** iegūšanas metodi. Iegūst 0,22 g (69 %) produkta **26c**, balta cieta viela. ¹H-KMR (400 MHz, CDCl₃) δ 11.99 (s, 1H), 8.05 (d, *J* = 8.4 Hz, 1H), 7.99 (d, *J* = 9.0 Hz, 1H), 7.89 (dd, *J* = 2.0, 9.0 Hz, 1H), 7.88 (s, 1H), 7.79 (d, *J* = 15.5 Hz, 1H), 7.31 (d, *J* = 8.4 Hz, 1H), 6.62 (d, *J* = 15.5 Hz, 1H), 4.22 (q, *J* = 7.1 Hz, 2H), 3.08 – 3.13 (m, 2H), 2.74 (s, 3H), 2.33 – 2.39 (m, 2H), 1.59 – 1.72 (m, 4H), 1.32 (t, *J* = 7.1 Hz, 3H). ¹³C KMR (100 MHz, CDCl₃) δ 170.3, 164.0, 160.2, 152.7, 148.7, 141.7, 136.6, 132.2, 129.5, 128.8, 127.8, 126.6, 123.1, 122.8, 105.3, 60.5, 28.8, 25.6, 24.5, 22.1, 21.9, 14.4. AEŠH-MS (ESI) *m/z*: 365.3 [M+H]⁺.

(E)-2-(3-(5,6,7-Trimetoksilsilhinolīn-2-il)akrilamido)cikloheks-1-ēnkarbonskābes etilesteris (26d)



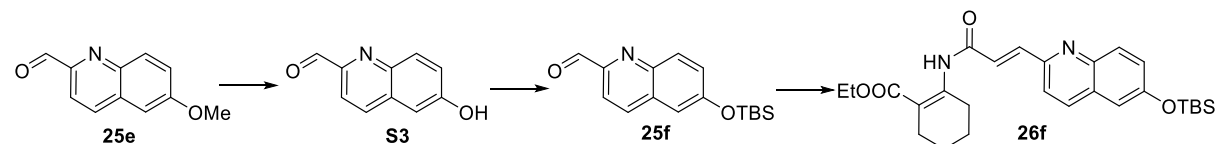
26d iegūst no aldehīda **25d** (0,10 g, 0,40 mmol), fosfonija sāls **24** (0,27 g, 0,48 mmol) un *t*BuOK (54 mg, 0,48 mmol), izmantojot alkēna **26a** iegūšanas metodi. Iegūst 58 mg (33 %) produkta **26d**, dzeltena cieta viela. ¹H-KMR (400 MHz, CDCl₃) δ 12.01 (s, 1H) 8.34 (d, *J* = 8.5 Hz, 1H), 7.78 (d, *J* = 15.5 Hz, 1H), 7.44 (d, *J* = 8.5 Hz, 1H), 7.26 (s, 1H), 7.15 (d, *J* = 15.5 Hz, 1H), 4.22 (q, *J* = 7.1 Hz, 2H), 4.05 (s, 3H), 4.03 (s, 3H), 3.99 (s, 3H), 3.09 – 3.14 (m, 2H), 2.33 – 2.39 (m, 2H), 1.58 – 1.71 (m, 4H), 1.32 (t, *J* = 7.1 Hz, 3H). ¹³C-KMR (100 MHz, CDCl₃) δ 170.2, 163.8, 156.5, 152.7, 152.5, 146.8, 146.2, 141.8, 141.5, 131.0, 127.1, 119.5, 119.2, 105.5, 104.5, 61.7, 61.4, 60.5, 56.3, 28.8, 24.5, 22.0, 21.8, 14.4. AEŠH-MS (ESI) *m/z*: 441.4 [M+H]⁺.

(E)-2-(3-(6-Metoksilsilhinolīn-2-il)akrilamido)cikloheks-1-ēnkarbonskābes etilesteris (26e)



26e iegūst no aldehīda **25e** (0,16 g, 0,85 mmol), fosfonija sāls **24** (0,56 g, 1,01 mmol) un *t*BuOK (0,11 g, 0,98 mmol), izmantojot alkēna **26a** iegūšanas metodi. Iegūst 0,13 g (40 %) produkta **26e**, dzeltena cieta viela. ¹H-KMR (400 MHz, CDCl₃) δ 12.01 (s, 1H), 8.05 (d, *J* = 8.5 Hz, 1H), 8.01 (d, *J* = 9.2 Hz, 1H), 7.81 (d, *J* = 15.4 Hz, 1H), 7.55 (d, *J* = 8.5 Hz, 1H), 7.39 (dd, *J* = 2.8, 9.2 Hz, 1H), 7.12 (d, *J* = 15.4 Hz, 1H), 7.06 (d, *J* = 2.8 Hz, 1H), 4.23 (q, *J* = 7.1 Hz, 2H), 3.95 (s, 3H), 3.12 (t, *J* = 6.2 Hz, 2H), 2.37 (t, *J* = 6.2 Hz, 2H), 1.73 – 1.59 (m, 4H), 1.33 (t, *J* = 7.1 Hz, 3H). AEŠH-MS (ESI) *m/z*: 441.4 [M+H]⁺.

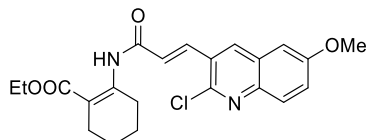
(E)-2-(3-(6-(terc-Butildimethylsiloxy)hinolīn-2-il)akrilamido)cikloheks-1-ēnkarbonskābes etilesteris (26f)



6-Hidroksihiholīn-2-ilkarbaldehīds (S3). 6-Metoksihiholīn-2-karbaldehīda (**25e**) (0,82 g, 4,38 mmol) šķīdumam DCM (15 ml) -78 °C temperatūrā argona atmosfērā piepilina 1 M BBr₃ šķīdumu DCM (15,3 ml, 15,3 mmol) un maisa 30 min. pie -78 °C, tad 30 min. 0 °C temperatūrā, tad istabas temperatūrā 2 stundas. Reakcijas maisījumu atdzesē ledus vannā, atšķaida ar DCM (25 ml) un ledus ūdeni (25 ml), tad organisko slāni atdala un ūdens slāni ekstrahē ar DCM divas reizes, organiskos slāņus apvieno, žāvē virs Na₂SO₄ un ietvaicē. Atlikumu hromatografē uz silikagela (EtOAc-PE, 1:4:1:2). Iegūst 0,48 g (63 %) produkta **S3**. ¹H-KMR (300 MHz, DMSO-*d*6) δ 10.57 (s, 1H), 10.05 (s, 1H), 8.34 (d, *J* = 8.5 Hz, 1H), 8.08 (d, *J* = 9.1 Hz, 1H), 7.87 (d, *J* = 8.5 Hz, 1H), 7.46 (dd, *J* = 9.1, 2.6 Hz, 1H), 7.26 (d, *J* = 2.6 Hz, 1H). **6-((terc-Butildimethylsiloxy)hinolīn-2-karbaldehīds (25f).**¹²¹ TBSCl (0,46 g, 3,05 mmol) un imidazola (0,35 g, 5,14 mmol) šķīdumu DMF (1,5 ml) pievieno 6-hidroksihiholīn-2-karbaldehīda (**S3**) (0,48, 2,56 mmol) šķīdumam DMF (3 ml) un maisa 16 stundas. Reakcijas

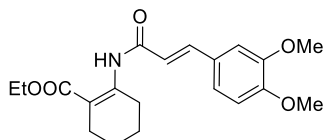
maisījumu atšķaida ar ūdeni (15 ml), ekstrahē ar EtOAc divas reizes, ekstraktu žāvē virs Na₂SO₄ un ietvaicē. Atlikumu hromatografē uz silikagela (EtOAc-PE, 1:5), iegūst 0,71 g (97 %) produkta **25f**. ¹H-KMR (300 MHz, CDCl₃) δ 10.18 (s, 1H), 8.14 (d, *J* = 8.8 Hz, 2H), 7.98 (d, *J* = 8.4 Hz, 1H), 7.40 (dd, *J* = 9.2, 2.6 Hz, 1H), 7.20 (d, *J* = 2.6 Hz, 1H), 1.03 (s, 9H), 0.30 (s, 6H). (*E*)-2-(3-(6-(terc-Butildimethylsiloxy)hinolīn-2-il)akrilamido)cikloheks-1-ēnkarbonskābes etilesteris (**26f**). **26f** iegūst no aldehīda **25f** (0,15 g, 0,52 mmol), fosfonija sāls **24** (0,38 g, 0,68 mmol) un *t*BuOK (70 mg, 0,63 mmol), izmantojot alkēna **26a** iegūšanas metodi. Iegūst 0,20 g (80 %) produkta **26f**, dzeltena cieta viela. ¹H-KMR (400 MHz, CDCl₃) δ 12.01 (s, 1H), 8.05 – 7.95 (m, 2H), 7.81 (d, *J* = 15.4 Hz, 1H), 7.53 (d, *J* = 8.5 Hz, 1H), 7.31 (dd, *J* = 9.1, 2.7 Hz, 1H), 7.12 (d, *J* = 2.7 Hz, 1H), 7.12 (d, *J* = 15.4 Hz, 1H), 4.23 (q, *J* = 7.1 Hz, 2H), 3.17 – 3.07 (m, 2H), 2.41 – 2.32 (m, 2H), 1.74 – 1.57 (m, 4H), 1.33 (t, *J* = 7.1 Hz, 3H), 1.03 (s, 9H), 0.27 (s, 6H). AEŠH-MS *m/z*: 481.4 [M+H]⁺.

(*E*)-2-(3-(2-Hloro-6-metoksihinolīn-2-il)akrilamido)cikloheks-1-ēnkarbonskābes etilesteris (**26g**)



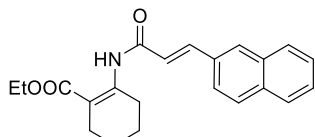
26g iegūst no aldehīda **25g** (0,15 g, 0,68 mmol), fosfonija sāls **24** (0,45 g, 0,81 mmol) un *t*BuOK (91 mg, 0,81 mmol), izmantojot alkēna **26a** iegūšanas metodi. Iegūst 0,23 g (82 %) produkta **26g**, dzeltena cieta viela, *E*:*Z* izomēru attiecība 1:0,14 (KMR). ¹H-KMR (400 MHz, CDCl₃) δ 12.06 (s, 1H), 8.30 (s, 1H), 8.08 (d, *J* = 15.6 Hz, 1H), 7.89 (d, *J* = 9.3 Hz, 1H), 7.39 (dd, *J* = 9.3, 2.8 Hz, 1H), 7.09 (d, *J* = 2.8 Hz, 1H), 6.62 (d, *J* = 15.6 Hz, 1H), 4.22 (q, *J* = 7.1 Hz, 2H), 3.94 (s, 3H), 3.08 – 3.13 (m, 2H), 2.34 – 2.39 (m, 2H), 1.59 – 1.72 (m, 4H), 1.32 (t, *J* = 7.1 Hz, 3H). ¹³C-KMR (100 MHz, CDCl₃) δ 170.4, 163.0, 158.6, 152.6, 147.8, 144.0, 137.4, 134.7, 129.9, 128.3, 127.9, 126.6, 124.3, 105.8, 105.3, 60.6, 55.8, 28.7, 24.5, 22.0, 21.8, 14.4. AEŠH-MS (ESI) *m/z*: 415.2 [M+H]⁺.

(*E*)-2-(3-(3,4-Dimetoksifenil)akrilamido)cikloheks-1-ēnkarbonskābes etilesteris (**26h**)



26h iegūst no aldehīda **25h** (0,14 g, 0,84 mmol), fosfonija sāls **24** (0,56 g, 1,01 mmol) un *t*BuOK (0,11 g, 0,98 mmol), izmantojot alkēna **26a** iegūšanas metodi. Iegūst 0,22 g (73 %) produkta **26h**, dzeltena cieta viela. ¹H-KMR (400 MHz, CDCl₃) δ 11.83 (s, 1H), 7.59 (d, *J* = 15.5 Hz, 1H), 7.11 (dd, *J* = 1.9, 8.3 Hz, 1H), 7.06 (d, *J* = 1.9 Hz, 1H), 6.85 (d, *J* = 8.3 Hz, 1H), 6.37 (d, *J* = 15.5 Hz, 1H), 4.21 (q, *J* = 7.1 Hz, 2H), 3.93 (s, 3H), 3.91 (s, 3H), 3.06 – 3.11 (m, 2H), 2.32 – 2.38 (m, 2H), 1.57 – 1.70 (m, 4H), 1.32 (t, *J* = 7.1 Hz, 3H). AEŠH-MS (ESI) *m/z*: 360.3 [M+H]⁺.

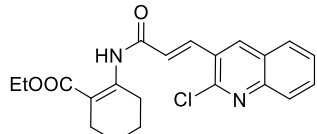
(*E*)-2-(3-(Naftalīn-2-il)akrilamido)cikloheks-1-ēnkarbonskābes etilesteris (**26i**)



26i iegūst no aldehīda **25i** (35 mg, 0,22 mmol), fosfonija sāls **24** (0,15 g, 0,27 mmol) un *t*BuOK (30 mg, 0,27 mmol), izmantojot alkēna **26a** iegūšanas metodi. Iegūst 63 mg (82 %)

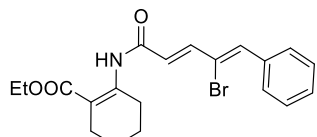
produkta **26i**, dzeltena cieta viela. ^1H -KMR (400 MHz, CDCl_3) δ 11.96 (s, 1H), 7.94 (s, 1H), 7.79 – 7.87 (m, 3H), 7.80 (d, $J = 15.6$ Hz, 1H), 7.68 (dd, $J = 1.7, 8.6$ Hz, 1H), 7.47 – 7.52 (m, 2H), 6.63 (d, $J = 15.6$ Hz, 1H), 4.22 (q, $J = 7.2$ Hz, 2H), 3.08 – 3.14 (m, 2H), 2.33 – 2.39 (m, 2H), 1.56 – 1.72 (m, 4H), 1.33 (t, $J = 7.2$ Hz, 3H). AEŠH-MS (ESI) m/z : 350.3 [M+H]⁺.

(E)-2-(3-(2-Hlorhinolīn-2-il)akrilamido)cikloheks-1-ēnkarbonskābes etilesteris (26j)



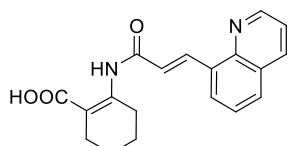
26j iegūst no aldehīda **25j** (0,15 g, 0,78 mmol), fosfonija sāls **24** (0,51 g, 0,93 mmol) un *t*BuOK (0,10 g, 0,89 mmol), izmantojot alkēna **26a** iegūšanas metodi. Iegūst 0,23 g (76 %) produkta **26j**, dzeltena cieta viela, *E:Z* izomēru attiecība 1:0,15 (KMR). ^1H -KMR (400 MHz, CDCl_3) δ 12.06 (s, 1H), 8.40 (s, 1H), 8.10 (d, $J = 15.6$ Hz, 1H), 8.01 (d, $J = 8.3$ Hz, 1H), 7.85 (d, $J = 8.1$ Hz, 1H), 7.75 (ddd, $J = 1.2, 7.1, 8.3$ Hz, 1H), 7.59 (t, $J = 7.6$ Hz, 1H), 6.64 (d, $J = 15.6$ Hz, 1H), 4.22 (q, $J = 7.1$ Hz, 2H), 3.08 – 3.14 (m, 2H), 2.33 – 2.39 (m, 2H), 1.59 – 1.72 (m, 4H), 1.33 (t, $J = 7.1$ Hz, 3H). AEŠH-MS (ESI) m/z : 385.2 [M+H]⁺.

2-((2*E*,4*Z*)-4-Brom-5-fenilpenta-2,4-dienamido)cikloheks-1-ēnkarbonskābes etilesteris (26l)



26l iegūst no aldehīda **25l** (0,15 g, 0,71 mmol), fosfonija sāls **24** (0,47 g, 0,85 mmol) un *t*BuOK (95 mg, 0,85 mmol), izmantojot alkēna **26a** iegūšanas metodi. Iegūst 0,23 g (80 %) produkta **26l**, dzeltena cieta viela. ^1H -KMR (400 MHz, CDCl_3) δ 11.86 (s, 1H), 7.74 – 7.78 (m, 2H), 7.44 (d, $J = 14.2$ Hz, 1H), 7.33 – 7.42 (m, 3H), 7.26 (s, 1H), 6.43 (d, $J = 14.2$ Hz, 1H), 4.20 (q, $J = 7.1$ Hz, 2H), 3.03 – 3.08 (m, 2H), 2.32 – 2.37 (m, 2H), 1.57 – 1.70 (m, 4H), 1.31 (t, $J = 7.1$ Hz, 3H). ^{13}C KMR (100 MHz, CDCl_3) δ 170.1, 163.5, 152.3, 142.9, 138.6, 135.0, 130.1, 129.4, 128.4, 127.1, 120.6, 105.6, 60.5, 28.7, 24.5, 22.0, 21.8, 14.4. AEŠH-MS (ESI) m/z : 404.1 [M+H]⁺.

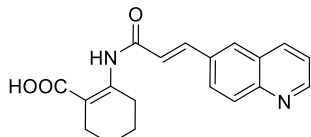
(E)-2-(3-(Hinolīn-8-il)akrilamido)cikloheks-1-ēnkarbonskābe (27a)



Etilestera **26a** (0,10 g, 0,28 mmol) šķīdumam THF (2 ml) un MeOH (2 ml) maisījumā pievieno 10 N NaOH (0,14 ml, 1,40 mmol) un maisa 50 °C temperatūrā 5 stundas un tad 16 stundas istabas temperatūrā. Reakcijas maisījumu paskābina ar 20 % HCl līdz pH 3 un ietvaicē. Atlikumu suspendē ūdenī (2 ml),nofiltrē, nogulsnes mazgā ar ūdeni un žāvē vakuumā virs P_2O_5 . Iegūst 68 mg (75 %) produkta **27a**, dzeltena cieta viela. ^1H -KMR (400 MHz, DMSO-*d*6) δ 12.61 (b s, 1H), 11.94 (s, 1H), 9.00 (dd, $J = 1.8, 4.2$ Hz, 1H), 8.77 (d, $J = 16.0$ Hz, 1H), 8.43 (dd, $J = 1.8, 8.3$ Hz, 1H), 8.28 (dd, $J = 1.1, 7.3$ Hz, 1H), 8.07 (dd, $J = 1.1, 8.2$ Hz, 1H), 7.67 (t, $J = 7.8$ Hz, 1H), 7.62 (dd, $J = 4.2, 8.3$ Hz, 1H), 7.02 (d, $J = 16.0$ Hz, 1H), 2.94 – 2.99 (m, 2H), 2.26 – 2.31 (m, 2H), 1.53 – 1.66 (m, 4H). ^{13}C -KMR (100 MHz, DMSO-

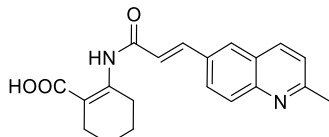
d6) δ 171.2, 163.4, 150.8, 150.5, 145.3, 137.3, 136.7, 132.0, 130.3, 128.2, 127.9, 126.5, 124.1, 121.9, 105.7, 28.3, 24.5, 21.5, 21.4. AEŠH-MS (ESI) *m/z*: 323.1 [M+H]⁺.

(E)-2-(3-(Hinolīn-6-il)akrilamido)cikloheks-1-ēnkarbonskābe (27b)



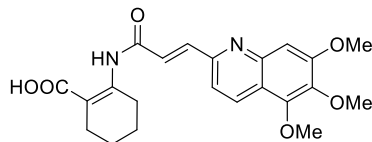
27b iegūst no etilesterā **26b** (0,10 g, 0,32 mmol) un 10 N NaOH (0,14 ml, 1,40 mmol), izmantojot karbonskābes **27a** iegūšanas metodi. Iegūst 25 mg (28 %) produkta **27b**, dzeltena cieta viela. ¹H-KMR (400 MHz, DMSO-*d*6) δ 12.62 (b s, 1H), 11.92 (s, 1H), 8.92 (dd, *J* = 1.6, 4.2 Hz, 1H), 8.38 (d, *J* = 8.3 Hz, 1H), 8.23 (d, *J* = 1.5 Hz, 1H), 8.15 (dd, *J* = 1.8, 8.8 Hz, 1H), 8.02 (d, *J* = 8.8 Hz, 1H), 7.70 (d, *J* = 15.7 Hz, 1H), 7.57 (dd, *J* = 4.2, 8.3 Hz, 1H), 6.91 (d, *J* = 15.7 Hz, 1H), 2.91–2.97 (m, 2H), 2.26 – 2.31 (m, 2H), 1.51–1.65 (m, 4H). AEŠH-MS (ESI) *m/z*: 323.2 [M+H]⁺.

(E)-2-(3-(2-Metilhinolīn-6-il)akrilamido)cikloheks-1-ēnkarbonskābe (27c)



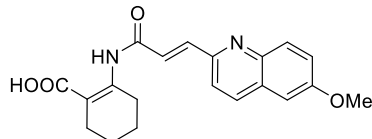
27c iegūst no etilesterā **26c** (0,12 g, 0,32 mmol) un 10 N NaOH (0,16 ml, 1,60 mmol), izmantojot karbonskābes **27a** iegūšanas metodi. Iegūst 50 mg (46 %) produkta **27c**, dzeltena cieta viela. ¹H-KMR (400 MHz, DMSO-*d*6) δ 12.62 (b s, 1H), 11.88 (s, 1H), 8.84 (d, *J* = 8.2 Hz, 1H), 8.51 (s, 1H), 8.40 (d, *J* = 8.7 Hz, 1H), 8.24 (d, *J* = 8.7 Hz, 1H), 7.87 (d, *J* = 8.2 Hz, 1H), 7.72 (d, *J* = 15.6 Hz, 1H), 6.98 (d, *J* = 15.6 Hz, 1H), 2.91 – 2.96 (m, 2H), 2.91 (s, 3H), 2.25 – 2.31 (m, 2H), 1.52 – 1.65 (m, 4H). AEŠH-MS (ESI) *m/z*: 337.2 [M+H]⁺.

(E)-2-(3-(5,6,7-Trimetoksilhinolīn-2-il)akrilamido)cikloheks-1-ēnkarbonskābe (27d)



27d iegūst no etilesterā **26d** (58 mg, 0,13 mmol) un 10 N NaOH (0,06 ml, 0,60 mmol), izmantojot karbonskābes **27a** iegūšanas metodi. Iegūst 20 mg (38 %) produkta **27d**, dzeltena cieta viela. ¹H-KMR (400 MHz, DMSO-*d*6) δ 12.66 (b s, 1H), 11.96 (s, 1H), 8.35 (d, *J* = 8.6 Hz, 1H), 7.76 (d, *J* = 8.6 Hz, 1H), 7.64 (d, *J* = 15.5 Hz, 1H), 7.31 (s, 1H), 7.14 (d, *J* = 15.5 Hz, 1H), 3.98 (s, 6H), 3.89 (s, 3H), 2.90 – 2.97 (m, 2H), 2.25 – 2.32 (m, 2H), 1.52 – 1.66 (m, 4H). AEŠH-MS (ESI) *m/z*: 413.3 [M+H]⁺.

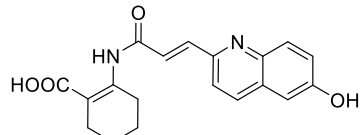
(E)-2-(3-(6-Metoksilhinolīn-2-il)akrilamido)cikloheks-1-ēnkarbonskābe (27e)



27e iegūst no etilesterā **26e** (0,13 g, 0,34 mmol) un 10 N NaOH (0,17 ml, 1,70 mmol), izmantojot karbonskābes **27a** iegūšanas metodi. Iegūst 44 mg (37 %) produkta **27e**, dzeltena cieta viela. ¹H-KMR (400 MHz, DMSO-*d*6) δ 12.66 (b s, 1H), 11.95 (1H, s), 8.29 (1H, d, *J* = 8.6 Hz), 7.96 (1H, d, *J* = 9.2 Hz), 7.88 (1H, d, *J* = 8.6 Hz), 7.65 (1H, d, *J* = 15.6 Hz), 7.42

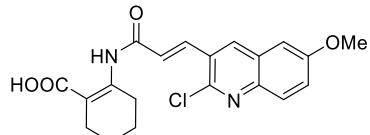
(1H, dd, $J = 9.2, 2.7$ Hz), 7.38 (1H, d, $J = 2.7$ Hz), 7.11 (1H, d, $J = 15.6$ Hz), 3.91 (3H, s), 2.98 – 2.89 (2H, m), 2.32 – 2.24 (2H, m), 1.65 – 1.51 (m, 4H). ^{13}C -KMR (100 MHz, DMSO-*d*6) δ 171.2, 162.8, 157.9, 150.6, 150.4, 143.6, 141.1, 135.6, 130.7, 129.1, 126.3, 122.8, 121.5, 106.3, 105.6, 55.6, 28.2, 24.5, 21.5, 21.3. AEŠH-MS (ESI) *m/z*: 352.8 [M+H]⁺.

(E)-2-(3-(6-Hidroksihinolīn-2-il)akrilamido)cikloheks-1-ēn-karbonskābe (27e)



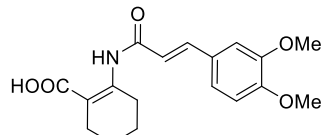
27e iegūst no etilestera **26e** (0,20 g, 0,42 mmol) un 2 N NaOH (0,62 ml, 1,25 mmol), izmantojot karbonskābes **27a** iegūšanas metodi. Iegūst 76 mg (54 %) produkta **27e**, dzeltena cieta viela. ^1H -KMR (300 MHz, DMSO-*d*6) δ 12.66 (b s, 1H), 11.94 (s, 1H), 10.20 (s, 1H), 8.18 (d, $J = 8.6$ Hz, 1H), 7.91 (d, $J = 9.1$ Hz, 1H), 7.82 (d, $J = 8.6$ Hz, 1H), 7.63 (d, $J = 15.6$ Hz, 1H), 7.34 (dd, $J = 9.1, 2.4$ Hz, 1H), 7.16 (d, $J = 2.4$ Hz, 1H), 7.08 (d, $J = 15.6$, 1H), 2.99 – 2.89 (m, 2H), 2.32 – 2.24 (m, 2H), 1.66 – 1.50 (m, 4H). ^{13}C -KMR (100 MHz, DMSO-*d*6) δ 171.1, 162.9, 156.4, 150.4, 149.8, 142.8, 141.3, 134.9, 130.8, 129.4, 125.9, 122.7, 121.2, 108.3, 106.2, 28.2, 24.5, 21.5, 21.3. AEŠH-MS (ESI) *m/z*: 339.3 [M+H]⁺.

(E)-2-(3-(2-Hloro-6-metoksihinolīn-3-il)akrilamido)cikloheks-1-ēnkarbonskābe (27g)



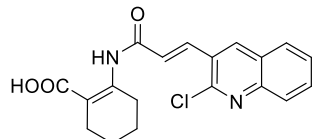
27g iegūst no etilestera **26g** (0,12 g, 0,29 mmol) un 10 N NaOH (0,14 ml, 1,40 mmol), izmantojot karbonskābes **27a** iegūšanas metodi. Iegūst 24 mg (22 %) produkta **27g**, dzeltena cieta viela. ^1H -KMR (400 MHz, DMSO-*d*6) δ 12.68 (b s, 1H), 12.04 (s, 1H), 8.22 (s, 1H), 7.87 (d, $J = 9.0$ Hz, 1H), 7.84 (d, $J = 15.6$ Hz, 1H), 7.50 (dd, $J = 2.7, 9.0$ Hz, 1H), 7.37 (d, $J = 2.7$ Hz, 1H), 6.93 (d, $J = 15.6$ Hz, 1H), 3.91 (s, 3H), 2.91 – 2.97 (m, 2H), 2.26 – 2.31 (m, 2H), 1.52 – 1.65 (m, 4H). AEŠH-MS (ESI) *m/z*: 387.1 [M+H]⁺.

(E)-2-(3-(3,4-Dimetoksifenil)akrilamido)cikloheks-1-ēnkarbonskābe (27h)



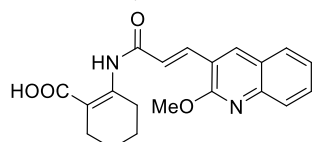
27h iegūst no etilestera **26h** (0,10 g, 0,28 mmol) un 10 N NaOH (0,14 ml, 1,40 mmol), izmantojot karbonskābes **27a** iegūšanas metodi. Iegūst 44 mg (47 %) produkta **27h**, balta cieta viela. ^1H -KMR (400 MHz, DMSO-*d*6) δ 12.52 (b s, 1H), 11.74 (s, 1H), 7.45 (d, $J = 15.5$ Hz, 1H), 7.33 (d, $J = 1.7$ Hz, 1H), 7.20 (dd, $J = 1.7, 8.3$ Hz, 1H), 6.98 (d, $J = 8.3$ Hz, 1H), 6.63 (d, $J = 15.5$ Hz, 1H), 3.81 (s, 3H), 3.79 (s, 3H), 2.88 – 2.95 (m, 2H), 2.23 – 2.30 (m, 2H), 1.50 – 1.63 (m, 4H). ^{13}C -KMR (100 MHz, DMSO-*d*6) δ 171.1, 163.6, 150.9, 150.7, 148.9, 141.8, 127.2, 122.7, 119.9, 111.5, 110.4, 105.2, 55.6, 55.5, 28.3, 24.5, 21.5, 21.4. AEŠH-MS (ESI) *m/z*: 332.2 [M+H]⁺.

(E)-2-(3-(2-Hlorohinolīn-3-il)akrilamido)cikloheks-1-ēnkarbonskābe (27j)



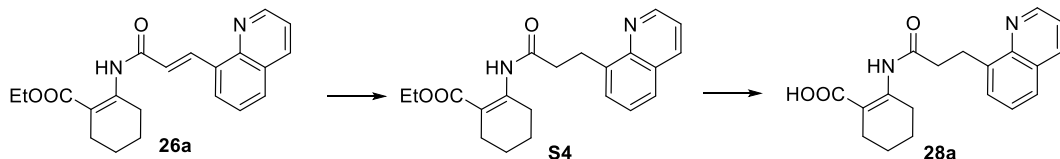
27j iegūst no etilesterā **26j** (0,11 g, 0,29 mmol) un 10 N NaOH (0,14 ml, 1,40 mmol), izmantojot karbonskābes **27a** iegūšanas metodi un veicot hidrolīzi THF. Iegūst 62 mg (60 %) produkta **27j**, dzeltena cieta viela. ^1H -KMR (400 MHz, DMSO-*d*6) δ 12.68 (b s, 1H), 12.03 (s, 1H), 9.07 (s, 1H), 8.08 (d, J = 8.1 Hz, 1H), 7.97 (d, J = 8.4 Hz, 1H), 7.84–7.90 (m, 2H), 7.71 (t, J = 7.6 Hz, 1H), 6.99 (d, J = 15.4 Hz, 1H), 2.91–2.97 (m, 2H), 2.26–2.32 (m, 2H), 1.52–1.65 (m, 4H). ^{13}C -KMR (100 MHz, DMSO-*d*6) δ 171.2, 162.3, 150.3, 149.2, 147.0, 137.2, 135.4, 131.8, 128.6, 127.8, 127.6, 127.1, 126.9, 126.7, 106.4, 28.2, 24.5, 21.5, 21.3. AEŠH-MS (ESI) m/z : 357.2 [M+H]⁺.

(E)-2-(3-(2-Metoksihinolīn-3-il)akrilamido)cikloheks-1-ēnkarbonskābe (27k)



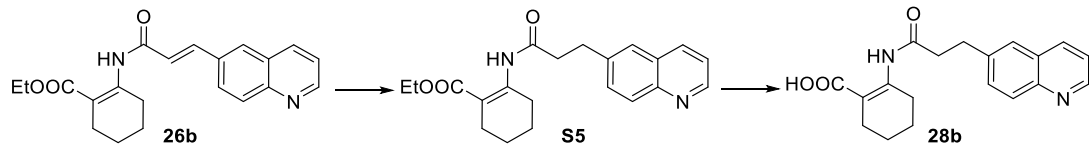
27k iegūst no etilesterā **26j** (0,10 g, 0,26 mmol) un 10 N NaOH (0,13 ml, 1,30 mmol), izmantojot karbonskābes **27a** iegūšanas metodi. Iegūst 24 mg (26 %) produkta **27k**. ^1H -KMR (400 MHz, DMSO-*d*6) δ 12.63 (b s, 1H), 11.92 (s, 1H), 8.74 (s, 1H), 7.92 (d, J = 8.0 Hz, 1H), 7.78 (d, J = 8.2 Hz, 1H), 7.76 (d, J = 15.7 Hz, 1H), 7.71 (ddd, J = 1.3, 6.9, 8.2 Hz, 1H), 7.47 (ddd, J = 1.1, 6.9, 8.0 Hz, 1H), 6.94 (d, J = 15.7 Hz, 1H), 4.08 (s, 3H), 2.91–2.96 (m, 2H), 2.25–2.31 (m, 2H), 1.52–1.64 (m, 4H). AEŠH-MS (ESI) m/z : 353.3 [M+H]⁺.

2-(3-(Hinolīn-8-il)propānamido)cikloheks-1-ēnkarbonskābe (28a)



2-(3-(Hinolīn-8-il)propānamido)cikloheks-1-ēnkarbonskābes etilesteris (S4**)**. Alkēna **26a** (0,10 g, 0,28 mmol) šķīdumam MeOH (2 ml) un THF (2 ml) maisījumā pievieno 10 % Pd/C (20 mg, 20 masas %) un caur reakcijas maisījumu burbuļo H₂ 2 stundas. Reakcijas maisījumunofiltrē un ietvaicē. Atlikumu hromatografē uz silikagela (EtOAc-PE, 1:3). Iegūst 54 mg (54 %) produkta **S4**. ^1H -KMR (400 MHz, CDCl₃) δ 11.52 (s, 1H), 8.93 (dd, J = 1.8, 4.2 Hz, 1H), 8.12 (dd, J = 1.8, 8.3 Hz, 1H), 7.67 (dd, J = 1.3, 8.1 Hz, 1H), 7.60 (d, J = 7.1 Hz, 1H), 7.44 (dd, J = 7.1, 8.1 Hz, 1H), 7.38 (dd, J = 4.2, 8.3 Hz, 1H), 4.11 (q, J = 7.1 Hz, 2H), 3.61 (t, J = 7.7 Hz, 2H), 2.94–3.00 (m, 2H), 2.86 (t, J = 7.7 Hz, 2H), 2.25–2.30 (m, 2H), 1.52–1.65 (m, 4H), 1.25 (t, J = 7.1 Hz, 3H). AEŠH-MS (ESI) m/z : 353.3 [M+H]⁺. **2-(3-(Hinolīn-8-il)propānamido)cikloheks-1-ēnkarbonskābe (28a)**. **28a** iegūst no etilesterā **S4** (50 mg, 0,14 mmol) un 10 N NaOH (0,07 ml, 0,70 mmol), izmantojot karbonskābes **27a** iegūšanas metodi. Iegūst 28 mg (62 %) produkta **28a**, balta cieta viela. ^1H -KMR (400 MHz, DMSO-*d*6) δ 12.47 (b s, 1H), 11.58 (s, 1H), 8.93 (dd, J = 1.8, 4.1 Hz, 1H), 8.35 (dd, J = 1.8, 8.3 Hz, 1H), 7.84 (dd, J = 1.2, 8.1 Hz, 1H), 7.63 (dd, J = 1.2, 7.1 Hz, 1H), 7.54 (dd, J = 4.1, 8.3 Hz, 1H), 7.52 (dd, J = 7.1, 8.1 Hz, 1H), 3.46 (t, J = 7.7 Hz, 2H), 2.79–2.85 (m, 2H), 2.73 (t, J = 7.7 Hz, 2H), 2.18–2.24 (m, 2H), 1.47–1.59 (m, 4H). AEŠH-MS (ESI) m/z : 325.1 [M+H]⁺.

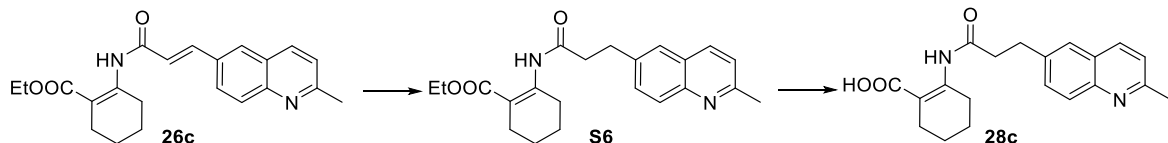
2-(3-(Hinolīn-6-il)propānamido)cikloheks-1-ēnkarbonskābe (28b)



*2-(3-(Hinolīn-6-il)propānamido)cikloheks-1-ēnkarbonskābes etilesteris (**S5**)*. **S5** iegūst no alkēna **26b** (0,11 g, 0,31 mmol), izmantojot alkāna **S4** iegūšanas metodi. Iegūst 90 mg (82 %) produkta **S5**. ^1H -KMR (400 MHz, CDCl_3) δ 11.64 (s, 1H), 8.86 (dd, $J = 1.7, 4.2$ Hz, 1H), 8.09 (dd, $J = 1.7, 8.3$ Hz, 1H), 8.02 (d, $J = 8.6$ Hz, 1H), 7.63 (s, 1H), 7.59 (dd, $J = 1.9, 8.6$ Hz, 1H), 7.37 (dd, $J = 4.2, 8.3$ Hz, 1H), 4.13 (q, $J = 7.1$ Hz, 2H), 3.17 (t, $J = 7.7$ Hz, 2H) 2.93 – 2.98 (m, 2H), 2.73 (t, $J = 7.7$ Hz, 2H), 2.25 – 2.30 (m, 2H), 1.52 – 1.65 (m, 4H), 1.27 (t, $J = 7.1$ Hz, 3H). ^{13}C -KMR (100 MHz, CDCl_3) δ 170.5, 170.1, 152.2, 150.0, 147.4, 139.2, 135.8, 130.9, 129.7, 128.4, 126.5, 121.3, 104.8, 60.4, 39.8, 31.3, 28.7, 24.3, 22.0, 21.8, 14.4. AEŠH-MS (ESI) m/z : 353.3 [M+H] $^+$.

*2-(3-(Hinolīn-6-il)propānamido)cikloheks-1-ēnkarbonskābe (**28b**)*. **28b** iegūst no etilestera **S5** (90 mg, 0,25 mmol) un 10 N NaOH (0,12 ml, 1,20 mmol), izmantojot karbonskābes **27a** iegūšanas metodi. Iegūst 28 mg (34 %) produkta **28b**, balta cieta viela. ^1H -KMR (400 MHz, $\text{DMSO}-d_6$) δ 12.52 (b s, 1H) 11.61 (s, 1H), 8.84 (dd, $J = 1.4, 4.1$ Hz, 1H), 8.28 (d, $J = 8.2$ Hz, 1H), 7.93 (d, $J = 8.6$ Hz, 1H), 7.78 (s, 1H), 7.67 (dd, $J = 1.6, 8.6$ Hz, 1H), 7.49 (dd, $J = 4.1, 8.2$ Hz, 1H), 3.06 (t, $J = 7.6$ Hz, 2H), 2.77 – 2.83 (m, 2H), 2.71 (t, $J = 7.6$ Hz, 2H), 2.17 – 2.23 (m, 2H), 1.45 – 1.57 (m, 4H). ^{13}C -KMR (100 MHz, $\text{DMSO}-d_6$) δ 171.1, 169.8, 150.5, 149.9, 146.6, 139.1, 135.5, 130.8, 128.8, 127.8, 126.3, 121.4, 104.8, 38.6, 30.4, 28.1, 24.3, 21.4, 21.3. AEŠH-MS (ESI) m/z : 325.3 [M+H] $^+$.

2-(3-(2-Metilhinolīn-6-il)propanamido)cikloheks-1-ēnkarbonskābe (28c)

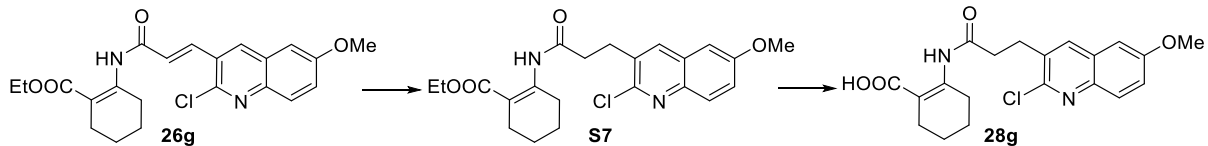


*2-(3-(2-Metilhinolīn-6-il)propanamido)cikloheks-1-ēnkarbonskābes etilesteris (**S6**)*. **S6** iegūst no alkēna **26c** (0,10 g, 0,27 mmol), izmantojot alkāna **S4** iegūšanas metodi. Iegūst 88 mg (88 %) produkta **S6**. ^1H -KMR (400 MHz, CDCl_3) δ 11.63 (s, 1H), 7.97 (d, $J = 8.4$ Hz, 1H), 7.92 (d, $J = 8.6$ Hz, 1H), 7.58 (m, 1H), 7.55 (dd, $J = 2.0, 8.6$ Hz, 1H), 7.25 (d, $J = 8.4$ Hz, 1H), 4.13 (q, $J = 7.1$ Hz, 2H), 3.14 (t, $J = 7.8$ Hz, 2H), 2.93 – 2.98 (m, 2H), 2.72 (t, $J = 7.8$ Hz, 2H), 2.72 (s, 3H), 2.25 – 2.30 (m, 2H), 1.52 – 1.65 (m, 4H), 1.26 (t, $J = 7.1$ Hz, 3H). ^{13}C -KMR (100 MHz, CDCl_3) δ 170.6, 170.1, 158.5, 152.2, 146.9, 138.2, 135.9, 130.8, 128.8, 126.6, 126.2, 122.2, 104.8, 60.4, 39.9, 31.2, 28.7, 25.4, 24.3, 22.0, 21.8, 14.4. AEŠH-MS (ESI) m/z : 367.4 [M+H] $^+$.

*2-(3-(2-Metilhinolīn-6-il)propanamido)cikloheks-1-ēnkarbonskābe (**28c**)*. **28c** iegūst no etilestera **S6** (80 mg, 0,21 mmol) un 10 N NaOH (0,1 ml, 1,00 mmol), izmantojot karbonskābes **27a** iegūšanas metodi. Iegūst 37 mg (52 %) produkta **28c**, balta cieta viela. ^1H -KMR (400 MHz, $\text{DMSO}-d_6$) δ 12.52 (b s, 1H) 11.61 (s, 1H), 8.15 (d, $J = 8.4$ Hz, 1H), 7.82 (d, $J = 8.6$ Hz, 1H), 7.71 (d, $J = 1.9$ Hz, 1H), 7.60 (dd, $J = 1.9, 8.6$ Hz, 1H), 7.37 (d, $J = 8.4$ Hz, 1H), 3.03 (t, $J = 7.6$ Hz, 2H), 2.77–2.82 (m, 2H), 2.69 (t, $J = 7.6$ Hz, 2H), 2.63 (s, 3H), 2.18 – 2.23 (m, 2H), 1.45 – 1.57 (m, 4H). ^{13}C -KMR (100 MHz, $\text{DMSO}-d_6$) δ 171.1

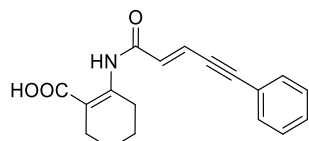
169.8, 158.0, 150.5, 146.2, 138.1, 135.6, 130.6, 128.1, 126.1, 126.0, 122.1, 104.8, 38.7, 30.3, 28.1, 24.8, 24.3, 21.4, 21.3. AEŠH-MS (ESI) m/z : 339.1 [M+H]⁺.

2-(3-(2-Hloro-6-metoksihinolīn-3-il)propanamido)cikloheks-1-ēnkarbonskābe (28g)



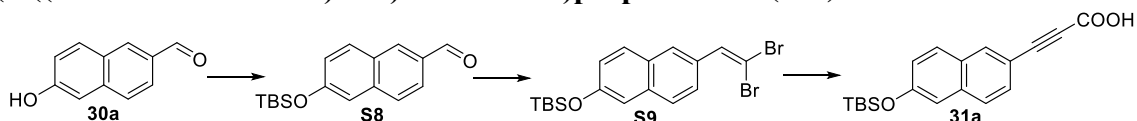
2-(3-(2-Hloro-6-metoksihinolīn-3-il)propanamido)cikloheks-1-ēnkarbonskābes etilesteris (S7). S7 iegūst no alkēna 26g (0,10 g, 0,27 mmol) un Raney Ni (~50 mg, 50 masas %), izmantojot alkāna S4 iegūšanas metodi. Iegūst 58 mg (58 %) produkta S7. ¹H-KMR (400 MHz, CDCl₃) δ 11.66 (s, 1H), 7.95 (s, 1H), 7.87 (d, J = 9.3 Hz, 1H), 7.32 (dd, J = 2.8, 9.3 Hz, 1H), 7.03 (d, J = 2.8 Hz, 1H), 4.14 (q, J = 7.1 Hz, 2H), 3.91 (s, 3H), 3.22 (t, J = 7.5 Hz, 2H), 2.92 – 2.98 (m, 2H), 2.77 (t, J = 7.5 Hz, 2H), 2.25 – 2.30 (m, 2H), 1.53 – 1.65 (m, 4H), 1.27 (t, J = 7.1 Hz, 3H). ¹³C-KMR (100 MHz, CDCl₃) δ 170.1, 170.0, 158.2, 151.9, 148.7, 142.7, 137.1, 132.6, 129.7, 128.7, 122.6, 105.0, 104.9, 60.4, 55.7, 37.5, 28.9, 28.7, 24.3, 22.0, 21.8, 14.3. AEŠH-MS (ESI) m/z : 417.3 [M+H]⁺. *2-(3-(2-Hloro-6-metoksihinolīn-3-il)propanamido)cikloheks-1-ēnkarbonskābe (28g).* 28g iegūst no etilesterā S7 (50 mg, 0,12 mmol) un 10 N NaOH (0,06 ml, 0,60 mmol), izmantojot karbonskābes 27a iegūšanas metodi. Iegūst 26 mg (56 %) produkta 28g, dzeltena cieta viela. ¹H-KMR (400 MHz, DMSO-*d*6) δ 12.55 (b s, 1H), 11.65 (s, 1H), 8.22 (s, 1H), 7.83 (d, J = 9.0 Hz, 1H), 7.39 (dd, J = 2.7, 9.0 Hz, 1H), 7.37 (d, J = 2.7 Hz, 1H), 3.89 (s, 3H), 3.08 (t, J = 7.6 Hz, 2H), 2.78–2.84 (m, 2H), 2.73 (t, J = 7.6 Hz, 2H), 2.18 – 2.24 (m, 2H), 1.46 – 1.59 (m, 4H). AEŠH-MS (ESI) m/z : 389.1 [M+H]⁺.

2-(*E*)-(5-Fenilpent-2-ēn-4-īnamido)-cikloheks-1-ēn-karbonskābe (29)



29 iegūst no etilesterā 26l (0,23 g, 0,56 mmol) un 10 N NaOH (0,28 ml, 2,80 mmol), izmantojot karbonskābes 27a iegūšanas metodi. Iegūst 47 mg (29 %) produkta 29, balta cieta viela. IS (cm⁻¹): 3079, 3018, 2929, 2617, 2197, 1649, 1609, 1488, 1234, 952, 756, 688. ¹H-KMR (400 MHz, DMSO-*d*6) δ 11.58 (s, 1H), 10.79 (b s, 1H), 7.46 – 7.50 (m, 2H), 7.31 – 7.38 (m, 3H), 6.97 (d, J = 15.4 Hz, 1H), 6.40 (d, J = 15.4 Hz, 1H), 3.05 – 3.11 (m, 2H), 2.37 – 2.43 (m, 2H), 1.60 – 1.72 (m, 4H). AEŠH-MS (ESI) m/z : 294.1 [M-H]⁻.

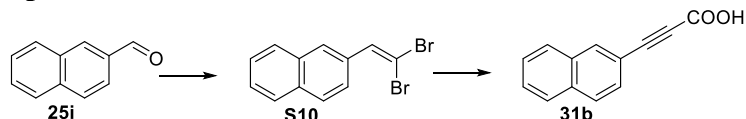
3-((terc-Butildimetsilsilik)oksi)naftalīn-2-il)propionskābe (31a)



*6-((terc-Butildimetsilsilik)oksi)-2-naftaldehyds (S8)*¹²². TBSCl (0,63 g, 4,18 mmol) šķīdumam DMF (4 ml) pievieno 6-hidroksi-2-naftaldehydu (30a) (0,60 g, 3,48 mmol) un imidazolu (0,47 g, 6,91 mmol), un maisa 1 stundu istabas temperatūrā. Reakcijas maisījumu atšķaida ar ūdeni un Et₂O. Organisko slāni atdala, mazgā ar ūdeni trīs reizes, žāvē virs Na₂SO₄ un ietvaicē. Atlikumu hromatografē uz silikagela (EtOAc-PE, 1:8-1:6), iegūst 0,99 g (99 %) produkta S8. ¹H-KMR (CDCl₃) δ 10.08 (s, 1H), 8.25 (s, 1H), 7.89 (dd, J = 8.6, 1.5 Hz,

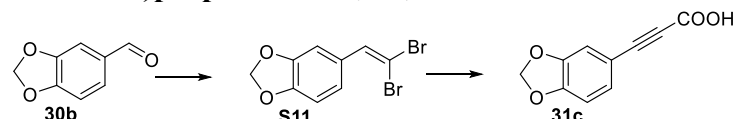
1H), 7.88 (d, $J = 8.8$ Hz, 1H), 7.75 (d, $J = 8.6$ Hz, 1H), 7.22 (d, $J = 2.4$ Hz, 1H), 7.16 (dd, $J = 8.8$, 2.4 Hz, 1H), 1.02 (s, 9H), 0.27 (s, 6H). *terc-Butil((6-(2,2-dibromvinil)naftalīn-2-il)oksi)dimetilsilāns (S9)*. Trifenilfosfīna (1,78 g, 6,76 mmol) un CBr₄ (1,13 g, 3,41 mmol) šķīdumam DCM (5 ml) pievieno aldehīdu **S8** (0,65 g, 2,27 mmol) un maisa istabas temperatūrā 1,5 stundas. Reakcijas maisījumu ietvaicē, atlikumu aplej ar EtOAc-PE maisījumu (1:8) unnofiltrē. Filtrātu koncentrē un atlikumu hromatografē uz silikagela (EtOAc-PE, 1:10). Iegūst 0,89 g (89 %) produkta **S9**, balta cieta viela. ¹H-KMR (400 MHz, CDCl₃) δ 7.93 (s, 1H), 7.72 (d, $J = 8.8$ Hz, 1H), 7.65 (d, $J = 8.6$ Hz, 1H), 7.58 (s, 1H), 7.58 (dd, $J = 1.7$; 8.6 Hz, 1H), 7.15 (d, $J = 2.4$ Hz, 1H), 7.07 (dd, $J = 2.4$, 8.8 Hz, 1H), 1.01 (s, 9H), 0.24 (s, 6H). GH-MS m/z : 442 M⁺. *3-((terc-Butildimetilsilil)oksi)naftalīn-2-il)propionskābe (31a)*. Dibromolefīna **S9** (0,88 g, 1,99 mmol) šķīdumam THF (8 ml) -78 °C temperatūrā argona atmosfērā pievieno 2 M nBuLi šķīdumu heksānā (2,2 ml, 4,40 mmol) un maisa 40 min. Reakcijas maisījumu sasilda līdz 0 °C temperatūrai, tad atkal atdzesē un -70 °C temperatūrā pievieno sauso ledu (~7 g). Reakcijas maisījumu sasilda līdz istabas temperatūrai, atšķaida ar EtOAc (20 ml) un 1 M HCl (20 ml), organisko slāni atdala un mazgā ar 1 M HCl, žāvē virs Na₂SO₄, koncentrē un hromatografē uz silikagela (MeOH-CHCl₃, 1:5). Iegūst 0,32 g (50 %) produkta **31a**, balta cieta viela. IS (cm⁻¹): 2957, 2928, 2857, 2205, 1666, 1622, 1419, 1301, 1262, 963, 852. ¹H-KMR (400 MHz, CDCl₃) δ 8.11 (s, 1H), 7.72 (d, $J = 8.8$ Hz, 1H), 7.67 (d, $J = 8.6$ Hz, 1H), 7.53 (dd, $J = 1.6$, 8.6 Hz, 1H), 7.17 (d, $J = 2.4$ Hz, 1H), 7.12 (dd, $J = 2.4$, 8.8 Hz, 1H), 1.01 (s, 9H), 0.26 (s, 6H). ¹³C-KMR (CDCl₃) δ 155.1; 155.8, 135.8, 134.9, 130.1, 128.5, 127.3, 123.5, 114.1, 90.2, 77.4, 25.8, 18.4, -4.3. AEŠH-MS (ESI) m/z : 327.2 [M+H]⁺.

3-Naftalīn-2-il-propionskābe (31b)



2-(2,2-Dibromvinil)naftalīns (S10).¹²³ **S10** iegūst no aldehīda **25i** (0,40 g, 2,56 mmol), trifenilfosfīna (1,74 g, 6,66 mmol) un CBr₄ (1,10 g, 3,32 mmol), izmantojot dibromolefīna **S9** iegūšanas metodi. Iegūst 0,55 g (69 %) produkta **S10**. ¹H-KMR (300 MHz, CDCl₃) δ 8.02 (s, 1H), 7.90 – 7.78 (m, 3H), 7.65 (s, 1H), 7.64 (dd, $J = 1.7$, 8.4 Hz, 1H), 7.56 – 7.45 (m, 2H). *3-Naftalīn-2-il-propionskābe (31b)*.¹²⁴ **31b** iegūst no dibromolefīna **S10** (0,54 g, 1,73 mmol) un 2 M nBuLi šķīduma heksānā (1,73 ml, 3,46 mmol), izmantojot propionskābes **31a** iegūšanas metodi. Iegūst 0,21 g (62 %) produkta **31b**. ¹H-KMR (300 MHz, DMSO-d6) δ 8.32 (s, 1H), 8.05 – 7.94 (m, 3H), 7.70 – 7.54 (m, 3H).

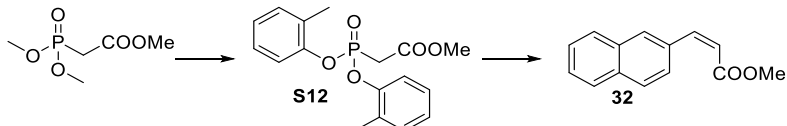
3-(Benzo[d][1,3]dioksol-5-il)propionskābe (31c)



5-(2,2-Dibromvinil)benzo[d][1,3]dioksols (S11).¹²⁵ **S11** iegūst no aldehīda **30b** (0,59 g, 3,93 mmol), trifenilfosfīna (2,47 g, 9,43 mmol) un CBr₄ (1,56 g, 4,72 mmol), izmantojot dibromolefīna **S9** iegūšanas metodi. Iegūst 0,98 g (82 %) produkta **S11**. ¹H-KMR (300 MHz, CDCl₃) δ 7.37 (s, 1H), 7.18 (d, $J = 1.7$ Hz, 1H), 6.95 (ddd, $J = 0.5$, 1.7, 8.1 Hz, 1H), 6.80 (d, $J = 8.1$ Hz, 1H), 5.99 (s, 2H). *3-(Benzo[d][1,3]dioksol-5-il)propionskābe (31c)*.¹²⁶ **31c** iegūst

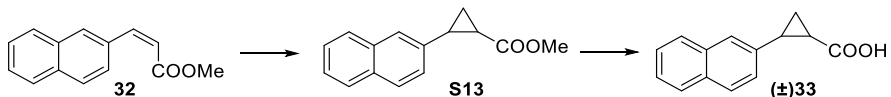
no dibromolefīna **S11** (1,28 g, 4,13 mmol) un 2 M *n*BuLi šķīduma heksānā (4,54 ml, 9,08 mmol), izmantojot propiolskābes **31a** iegūšanas metodi. Iegūst 0,38 g (48 %) produkta **31c**. ¹H-KMR (300 MHz, DMSO-*d*6) δ 7.19 (dd, *J* = 1.7, 7.2 Hz, 1H), 7.17 (s, 1H), 7.04 – 6.97 (m, 1H), 6.12 (s, 2H).

Metil (Z)-3-(naftalīn-2-il)akrilāts (32)



*Metil 2-(bis(*o*-toliloksi)fosforil)acetāts (S12).*¹²⁷ Trimetilfosfonoacetāta (1,25 g, 6.86 mmol) šķīdumam DCM (4 ml), dzesējot ledus vannā, pievieno TMSBr (2,0 ml, 15,2 mmol). Reakcijas maisījumu maisa istabas temperatūrā 5 stundas, tad ietvaicē, atšķaida ar MeOH un vēlreiz ietvaicē. Atlikumu izšķīdina DCM (15 ml) un, dzesējot ledus vannā, piepilina vienu pilienu DMF, tad oksalihlorīdu (1,85 ml, 21.6 mmol). Reakcijas maisījumu maisa istabas temperatūrā 2 stundas un ietvaicē. Atlikumu izšķīdina THF (10 ml) un šķīdumam 0 °C temperatūrā pievieno *o*-krezola (1,33 g, 13,0 mmol) šķīdumu THF (5 ml) un TEA (1,82 ml, 13,0 mmol). Reakcijas maisījumu maisa istabas temperatūrā 1 stundu un tad pievieno pies. NaHCO₃ šķīdumu, ekstrahē ar EtOAc, ekstraktu mazgā ar ūdeni, pies. NaCl šķīdumu, žāvē virs Na₂SO₄ un ietvaicē. Atlikumu hromatografē uz silikagela (EtOAc-PE, 1:3-1:2). Iegūst 1,12 g (54 %) produkta **S12**. ¹H KMR (400 MHz, CDCl₃) δ 7.27 (td, *J* = 1.2, 8.1 Hz, 2H), 7.18 (d, *J* = 7.3 Hz, 2H), 7.12 (dt, *J* = 1.8, 7.7 Hz, 2H), 7.07 (tt, *J* = 1.1, 7.3 Hz, 2H), 3.75 (s, 3H), 3.33 (d, *J*_{HP} = 21.7 Hz, 2H), 2.24 (s, 6H). (*Z*)-*Metil (3-naftalīn-2-il)akrilāts (32)*. Metil 2-(bis(*o*-toliloksi)fosforil)acetāta (**S12**) (0,59 g, 1,76 mmol) šķīdumam THF (19 ml) 0 °C temperatūrā argona atmosfērā pievieno *t*BuOK (0,22 g, 1,96 mmol), reakcijas maisījumu maisa 5 min., tad maisījumu atdzesē līdz -78 °C temperatūrai, piepilina naftalīn-2-ilkarbaldehīda (**25i**) (0,25 g, 1,60 mmol) šķīdumu THF (2 ml) un maisa 1,5 stundas. Reakcijas maisījumam pievieno pies. NaHCO₃ šķīdumu, ekstrahē ar EtOAc, ekstraktu mazgā ar ūdeni, pies. NaCl šķīdumu, žāvē virs Na₂SO₄ un ietvaicē. Atlikumu hromatografē uz silikagela (*Biotage* EtOAc-PE, 3-18 %). Iegūst 0,30 g (80 %) produkta **32**, kas satur ~8 % (*E*)-izomēra. ¹H KMR (400 MHz, CDCl₃) δ 8.04 (s, 1H), 7.78 – 7.87 (m, 3H), 7.72 (dd, *J* = 1.6, 8.6 Hz, 1H), 7.44 – 7.52 (m, 2H), 7.10 (d, *J* = 12.7 Hz, 1H), 6.03 (d, *J* = 12.7 Hz, 1H), 3.72 (s, 3H). ¹³C-KMR (100 MHz, CDCl₃) δ 166.8, 143.5, 133.6, 133.1, 132.5, 130.1, 128.7, 127.6, 127.1, 127.0, 126.4, 119.6, 51.6. AEŠH-MS (ESI) *m/z*: 213.0 [M+H]⁺.

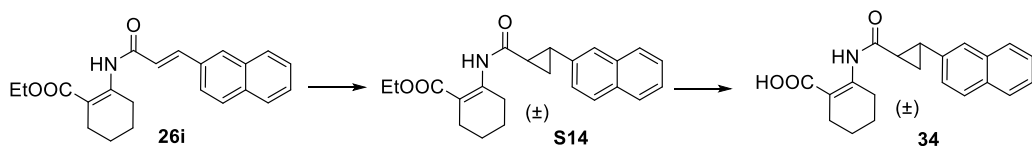
(*cis*)-2-(Naftalīn-2-il)ciklopropān-1-karbonskābe (33)



*2-(Naftalīn-2-il)ciklopropān-1-karbonskābes metilesteris (S13).*¹²⁸ (*Z*)-Alkēna **32** (0,25 g, 1,15 mmol) un Pd(OAc)₂ (26 mg, 0,12 mmol) šķīdumam DCM (2 ml) ledus vannā 20 min. laikā piepilina ~1 M diazometāna šķīdumu ēterī (25 ml, 25 mmol) un maisa 1 stundu istabas temperatūrā. Reakcijas maisījumam pievieno pilienu etiķskābes, maisa 20 min., tad reakcijas maisījumunofiltrē caur silikagelu un koncentrē. Atlikumu hromatografē uz silikagela (EtOAc-PE, 1:8-1:6), iegūst 94 mg (36 %) produkta **S13**. ¹H-KMR (400 MHz, CDCl₃) δ 7.70 – 7.80 (m, 4H), 7.38 – 7.45 (m, 2H), 7.38 (dd, *J* = 1.8, 8.4 Hz, 1H), 3.38 (s, 3H), 2.72 (q, *J* = 8.5 Hz, 1H), 2.17 (ddd, *J* = 5.6, 8.0, 9.2 Hz, 1H), 1.84 (td, *J* = 5.4, 7.5 Hz, 1H), 1.42 (ddd, *J* = 5.1, 8.0, 8.6 Hz, 1H). GH-MS *m/z*: 226 M⁺. (*cis*)-2-(Naftalīn-2-il)ciklopropān-1-karbonskābe

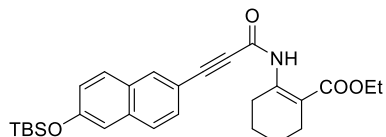
(33). Metilesterēta **S13** (94 mg, 0,41 mmol) šķīdumam THF (2 ml) un MeOH (1 ml) maisījumā pievieno KOH (70 mg, 1,25 mmol) šķīdumu ūdenī (4 ml), maisa 21 stundu 50 °C temperatūrā un ietvaicē. Atlikumu izšķīdina ūdenī (2 ml) un paskābina līdz pH 1 ar 20 % HCl. Maisījumu ekstrahē ar CHCl₃, ekstraktu mazgā ar ūdeni, pies. NaCl šķīdumu, žāvē virs Na₂SO₄ un ietvaicē. Iegūst 87 mg (99 %) produkta **33**, balta cieta viela. ¹H-KMR (400 MHz, CDCl₃) δ 9.00 (b s, 1H), 7.73 – 7.79 (m, 2H), 7.68 (d, J = 8.3 Hz, 1H), 7.68 (s, 1H), 7.39 – 7.46 (m, 2H), 7.34 (dd, J = 1.6, 8.5 Hz, 1H), 2.75 (q, J = 8.5 Hz, 1H), 2.09 (ddd, J = 5.6, 7.8, 9.2 Hz, 1H), 1.78 (td, J = 5.3, 7.7 Hz, 1H), 1.43 (ddd, J = 5.1, 7.8, 8.6 Hz, 1H). AEŠH-MS (ESI) m/z: 213.0 [M+H]⁺.

(trans)-2-(2-(Naftalīn-2-il)ciklopropān-1-karboksamido)cikloheks-1-ēnkarbonskābes etilesteris (34)



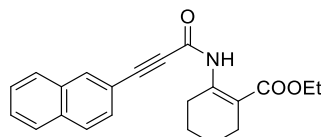
(trans)-2-(2-(Naftalīn-2-il)ciklopropān-1-karboksamido)cikloheks-1-ēnkarbonskābes etilesteris (S14). Alkēna **26i** (0,14 g, 0,40 mmol) un Pd(OAc)₂ (4 mg, 0,02 mmol) šķīdumam DCM (2,5 ml), dzesējot ledus vannā, piepilina ~1 M diazometāna šķīdumu ēterī 2 porcijās (5 ml un pēc 10 min. vēl 2,5 ml, kopā 7,5 ml, 7,5 mmol). Turpina maisīšanu 10 min. Ledus vannā, tad reakcijas maisījumu maisa 20 min. istabas temperatūrā. Reakcijas maisījumam pievieno 3 pilienus etiķskābes un maisa, kamēr vairs neizdalās gāze. Tad reakcijas maisījumunofiltrē caur silikagelu un filtrātu koncentrē. Iegūst 0,14 g (96 %) produkta **S14**, dzeltena eļļa. ¹H-KMR (400 MHz, CDCl₃) δ 11.95 (s, 1H), 7.78 (dd, J = 1.5, 7.7 Hz, 1H), 7.73 – 7.77 (m, 2H), 7.55 (m, 1H), 7.38 – 7.47 (m, 2H), 7.20 (dd, J = 1.8, 8.5 Hz, 1H), 4.15 (q, J = 7.1 Hz, 2H), 2.92 – 3.08 (m, 2H), 2.67 (ddd, J = 4.1, 6.5, 9.2 Hz, 1H), 2.28 – 2.35 (m, 2H), 1.89 (ddd, J = 4.1, 5.1, 8.3 Hz, 1H), 1.68 (ddd, J = 4.6, 5.1, 9.2 Hz, 1H), 1.54 – 1.68 (m, 4H), 1.42 (ddd, J = 4.6, 6.5, 8.3 Hz, 1H), 1.27 (t, J = 7.1 Hz, 3H). ¹³C-KMR (100 MHz, CDCl₃) δ 170.7, 170.2, 152.3, 138.0, 133.5, 132.4, 128.2, 127.7, 127.5, 126.3, 125.5, 124.8, 124.7, 104.4, 60.4, 28.8, 28.5, 26.4, 24.3, 22.0, 21.9, 17.1, 14.4. AEŠH-MS (ESI) m/z: 364.2 [M+H]⁺. **(Trans)-2-(2-(naftalīn-2-il)ciklopropān-1-karboksamido)cikloheks-1-ēnkarbonskābe (34).** **34** iegūst no etilesterā **S14** (0,14 g, 0,38 mmol) un 10 N NaOH (0,19 ml, 1,90 mmol), izmantojot karbonskābes **27a** iegūšanas metodi. Iegūst 74 mg (58 %) produkta **34**. ¹H-KMR (400 MHz, CDCl₃) δ 11.69 (s, 1H), 9.40 (b s, 1H), 7.74 – 7.80 (m, 3H), 7.56 (d, J = 1.7 Hz, 1H), 7.45 (ddd, J = 1.6, 6.9, 8.2 Hz, 1H), 7.41 (ddd, J = 1.4, 6.9, 8.0 Hz, 1H), 7.22 (dd, J = 1.7, 8.5 Hz, 1H), 2.95 – 3.10 (m, 2H), 2.69 (ddd, J = 4.2, 6.6, 9.3 Hz, 1H), 2.31 – 2.37 (m, 2H), 1.84 (ddd, J = 4.2, 5.0, 8.2 Hz, 1H), 1.67 (td, J = 4.7, 9.3 Hz, 1H), 1.55 – 1.69 (m, 4H), 1.45 (ddd, J = 4.5, 6.6, 8.2 Hz, 1H). ¹³C-KMR (100 MHz, DMSO-d6) δ 171.1, 169.5, 150.3, 137.9, 132.9, 131.8, 127.9, 127.5, 127.3, 126.2, 125.4, 124.7, 124.3, 105.1, 28.2, 27.9, 25.6, 24.4, 21.5, 21.4, 16.3. AEŠH-MS (ESI) m/z: 334.2 [M-H]⁻.

2-(3-(6-*terc*-Butildimetsilsiloksi)naftalīn-2-il)propiolamido)cikloheks-1-ēnkarbonskābes etilesteris (37a)



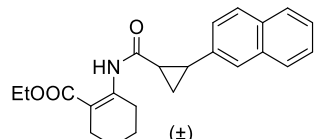
Karbonskābes **31a** (0,40 g, 1,22 mmol) šķīdumam DCM (4 ml) argona atmosfērā pievieno vienu pilienu DMF, piepilina oksalilhlorīdu (0,31 ml, 3,59 mmol) un maisa istabas temperatūrā 1 stundu. Reakcijas maisījumu ietvaicē, izšķīdina DCM un atkārtoti ietvaicē. Atlikumu izšķīdina DCM (3 ml), iegūto šķīdumu piepilina amino-cikloheks-1-ēn-1-karbonskābes etilesterā (**23**) (0,25 g, 1,48 mmol) un TEA (0,2 ml, 1,46 mmol) šķīdumam DCM (2 ml) argona atmosfērā 0 °C temperatūrā un maisa 1 stundu. Reakcijas maisījumu atšķaida ar DCM, mazgā ar ūdeni, pies. NaCl šķīdumu, žāvē un ietvaicē. Atlikumu hromatografē uz silikagela (EtOAc-PE, 1:4). Iegūto produktu mazgā ar Et₂O un iegūst 0,15 g (39 %) produkta **37a**, dzeltena cieta viela. ¹H-KMR (400 MHz, CDCl₃) δ 11.91 (s, 1H), 8.06 (s, 1H), 7.70 (d, *J* = 8.8 Hz, 1H), 7.64 (d, *J* = 8.5 Hz, 1H), 7.52 (dd, *J* = 8.5, 1.7 Hz, 1H), 7.15 (d, *J* = 2.4 Hz, 1H), 7.10 (dd, *J* = 2.4, 8.8, Hz, 1H), 4.22 (q, *J* = 7.1 Hz, 2H), 2.99 – 3.04 (m, 2H), 2.32 – 2.37 (m, 2H), 1.57 – 1.70 (m, 4H), 1.32 (t, *J* = 7.1 Hz, 3H), 1.01 (s, 9H), 0.25 (6H, s). AEŠH-MS (ESI) *m/z*: 478.2 [M+H]⁺.

2-(3-(Naftalīn-2-il)propiolamido)cikloheks-1-ēnkarbonskābes etilesteris (37b)



37b iegūst no karbonskābes **31b** (0,20 g, 1,02 mmol), oksalilhlorīda (0,26 ml, 3,05 mmol), amīna **23** (0,17 g, 1,02 mmol) un TEA (0,14 ml, 1,00 mmol), izmantojot amīda **37a** iegūšanas metodi. Iegūst 0,19 g (54 %) produkta **37b**, dzeltena cieta viela. ¹H-KMR (300 MHz, CDCl₃) δ 11.95 (s, 1H), 8.15 (s, 1H), 7.89 – 7.78 (m, 3H), 7.63 – 7.49 (m, 3H), 4.24 (q, *J* = 7.1 Hz, 2H), 3.09 – 2.96 (m, 3H), 2.42 – 2.29 (m, 5H), 1.74 – 1.55 (m, 5H), 1.33 (t, *J* = 7.1 Hz, 3H). ¹³C-KMR (100 MHz, CDCl₃) δ 169.8, 151.2, 151.1, 133.9, 133.8, 132.8, 128.5, 128.4, 128.2, 128.0, 127.8, 127.0, 117.5, 106.3, 85.7, 84.5, 60.6, 28.9, 24.5, 22.0, 21.7, 14.4. AEŠH-MS (ESI) *m/z*: 348.2 [M+H]⁺.

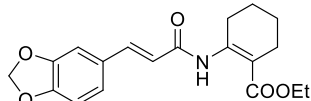
(Cis)-2-(2-(Naftalīn-2-il)ciklopropān-1-karboksamido)cikloheks-1-ēnkarbonskābes etilesteris (37d)



37d iegūst no karbonskābes **33** (87 mg, 0,42 mmol), oksalilhlorīda (0,1 ml, 1,26 mmol), amīna **23** (78 mg, 0,46 mmol) un TEA (0,06 ml, 0,46 mmol), izmantojot amīda **37a** iegūšanas metodi. Iegūst 80 mg (54 %) produkta **37d**, balta cieta viela. ¹H-KMR (400 MHz, CDCl₃) δ 11.78 (s, 1H), 7.66–7.79 (m, 4H), 7.36–7.43 (m, 3H), 4.18 (q, *J* = 7.1 Hz, 2H), 2.68 (q, *J* = 8.5 Hz, 1H), 2.50 – 2.70 (m, 2H), 2.15 – 2.26 (m, 2H), 2.13 (ddd, *J* = 5.6, 7.8, 9.2 Hz, 1H), 1.88 (td, *J* = 5.4, 7.4 Hz, 1H), 1.36 – 1.48 (m, 4H), 1.38 (ddd, *J* = 5.1, 7.8, 8.6 Hz, 1H), 1.30 (t, *J* = 7.1 Hz, 3H). ¹³C-KMR (100 MHz, CDCl₃) δ 170.2, 168.1, 152.6, 134.4, 133.4, 132.5, 128.0,

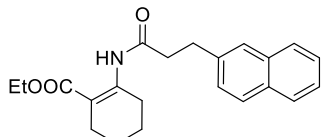
127.9, 127.7, 127.5, 125.8, 125.4, 103.6, 60.3, 28.5, 26.2, 26.0, 24.2, 21.8, 21.7, 14.4, 10.9. AEŠH-MS (ESI) m/z : 364.3 [M+H]⁺.

(E)-2-((Benzo[*d*][1,3]dioksol-5-il)akrilamido)cikloheks-1-ēnkarbonskābes etilesteris (37e)



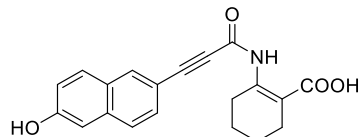
37e iegūst no karbonskābes **35** (0,14 g, 0,75 mmol), oksalilhlorīda (0,19 ml, 2,25 mmol), amīna **23** (0,14 g, 0,83 mmol) un TEA (0,11 ml, 0,78 mmol), izmantojot amīda **37a** iegūšanas metodi. Iegūst 0,13 g (51 %) produkta **37e**, balta cieta viela. ¹H-KMR (400 MHz, CDCl₃) δ 11.86 (s, 1H), 7.54 (d, *J* = 15.5 Hz, 1H), 7.05 (d, *J* = 1.7 Hz, 1H), 7.01 (dd, *J* = 1.7, 8.0 Hz, 1H) 6.79 (d, *J* = 8.0 Hz, 1H), 6.33 (d, *J* = 15.5 Hz, 1H), 5.99 (s, 2H), 4.20 (q, *J* = 7.1 Hz, 2H), 3.05 – 3.10 (m, 2H), 2.32 – 2.36 (m, 2H), 1.60 – 1.70 (m, 4H), 1.31 (t, *J* = 7.1 Hz, 3H). AEŠH-MS (ESI) m/z : 344.2 [M+H]⁺.

2-(3-(Naftalīn-2-il)propanamido)cikloheks-1-ēnkarbonskābes etilesteris (37f)



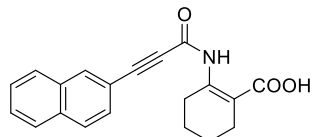
37f iegūst no karbonskābes **36** (60 mg, 0,30 mmol), oksalilhlorīda (0,08 ml, 0,90 mmol), amīna **23** (61 mg, 0,36 mmol) un TEA (50 μl, 0,38 mmol), izmantojot amīda **37a** iegūšanas metodi. Iegūst 80 mg (76 %) produkta **37f**, balta cieta viela. ¹H-KMR (400 MHz, CDCl₃) δ 11.63 (s, 1H), 7.74 – 7.81 (m, 3H), 7.65 (s, 1H), 7.38 – 7.46 (m, 2H), 7.35 (dd, *J* = 1.8, 8.4, Hz, 1H) 4.13 (q, *J* = 7.1 Hz, 2H), 3.11 – 3.17 (m, 2H), 2.93 – 2.99 (m, 2H), 2.69 – 2.75 (m, 2H), 2.25 – 2.30 (m, 2H), 1.52 – 1.65 (m, 4H), 1.27 (t, *J* = 7.1 Hz, 3H). AEŠH-MS (ESI) m/z : 352.3 [M+H]⁺.

2-(3-(6-Hidroksinaftalīn-2-il)propiolamido)cikloheks-1-ēnkarbonskābe (38a)



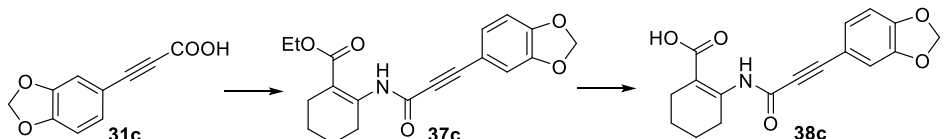
38a iegūst no etilestera **37a** (0,15 g, 0,31 mmol) un 10 N NaOH (0,16 ml, 1,60 mmol), izmantojot karbonskābes **27a** iegūšanas metodi. Iegūst 54 mg (45 %) produkta **38a**, balta cieta viela. IS (cm⁻¹): 3158, 2965, 2872, 2212, 1673, 1607, 1508, 1462, 1215, 999, 902, 812, 725. ¹H-KMR (400 MHz, DMSO-*d*6) δ 12.76 (b s, 1H), 12.07 (s, 1H), 10.18 (b s, 1H), 8.15 (s, 1H), 7.85 (d, *J* = 9.4 Hz, 1H), 7.75 (d, *J* = 8.5 Hz, 1H), 7.47 (dd, *J* = 1.5, 8.5 Hz, 1H), 7.12 – 7.22 (m, 2H), 2.79 – 2.89 (m, 2H), 2.21 – 2.32 (m, 2H), 1.49 – 1.65 (m, 4H). AEŠH-MS (ESI) m/z : 334.1 [M-H]⁻.

2-(3-(Naftalīn-2-il)propiolamido)cikloheks-1-ēn-karbonskābe (38b)



38b iegūst no etilesterā **37b** (0,19 g, 0,55 mmol), 2 N NaOH (0,82 ml, 1,64 mmol), izmantojot karbonskābes **27a** iegūšanas metodi. Iegūst 36 mg (21 %) produkta **38b**, balta cieta viela. ^1H -KMR (400 MHz, CDCl_3) δ 11.77 (s, 1H), 9.62 (b s, 1H), 8.12 (s, 1H), 7.87 – 7.76 (m, 3H), 7.59 – 7.47 (m, 3H), 3.10 – 3.03 (m, 2H), 2.46 – 2.39 (m, 2H), 1.75 – 1.60 (m, 4H). ^{13}C -KMR (100 MHz, CDCl_3) δ 174.0, 154.0, 151.1, 134.11, 133.9, 132.8, 128.4, 128.3, 128.0, 127.9, 127.0, 117.2, 105.0, 86.5, 84.4, 29.2, 24.6, 21.9, 21.6. AEŠH-MS (ESI) m/z : 320.1 [$\text{M}+\text{H}]^+$.

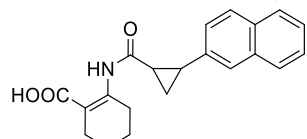
2-(3-(Benzo[d][1,3]dioksol-5-il)propiolamido)cikloheks-1-ēn-karbonskābe (38c)



2-(3-(Benzo[d][1,3]dioksol-5-il)propiolamido)cikloheks-1-ēnkarbonskābes etilesteris (37c). **37c** iegūst no karbonskābes **31c** (0,20 g, 1,05 mmol), oksalilhlorīda (0,27 ml, 3,16 mmol), amīna **23** (0,18 g, 1,05 mmol) un TEA (0,15 ml, 1,05 mmol), izmantojot amīda **37a** iegūšanas metodi. Iegūst 46 mg produkta **37c**, kurš satur HCl pievienošanas produktu pie trīskāršas saites, ko nevar atdalīt, izmantojot hromatogrāfiju. AEŠH-MS (ESI) m/z : 342.2 [$\text{M}+\text{H}]^+$, HCl pievienošanās produkts 378.1 [$\text{M}+\text{H}]^+$. Eksperimentu atkārto un iegūtos produktus apvieno.

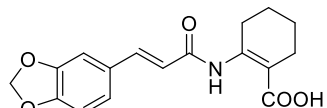
2-(3-(Benzo[d][1,3]dioksol-5-il)propiolamido)cikloheks-1-ēnkarbonskābe (38c). Iepriekšējā stadijā iegūto apvienoto produkta **37c** izšķīdina THF-MeOH maisījumā (1:1, 1 ml), pievieno 2 N NaOH (0,30 ml, 0,62 mmol) un maisa 40 °C temperatūrā 4 stundas. Reakcijas maisījumu paskābina ar 4 N HCl līdz pH 4 un daļēji ietvaicē šķīdinātāju. Atlikumu ekstrahē ar DCM, ekstraktu žāvē virs Na_2SO_4 un ietvaicē. Atlikumu hromatografē uz silikagela (MeOH-DCM, 5:95). Iegūst 22 mg (3 % no **31c**) produkta **37c**, balta cieta viela. ^1H -KMR (CDCl_3) δ 11.67 (s, 1H), 9.39 (b s, 1H), 8.12 (s, 1H), 7.13 (dd, $J = 8.1, 1.6$ Hz, 1H), 6.99 (d, $J = 1.6$ Hz, 1H), 6.79 (d, $J = 8.1$ Hz, 1H), 6.01 (s, 2H), 3.07 – 2.99 (m, 2H), 2.44 – 2.35 (m, 2H), 1.73 – 1.58 (m, 4H). AEŠH-MS (ESI) m/z : 314.1 [$\text{M}+\text{H}]^+$.

(Cis)-2-(2-(naftalīn-2-il)ciklopropān-1-karboksamido)cikloheks-1-ēnkarbonskābe (38d)



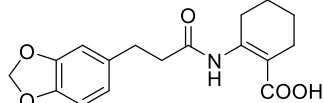
38d iegūst no etilesterā **37d** (80 mg, 0,22 mmol) un 10 N NaOH (0,11 ml, 1,10 mmol), izmantojot karbonskābes **27a** iegūšanas metodi. Iegūst 65 mg (83 %) produkta **38d**. ^1H -KMR (400 MHz, CDCl_3) δ 11.57 (s, 1H), 9.72 (b s, 1H), 7.74 – 7.79 (m, 2H), 7.69 – 7.74 (m, 2H), 2.36 – 2.45 (m, 3H), 2.72 (q, $J = 8.5$ Hz, 1H), 2.53 – 2.74 (m, 2H), 2.25 – 2.31 (m, 2H), 2.12 (ddd, $J = 5.6, 7.9, 9.1$ Hz, 1H), 1.89 (td, $J = 5.4, 7.4$ Hz, 1H), 1.40 (ddd, $J = 5.2, 7.9, 8.8$ Hz, 1H), 1.39 – 1.54 (m, 4H). ^{13}C -KMR (100 MHz, $\text{DMSO}-d_6$) δ 171.2, 167.3, 150.6, 134.6, 132.4, 131.2, 127.7, 127.4, 127.3, 127.0, 125.9, 125.4, 104.0, 27.8, 25.4, 25.3, 24.2, 21.2, 10.2. AEŠH-MS (ESI) m/z : 336.2 [$\text{M}+\text{H}]^+$.

(E)-2-(3-(Benzo[d][1,3]dioksol-5-il)akrilamido)cikloheks-1-ēnkarbonskābe (38e)



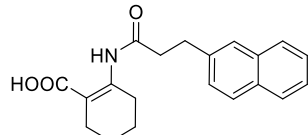
38e iegūst no etilesterā **37e** (0,13 g, 0,37 mmol) un 10 N NaOH (0,18 ml, 1,80 mmol), izmantojot karbonskābes **27a** iegūšanas metodi. Iegūst 70 mg (60 %) produkta **38e**. ¹H-KMR (400 MHz, DMSO-*d*6) δ 12.54 (b s, 1H), 11.74 (s, 1H), 7.43 (d, *J* = 15.5 Hz, 1H), 7.40 (d, *J* = 1.6 Hz, 1H), 7.16 (dd, *J* = 1.6, 8.1 Hz, 1H), 6.94 (d, *J* = 8.1 Hz, 1H), 6.59 (d, *J* = 15.5 Hz, 1H), 6.07 (s, 2H), 2.88 – 2.94 (m, 2H), 2.23 – 2.30 (m, 2H), 1.50 – 1.63 (m, 4H). AEŠH-MS (ESI) *m/z*: 314.2 [M-H]⁻

2-(3-((Benzo[*d*][1,3]dioksol-5-il)propānamido)cikloheks-1-ēnkarbonskābe (**38f**)



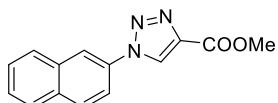
Alkēna **38e** (55 mg, 0,17 mmol) šķīdumam MeOH (5 ml) un THF (2 ml) maisījumā pievieno 10 % Pd/C (11 mg, 20 masas %) un intensīvi maisa H₂ atmsfērā 3 stundas. Reakcijas maisījumunofiltrē un ietvaicē. Atlikumu hromatografē uz silikagela (MeOH-DCM, 5:95), iegūto produktu pārkristalizē no MeOH un iegūst 20 mg (36 %) produkta **38f**. ¹H-KMR (400 MHz, DMSO-*d*6) δ 12.52 (b s, 1H), 11.57 (s, 1H), 6.81 (d, *J* = 1.6 Hz, 1H), 6.79 (d, *J* = 7.9 Hz, 1H), 6.66 (dd, *J* = 1.6, 7.9 Hz, 1H), 5.95 (s, 2H), 2.76 – 2.82 (m, 2H), 2.76 (t, *J* = 7.6 Hz, 2H), 2.52 (t, *J* = 7.6 Hz, 2H), 2.18 – 2.24 (m, 2H), 1.46 – 1.58 (m, 4H). ¹³C-KMR (100 MHz, DMSO-*d*6) δ 171.2, 169.9, 150.5, 147.2, 145.4, 134.5, 121.1, 108.7, 108.1, 104.7, 100.6, 39.3, 30.2, 28.1, 24.3, 21.5, 21.4. AEŠH-MS (ESI) *m/z*: 318.2 [M+H]⁺.

2-(3-(Naftalīn-2-il)propanamido)cikloheks-1-ēnkarbonskābe (**18a**)⁷¹



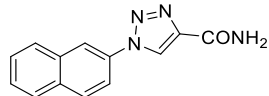
18a iegūst no etilesterā **37f** (80 mg, 0,23 mmol) un KOH (38 mg, 0,68 mmol) šķīduma ūdenī (1 ml), izmantojot karbonskābes **27a** iegūšanas metodi. Iegūst 21 mg (28 %) produkta **18a**, balta cieta viela. ¹H-KMR (400 MHz, CDCl₃) δ 11.38 (s, 1H), 10.2 (b s, 1H), 7.74 – 7.80 (m, 3H), 7.64 (s, 1H), 7.44 (dt, *J* = 1.7, 6.9 Hz, 1H), 7.40 (dt, *J* = 1.6, 6.9 Hz, 1H), 7.33 (dd, *J* = 1.5, 8.4 Hz, 1H), 3.13 (t, *J* = 7.7, 2H), 2.96 – 3.02 (m, 2H), 2.70 (t, *J* = 7.7 Hz, 2H), 2.27 – 2.36 (m, 2H), 1.53 – 1.68 (m, 4H). AEŠH-MS (ESI) *m/z*: 324.2 [M+H]⁺.

1-(Naftalīn-2-il)-1*H*-1,2,3-triazol-4-karbonskābes metilesteris (**40**)



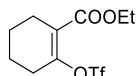
2-Naftil-borskābes (**39**) (0,15 g, 0,87 mmol) šķīdumam MeOH (4 ml) pievieno NaN₃ (85 mg, 1,35 mmol) un Cu(OAc)₂ (16 mg, 0,09 mmol), un maisa gaisā 50 °C temperatūrā 1,5 stundu. Tad reakcijas maisījumu atdzesē līdz istabas temperatūrai, pievieno metilpropiolātu (0,23 ml, 2,62 mmol) un nātrijska araskorbātu (17 mg, 0,09 mmol), un turpina maisīšanu 2 stundas. Reakcijas maisījumu ietvaicē, atlikumu atšķaida ar ūdeni, ekstrahē ar DCM, ekstraktu mazgā ar pies. NaCl šķīdumu, žāvē un ietvaicē. Atlikumu hromatografē uz silikagela (*Biotage*, EtOAc-PE, 7-50 %), iegūst 0,15 g (67 %) produkta **40**, balta cieta viela. ¹H-KMR (300 MHz, CDCl₃) δ 8.65 (s, 1H), 8.24 (d, *J* = 1.6 Hz, 1H), 8.04 (d, *J* = 8.8 Hz, 1H), 8.00 – 7.89 (m, 2H), 7.89 (dd, *J* = 8.8, 2.1 Hz, 1H), 7.67 – 7.56 (m, 2H), 4.03 (s, 3H). AEŠH-MS (ESI) *m/z*: 254.2 [M+H]⁺.

1-(Naftalīn-2-il)-1*H*-1,2,3-triazol-4-karboksamīds (41)



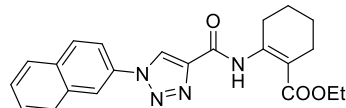
Metilesterā **40** (0,22 g, 0,85 mmol) šķīdumam MeOH (3 ml) pievieno 7 N NH₃ MeOH šķīdumu (3,69 ml, 25,8 mmol) un maisa 32 stundas istabas temepratūrā. Reakcijas maisījumu ietvaicē, aplej ar MeOH (~1 ml),nofiltrē un žāvē vakuumā. Iegūst 0,19 g (91 %) produkta **41**, balta cieta viela. ¹H-KMR (300 MHz, DMSO-*d*6) δ 9.37 (s, 1H), 8.57 (d, *J* = 1.9 Hz, 1H), 8.18 (d, *J* = 9.0 Hz, 1H), 8.12 (dd, *J* = 9.0, 2.2 Hz, 1H), 8.11 – 8.01 (m, 3H), 7.72 – 7.57 (m, 3H). AEŠH-MS (ESI) *m/z*: 239.1 [M+H]⁺.

Etil 2-(((trifluormetil)sulfonil)oksi)cikloheks-1-ēn-1-karboksilāts (42)⁸⁶



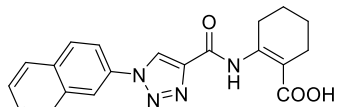
2-Okso-cikloheksān-1-karbonskābes etilesterā (**22**) (0,50 ml, 3,12 mmol) šķīdumam DCM (15 ml), dzesējot ledus vannā, pievieno 60 % NaH eļļā (0,15 g, 3,76 mmol) un maisa 30 min. Reakcijas maisījumam piepilina Tf₂O (0,63 ml, 3,75 mmol) un maisa, dzesējot ledus vannā, 20 min., tad maisa istabas temperatūrā 1 stundu. Reakcijas maisījumu atšķaida ar ūdeni, ekstrahē ar DCM, ekstraktu mazgā ar ūdeni, žāvē virs Na₂SO₄ un ietvaicē. Iegūst 0,95 g (93 %) produkta **42**. ¹H-KMR (300 MHz, CDCl₃) δ 4.28 (q, *J* = 7.1 Hz, 2H), 2.52 – 2.44 (m, 2H), 2.44 – 2.36 (m, 2H), 1.84 – 1.73 (m, 2H), 1.72 – 1.61 (m, 2H), 1.33 (t, *J* = 7.1 Hz, 3H).

2-(1-(Naftalīn-2-il)-1*H*-1,2,3-triazol-4-karboksamido)cikloheks-1-ēn-karbonskābes etilesteris (43)



Amīda **41** (0,11 g, 0,46 mmol) un triflāta **42** (0,28 g, 0,92 mmol) maisījumu dioksānā (1 ml) degazē ar argonu, maisījumam pievieno Cs₂CO₃ (0,26 g, 0,79 mmol), Xanthphos (53 mg, 0,09 mmol) un Pd(db_a)₃ (27 mg, 0,05 mmol), un maisa slēgtā ampulā 80 °C temperatūrā 2 stundas. Reakcijas maisījumu atdzesē, atšķaida ar EtOAc, mazgā ar ūdeni divas reizes, pies. NaCl šķīdumu, žāvē virs Na₂SO₄ un ietvaicē. Mazgājamo ūdens slāni ekstrahē ar CHCl₃, ekstraktu mazgā ar pies. NaCl, žāvē virs Na₂SO₄ un ietvaicē. Abus atlikumus apvieno un mazgā ar nelielu daudzumu EtOAc. Iegūst 0,10 g (57 %) produkta **43**, dzeltena cieta viela. ¹H-KMR (300 MHz, CDCl₃) δ 12.98 (s, 1H), 8.62 (s, 1H), 8.21 (d, *J* = 2.2 Hz, 1H), 8.03 (d, *J* = 8.9 Hz, 1H), 7.98 – 7.91 (m, 2H), 7.90 (dd, *J* = 8.9, 2.1 Hz, 1H), 7.65 – 7.55 (m, 2H), 4.31 (q, *J* = 7.1 Hz, 2H), 3.20 – 3.09 (m, 2H), 2.48 – 2.35 (m, 2H), 1.78 – 1.60 (m, 4H), 1.34 (t, *J* = 7.1 Hz, 3H). AEŠH-MS (ESI) *m/z*: 391.4 [M+H]⁺.

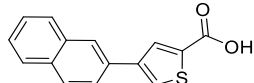
2-(1-(Naftalīn-2-il)-1*H*-1,2,3-triazol-4-karboksamido)cikloheks-1-ēn-karbonskābe (44)



44 iegūst no etilesterā **43** (0,10 g, 0,26 mmol) un 2 N NaOH (0,38 ml, 0,77 mmol), izmantojot karbonskābes **27a** iegūšanas metodi. Iegūst 30 mg (29 %) produkta **44**, dzeltena cieta viela. ¹H-KMR (400 MHz, DMSO-*d*6) δ 13.35 (b s, 1H), 9.49 (s, 1H), 8.60 (s, 1H), 8.22 – 8.10 (m, 2H), 8.10 – 8.02 (m, 2H), 7.70 – 7.60 (m, 2H), 3.05 – 2.69 (m, 2H), 2.36–2.26 (m,

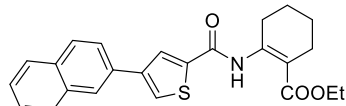
2H), 1.70 - 1.53 (m, 4H). ^{13}C -KMR (100 MHz, DMSO-*d*6) δ 157.4, 144.1, 133.6, 132.7, 132.6, 129.9, 128.4, 127.9, 127.5, 127.2, 125.8, 118.8, 118.6, 28.2, 24.9, 21.7, 21.5. Elementanalīze: aprēķināts $\text{C}_{20}\text{H}_{18}\text{N}_4\text{O}_3 \cdot 1.2 \text{ H}_2\text{O}$: C 62.56, H 5.35, N 14.59; atrasts: C 62.72, H 4.81, N 14.34. AEŠH-MS (ESI) *m/z*: 361.2 [M-H]⁺.

4-(Naftalīn-2-il)tiofēn-2-karbonskābe (46)



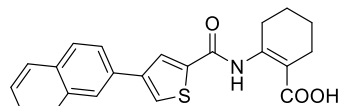
4-Bromotiofēn-2-karbonskābes (**45**) (0,20 g, 0,97 mmol) un borskābes **39** (0,18 g, 1,06 mmol) šķīdumu THF (3 ml) degazē ar argonu, maisījumam pievieno 1 M Na_2CO_3 šķīdumu (3,0 ml, 3,00 mmol) un $\text{Pd}(\text{PPh}_3)_4$ (46 mg, 0,04 mmol), un maisa slēgtā ampulā 85 °C 3 stundas. Reakcijas maisījumu atdzesē, atšķaida ar 3 % HCl (5 ml), ekstrahē ar CHCl_3 , ekstraktu žāvē virs Na_2SO_4 un ietvaicē. Atlikumu hromatografē uz silikagela (MeOH- CHCl_3 , 1:20). Iegūto vielu mazgā ar MeOH un žāvē. Iegūst 84 mg (31 %) produkta **46**, balta cieta viela. ^1H -KMR (300 MHz, DMSO-*d*6) δ 8.35 (s, 1H), 8.34 – 8.27 (m, 2H), 8.02 – 7.86 (m, 4H), 7.57 – 7.47 (m, 2H). AEŠH-MS (ESI) *m/z*: 253.1 [M+H]⁺.

2-(4-(Naftalīn-2-il)tiofēn-2-karboksamido)cikloheks-1-ēn-1-karbonskābes etilesteris (47)



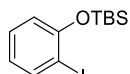
47 iegūst no karbonskābes **46** (0,10 g, 0,39 mmol), oksalilhlorīda (0,10 ml, 1,18 mmol), amīna **23** (80 mg, 0,47 mmol) un TEA (55 μ l, 0,39 mmol), izmantojot amīda **37a** iegūšanas metodi. Iegūst 0,12 g (76 %) produkta **47**, dzeltena cieta viela. ^1H -KMR (300 MHz, CDCl_3) δ 12.64 (s, 1H), 8.09 (d, $J = 1.4$ Hz, 1H), 8.06 (d, $J = 1.1$ Hz, 1H), 7.93 – 7.83 (m, 3H), 7.76 – 7.71 (m, 2H), 7.52 (dt, $J = 1.6, 6.8$ Hz, 1H), 7.48 (dt, $J = 1.6, 6.8$ Hz, 1H), 4.26 (q, $J = 7.1$ Hz, 2H), 3.17 – 3.06 (m, 2H), 2.46 – 2.31 (m, 2H), 1.77 – 1.58 (m, 4H), 1.33 (t, $J = 7.1$ Hz, 3H). AEŠH-MS (ESI) *m/z*: 406.3 [M+H]⁺.

2-(4-(Naftalīn-2-il)-tiofēn-2-karboksamido)cikloheks-1-ēn-karbonskābe (48)



48 iegūst no etilesterā **47** (0,12 g, 0,29 mmol) un 2 N NaOH (0,44 ml, 0,89 mmol), izmantojot karbonskābes **27a** iegūšanas metodi. Iegūst 46 mg (41 %) produkta **48**, dzeltena cieta viela. ^1H -KMR (300 MHz, DMSO-*d*6) δ 12.75 (b s, 1H), 8.35 (d, $J = 1.4$ Hz, 1H), 8.26 (s, 1H), 8.18 (d, $J = 1.4$ Hz, 1H), 8.00 (d, $J = 8.6$ Hz, 1H), 7.96 (dd, $J = 5.0, 2.0$ Hz, 1H), 7.93 (dd, $J = 5.0, 2.0$ Hz, 1H), 7.87(dt, $J = 1.7, 8.6$ Hz, 1H), 7.56 (dt, $J = 1.6, 6.8$ Hz, 1H), 7.52 (dt, $J = 1.6, 6.8$ Hz, 1H), 3.00 - 2.93 (m, 2H), 2.35 - 2.27 (m, 2H), 1.69 - 1.53 (m, 4H). Elementanalīze: aprēķināts $\text{C}_{22}\text{H}_{19}\text{NO}_3\text{S}$: C 70.01, H 5.07, N 3.71; atrasts: C 69.87, H 5.09, N 3.67. AEŠH-MS (ESI) *m/z*: 378.1 [M+H]⁺.

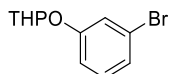
terc-Butil(2-iodfenoksi)dimetilsilāns (52a)¹²⁹



2-Iodfenola (1,00 g, 4,54 mmol) un imidazola (0,62 g, 9,09 mmol) šķīdumam DMF (8 ml) argona atmosfērā 5 min. laikā piepilina TBSCl (1,03 g, 6,81 mmol) šķīdumu DMF (2 ml)

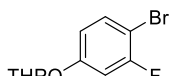
un maisa 2 stundas istabas temperatūrā. Maisījumam pievieno ledus aukstu ūdeni, ekstrahē ar Et₂O, ekstraktu mazgā 3 reizes ar ūdeni, pies. NaCl šķīdumu, žāvē virs Na₂SO₄ un ietvaicē. Iegūst 1,50 g (99 %) produkta **52a**. ¹H-KMR (300 MHz, CDCl₃) δ 7.76 (dd, *J* = 7.9, 1.7 Hz, 1H), 7.20 (ddd, *J* = 8.1, 7.3, 1.7 Hz, 1H), 6.83 (dd, *J* = 8.1, 1.4 Hz, 1H), 6.68 (td, *J* = 7.6, 1.4 Hz, 1H), 1.06 (s, 9H), 0.28 (s, 6H).

2-(3-Bromfenoksi)tetrahidro-2*H*-pirāns (52b**)¹³⁰**



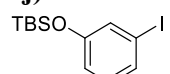
Pie DCM (5 ml) pievieno *p*-toluolsulfoskābi (10 mg, 0,06 mmol), maisa 10 min., tad nofiltrē un filtrātā izšķīdina 3-bromfenolu (1,00 g, 5,78 mmol). Maisījumam piepilina dihidropirānu (0,53 ml, 5,78 mmol) un maisa 1,5 stundas istabas temperatūrā argona atmosfērā. Reakcijas maisījumam pievieno pies. NaHCO₃ šķīdumu un organisko slāni attala. Ūdens slāni ekstrahē ar DCM, organiskos slāņus apvieno, žāvē virs Na₂SO₄ un ietvaicē. Atlikumu hromatografē uz silikagela (EtOAc-PE, 1:5, ar 0,2 % TEA). Iegūst 0,97 g (65 %) produkta **52b**. ¹H-KMR (300 MHz, CDCl₃) δ 7.25 – 7.20 (m, 1H), 7.17 – 7.07 (m, 2H), 6.98 (dt, *J* = 7.0, 2.4 Hz, 1H), 5.40 (t, *J* = 3.2 Hz, 1H), 3.87 (ddd, *J* = 11.3, 9.6, 3.2 Hz, 1H), 3.66 – 3.57 (m, 1H), 2.07 – 1.89 (m, 1H), 1.89 – 1.79 (m, 2H), 1.77 – 1.55 (m, 3H).

2-(4-Brom-3-fluorfenoksi)tetrahidro-2*H*-pirāns (52h**)¹³¹**



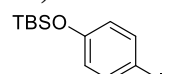
52h iegūst no 4-bromo-3-fluorofenola (0,80 g, 4,19 mmol), *p*-toluolsulfoskābes (39 mg, 0,21 mmol) un dihidropirāna (0,57 ml, 6,28 mmol), izmantojot savienojuma **52b** iegūšanas metodi. Iegūst 0,50 g (43 %) produkta **52h**. ¹H-KMR (300 MHz, CDCl₃) δ 7.40 (t, *J* = 8.4 Hz, 1H), 6.88 (dd, *J* = 10.5, 2.6 Hz, 1H), 6.82 – 6.68 (m, 1H), 5.37 (m, 1H), 3.91 – 3.77 (m, 1H), 3.67 – 3.55 (m, 1H), 2.07 – 1.89 (m, 1H), 2.06 – 1.50 (m, 7H).

terc-Butil(3-iodfenoksi)dimetilsilāns (52j**)¹³²**



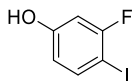
52j iegūst no 3-iodfenola (2,00 g, 9,08 mmol), imidazola (0,62 g, 9,11 mmol) un TBSCl (1,37 g, 9,09 mmol), izmantojot silānu **52a** iegūšanas metodi. Iegūst 2,91 g (94 %) produkta **52j**. ¹H-KMR (400 MHz, CDCl₃) δ 7.29 (ddd, *J* = 7.8, 1.6, 1.0 Hz, 1H), 7.21 (dd, *J* = 2.3, 1.6 Hz, 1H), 6.94 (t, *J* = 8.0 Hz, 1H), 6.79 (ddd, *J* = 8.0, 2.4, 1.0 Hz, 1H), 0.98 (s, 9H), 0.20 (s, 6H).

terc-Butil(4-iodfenoksi)dimetilsilāns (52k**)¹³³**



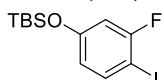
52k iegūst no 4-iodfenola (2,00 g, 9,08 mmol), imidazola (0,62 g, 9,11 mmol) un TBSCl (1,37 g, 9,09 mmol), izmantojot silānu **52a** iegūšanas metodi. Iegūst 2,85 g (92 %) produkta **52k**. ¹H-KMR (300 MHz, CDCl₃) δ 7.50 (d, *J* = 8.9, 2H), 6.61 (d, *J* = 8.9, 2H), 0.97 (s, 9H), 0.18 (s, 6H).

3-Fluor-4-iodfenols (68a)¹³⁴



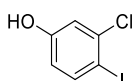
4-Amino-3-fluorofenola (1,0 g, 7,87 mmol) suspensijai ūdens (12 ml) un konc. HCl (3,3 ml) maisījumā 0 °C temperatūrā pievieno NaNO₂ (0,57 g, 8,26 mmol) šķīdumu ūdenī (3 ml) un maisa 10 min. Tad reakcijas maisījumam 0 °C temperatūrā piepilina KI (1,44 g, 8,65 mmol) šķīdumu ūdenī (2,4 ml), maisa istabas temperatūrā 15 min., tad silda 60 °C temperatūrā 1 stundu. Reakcijas maisījumu atdzesē, atšķaida ar ūdeni, ekstrahē ar Et₂O divas reizes, apvienotos organiskus slāņus mazgā secīgi divas reizes ar 10 % Na₂SO₃ šķīdumu, ūdeni, pies. NaCl šķīdumu, tad žāvē virs Na₂SO₄ un ietvaicē. Atlikumu hromatografē uz silikagela (EtOAc-PE, 1:10-1:4), iegūst 1,05 g (56 %) produkta **68a**. ¹H-KMR (300 MHz, CDCl₃) δ 7.55 (dd, J = 8.6, 7.3 Hz, 1H), 6.62 (dd, J = 9.1, 2.7 Hz, 1H), 6.46 (ddd, J = 8.6, 2.7, 0.8 Hz, 1H), 4.88 (s, 1H).

terc-Butil(3-fluor-4-iodfenoksi)dimetilsilāns (52l)



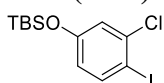
52l iegūst no 3-fluor-4-iodfenola (**68a**) (1,05 g, 4,41 mmol), imidazola (0,60 g, 8,82 mmol) un TBSCl (1,00 g, 6,62 mmol), izmantojot silāna **52a** iegūšanas metodi. Iegūst 1,51 g (97 %) produkta **52l**, bezkrāsaina eļļa. ¹H-KMR (300 MHz, CDCl₃) δ 7.53 (dd, J = 8.6, 7.7 Hz, 1H), 6.59 (dd, J = 9.5, 2.6 Hz, 1H), 6.45 (ddd, J = 8.6, 2.6, 0.7 Hz, 1H), 0.97 (s, 9H), 0.20 (s, 6H). GH-MS *m/z*: 352.0 M⁺.

3-Hlor-4-iodfenols (68b)¹³⁵



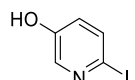
68b iegūst no 4-amino-3-hlorfenola (1,50 g, 8,33 mmol), NaNO₂ (0,60 g, 8,75 mmol) un KI (1,52 g, 9,17 mmol), izmantojot 3-fluor-4-iodfenola (**68a**) iegūšanas metodi. Iegūst 1,32 g (62 %) produkta **68b**. ¹H-KMR (300 MHz, CDCl₃) δ 7.66 (d, J = 8.6 Hz, 1H), 7.00 (d, J = 2.8 Hz, 1H), 6.51 (dd, J = 8.6, 2.8 Hz, 1H), 4.91 (s, 1H).

terc-Butil(3-hlor-4-iodfenoksi)dimetilsilāns (52m)



52m iegūst no 3-hlor-4-iodfenola (**68b**) (1,30 g, 5,11 mmol), imidazola (0,70 g, 10,2 mmol) un TBSCl (1,16 g, 7,66 mmol), izmantojot silāna **52a** iegūšanas metodi. Iegūst 1,78 g (95 %) produkta **52m**, bezkrāsaina eļļa. ¹H-KMR (300 MHz, CDCl₃) δ 7.64 (d, J = 8.6 Hz, 1H), 6.97 (d, J = 2.7 Hz, 1H), 6.49 (dd, J = 8.6, 2.7 Hz, 1H), 0.97 (s, 9H), 0.20 (s, 6H). GH-MS *m/z*: 368.0 M⁺.

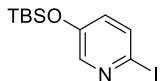
6-Iodpiridin-3-ols (70)⁹⁵



3-Hidroksipiridīna (**69**) (1,0 g, 10,52 mmol), NaI (1,58 g, 10,52 mmol) un NaOH (0,42 g, 10,51 mmol) šķīdumam metanolā (25 ml) 0 °C temperatūrā piepilina 13 % NaOCl šķīdumu ūdenī (0,63 ml, 10,51 mmol) un maisa šajā temperatūrā 2 stundas. Tad reakcijas maisījumam ļauj sasilt līdz istabas temperatūrai. Reakcijas maisījumu atšķaida ar 10 % Na₂SO₃ šķīdumu

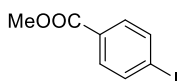
(5 ml), paskābina ar 1 N HCl līdz pH 6, ekstrahē 4 reizes ar EtOAc, organiskos slāņus apvieno, mazgā ar pies. NaCl šķīdumu, žāvē virs Na₂SO₄ un ietvaicē. Atlikumu hromatografē uz silikagela (EtOAc-PE, 1:4-1:2-1:1) un iegūst 0,39 g (17 %) produkta **70**. ¹H-KMR (300 MHz, DMSO-*d*₆) δ 10.82 (s, 1H), 7.84 (dt, *J* = 4.4, 1.7 Hz, 1H), 7.21 (ddd, *J* = 8.0, 4.4, 1.6 Hz, 1H), 7.14 (dt, *J* = 8.1, 1.7 Hz, 1H).

5-((terc-Butildimetsilsilik)oksi)-2-iodpiridīns (**52n**)¹³⁶



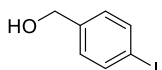
52n iegūst no 6-iodpiridīn-3-ola (**70**) (0,39 g, 1,76 mmol), imidazola (0,24 g, 3,53 mmol) un TBSCl (0,40 g, 2,65 mmol), izmantojot silānu **52a** iegūšanas metodi. Iegūst 0,59 g (99 %) produkta **52n**. ¹H-KMR (300 MHz, CDCl₃) δ 7.99 (dd, *J* = 4.5, 1.6 Hz, 1H), 7.11 (dd, *J* = 8.0, 4.5 Hz, 1H), 7.00 (dd, *J* = 8.0, 1.6 Hz, 1H), 1.07 (s, 9H), 0.29 (s, 6H).

Metil 4-iodbenzoāts (**52o**)¹³⁷



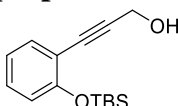
4-Iodbenzoskābes (**71**) (0,50 g, 2,02 mmol) šķīdumam metanolā (10 ml) pievieno konc. H₂SO₄ (0,54 ml, 10,0 mmol) un vāra maisījumu 9 stundas. Reakcijas maisījumu atdzesē, ietvaicē, atlikumu izlej ūdenī un ektstrahē ar EtOAc. Organisko slāni mazgā ar pies. NaHCO₃ šķīdumu, ūdeni, žāvē virs Na₂SO₄ un ietvaicē. Iegūst 0,49 g (93 %) produkta **52o**. ¹H-KMR (300 MHz, CDCl₃) δ 7.84 – 7.78 (m, 2H), 7.77 – 7.71 (m, 2H), 3.91 (s, 3H).

(4-Iodfenil)metanols (**52q**)¹³⁸



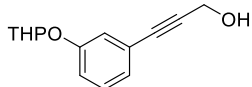
4-Iodbenzoskābes (**71**) (0,30 g, 1,22 mmol) šķīdumam THF (2,5 ml) pievieno 1 M BH₃ šķīdumu THF (2,50 ml, 2,50 mmol) un maisa istabas temperatūrā 18 stundas. Reakcijas maisījumam pievieno 2 N HCl šķīdumu un maisījumu ektstrahē ar DCM trīs reizes. Organiskos slāņus apvieno, mazgā ar pies. NaHCO₃ šķīdumu, pies. NaCl šķīdumu, žāvē virs Na₂SO₄ un ietvaicē. Atlikumu hromatografē uz *Biotage* apgrieztās fāzes kolonnas (MeCN-ūdens, 5-100 %), iegūst 70 mg (24 %) produkta **52q**. ¹H-KMR (300 MHz, CDCl₃) δ 7.72 – 7.65 (m, 2H), 7.16 – 7.08 (m, 2H), 4.65 (d, *J* = 4.8 Hz, 1H), 1.69 – 1.61 (m, 1H).

3-(2-((terc-Butildimetsilsilik)oksi)fenil)prop-2-īn-1-ols (**54a**)¹³⁹



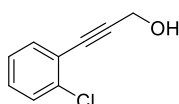
terc-Butil(2-iodfenoksi)dimetsilsilāna (**52a**) (0,80 g, 2,39 mmol) un TEA (3,35 ml, 23,9 mmol) šķīdumu DMF (3 ml) degazē ar argonu, tad pievieno propargilspirtu (0,28 ml, 4,79 mmol), Pd(PPh₃)₄ (83 mg, 0,07 mmol) un CuI (27 mg, 0,14 mmol), un maisa 7 stundas istabas temperatūrā. Reakcijas maisījumu ietvaicē, atšķaida ar ūdeni un ektstrahē ar EtOAc. Ekstraktu ietvaicē, atlikumu hromatografē uz silikagela (EtOAc-PE, 1:4) un iegūst 0,36 g (45 %) produkta **54a**. ¹H-KMR (300 MHz, CDCl₃) δ 7.37 (dd, *J* = 7.6, 1.7 Hz, 1H), 7.20 (td, *J* = 8.1, 1.7 Hz, 1H), 6.90 (td, *J* = 7.6, 1.1 Hz, 1H), 6.82 (dd, *J* = 8.1, 1.1 Hz, 1H), 4.50 (d, *J* = 6.2 Hz, 2H), 1.53 (t, *J* = 6.2 Hz, 1H), 1.04 (s, 9H), 0.23 (s, 6H).

3-((Tetrahidro-2H-piran-2-il)oksi)fenil)prop-2-īn-1-ols (54b)



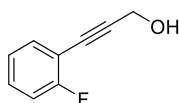
54b iegūst no bromīda **52b** (0,60 g, 2,33 mmol), TEA (3,27 ml, 23,3 mmol), propargilspirta (0,28 ml, 4,67 mmol), Pd(PPh₃)₄ (81 mg, 0,07 mmol) un CuI (27 mg, 0,14 mmol), izmantojot spirta **54a** iegūšanas metodi. Reakcijas maisījumu silda 9 stundas 70 °C temperatūrā. Iegūst 0,30 g (55 %) produkta **54b**, dzeltena eļļa. ¹H-KMR (300 MHz, CDCl₃) δ 7.21 (t, *J* = 7.9 Hz, 1H), 7.15 (dd, *J* = 2.5, 1.3 Hz, 1H), 7.06 (dt, *J* = 7.7, 1.0 Hz, 1H), 7.02 (ddd, *J* = 8.2, 2.5, 1.1 Hz, 1H), 5.40 (t, *J* = 3.2 Hz, 1H), 4.49 (d, *J* = 6.2 Hz, 2H), 3.89 (ddd, *J* = 11.3, 9.4, 3.2 Hz, 1H), 3.65 – 3.66 (m, 1H), 2.05 – 1.89 (m, 1H), 1.91 – 1.76 (m, 1H), 1.73 – 1.55 (m, 3H), 1.61 (t, *J* = 6.2 Hz, 1H). AEŠH-MS (ESI) *m/z*: 233.1 [M+H]⁺.

3-(2-Hlorfenil)prop-2-īn-1-ols (54d)¹⁴⁰



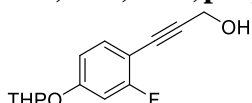
54d iegūst no 1-hlor-2-iodbenzola (**52f**) (0,80 g, 3,35 mmol), TEA (4,70 ml, 33,5 mmol), propargilspirta (0,40 ml, 6,71 mmol), Pd(PPh₃)₄ (0,12 g, 0,10 mmol) un CuI (60 mg, 0,20 mmol), izmantojot spirta **54a** iegūšanas metodi. Iegūst 0,55 g (98 %) produkta **54d**. ¹H-KMR (300 MHz, CDCl₃) δ 7.51 – 7.44 (m, 1H), 7.44 – 7.36 (m, 1H), 7.30 – 7.17 (m, 2H), 4.56 (d, *J* = 6.2 Hz, 2H), 1.69 (t, *J* = 6.2 Hz, 1H).

3-(2-Fluorfenil)prop-2-īn-1-ols (54e)¹⁴¹



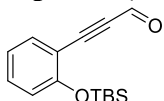
54e iegūst no 1-fluor-2-iodbenzola (**52g**) (0,39 g, 1,76 mmol), TEA (2,46 ml, 17,6 mmol), propargilspirta (0,21 ml, 3,51 mmol), Pd(PPh₃)₄ (61 mg, 0,05 mmol) un CuI (20 mg, 0,11 mmol), izmanotjot spirta **54a** iegūšanas metodi. Iegūst 0,24 g (91 %) produkta **54e**. ¹H-KMR (300 MHz, CDCl₃) δ 7.43 (td, *J* = 7.6, 1.9 Hz, 1H), 7.36 – 7.26 (m, 1H), 7.15 – 7.01 (m, 2H), 4.54 (d, *J* = 6.2 Hz, 1H), 1.70 (t, *J* = 6.2 Hz, 1H).

3-(2-Fluor-4-((tetrahidro-2H-piran-2-il)oksi)fenil)prop-2-īn-1-ols (54f)



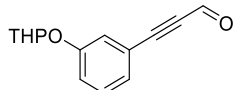
54f iegūst no bromīda **52h** (0,49 g, 1,78 mmol), TEA (1,24 ml, 8,91 mmol), propargilspirta (0,21 ml, 3,56 mmol), Pd(PPh₃)₄ (103 mg, 0,09 mmol) un CuI (10 mg, 0,05 mmol), izmantojot spirta **54a** iegūšanas metodi. Reakcijas maisījumu silda 24 stundas 70 °C temperatūrā. Iegūst 0,11 g (25 %) produkta **54f**, dzeltena eļļa. ¹H-KMR (300 MHz, CDCl₃) δ 7.32 (t, *J* = 8.6 Hz, 1H), 6.93 – 6.72 (m, 2H), 5.40 (t, *J* = 3.2 Hz, 1H), 4.51 (d, *J* = 6.0 Hz, 2H), 3.91 – 3.77 (m, 1H), 3.67 – 3.57 (m, 1H), 2.06 – 1.51 (m, 7 H). AEŠH-MS (ESI) *m/z*: 251.2 [M+H]⁺.

3-((terc-Butildimetsilsilik)oksi)fenil)propināls (55a)



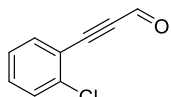
Spirta **54a** (0,28 g, 1,06 mmol) šķīdumam DCM (1 ml) pievieno MnO₂ (0,93 g, 10,7 mmol) un iegūto suspensiju maisa istabas temperatūrā 7 dienas. Maisījumunofiltrē, nogulsnes mazgā ar DCM un filtrātu ietvaicē. Atlikumu hromatografē uz silikagela (EtOAc-PE, 1:10) un iegūst 0,18 g (43 %) produkta **55a**, brūna eļļa. ¹H-KMR (300 MHz, CDCl₃) δ 9.42 (s, 1H), 7.50 (dd, *J* = 7.6, 1.8 Hz, 1H), 7.36 (ddd, *J* = 8.3, 7.4, 1.8 Hz, 1H), 6.97 (td, *J* = 7.6, 1.0 Hz, 1H), 6.90 – 6.84 (m, 1H), 1.05 (s, 9H), 0.26 (s, 6H). GH-MS *m/z*: 203.1 [M-C₄H₉]⁺.

3-((Tetrahidro-2*H*-piran-2-il)oksi)fenil)propināls (**55b**)



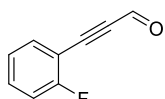
Spirta **54b** (0,30 g, 1,29 mmol) šķīdumam DCM (1,5 ml) pievieno MnO₂ (1,93 g, 12,9 mmol) un suspensiju maisa istabas temperatūrā 4 dienas. Maisījumunofiltrē, nogulsnes mazgā ar DCM, filtrātu ietvaicē. Atlikumu hromatografē uz silikagela (EtOAc-PE, 1:10), iegūst 0,14 g (46 %) produkta **55b**, brūna eļļa. ¹H-KMR (300 MHz, CDCl₃) δ 9.42 (s, 1H), 7.36 – 7.21 (m, 3H), 7.18 (ddd, *J* = 8.2, 2.5, 1.4 Hz, 1H), 5.42 (t, *J* = 3.2 Hz, 1H), 3.87 (ddd, *J* = 11.4, 9.5, 3.2 Hz, 1H), 3.62 (dtd, *J* = 11.4, 4.1, 1.5 Hz, 1H), 2.09 – 1.91 (m, 1H), 1.93 – 1.81 (m, 1H), 1.77 – 1.55 (m, 4H). AEŠH-MS (ESI) *m/z*: 231.1 [M+H]⁺.

3-(2-Hlorfenil)propināls (**55d**)¹⁴²



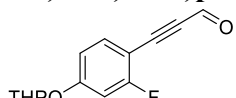
Spirta **54d** (0,55 g, 3,30 mmol) šķīdumam DCM (12 ml) piepilina 15 % Dessa-Martina perjodināna šķīdumu DCM (12,1 ml, 4,29 mmol) un maisa 1 stundu istabas temperatūrā. Reakcijas maisījumu atšķaida ar DCM, maisa 10 min. ar 10 % Na₂S₂O₅ šķīdumu (10 ml), tad organisko slāni atdala, mazgā ar pies. NaHCO₃ šķīdumu, pies. NaCl šķīdumu, žāvē virs Na₂SO₄ un ietvaicē. Atlikumu hromatografē uz silikagela (EtOAc-PE, 1:9), iegūst 0,31 g (94 %) produkta **55d**. ¹H-KMR (300 MHz, CDCl₃) δ 9.49 (s, 1H), 7.63 (dd, *J* = 7.7, 1.6 Hz, 1H), 7.48 (dd, *J* = 8.1, 1.5 Hz, 1H), 7.42 (ddd, *J* = 8.1, 7.7, 1.6 Hz, 1H), 7.30 (td, *J* = 7.5, 1.5 Hz, 1H).

3-(2-Fluorfenil)propināls (**55e**)¹⁴³



55e iegūst no spirta **54e** (0,24 g, 1,60 mmol) un 15 % Dessa-Martina perjodināna DCM (4,97 ml, 1,76 mmol), izmantojot aldehīda **55d** iegūšanas metodi. Iegūst 0,19 g (80 %) produkta **55e**. ¹H-KMR (300 MHz, CDCl₃) δ 9.45 (s, 1H), 7.58 (td, *J* = 7.2, 1.8 Hz, 1H), 7.54 – 7.44 (m, 1H), 7.19 (td, *J* = 7.6, 1.0 Hz, 1H), 7.15 (t, *J* = 8.8 Hz, 1H).

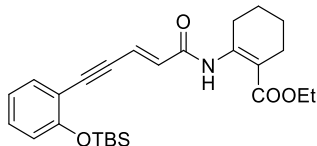
3-(2-Fluor-4-((tetrahidro-2*H*-piran-2-il)oksi)fenil)propināls (**55f**)



55f iegūst no spirta **54f** (106 mg, 0,42 mmol) un 15 % Dessa-Martina perjodināna DCM (1,38 ml, 0,55 mmol), izmantojot aldehīda **55d** iegūšanas metodi. Iegūst 88 mg (84 %) produkta **55f**, brūna eļļa. ¹H-KMR (300 MHz, CDCl₃) δ 9.42 (s, 1H), 7.54 – 7.41 (m, 1H), 6.92 – 6.81 (m, 2H), 5.46 (t, *J* = 3.0 Hz, 1H), 3.81 (ddd, *J* = 11.2, 10.0, 3.0 Hz, 1H), 3.63 (dtd,

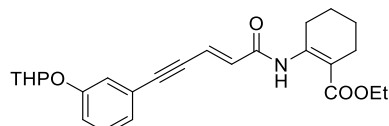
$J = 11.2, 4.1, 1.4$ Hz, 1H), 2.04 – 1.80 (m, 2H), 1.82 – 1.55 (m, 4H). AEŠH-MS (ESI) m/z : 249.1 [M+H]⁺.

(E)-2-(5-((terc-Butildimetsilsil)oksi)fenil)pent-2-ēn-4-īnamido)cikloheks-1-ēn-1-karbonskābes etilesteris (56a)



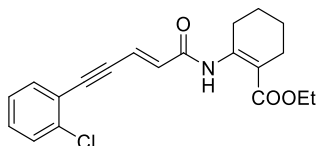
56a iegūst no aldehīda **55a** (0,14 g, 0,54 mmol), fosfonija sāls **24** (0,36 g, 0,65 mmol) un *t*BuOK (60 mg, 0,54 mmol), izmantojot alkēna **26a** iegūšanas metodi. Iegūst 0,21 g (65 %) produkta **56a**, brūna eļļa. ¹H-KMR (300 MHz, CDCl₃) δ 11.87 (s, 1H), 7.39 (dd, $J = 7.7, 1.7$ Hz, 1H), 7.25 – 7.18 (m, 1H), 6.96 (d, $J = 15.4$ Hz, 1H), 6.96 – 6.90 (m, 1H), 6.83 (d, $J = 7.8$ Hz, 1H), 6.40 (d, $J = 15.4$ Hz, 1H), 4.20 (q, $J = 7.1$ Hz, 2H), 3.12 – 2.97 (m, 2H), 2.40 – 2.27 (m, 2H), 1.69 – 1.57 (m, 4H), 1.31 (t, $J = 7.1$ Hz, 3H), 1.05 (s, 9H), 0.23 (s, 6H). AEŠH-MS (ESI) m/z 454.3.

(E)-2-(5-((Tetrahidro-2H-piran-2-il)oksi)fenil)pent-2-ēn-4-īnamido)cikloheks-1-ēn-1-karbonskābes etilesteris (56b)



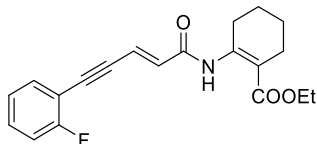
56b iegūst no aldehīda **55b** (0,16 g, 0,70 mmol), fosfonija sāls **24** (0,46 g, 0,83 mmol) un *t*BuOK (78 mg, 0,70 mmol), izmantojot alkēna **26a** iegūšanas metodi. Iegūst 0,24 g (87 %) produkta **56b**, dzeltena eļļa (satur ~6 % metil karboksilāta analoga, AEŠH-MS (ESI) m/z : 410.3 [M+H]⁺). ¹H-KMR (300 MHz, CDCl₃) δ 11.88 (s, 1H), 7.24 (t, $J = 7.9$ Hz, 1H), 7.20 – 7.16 (m, 1H), 7.10 (dt, $J = 7.6, 1.1$ Hz, 1H), 7.05 (ddd, $J = 8.2, 2.5, 1.1$ Hz, 1H), 6.93 (d, $J = 15.4$ Hz, 1H), 6.44 (d, $J = 15.4$ Hz, 1H), 5.42 (t, $J = 3.3$ Hz, 1H), 4.20 (q, $J = 7.1$ Hz, 2H), 3.90 (ddd, $J = 11.3, 9.3, 3.3$ Hz, 1H), 3.69 – 3.56 (m, 1H), 3.10 – 2.97 (m, 2H), 2.39 – 2.29 (m, 2H), 2.08 – 1.87 (m, 1H), 1.90 – 1.82 (m, 2H), 1.73 – 1.57 (m, 7H), 1.31 (t, $J = 7.1$ Hz, 3H). AEŠH-MS (ESI) m/z : 424.3 [M+H]⁺.

(E)-2-(5-(2-Hlorfenil)pent-2-ēn-4-īnamido)cikloheks-1-ēn-1-karbonskābes etilesteris (56d)



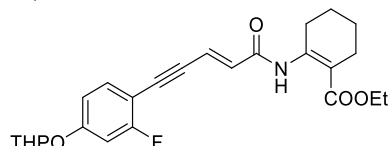
56d iegūst no aldehīda **55d** (0,11 g, 0,64 mmol), fosfonija sāls **24** (0,39 g, 0,71 mmol) un *t*BuOK (72 mg, 0,64 mmol), izmantojot alkēna **26a** iegūšanas metodi. Iegūst 0,18 g (79 %) produkta **56d**, dzeltena eļļa (satur ~4 % metil karboksilāta analoga, ¹H-KMR (300 MHz, CDCl₃) δ 3.75 (s) un ~6 % Z-izomēra, AEŠH-MS (ESI) m/z : 358.3 [M+H]⁺, ¹H-KMR (300 MHz, CDCl₃) δ 6.31 (d, $J=11.5$ Hz), 6.23 (d, $J=11.5$ Hz)). ¹H-KMR (300 MHz, CDCl₃) δ 11.89 (s, 1H), 7.55 – 7.45 (m, 1H), 7.47 – 7.37 (m, 1H), 7.35 – 7.18 (m, 2H), 6.98 (d, $J = 15.4$ Hz, 1H), 6.50 (d, $J = 15.4$ Hz, 1H), 4.20 (q, $J = 7.1$ Hz, 2H), 3.14 – 2.97 (m, 2H), 2.40 – 2.28 (m, 2H), 1.72 – 1.56 (m, 4H), 1.31 (t, $J = 7.1$ Hz, 3H). AEŠH-MS (ESI) m/z : 358.2 [M+H]⁺.

(E)-2-(5-(2-Fluorfenil)pent-2-ēn-4-īnamido)cikloheks-1-ēn-1-karbonskābes etilesteris (56e)



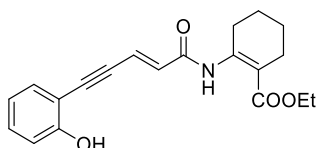
56e iegūst no aldehīda **55e** (0,10 g, 0,68 mmol), fosfonija sāls **24** (0,45 g, 0,81 mmol) un *t*BuOK (76 mg, 0,68 mmol), izmantojot alkēna **26a** iegūšanas metodi. Iegūst 0,20 g (87 %) produkta **56e**, dzeltena cieta viela (satur ~5 % metil karboksilāta analoga, AEŠH-MS (ESI) *m/z*: 328.2 [M+H]⁺ un ~8 % Z-izomēra, AEŠH-MS (ESI) *m/z*: 342.2 [M+H]⁺, ¹H-KMR (300 MHz, CDCl₃) δ 6.29 (d, *J* = 11.5 Hz), 6.22 (d, *J* = 11.5 Hz)). ¹H-KMR (300 MHz, CDCl₃) δ 11.90 (s, 1H), 7.46 (td, *J* = 7.4, 1.8 Hz, 1H), 7.35 (tdd, *J* = 7.8, 5.3, 1.8 Hz, 1H), 7.17 – 7.06 (m, 2H), 6.96 (d, *J* = 15.4 Hz, 1H), 6.49 (d, *J* = 15.4 Hz, 1H), 4.20 (q, *J* = 7.1 Hz, 2H), 3.12 – 2.98 (m, 2H), 2.41 – 2.29 (m, 2H), 1.72 – 1.56 (m, 4H), 1.31 (t, *J* = 7.1 Hz, 3H). AEŠH-MS (*m/z*: 342.4 [M+H]⁺).

(E)-2-(5-(2-Fluor-4-((tetrahidro-2*H*-piran-2-il)oksi)fenil)pent-2-ēn-4-īnamido)cikloheks-1-ēn-1-karbonskābes etilesteris (56f)



56f iegūst no aldehīda **55f** (85 mg, 0,34 mmol), fosfonija sāls **24** (0,23 g, 0,41 mmol) un *t*BuOK (42 mg, 0,38 mmol), izmantojot alkēna **26a** iegūšanas metodi. Iegūst 0,14 g (93 %) produkta **56f**, dzeltena cieta viela (satur ~3 % metil karboksilāta analoga, AEŠH-MS (ESI) *m/z*: 428.3 [M+H]⁺, ¹H-KMR (300 MHz, CDCl₃) δ 3.75 (s)) un ~7 % Z-izomēra, AEŠH-MS (ESI) *m/z*: 442.3 [M+H]⁺, ¹H-KMR (300 MHz, CDCl₃) δ 6.27 (d, *J* = 11.5 Hz), 6.16 (d, *J* = 11.5 Hz)). ¹H-KMR (300 MHz, CDCl₃) δ 11.87 (s, 1H), 7.39 – 7.31 (m, 1H), 6.95 (d, *J* = 15.4 Hz, 1H), 6.88 – 6.75 (m, 2H), 6.44 (d, *J* = 15.4 Hz, 1H), 5.42 (t, *J* = 3.1 Hz, 1H), 4.20 (q, *J* = 7.1 Hz, 2H), 3.84 (ddd, *J* = 11.1, 9.6, 3.1 Hz, 1H), 3.67 – 3.56 (m, 1H), 3.09 – 2.98 (m, 2H), 2.40 – 2.27 (m, 2H), 2.07 – 1.80 (m, 1H), 1.88 – 1.83 (m, 2H), 1.77 – 1.56 (m, 7H), 1.31 (t, *J* = 7.1 Hz, 3H). AEŠH-MS (ESI) *m/z*: 442.3 [M+H]⁺.

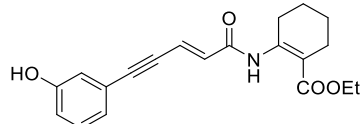
(E)-2-(5-(2-Hidroksifenil)pent-2-ēn-4-īnamido)cikloheks-1-ēn-1-karbonskābes etilesteris (57a)



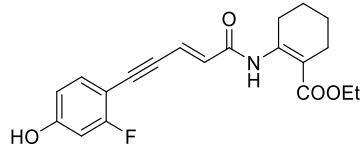
TBS-ētera **56a** (0,19 g, 0,42 mmol) šķīdumam THF (4 ml), dzesējot reakcijas maisījumu ledus vannā, piepilina 1 M tetra-*n*-butilammonija fluorīda šķīdumu THF (0,46 ml, 0,46 mmol) un maisa 10 min. istabas temperatūrā. Reakcijas maisījumu atšķaida ar EtOAc, mazgā ar ūdeni, pies. NH₄Cl šķīdumu, pies. NaCl šķīdumu, žāvē virs Na₂SO₄ un ietvaicē. Atlikumu hromatografē uz silikagela (EtOAc-PE, 1:4), iegūst 0,12 g (84 %) produkta **57a**, dzeltena cieta viela (satur metil karboksilāta analoga ~4 %, AEŠH-MS (ESI) *m/z*: 326.3 [M+H]⁺, ¹H-KMR (300 MHz, CDCl₃) δ 3.76 (s)). ¹H-KMR (300 MHz, CDCl₃) δ 11.94 (s, 1H), 7.38 (dd, *J* = 7.7, 1.3 Hz, 1H), 7.36 – 7.26 (m, 1H), 7.06 – 6.86 (m, 3H), 6.49 (d, *J* = 15.5 Hz, 1H), 5.71

(s, 1H), 4.22 (q, $J = 7.1$ Hz, 2H), 3.13 – 3.00 (m, 2H), 2.42 – 2.31 (m, 2H), 1.75 – 1.58 (m, 4H), 1.33 (t, $J = 7.1$ Hz, 3H). AEŠH-MS (ESI) m/z : 340.2 [M+H]⁺.

(E)-2-(5-(3-Hidroksifenil)pent-2-ēn-4-īnamido)cikloheks-1-ēn-1-karbonskābes etilesteris (57b)

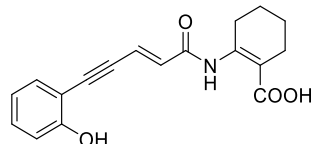


(E)-2-(5-(2-Fluor-4-hidroksifenil)pent-2-ēn-4-īnamido)cikloheks-1-ēn-1-karbonskābes etilesteris (57f)



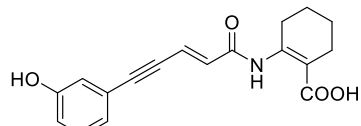
57f iegūst no THP-ētera **56f** (0,14 g, 0,32 mmol) un *p*-toluolsulfoskābes (3 mg, 0,02 mmol), izmantojot savienojuma **57b** iegūšanas metodi. Iegūst 92 mg (81 %) produkta **57f**, dzeltena cieta viela (satur ~5 % metil karboksilāta analoga, AEŠH-MS (ESI) m/z : 344.2 [M+H]⁺, ¹H-KMR (300 MHz, CDCl₃) δ 3.76 (s) un ~4 % Z-izomēra, AEŠH-MS (ESI) m/z : 358.2 [M+H]⁺, ¹H-KMR (300 MHz, CDCl₃) δ 6.29 (d, $J = 11.5$ Hz), 6.17 (d, $J = 11.5$ Hz)). ¹H-KMR (300 MHz, CDCl₃) δ 11.89 (s, 1H), 7.31 (t, $J = 8.1$ Hz, 1H), 6.94 (d, $J = 15.4$ Hz, 1H), 6.66 – 6.69 (m, 2H), 6.42 (d, $J = 15.4$ Hz, 1H), 6.06 (s, 1H), 4.21 (q, $J = 7.1$ Hz, 2H), 3.09 – 2.99 (m, 2H), 2.40 – 2.29 (m, 2H), 1.71 – 1.55 (m, 4H), 1.32 (t, $J = 7.1$ Hz, 3H). AEŠH-MS (ESI) m/z : 358.2 [M+H]⁺.

(E)-2-(5-(2-Hidroksifenil)pent-2-ēn-4-īnamido)cikloheks-1-ēn-1-karbonskābe (58a)



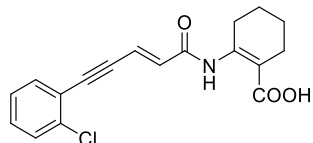
171.0, 161.9, 158.8, 149.9, 133.5, 133.2, 131.2, 121.9, 119.2, 115.7, 108.9, 107.0, 95.1, 90.3, 28.1, 24.5, 21.5, 21.3. AEŠH-MS (ESI) m/z : 310.1 [M-H]⁻.

(E)-2-(5-(3-Hidroksifenil)pent-2-ēn-4-īnamido)cikloheks-1-ēn-karbonskābe (58b)



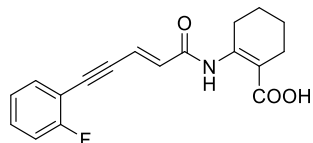
58b iegūst no etilestera **57b** (0,17 g, 0,50 mmol) un 2 N NaOH (0,75 ml, 1,50 mmol), izmantojot karbonskābes **27a** iegūšanas metodi. Iegūst 79 mg (51 %) produkta **58b**, dzeltena cieta viela. ¹H-KMR (400 MHz, DMSO-*d*6) δ 11.75 (b s, 1H), 9.80 (b s, 1H), 7.22 (t, *J* = 7.9 Hz, 1H), 6.95 (dt, *J* = 7.7, 1.1 Hz, 1H), 6.89-6.83 (m, 2H), 6.82 (d, *J* = 15.5 Hz, 1H), 6.55 (d, *J* = 15.5 Hz, 1H), 2.89-2.82 (m, 2H), 2.30-2.22 (m, 2H), 1.63-1.50 (m, 4H). ¹³C-KMR (100 MHz, DMSO-*d*6) δ 171.0, 161.8, 157.4, 149.6, 134.7, 130.1, 122.6, 122.3, 121.3, 117.9, 117.2, 107.3, 97.2, 86.4, 28.1, 24.6, 21.5, 21.3. AIMS (ESI) m/z : aprēķināts C₁₈H₁₈NO₄ [M+H]⁺ 312.1230, atrasts 312.1242.

(E)-2-(5-(2-Hlorfenil)pent-2-en-4-īnamido)cikloheks-1-ēn-karbonskābe (58d)



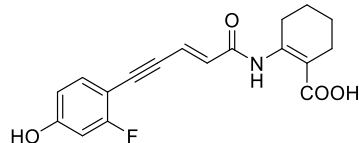
58d iegūst no etilestera **56d** (0,18 g, 0,50 mmol) un 2 N NaOH (0,75 ml, 1,50 mmol), izmantojot karbonskābes **27a** iegūšanas metodi. Iegūst 63 mg (38 %) produkta **58d**, dzeltena cieta viela. ¹H-KMR (400 MHz, DMSO-*d*6) δ 12.70 (b s, 1H), 11.67 (s, 1H), 7.66 (dd, *J* = 7.4, 1.7 Hz, 1H), 7.60 (dd, *J* = 7.8, 1.1 Hz, 1H), 7.48 (td, *J* = 7.8, 1.7 Hz, 1H), 7.41 (td, *J* = 7.4, 1.1 Hz, 1H), 6.88 (d, *J* = 15.5 Hz, 1H), 6.63 (d, *J* = 15.5 Hz, 1H), 2.90-2.80 (m, 2H), 2.31-2.21 (m, 2H), 1.64-1.48 (m, 4H). ¹³C-KMR (100 MHz, DMSO-*d*6) δ 170.9, 161.5, 149.5, 135.6, 134.8, 133.8, 131.2, 129.5, 127.5, 121.3, 120.7, 107.5, 93.0, 91.6, 28.1, 24.6, 21.5, 21.3. Elementanalīze: aprēķināts C₁₈H₁₆ClNO₃: C 65.56, H 4.89, N 4.25; atrasts: C 65.04, H 4.91, N 4.22. AEŠH-MS (ESI) m/z : 328.2 [M-H]⁻.

(E)-2-(5-(2-Fluorfenil)pent-2-ēn-4-īnamido)cikloheks-1-ēn-karbonskābe (58e)



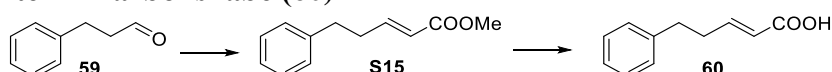
58e iegūst no etilestera **56e** (0,20 g, 0,59 mmol) un 2 N NaOH (0,88 ml, 1,76 mmol), izmantojot karbonskābes **27a** iegūšanas metodi. Iegūst 70 mg (38 %) produkta **58e**, dzeltena cieta viela. ¹H-KMR (300 MHz, CDCl₃) δ 11.61 (s, 1H), 10.23 (b s, 1H), 7.52-7.44 (m, 1H), 7.40-7.30 (m, 1H), 7.16-7.06 (m, 2H), 7.00 (d, *J* = 15.5 Hz, 1H), 6.45 (d, *J* = 15.5 Hz, 1H), 3.13-3.04 (m, 2H), 2.45-2.36 (m, 2H), 1.75-1.58 (m, 4H). ¹³C-KMR (100 MHz, CDCl₃) δ 174.6, 162.9 (d, *J*_{CF} = 253.6 Hz), 162.8, 155.1, 134.1, 133.9, 131.2 (d, *J*_{CF} = 8.1 Hz), 124.3 (d, *J*_{CF} = 3.8 Hz), 123.2, 115.8 (d, *J*_{CF} = 20.8 Hz), 111.2 (d, *J*_{CF} = 15.6 Hz), 104.9, 91.6 (d, *J*_{CF} = 3.2 Hz), 91.3, 29.1, 24.6, 21.9, 21.7. Elementanalīze: aprēķināts C₁₈H₁₆FNO₃: C 69.00, H 5.15, N 4.47; atrasts: C 68.28, H 5.08, N 4.35. AEŠH-MS (ESI) m/z : 312.4 [M-H]⁻.

(E)-2-(5-(2-Fluor-4-hidroksifenil)pent-2-ēn-4-īnamido)cikloheks-1-ēn-karbonskābe (58f)



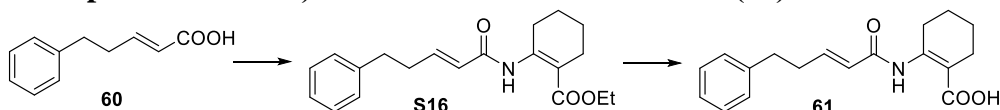
58f iegūst no etilesterā **57f** (92 mg, 0,26 mmol) un 2 N NaOH (0,39 ml, 0,77 mmol), izmantojot karbonskābes **27a** iegūšanas metodi. Iegūst 32 mg (38 %) produkta **58f**, balta cieta viela. ^1H -KMR (400 MHz, DMSO-*d*6) δ 12.67 (b s, 1H), 11.70 (s, 1H), 10.60 (b s, 1H), 7.43-7.38 (m, 1H), 6.83 (d, $J = 15.5$ Hz, 1H), 6.70-6.65 (m, 2H), 6.49 (d, $J = 15.5$ Hz, 1H), 2.89-2.83 (m, 2H), 2.29-2.23 (m, 2H), 1.62-1.50 (m, 4H). ^{13}C -KMR (100 MHz, DMSO-*d*6) δ 171.0, 163.1 (d, $J_{\text{CF}} = 249.8$ Hz), 161.8, 160.8 (d, $J_{\text{CF}} = 11.8$ Hz), 149.7, 134.6 (d, $J_{\text{CF}} = 2.9$ Hz), 133.8, 121.4, 112.5 (d, $J_{\text{CF}} = 2.6$ Hz), 107.2, 103.1 (d, $J_{\text{CF}} = 22.9$ Hz), 100.0 (d, $J_{\text{CF}} = 15.8$ Hz), 91.4, 90.1 (d, $J_{\text{CF}} = 2.9$ Hz), 28.2, 24.6, 21.5, 21.3. Elementanalīze: aprēķināts $\text{C}_{18}\text{H}_{16}\text{FNO}_4$: C 65.65, H 4.90, N 4.25; atrasts: C 65.29, H 4.83, N 4.22. AEŠH-MS (ESI) *m/z*: 328.1 [M-H]⁻.

(E)-5-Fenilpentēn-2-karbonskābe (60)¹⁴⁴



5-Fenilpent-2-ēnskābes metilesteris (S15). Metil 2-(dimetoksifosforil)acetāta (0,63 ml, 4,45 mmol) šķīdumam DMSO (2,5 ml) pievieno *t*BuOK (0,46 g, 4,10 mmol) un maisa 10 min. istabas temperatūrā. Reakcijas maisījumam pievieno 3-fenilpropanālu (**59**) (0,50 g, 3,73 mmol) un turpina maisīšanu 1 stundu. Reakcijas maisījumu atšķaida ar ūdeni un esktrahē ar EtOAc, organisko slāni mazgā ar pies. NaCl šķīdumu, žāvē virs Na_2SO_4 un ietvaicē. Atlikumu hromatografē uz silikagela (EtOAc-PE, 1:7) un iegūst 0,27 g (38 %) produkta **S15** *E* un *Z* izomēru maisījumu attiecībā 1:0,25 (KMR), bezkrāsaina ēlla. ^1H -KMR (300 MHz, CDCl_3) δ 7.34 – 7.11 (m, 5H), 7.01 (dt, $J = 15.7, 6.8$ Hz, 1H), 5.85 (dt, $J = 15.7, 1.4$ Hz, 2H), 3.72 (s, 3H), 2.84 – 2.71 (m, 2H), 2.60 – 2.46 (m, 2H). *(E)-5-Fenilpentēn-2-karbonskābe (60).* Iepriekšējā stadijā iegūto **S15** (0,27 g, 1,42 mmol) izšķīdina THF (1,5 ml) un MeOH (1 ml) maisījumā, pievieno 2 N NaOH (2,5 ml, 5,00 mmol) un maisa istabas temperatūrā 4 stundas. Reakcijas maisījumu ietvaicē, atlikumu izšķīdina ūdenī un paskābina ar 1 N HCl līdz pH 2. Maisījumu ekstrahē ar DCM, ekstraktu žāvē virs Na_2SO_4 un ietvaicē. Atlikumu hromatografē uz *Biotope* apgrieztās fāzes kolonnas (MeCN-ūdens, 20-100 %) un iegūst 0,18 g produkta **60** *E* un *Z* izomēru maisījuma veidā attiecībā 1:0,21 (KMR) (61 %), balta cieta viela. ^1H -KMR (300 MHz, CDCl_3) δ 11.00 (b s, 1H), 7.52 – 6.88 (m, 6H), 5.86 (d, $J = 15.6$ Hz, 1H), 2.87 – 2.72 (m, 2H), 2.66 – 2.49 (m, 2H).

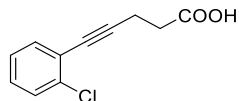
(E)-2-(5-Fenilpent-2-ēnamido)cikloheks-1-ēn-1-karbonskābe (61)



(E)-2-(5-Fenilpent-2-ēnamido)cikloheks-1-ēn-1-karbonskābes etilesteris (S16). Karbonskābes **60** (0,18 g, 1,02 mmol) šķīdumam DCM (2 ml) pievieno DMF katalītiskā daudzumā (1 pilienu), piepilina oksalilhlorīdu (0,26 ml, 3,06 mmol) un maisa 40 min. istabas temperatūrā. Reakcijas maisījumu ietvaicē, atlikumu izšķīdina DCM (2 ml) un šķīdumam 0 °C temperatūrā argona atmosfērā 5 min. laikā piepilina amīna **23** (0,26 g, 1,54 mmol) un

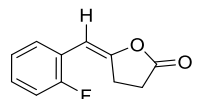
TEA (0,14 ml, 1,00 mmol) maisījumu DCM (1 ml). Reakcijas maisījumu maisa istabas temperatūrā 40 min., atšķaida ar DCM, secīgi mazgā ar pies. NH₄Cl šķīdumu un pies. NaCl šķīdumu, žāvē virs Na₂SO₄ un ietvaicē. Atlikumu hromatografē uz silikagela (EtOAc-PE, 1:10-1:6) un iegūst 0,21 g jēlprodukta **S16**, bezkrāsaina eļļa. ¹H-KMR (300 MHz, CDCl₃) δ 11.71 (s, 1H), 7.33 – 7.16 (m, 5H), 6.92 (dt, *J* = 15.3, 6.8 Hz, 1H), 5.92 (dt, *J* = 15.3, 1.5 Hz, 1H), 4.19 (q, *J* = 7.1 Hz, 1H), 3.09 – 2.98 (m, 2H), 2.85 – 2.69 (m, 2H), 2.59 – 2.45 (m, 2H), 2.39 – 2.25 (m, 2H), 1.73 – 1.56 (m, 4H), 1.30 (t, *J* = 7.1 Hz, 3H). AEŠH-MS (ESI) *m/z*: 328.4 [M+H]⁺. (*E*)-2-(5-Fenilpent-2-ēnamido)cikloheks-1-ēn-1-karbonskābe (**61**). Iepriekšējā stadijā iegūtā jēlprodukta **S16** šķīdumam THF (2 ml) un EtOH (1 ml) maisījumā pievieno 2 N NaOH (0,92 ml, 1,84 mmol) šķīdumu un maisa istabas temperatūrā 16 stundas, tad turpina maisīšanu 5 stundas 50 °C temperatūrā. Reakcijas maisījumu atdzesē un paskābina ar 1 N HCl līdz pH 4. Maisījumu ietvaicē, aplej ar ūdeni, ekstrahē ar DCM, ekstraktu žāvē virs Na₂SO₄ un ietvaicē. Atlikumu hromatografē uz silikagela (MeOH-DCM, 1:20) un iegūst jēlproduktu, ko aplej ar EtOAc-PE maisījumu (1:4). Nogulsnesnofiltrē, žāvē vakuumā un iegūst 44 mg (14 % no karbonskābes **60**) produkta **61**, balta cieta viela. ¹H-KMR (300 MHz, CDCl₃) δ 11.47 (s, 1H), 10.40 (b s, 1H), 7.33 – 7.25 (m, 2H), 7.23 – 7.16 (m, 3H), 6.93 (dt, *J* = 15.3, 6.9 Hz, 1H), 5.98 (dt, *J* = 15.3, 1.3 Hz, 1H), 3.10 – 3.01 (m, 2H), 2.83 – 2.74 (m, 2H), 2.59 – 2.49 (m, 2H), 2.42 – 2.33 (m, 2H), 1.73 – 1.56 (m, 4H). ¹³C-KMR (100 MHz, CDCl₃) δ 174.6, 164.2, 155.6, 146.1, 141.0, 128.6, 128.5, 126.3, 125.7, 103.7, 34.7, 34.1, 29.1, 24.6, 21.9, 21.8. AIMS (ESI) *m/z*: aprēķināts C₁₈H₂₂NO₃ [M+H]⁺ 300.1594, atrasts 300.1587.

5-(2-Hlorfenil)pent-4-īnskābe (**63a**)



1-Hlor-2-iodbenzola (0,50 g, 2,10 mmol) un TEA (2,92 ml, 21,0 mmol) šķīdumu DMF (3 ml) degazē ar argonu, tad pievieno pent-4-īnkarbonāki (0,25 g, 2,52 mmol), Pd(PPh₃)₄ (73 mg, 0,06 mmol) un CuI (24 mg, 0,13 mmol), un maisa 18 stundas istabas temperatūrā slēgtā ampulā. Maisījumu atšķaida ar pies. NH₄Cl šķīdumu, ekstrahē ar CHCl₃, ekstraktu mazgā ar ūdeni, pies. NaCl, žāvē virs Na₂SO₄ un ietvaicē. Atlikumu hromatografē uz silikagela (MeOH-DCM, 5:95), tad hromatografē uz *Biotage* apgrieztās fāzes kolonnas (MeCN-ūdens, 15-100%). Iegūst 92 mg (21 %) produkta **63a**, gaiši brūna cieta viela. ¹H-KMR (300 MHz, CDCl₃) δ 10.15 (b s, 1H), 7.44 – 7.40 (m, 1H), 7.39 – 7.34 (m, 1H), 7.24 – 7.13 (m, 2H), 2.85 – 2.74 (m, 2H), 2.77 – 2.70 (m, 2H). AEŠH-MS (ESI) *m/z*: 207.0 [M-H]⁻.

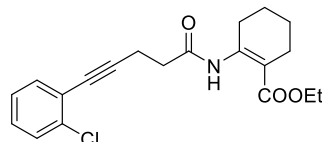
(*E*)-5-(2-Fluorbenzilidēn)dihidrofuran-2(3*H*)-ons (**66**)



66 iegūst no 1-fluor-2-iodbenzola (0,11 g, 0,51 mmol), DIPEA (44 µl, 0,33 mmol), pent-4-īnkarbonābes (50 mg, 0,51 mmol), Pd(OAc)₂ (11 mg, 0,05 mmol), P(*o*-Tol)₃ (19 mg, 0,06 mmol) un CuI (5 mg, 0,03 mmol), izmantojot savienojuma **63a** iegūšanas metodi. Reakciju veic MeCN (0,5 ml). Iegūst 24 mg (25 %) produkta **66**, bezkrāsaina eļļa. ¹H-KMR (300 MHz, CDCl₃) δ 7.28 – 7.16 (m, 2H), 7.16 – 7.02 (m, 2H), 6.39 (t, *J* = 2.3 Hz, 1H), 3.08 (td, *J* = 8.4, 2.3 Hz, 2H), 2.80 – 2.69 (m, 2H). ¹³C-NMR (75 MHz, CDCl₃) δ 174.2, 160.0 (d, *J* = 248.2 Hz), 152.7, 128.9 (d, *J* = 3.3 Hz), 128.6 (d, *J* = 8.3 Hz), 124.2 (d, *J* = 3.7 Hz), 122.2 (d, *J* =

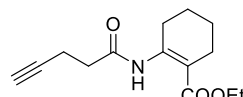
13.9 Hz), 115.9 (d, $J = 22.2$ Hz), 99.8 (d, $J = 4.6$ Hz), 27.8, 25.1 (d, $J = 3.0$ Hz). AEŠH-MS (ESI) m/z : 193.0 [M+H]⁺.

2-(5-(2-Hlorfenil)pent-4-īnamido)cikloheks-1-ēn-1-karbonskābes etilesteris (72d)



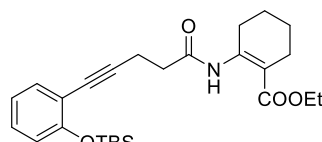
72d iegūst no karbonskābes **63a** (0,10 g, 0,48 mmol), oksalilhlorīda (0,12 ml, 1,44 mmol), amīna **23** (0,12 g, 1,44 mmol) un TEA (67 µl, 0,48 mmol), izmantojot amīda **37a** iegūšanas metodi. Iegūst 92 mg (53 %) produkta **72d**, balta cieta viela. ¹H-KMR (300 MHz, CDCl₃) δ 11.72 (s, 1H), 7.47 – 7.34 (m, 2H), 7.25 – 7.13 (m, 2H), 4.18 (q, $J = 7.1$ Hz, 2H), 3.05 – 2.96 (m, 2H), 2.88 – 2.79 (m, 2H), 2.72 – 2.64 (m, 2H), 2.37 – 2.30 (m, 2H), 1.72 – 1.57 (m, 4H), 1.31 (t, $J = 7.1$ Hz, 3H). AEŠH-MS (ESI) m/z 360.3 [M+H]⁺.

2-(Pent-4-īnamido)cikloheks-1-ēn-1-karbonskābes etilesteris (64)



Pent-4-īnskābes (**65**) (1,00 g, 10,19 mmol) šķīdumam DCM (20 ml) argona atmosfērā pievieno DMF (39 µl, 0,51 mmol) un oksalilhlorīdu (2,22 ml, 25,5 mmol), un maisa 40 min. istabas temperatūrā, tad reakcijas maisījumu ietvaicē. Atlikumu izšķīdina DCM (3 ml) un šo šķīdumu -5 °C līdz 2 °C temperatūrā argona atmosfērā piepilina amīna **23** (2,07 g, 12,2 mmol) un DIPEA (1,76 ml, 10,2 mmol) šķīdumam DCM (15 ml). Iegūto maisījumu maisa 1 stundu 0 °C temperatūrā, tad tam ļauj sasilt līdz istabas temperatūrai. Reakcijas maisījumu atšķaida ar DCM, mazgā ar pies. NH₄Cl šķīdumu, pies. NaCl šķīdumu, žāvē virs Na₂SO₄ un ietvaicē. Atlikumu hromatografē uz silikagela (EtOAc-PE, 1:20-1:10) un iegūst jēlprodukta, ko pārkristalizē no *n*-heptāna. Iegūst 1,20 g cieta produkta, bet kristalizācijas atlikumu hromatografē uz silikagela (*Biotage*, EtOAc-PE, 2-20 %), iegūstot vēl papildus 0,25 g produkta. Kopā iegūts 1,45 g (57 %) produkta **64**, balta cieta viela. ¹H-KMR (300 MHz, CDCl₃) δ 11.66 (s, 1H), 4.18 (q, $J = 7.1$ Hz, 2H), 3.03 – 2.92 (m, 2H), 2.65 – 2.49 (m, 4H), 2.36 – 2.25 (m, 2H), 1.97 (t, $J = 2.3$ Hz, 1H), 1.70 – 1.54 (m, 4H), 1.30 (t, $J = 7.1$ Hz, 3H). ¹³C-KMR (75 MHz, CDCl₃) δ 170.1, 169.6, 152.1, 104.9, 82.8, 69.2, 60.4, 37.2, 28.7, 24.3, 22.0, 21.8, 14.6, 14.4. AEŠH-MS (ESI) m/z 250.2 [M+H]⁺.

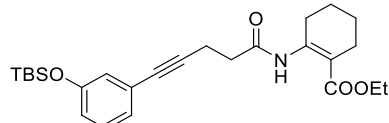
2-(5-((terc-Butildimetsilsilil)oksi)fenil)pent-4-īnamido)cikloheks-1-ēn-1-karbonskābes etilesteris (72a)



terc-Butil(2-iodfenoksi)dimetilsilāna (**6a**) (0,21 g, 0,63 mmol), 2-(pent-4-īnamido)cikloheks-1-ēn-1-karbonskābes etilesterā (**64**) (0,13 g, 0,52 mmol) un TEA (0,36 ml, 2,61 mmol) šķīdumu MeCN (1 ml) degazē un argona atmosfērā tam pievieno PdCl₂[PPh₃]₂ (18 mg, 0,03 mmol) un CuI (5 mg, 0,03 mmol). Iegūto maisījumu maisa 15 stundas istabas temperatūrā argona atmosfērā slēgtā ampulā. Reakcijas maisījumu ietvaicē, atlikumu atšķaida ar NH₄Cl šķīdumu, ekstrahē ar DCM, ekstraktu žāvē virs Na₂SO₄ un ietvaicē. Atlikumu

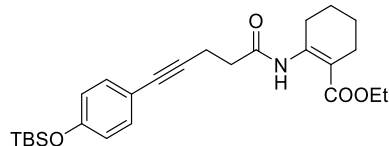
hromatografē uz silikagela (*Biotage*, EtOAc-PE, 3-30 %). Iegūst 0,12 g (52 %) produkta **72a**, dzeltena eļļa. ^1H -KMR (300 MHz, CDCl_3) δ 11.69 (s, 1H), 7.32 (dd, $J = 7.6, 1.8$ Hz, 1H), 7.14 (ddd, $J = 8.1, 7.6, 1.8$ Hz, 1H), 6.86 (td, $J = 7.6, 1.1$ Hz, 1H), 6.78 (dd, $J = 8.2, 1.1$ Hz, 1H), 4.16 (q, $J = 7.1$ Hz, 2H), 3.05 – 2.88 (m, 2H), 2.86 – 2.70 (m, 2H), 2.70 – 2.54 (m, 2H), 2.37 – 2.20 (m, 2H), 1.68 – 1.54 (m, 4H), 1.29 (t, $J = 7.1$ Hz, 3H), 1.03 (s, 9H), 0.21 (s, 6H). AEŠH-MS (ESI) m/z : 456.5 [M+H] $^+$.

2-(5-((terc-Butildimetsilsilī)oksi)fenil)pent-4-īnamido)cikloheks-1-ēn-1-karbonskābes etilesteris (72b)



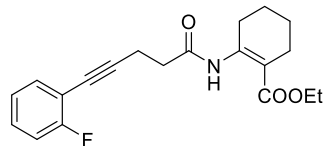
72b iegūst no iodīda **52j** (0,21 g, 0,63 mmol), alkīna **64** (0,13 g, 0,52 mmol), TEA (0,36 ml, 2,61 mmol), $\text{PdCl}_2[\text{PPh}_3]_2$ (18 mg, 0,03 mmol) un CuI (5 mg, 0,03 mmol), izmantojot alkīna **72a** iegūšanas metodi. Iegūst 0,19 g (79 %) produkta **72b**, dzeltena eļļa. ^1H -KMR (300 MHz, CDCl_3) δ 11.70 (s, 1H), 7.11 (t, $J = 7.9$ Hz, 1H), 6.97 (dt, $J = 7.6, 1.2$ Hz, 1H), 6.85 (d, $J = 2.2$ Hz, 1H), 6.75 (ddd, $J = 8.1, 2.5, 1.0$ Hz, 1H), 4.16 (q, $J = 7.1$ Hz, 2H), 3.03 – 2.93 (m, 2H), 2.80 – 2.70 (m, 2H), 2.68 – 2.57 (m, 2H), 2.36 – 2.26 (m, 2H), 1.69 – 1.54 (m, 4H), 1.28 (t, $J = 7.1$ Hz, 3H), 0.97 (s, 9H), 0.18 (s, 6H). AEŠH-MS (ESI) m/z : 456.4 [M+H] $^+$.

2-(5-((terc-Butildimetsilsilī)oksi)fenil)pent-4-īnamido)cikloheks-1-ēn-1-karbonskābes etilesteris (72c)



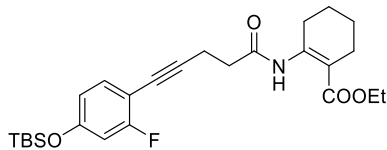
72c iegūst no iodīda **52k** (0,16 g, 0,48 mmol), alkīna **64** (0,10 g, 0,40 mmol), TEA (0,28 ml, 2,00 mmol), $\text{PdCl}_2[\text{PPh}_3]_2$ (14 mg, 0,02 mmol) un CuI (4 mg, 0,02 mmol), izmantojot alkīna **72a** iegūšanas metodi. Iegūst 94 mg (51 %) produkta **72c**, dzeltena eļļa. ^1H -KMR (300 MHz, CDCl_3) δ 11.69 (s, 1H), 7.25 (d, $J = 8.7$ Hz, 2H), 6.73 (d, $J = 8.7$ Hz, 2H), 4.16 (q, $J = 7.1$ Hz, 2H), 3.02 – 2.94 (m, 2H), 2.77 – 2.69 (m, 2H), 2.65 – 2.58 (m, 2H), 2.35 – 2.26 (m, 2H), 1.70 – 1.55 (m, 4H), 1.29 (t, $J = 7.1$ Hz, 3H), 0.97 (s, 9H), 0.18 (s, 6H). AEŠH-MS (ESI) m/z : 456.4 [M+H] $^+$.

2-(5-(2-Fluorfenil)pent-4-īnamido)cikloheks-1-ēn-1-karbonskābes etilesteris (72e)



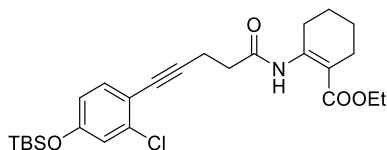
72e iegūst no 1-fluor-2-iodbenzola (56 mg, 0,25 mmol), alkīna **64** (55 mg, 0,22 mmol), TEA (0,15 ml, 1,07 mmol), $\text{PdCl}_2[\text{PPh}_3]_2$ (8 mg, 0,01 mmol) un CuI (2 mg, 0,01 mmol), izmantojot alkīna **72a** iegūšanas metodi. Iegūst 54 mg (71 %) produkta **72e**, brūna eļļa. ^1H -KMR (300 MHz, CDCl_3) δ 11.70 (s, 1H), 7.37 (td, $J = 7.6, 1.9$ Hz, 2H), 7.29 – 7.19 (m, 1H), 7.09 – 6.98 (m, 2H), 4.16 (q, $J = 7.1$ Hz, 2H), 3.01 – 2.95 (m, 2H), 2.85 – 2.76 (m, 2H), 2.71 – 2.60 (m, 2H), 2.35 – 2.27 (m, 2H), 1.68 – 1.53 (m, 4H), 1.28 (t, $J = 7.1$ Hz, 4H). AEŠH-MS (ESI) m/z : 344.2 [M+H] $^+$.

2-(5-((terc-Butildimetilisilil)oksi)-2-fluorfenil)pent-4-īnamido)cikloheks-1-ēn-1-karbonskābes etilesteris (72f)



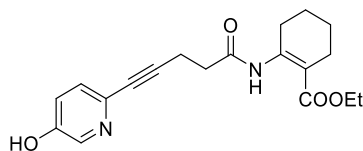
72f iegūst no iodīda **52l** (0,22 g, 0,63 mmol), alkīna **64** (0,13 g, 0,52 mmol), TEA (0,36 ml, 2,61 mmol), $\text{PdCl}_2[\text{PPh}_3]_2$ (18 mg, 0,03 mmol) un CuI (5 mg, 0,03 mmol), izmantojot alkīna **72a** iegūšanas metodi. Iegūst 0,15 g (62 %) produkta **72f**, bezkrāsaina eļļa. ^1H -KMR (400 MHz, CDCl_3) δ 11.68 (s, 1H), 7.21 (t, $J = 8.5$ Hz, 1H), 6.56 – 6.49 (m, 2H), 4.16 (q, $J = 7.1$ Hz, 2H), 3.01 – 2.95 (m, 2H), 2.78 (t, $J = 7.3$ Hz, 2H), 2.67 – 2.60 (m, 2H), 2.35 – 2.27 (m, 2H), 1.67 – 1.55 (m, 4H), 1.29 (t, $J = 7.1$ Hz, 3H), 0.96 (s, 9H), 0.19 (s, 6H). AEŠH-MS (ESI) m/z : 358.0 [$\text{M}-\text{C}_6\text{H}_{15}\text{Si}]^+$.

2-(5-((terc-Butildimetsilsilil)oksi)-2-hlorfenil)pent-4-īnamido)cikloheks-1-ēn-1-karbonskābes etilesteris (72g)



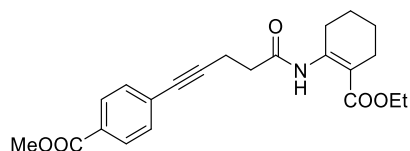
72g iegūst no iodīda **52m** (0,23 g, 0,63 mmol), alkīna **64** (0,13 g, 0,52 mmol), TEA (0,36 ml, 2,61 mmol), $\text{PdCl}_2[\text{PPh}_3]_2$ (18 mg, 0,03 mmol) un CuI (5 mg, 0,03 mmol), izmantojot alkīna **72a** iegūšanas metodi. Iegūst 94 mg (37 %) produkta **72g**, bezkrāsaina eļļa. ^1H -KMR (300 MHz, CDCl_3) δ 11.69 (s, 1H), 7.27 (d, $J = 8.4$ Hz, 1H), 6.85 (d, $J = 2.4$ Hz, 1H), 6.64 (dd, $J = 8.4, 2.4$ Hz, 1H), 4.16 (q, $J = 7.1$ Hz, 2H), 3.04 – 2.93 (m, 2H), 2.85 – 2.73 (m, 2H), 2.68 – 2.61 (m, 2H), 2.37 – 2.25 (m, 2H), 1.68 – 1.54 (m, 4H), 1.29 (t, $J = 7.1$ Hz, 2H), 0.96 (s, 9H), 0.19 (s, 6H). AEŠH-MS (ESI) m/z : 490.4 [$\text{M}+\text{H}]^+$.

2-(5-Hidroksipiridīn-2-il)pent-4-īnamido)cikloheks-1-ēn-1-karbonskābes etilesteris (72h)



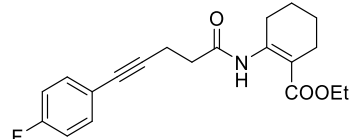
72h iegūst no iodīda **52n** (0,23 g, 0,68 mmol), alkīna **64** (0,13 g, 0,52 mmol), TEA (0,36 ml, 2,61 mmol), $\text{PdCl}_2[\text{PPh}_3]_2$ (18 mg, 0,03 mmol) un CuI (5 mg, 0,03 mmol), izmantojot alkīna **72a** iegūšanas metodi. Iegūst 74 mg (41 %) produkta **72h**, dzeltena eļļa. ^1H -KMR (300 MHz, CDCl_3) δ 11.74 (s, 1H), 8.47 (dd, $J = 4.8, 1.3$ Hz, 1H), 7.65 (dt, $J = 8.3, 1.1$ Hz, 1H), 7.13 (dd, $J = 8.3, 4.8$ Hz, 1H), 6.67 (d, $J = 0.8$ Hz, 1H), 4.16 (q, $J = 7.1$ Hz, 1H), 3.20 (t, $J = 7.5$ Hz, 2H), 3.00 – 2.91 (m, 2H), 2.80 (t, $J = 7.5$ Hz, 1H), 2.36 – 2.24 (m, 2H), 1.69 – 1.53 (m, 4H), 1.29 (t, $J = 7.1$ Hz, 2H). AEŠH-MS (ESI) m/z : 343.2 [$\text{M}+\text{H}]^+$.

4-((2-(Etoksikarbonil)cikloheks-1-ēn-1-il)amino)-5-oksopent-1-īn-1-il)benzoskābes metilesteris(72i)



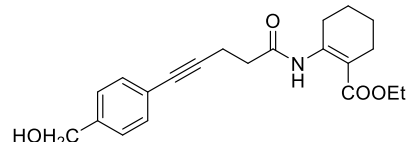
72i iegūst no 4-iodbenzoskābes metilesterā (**52o**) (0,16 g, 0,63 mmol), alkīna **64** (0,13 g, 0,52 mmol), TEA (0,36 ml, 2,61 mmol), PdCl₂[PPh₃]₂ (18 mg, 0,03 mmol) un CuI (5 mg, 0,03 mmol), izmantojot alkīna **72a** iegūšanas metodi. Iegūst 0,18 g (90 %) produkta **72i**, dzeltena cieta viela. ¹H-KMR (300 MHz, CDCl₃) δ 11.72 (s, 1H), 7.94 (d, *J* = 8.6 Hz, 2H), 7.42 (d, *J* = 8.6 Hz, 1H), 4.15 (q, *J* = 7.1 Hz, 2H), 3.91 (s, 3H), 3.03 – 2.93 (m, 2H), 2.84 – 2.72 (m, 2H), 2.70 – 2.58 (m, 2H), 2.36 – 2.26 (m, 2H), 1.70 – 1.55 (m, 4H), 1.28 (t, *J* = 7.1 Hz, 3H). AEŠH-MS (ESI) *m/z*: 384.4 [M+H]⁺.

2-(5-(4-Fluorfenil)pent-4-īnamido)cikloheks-1-ēn-1-karbonskābes etilesteris (**72j**)



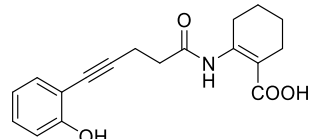
72j iegūst no 1-fluor-4-iodbenzola (**52p**) (0,14 g, 0,63 mmol), alkīna **64** (0,13 g, 0,52 mmol), TEA (0,36 ml, 2,61 mmol), PdCl₂[PPh₃]₂ (18 mg, 0,03 mmol) un CuI (5 mg, 0,03 mmol), izmantojot alkīna **72a** iegūšanas metodi. Iegūst 0,14 g (78 %) produkta **72j**, balta cieta viela. ¹H-KMR (300 MHz, CDCl₃) δ 11.70 (s, 1H), 7.40 – 7.30 (m, 2H), 7.02 – 6.91 (m, 2H), 4.16 (q, *J* = 7.1 Hz, 2H), 3.04 – 2.92 (m, 2H), 2.81 – 2.68 (m, 2H), 2.68 – 2.56 (m, 2H), 2.37 – 2.26 (m, 2H), 1.71 – 1.55 (m, 4H), 1.29 (t, *J* = 7.1 Hz, 3H). AEŠH-MS (ESI) *m/z*: 344.3 [M+H]⁺.

2-(5-(4-(Hidroksimetil)fenil)pent-4-īnamido)cikloheks-1-ēn-1-karbonskābes etilesteris (**72k**)



72k iegūts no (4-iodfenil)metanola (**52q**) (0,16 g, 0,67 mmol), alkīna **64** (0,14 g, 0,56 mmol), TEA (0,39 ml, 2,81 mmol), PdCl₂[PPh₃]₂ (20 mg, 0,03 mmol) un CuI (5 mg, 0,03 mmol), izmantojot alkīna **72a** iegūšanas metodi. Iegūst 0,16 g (44 %) produkta **72k**, balta cieta viela. ¹H-KMR (400 MHz, CDCl₃) δ 11.70 (s, 1H), 7.39 – 7.35 (m, 2H), 7.29 – 7.24 (m, 2H), 4.68 (d, *J* = 5.9 Hz, 2H), 4.16 (q, *J* = 7.1 Hz, 2H), 3.03 – 2.94 (m, 2H), 2.80 – 2.71 (m, 2H), 2.68 – 2.59 (m, 2H), 2.36 – 2.27 (m, 2H), 1.67 (t, *J* = 5.9 Hz, 1H) 1.67 – 1.54 (m, 4H), 1.29 (t, *J* = 7.1 Hz, 3H). AEŠH-MS (ESI) *m/z*: 356.4 [M+H]⁺.

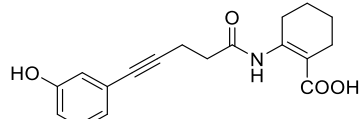
2-(5-(2-Hidroksifenil)pent-4-īnamido)cikloheks-1-ēn-1-karbonskābe (**73a**)



Etilesterā **72a** (0,12 g, 0,26 mmol) šķīdumam THF (1 ml) un EtOH (1 ml) maisījumā pievieno 2 N NaOH šķīdumu (0,40 ml, 0,80 mmol) un maisa 70 stundas istabas temperatūrā. Reakcijas maisījumu paskābina ar 1 N HCl līdz pH 2 un koncentrē vakuumā. Atlikumu izšķīdina DCM, mazgā ar ūdeni, pies. NaCl šķīdumu, žāvē virs Na₂SO₄ un ietvaicē. Atlikumu hromatografē uz *Biotage* apgrieztās fāzes kolonnas (MeCN-ūdens, 10-100 %) un iegūst 23 mg (28 %) produkta **73a**, balta cieta viela. ¹H-KMR (400 MHz, DMSO-*d*6) δ 12.46 (b s, 1H), 11.66 (s, 1H), 9.65 (b s, 1H), 7.19 (dd, *J* = 7.6, 1.7 Hz, 1H), 7.12 (ddd, *J* = 8.2, 7.3, 1.7 Hz,

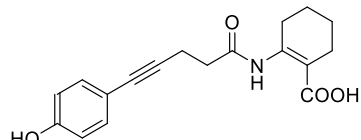
1H), 6.83 (dd, $J = 8.2, 1.1$ Hz, 1H), 6.72 (td, $J = 7.5, 1.1$ Hz, 1H), 2.87 – 2.78 (m, 2H), 2.66 (t, $J = 6.9$ Hz, 2H), 2.58 – 2.52 (m, 2H) 2.26 – 2.19 (m, 2H), 1.59 – 1.47 (m, 4H). ^{13}C -KMR (100 MHz, DMSO-*d*6) δ 171.2, 169.1, 158.1, 150.4, 132.9, 129.2, 118.9, 115.4, 110.3, 105.1, 92.2, 77.7, 36.8, 28.1, 24.4, 21.5, 21.4, 15.2. AIMS (ESI) *m/z*: aprēķināts C₁₈H₂₀NO₄ [M+H]⁺ 314.1387, atrasts 314.1393.

2-(5-(3-Hidroksifenil)pent-4-īnamido)cikloheks-1-ēn-1-karbonskābe (73b)



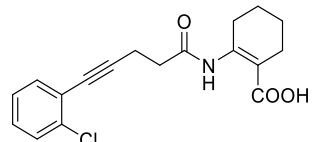
73b iegūst no etilestera **72b** (0,17 g, 0,37 mmol) un 2 N NaOH (0,55 ml, 1,10 mmol), izmantojot karbonskābes **73a** iegūšanas metodi. Iegūst 55 mg (47 %) produkta **73b**, balta cieta viela. ^1H -KMR (400 MHz, DMSO-*d*6) δ 11.67 (s, 1H), 9.61 (pl s, 1H), 7.11 (td, $J = 7.5, 1.2$ Hz, 1H), 6.77 (dt, $J = 7.5, 1.2$ Hz, 1H), 6.75 – 6.71 (m, 1H), 6.72 (d, $J = 1.2$ Hz, 1H), 2.86 – 2.80 (m, 2H), 2.64 (t, $J = 6.8$ Hz, 2H), 2.54 (t, $J = 6.8$ Hz, 2H), 2.27 – 2.19 (m, 2H), 1.60 – 1.46 (m, 4H). ^{13}C -KMR (100 MHz, DMSO-*d*6) δ 171.2, 169.0, 157.2, 150.2, 129.6, 123.9, 122.1, 117.8, 115.5, 105.2, 88.6, 81.0, 36.6, 28.1, 24.4, 21.5, 21.4, 14.9. AIMS (ESI) *m/z*: aprēķināts C₁₈H₂₀NO₄ [M+H]⁺ 314.1387, atrasts 314.1388.

2-(5-(4-Hidroksifenil)pent-4-īnamido)cikloheks-1-ēn-1-karbonskābe (73c)



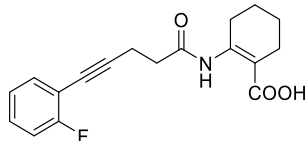
73c iegūst no etilestera **72c** (90 mg, 0,20 mmol) un 2 N NaOH (0,31 ml, 0,62 mmol), izmantojot karbonskābes **73a** iegūšanas metodi. Iegūst 26 mg (41 %) produkta **73c**, balta cieta viela. ^1H -KMR (400 MHz, DMSO-*d*6) δ 12.55 (b s, 1H), 11.65 (s, 1H), 9.72 (b s, 1H), 7.23 – 7.12 (m, 2H), 6.74 – 6.65 (m, 2H), 2.87 – 2.80 (m, 2H), 2.61 (t, $J = 6.8$ Hz, 2H), 2.54 – 2.49 (m, 2H), 2.26 – 2.18 (m, 2H), 1.62 – 1.44 (m, 4H). ^{13}C -KMR (100 MHz, DMSO-*d*6) δ 171.1, 169.1, 157.3, 150.4, 132.7, 115.5, 113.2, 105.0, 86.5, 81.2, 36.9, 28.1, 24.4, 21.5, 21.4, 15.0. AIMS (ESI) *m/z*: aprēķināts C₁₈H₂₀NO₄ [M+H]⁺ 314.1387, atrasts 314.1402.

2-(5-(2-Hlorfenil)pent-4-īnamido)cikloheks-1-ēn-1-karbonskābe (73d)



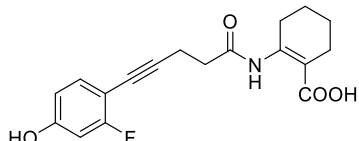
73d iegūst no etilestera **72d** (90 mg, 0,25 mmol) un 2 N NaOH (0,38 ml, 0,76 mmol), izmantojot karbonskābes **73a** iegūšanas metodi. Iegūst 38 mg (46 %) produkta **73d**, balta cieta viela. ^1H -KMR (300 MHz, CDCl₃) δ 11.45 (s, 1H), 10.10 (b s, 1H), 7.43 – 7.39 (m, 1H), 7.37 – 7.33 (m, 1H), 7.20 (td, $J = 7.5, 2.1$ Hz, 1H), 7.16 (td, $J = 7.5, 1.7$ Hz, 1H), 3.06–2.99 (m, 2H), 2.83 (t, $J = 7.0$ Hz, 2H), 2.66 (t, $J = 7.0$ Hz, 2H), 2.39 – 2.32 (m, 2H), 1.70 – 1.55 (m, 4H). ^{13}C -KMR (100 MHz, CDCl₃) δ 174.4, 169.8, 155.0, 135.9, 133.5, 129.2, 128.9, 126.4, 123.5, 103.9, 93.8, 78.5, 37.5, 29.0, 24.4, 21.9, 21.7, 15.9. AIMS (ESI) *m/z*: aprēķināts C₁₈H₁₉ClNO₃ [M+H]⁺ 332.1048, atrasts 332.1049.

2-(5-(2-Fluorfenil)pent-4-īnamido)cikloheks-1-ēn-1-karbonskābe (73e)



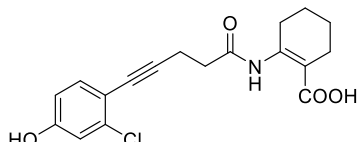
73e iegūst no etilestera **72e** (95 mg, 0,28 mmol) un 2 N NaOH (0,42 ml, 0,84 mmol), izmantojot karbonskābes **73a** iegūšanas metodi. Iegūst 26 mg (30 %) produkta **73e**, balta cieta viela. ^1H -KMR (300 MHz, CDCl_3) δ 11.44 (s, 1H), 10.33 (b s, 1H), 7.37 (td, $J = 7.6, 1.9$ Hz, 1H), 7.29 – 7.20 (m, 1H), 7.08 – 7.04 (m, 1H), 7.04 – 6.99 (m, 1H), 3.06 – 2.95 (m, 2H), 2.85 – 2.75 (m, 2H), 2.70 – 2.60 (m, 2H), 2.42 – 2.26 (m, 2H), 1.72 – 1.51 (m, 4H). ^{13}C -KMR (100 MHz, CDCl_3) δ 174.4, 169.8, 162.9 (d, $J_{\text{CF}} = 250.7$ Hz), 154.9, 133.7, 129.6 (d, $J_{\text{CF}} = 8.0$ Hz), 123.9 (d, $J_{\text{CF}} = 3.7$ Hz), 115.5 (d, $J_{\text{CF}} = 21.0$ Hz), 112.1 (d, $J_{\text{CF}} = 15.9$ Hz), 103.8, 93.6 (d, $J_{\text{CF}} = 3.4$ Hz), 75.0, 37.5, 29.0, 24.4, 21.9, 21.7, 15.8. AIMS (ESI) m/z : aprēķināts $\text{C}_{18}\text{H}_{19}\text{FNO}_3$ [$\text{M}+\text{H}]^+$ 316.1343, atrasts 316.1344.

2-(5-(2-Fluor-4-hidroksifenil)pent-4-īnamido)cikloheks-1-ēn-1-karbonskābe (73f)



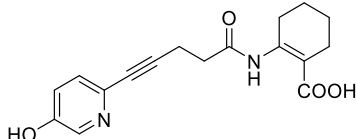
73f iegūst no etilestera **72f** (0,15 g, 0,32 mmol) un 2 N NaOH (0,48 ml, 0,96 mmol), izmantojot karbonskābes **73a** iegūšanas metodi. Iegūst 46 mg (44 %) produkta **73f**, balta cieta viela. ^1H -KMR (400 MHz, $\text{DMSO}-d_6$) δ 12.51 (b s, 1H), 11.63 (s, 1H), 10.24 (b s, 1H), 7.21 (t, $J = 8.7$ Hz, 1H), 6.62 – 6.64 (m, 2H), 2.87 – 2.78 (m, 2H), 2.65 (t, $J = 7.1$ Hz, 2H), 2.58 – 2.50 (m, 2H, overlapped with DMSO), 2.27 – 2.18 (m, 2H), 1.61 – 1.46 (m, 4H). ^{13}C -KMR (100 MHz, $\text{DMSO}-d_6$) δ 171.1, 169.0, 162.9 (d, $J_{\text{CF}} = 247.5$ Hz), 159.0 (d, $J_{\text{CF}} = 11.7$ Hz), 150.3, 134.0 (d, $J_{\text{CF}} = 3.4$ Hz), 111.9 (d, $J_{\text{CF}} = 2.8$ Hz), 105.0, 102.8 (d, $J_{\text{CF}} = 23.2$ Hz), 100.3 (d, $J_{\text{CF}} = 15.8$ Hz), 91.9, 74.4, 36.6, 28.1, 24.4, 21.5, 21.4, 15.0. AIMS (ESI) m/z : aprēķināts $\text{C}_{18}\text{H}_{19}\text{FNO}_4$ [$\text{M}+\text{H}]^+$ 332.1293, atrasts 332.1303.

2-(5-(2-Hlor-4-hidroksifenil)pent-4-īnamido)cikloheks-1-ēn-1-karbonskābe (73g)



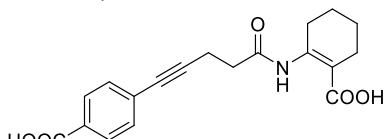
73g iegūst no etilestera **72g** (94 mg, 0,19 mmol) un 2 N NaOH (0,29 ml, 0,58 mmol), izmantojot karbonskābes **73a** iegūšanas metodi. Iegūst 29 mg (44 %) produkta **73g**, balta cieta viela. ^1H -KMR (400 MHz, $\text{DMSO}-d_6$) δ 12.55 (b s, 1H), 11.67 (s, 1H), 10.21 (b s, 1H), 7.27 (d, $J = 8.5$ Hz, 1H), 6.85 (d, $J = 2.4$ Hz, 1H), 6.69 (dd, $J = 8.5, 2.4$ Hz, 1H), 2.90 – 2.78 (m, 2H), 2.67 (t, $J = 7.0$ Hz, 2H), 2.53 (t, $J = 7.0$ Hz, 2H, pārklāts ar DMSO), 2.29 – 2.16 (m, 2H), 1.62 – 1.43 (m, 4H). ^{13}C -KMR (100 MHz, $\text{DMSO}-d_6$) δ 171.1, 169.0, 158.1, 150.4, 135.2, 134.2, 115.9, 114.7, 112.9, 105.0, 91.8, 77.8, 36.8, 28.1, 24.4, 21.5, 21.4, 15.2. AIMS (ESI) m/z : aprēķināts $\text{C}_{18}\text{H}_{19}\text{ClNO}_4$ [$\text{M}+\text{H}]^+$ 348.0997, atrasts 348.0988.

2-(5-Hidroksipiridīn-2-il)pent-4-īnamido)cikloheks-1-ēn-1-karbonskābe (73h)



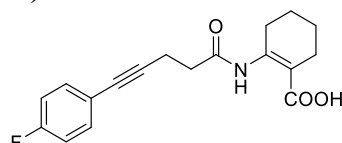
73h iegūst no etilestera **72h** (73 mg, 0,21 mmol) un 2 N NaOH (0,32 ml, 0,64 mmol), izmantojot karbonskābes **73a** iegūšanas metodi. Iegūst 18 mg (27 %) produkta **73h**, balta cieta viela. ^1H -KMR (300 MHz, DMSO-*d*6) δ 12.57 (b s, 1H), 11.65 (s, 1H), 8.49 (b s, 1H). 7.91 (d, J = 8.3 Hz, 1H), 7.25 (dd, J = 8.3, 4.6 Hz, 1H), 6.80 (s, 1H), 3.10 (t, J = 7.3 Hz, 2H), 2.86 – 2.70 (m, 4H), 2.26 – 2.15 (m, 2H), 1.62 – 1.45 (m, 4H). ^{13}C -KMR (100 MHz, DMSO-*d*6) δ 171.1, 169.1, 162.5, 150.3, 148.3, 146.9, 145.4, 118.4, 117.5, 105.2, 103.4, 34.6, 28.1, 24.4, 23.7, 21.4, 21.3. AIMS (ESI) m/z : aprēķināts $\text{C}_{17}\text{H}_{19}\text{N}_2\text{O}_4$ [M+H] $^+$ 315.1339, atrasts 315.1340.

2-(4-Karboksifenil)pent-4-īnamido)cikloheks-1-ēn-karbonskābe (73i)



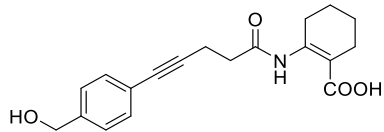
73i iegūst no etilestera **72i** (0,18 g, 0,47 mmol) un 2 N NaOH (0,70 ml, 1,40 mmol), izmantojot karbonskābes **73a** iegūšanas metodi. Iegūst 86 mg (54 %) produkta **73i**, balta cieta viela. ^1H -KMR (400 MHz, DMSO-*d*6) δ 12.81 (s, 2H), 11.65 (s, 1H), 7.88 (d, J = 8.4 Hz, 2H), 7.46 (d, J = 8.4 Hz, 2H), 2.87 – 2.79 (m, 2H), 2.74 – 2.66 (m, 2H), 2.62 – 2.54 (m, 2H), 2.27 – 2.19 (m, 2H), 1.61 – 1.45 (m, 4H). ^{13}C -KMR (100 MHz, DMSO-*d*6) δ 171.1, 169.0, 166.7, 150.3, 131.4, 130.0, 129.4, 127.4, 105.1, 92.5, 80.3, 36.4, 28.1, 24.4, 21.5, 21.4, 15.0. AIMS (ESI) m/z : aprēķināts $\text{C}_{19}\text{H}_{20}\text{NO}_5$ [M+H] $^+$ 342.1341, atrasts 342.1314.

2-(4-Fluorfenil)pent-4-īnamido)cikloheks-1-ēn-karbonskābe (73j)



73j iegūst no etilestera **72j** (0,13 g, 0,38 mmol) un 2 N NaOH (0,57 ml, 1,14 mmol), izmantojot karbonskābes **73a** iegūšanas metodi. Iegūst 63 mg (53 %) produkta **73j**, balta cieta viela. ^1H -KMR (400 MHz, DMSO-*d*6) δ 11.50 (b s, 1H), 11.43 (s, 1H), 7.38 – 7.31 (m, 2H), 7.00 – 6.90 (m, 2H), 3.06 – 2.97 (m, 2H), 2.79 – 2.70 (m, 2H), 2.67 – 2.58 (m, 2H), 2.40 – 2.27 (m, 2H), 1.70 – 1.56 (m, 4H). ^{13}C -KMR (100 MHz, DMSO-*d*6) δ 174.5, 169.9, 162.3 (d, $J_{\text{CF}} = 248.5$ Hz), 155.1, 133.5 (d, $J_{\text{CF}} = 8.3$ Hz), 119.7 (d, $J_{\text{CF}} = 3.4$ Hz), 115.5 (d, $J_{\text{CF}} = 21.8$ Hz), 103.7, 87.8, 80.6, 37.6, 29.0, 24.4, 21.9, 21.7, 15.6. AIMS (ESI) m/z : aprēķināts $\text{C}_{18}\text{H}_{19}\text{FNO}_3$ [M+H] $^+$ 316.1349, atrasts 316.1349.

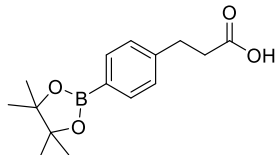
2-(4-(Hidroksimetil)fenil)pent-4-īnamido)cikloheks-1-ēn-1-karbonskābe (73k)



73k iegūst no etilestera **72k** (0,15 g, 0,42 mmol) un 2 N NaOH (0,63 ml, 1,27 mmol), izmantojot karbonskābes **73a** iegūšanas metodi. Iegūst 65 mg (47 %) produkta **73k**, balta

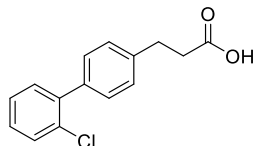
cieta viela. ^1H -KMR (400 MHz, DMSO-*d*6) δ 12.56 (b s, 1H), 11.66 (s, 1H), 7.31 (d, J = 8.2 Hz, 2H), 7.27 (d, J = 8.2 Hz, 2H), 5.22 (b s, 1H), 4.48 (s, 2H), 2.88 – 2.79 (m, 2H), 2.66 (t, J = 6.8 Hz, 2H), 2.58 – 2.52 (m, 2H), 2.26 – 2.20 (m, 2H), 1.61 – 1.47 (m, 4H). ^{13}C -KMR (100 MHz, DMSO-*d*6) δ 171.2, 169.1, 150.3, 142.6, 131.0, 126.4, 121.1, 105.1, 88.6, 81.0, 62.5, 36.7, 28.1, 24.4, 21.5, 21.4, 15.0. AIMS (ESI) *m/z*: Atrasts: *m/z* 328.1555 [M+H]⁺, C₁₉H₂₂NO₄. Aprēķināts: 328.1543 [M+H]⁺.

3-(4-(4,4,5,5-Tetrametil-1,3,2-dioksaborolan-2-il)fenil)propānskābe (75)



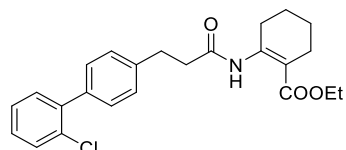
3-(4-Iodfenil)propānskābes (74) (0,50 g, 1,81 mmol), bis(pinakolāt)diborona (0,69 g, 2,72 mmol) un KOAc (0,71 g, 7,24 mmol) suspensiju DMF (5 ml) degazē ar argonu, tad pievieno Pd(dppf)Cl₂ (66 mg, 0,09 mmol) un maisa 80 °C temperatūrā argona atmosfērā 2,5 stundas. Reakcijas maisījumu atdzesē, filtrē caur silikagelu, silikagelu izskalo ar EtOAc, un apvienotos filtrātus ietvaicē. Atlikumu hromatografē uz silikagela (EtOAc-PE, 1:2) un iegūst 0,32 g (63 %) produkta 75, balta cieta viela. ^1H -KMR (300 MHz, CDCl₃) δ 10.43 (b s, 1H), 7.75 (d, J = 8.0 Hz, 2H), 7.22 (d, J = 8.0 Hz, 2H), 2.98 (t, J = 7.8 Hz, 2H), 2.68 (t, J = 7.8 Hz, 2H), 1.34 (s, 12H). AEŠH-MS (ESI) *m/z*: 277.1 [M+H]⁺.

3-(2'-Hlor-[1,1'-bifenil]-4-yl)propānskābe (76)¹⁴⁵



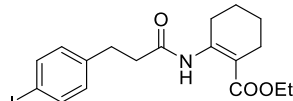
Boronāta 75 (0,16 g, 0,58 mmol) un 1-hloro-2-iodobenzola (0,14 g, 0,59 mmol) šķīdumu dioksānā (2,4 ml) degazē ar argonu, tad pievieno 2 M K₂CO₃ šķīdumu (0,87 ml, 1,74 mmol) un Pd(dppf)Cl₂ (21 mg, 0,03 mmol), un maisa noslēgtā ampulā 2 stundas 80 °C temperatūrā. Reakcijas maisījumu atdzesē, atšķaida ar pies. NH₄Cl šķīdumu, ekstrahē ar EtOAc, organisko slāni žāvē virs Na₂SO₄ un ietvaicē. Atlikumu hromatografē uz silikagela (MeOH-DCM, 1:20) un iegūst 0,14 g (91 %) produkta 76. ^1H -KMR (300 MHz, CDCl₃) δ 10.70 (b s, 1H), 7.53 – 7.23 (m, 8H), 3.03 (t, J = 7.8 Hz, 2H), 2.76 (t, J = 7.8 Hz, 2H).

2-(3-(2'-Hlor-[1,1'-bifenil]-4-il)propanamido)cikloheks-1-ēn-1-karbonskābes etilesteris (78d)



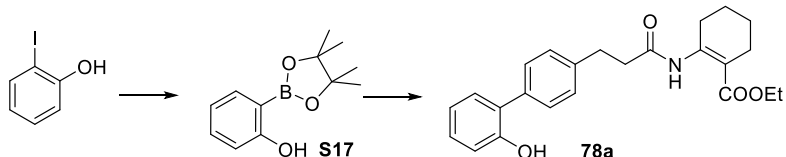
78d iegūst no karbonskābes 76 (0,13 g, 0,50 mmol), oksalilhlorīda (0,13 ml, 1,50 mmol), amīna 23 (0,10 g, 1,59 mmol) un TEA (70 μ l, 0,50 mmol), izmantojot amīda 37a iegūšanas metodi. Iegūst 0,14 g (41 %) produkta 78d, kurš satur 0,3 molekvivalentus amīna 23 kā piemaisījumu (KMR). ^1H -KMR (300 MHz, CDCl₃) δ 11.67 (s, 1H), 7.51 – 7.27 (m, 8H), 4.19 (q, J = 7.1 Hz, 3H), 3.11 – 3.03 (m, 2H), 3.03 – 2.96 (m, 2H), 2.74 – 2.65 (m, 2H), 2.36 – 2.29 (m, 2H), 1.74 – 1.53 (m, 4H), 1.31 (t, J = 7.1 Hz, 3H). AEŠH-MS (ESI) *m/z*: 412.2 [M+H]⁺.

2-(3-(4-Iodfenil)propanamido)cikloheks-1-ēn-1-karbonskābes etilesteris (77)



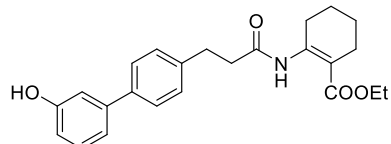
77 iegūst no 3-(4-iodfenil)propānskābes (**74**) (0,79 g, 2,86 mmol), oksalihlorīda (0,62 ml, 7,15 mmol), amīna **23** (0,73 g, 4,29 mmol) un TEA (0,40 ml, 2,86 mmol), izmantojot amīda **37a** iegūšanas metodi. Iegūst 0,53 g (43 %) produkta **77**, balta cieta viela. ¹H-KMR (300 MHz, CDCl₃) δ 11.60 (s, 1H), 7.62 - 7.56 (m, 2H), 7.06 – 6.89 (m, 2H), 4.16 (q, *J* = 7.1 Hz, 2H), 3.00 – 2.85 (m, 4H), 2.60 (t, *J* = 7.7 Hz, 2H), 2.35 – 2.26 (m, 2H), 1.66 – 1.52 (m, 4H), 1.29 (t, *J* = 7.1 Hz, 2H). AEŠH-MS (ESI) *m/z*: 428.1 [M+H]⁺.

2-(3-(2'-Hidroksi-[1,1'-bifenil]-4-il)propanamido)cikloheks-1-ēn-1-karbonskābes etilesteris (78a)



*2-(4,4,5,5-Tetrametil-1,3,2-dioksaborolan-2-il)fenols (S17).*¹⁴⁶ 2-Iodfenola (0,32 g, 1,45 mmol), bis(pinakolato)diborona (0,50 g, 1,97 mmol) un KOAc (0,39 g, 3,95 mmol) maisījumu DMF (2 ml) degazē ar argonu, tad pievieno Pd(dppf)Cl₂ (38 mg, 0,07 mmol) un maisa slēgtā ampulā argona atmosfērā 80 °C temperatūrā 48 stundas. Reakcijas maisījumu atdzesē,nofiltrē caur silikagelu, silikagelu izskalo ar EtOAc un apvienotos filtrātus ietvaicē. Atlikumu hromatografē uz silikagela (EtOAc-PE, 1:10) un iegūst 0,11 g (34 %) produkta **S17**. ¹H-KMR (300 MHz, CDCl₃) δ 7.80 (s, 1H), 7.61 (dd, *J* = 7.6, 1.8 Hz, 1H), 7.37 (ddd, *J* = 8.7, 7.2, 1.8 Hz, 1H), 6.94 – 6.82 (m, 2H), 1.37 (s, 12H). *2-(3-(2'-Hidroksi-[1,1'-bifenil]-4-il)propanamido)cikloheks-1-ēn-1-karbonskābes etilesteris (78a)*. **78a** iegūst no iodīda **77** (0,16 g, 0,37 mmol), boronāta **S17** (0,11 g, 0,49 mmol), 2 M K₂CO₃ (0,56 ml, 1,12 mmol) un Pd(dppf)Cl₂ (14 mg, 0,02 mmol), izmantojot savienojuma **76** iegūšanas metodi. Iegūst 0,11 g (77 %) produkta **78a**, balta cieta viela. ¹H-KMR (300 MHz, CDCl₃) δ 11.62 (s, 1H), 7.39 (d, *J* = 8.3 Hz, 2H), 7.34 (d, *J* = 8.3 Hz, 2H), 7.28 – 7.23 (m, 1H), 7.22 (dd, *J* = 7.9, 1.8 Hz, 1H), 6.98 (td, *J* = 7.5, 1.2 Hz, 1H), 6.98 (dd, *J* = 8.0, 1.2 Hz, 1H), 5.22 (s, 1H), 4.17 (q, *J* = 7.1 Hz, 2H), 3.11 – 3.00 (m, 2H), 3.01 – 2.93 (m, 2H), 2.73 – 2.64 (m, 2H), 2.35 – 2.26 (m, 2H), 1.67 – 1.55 (m, 4H), 1.29 (t, *J* = 7.1 Hz, 3H). AEŠH-MS (ESI) *m/z*: 394.4 [M+H]⁺.

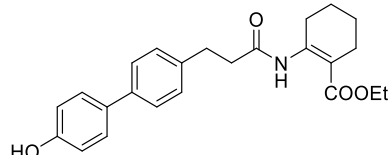
2-(3-(3'-Hidroksi-[1,1'-bifenil]-4-il)propanamido)cikloheks-1-ēn-1-karbonskābes etilesteris (78b)



78b iegūst no iodīda **77** (0,14 g, 0,33 mmol), 3-hidroksifenilborskābes (59 mg, 0,43 mmol), 2 M K₂CO₃ šķīduma (0,49 ml, 0,98 mmol) un Pd(dppf)Cl₂ (12 mg, 0,02 mmol), izmantojot savienojuma **76** iegūšanas metodi. Iegūst 96 mg (75 %) produkta **78b**, balta cieta viela. ¹H-KMR (300 MHz, CDCl₃) δ 11.65 (s, 1H), 7.48 (d, *J* = 8.1 Hz, 2H), 7.34 – 7.22 (m, 3H), 7.14 (ddd, *J* = 7.8, 1.5, 0.9 Hz, 1H), 7.04 (dd, *J* = 2.4, 1.5 Hz, 1H), 6.80 (ddd, *J* = 8.0, 2.4, 0.9 Hz, 1H), 5.02 (s, 1H), 4.16 (q, *J* = 7.1 Hz, 2H), 3.07 – 2.92 (m, 4H), 2.67 (t, *J* = 7.8

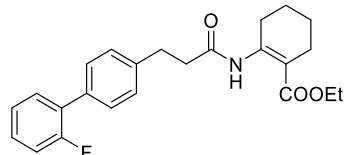
Hz, 2H), 2.34 – 2.25 (m, 2H), 1.70 – 1.52 (m, 4H), 1.28 (t, $J = 7.1$ Hz, 3H). AEŠH-MS (ESI) m/z : 394.4 [M+H]⁺.

2-(3-(4'-Hidroksi-[1,1'-bifenil]-4-il)propanamido)cikloheks-1-ēn-1-karbonskābes etilesteris (78c)



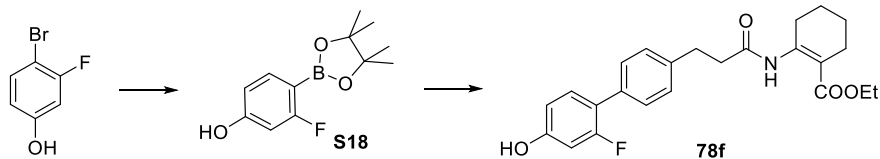
78c iegūst no iodīda **77** (0,14 g, 0,33 mmol), 4-hidroksifenilborskābes (59 mg, 0,43 mmol), 2 M K₂CO₃ šķīduma (0,49 ml, 0,98 mmol) un Pd(dppf)Cl₂ (12 mg, 0,02 mmol), izmantojot savienojuma **76** iegūšanas metodi. Iegūst 0,11 g (82 %) produkta **78c**, balta cieta viela. ¹H-KMR (300 MHz, CDCl₃) δ 11.65 (s, 1H), 7.48 – 7.41 (m, 4H), 7.28 – 7.22 (m, 2H), 6.91 – 6.85 (m, 2H), 5.10 (s, 1H), 4.17 (q, $J = 7.1$ Hz, 2H), 3.08 – 2.93 (m, 4H), 2.73 – 2.61 (m, 2H), 2.35 – 7.26 (m, 2H), 1.71 – 1.52 (m, 4H), 1.29 (t, $J = 7.1$ Hz, 3H). AEŠH-MS (ESI) m/z : 394.4 [M+H]⁺.

2-(3-(2'-Fluor-[1,1'-bifenil]-4-il)propanamido)cikloheks-1-ēn-1-karbonskābes etilesteris (78e)



78e iegūst no iodīda **77** (0,14 g, 0,33 mmol), 2-fluorofenilborskābes (59 mg, 0,42 mmol), 2 M K₂CO₃ šķīduma (0,49 ml, 0,98 mmol) un Pd(dppf)Cl₂ (12 mg, 0,02 mmol), izmantojot savienojuma **76** iegūšanas metodi. Iegūst 0,10 g produkta **78e**, kas satur piemaisījumus (tīriņa pēc AEŠH-MS 79 %, aprēķināts iznākums 61 %). Iegūto jēlproduktu izmanto nākamajā stadijā bez attīrišanas. ¹H-KMR (300 MHz, CDCl₃) δ 11.65 (s, 1H), 7.52 – 7.10 (m, 8H), 4.17 (q, $J = 7.1$ Hz, 2H), 3.10 – 2.90 (m, 4H), 2.72 – 2.63 (m, 2H), 2.36 – 2.24 (m, 2H), 1.70 – 1.55 (m, 4H), 1.29 (t, $J = 7.1$ Hz, 3H). AEŠH-MS (ESI) m/z : 396.4 [M+H]⁺.

2-(3-(2'-Fluor-4'-hidroksi-[1,1'-bifenil]-4-il)propanamido)cikloheks-1-ēn-1-karbonskābes etilesteris (78f)



*4-Fluor-4-(4,4,5,5-tetrametil-1,3,2-dioksoborolān-2-il)fenols (S18).*¹⁴⁷ 4-Brom-3-fluorfenola (0,20 g, 1,05 mmol), bis(pinakolato)diborona (0,40 g, 1,57 mmol) un KOAc (0,31 g, 3,14 mmol) maisījumu DMF (2 ml) degazē ar argonu, pievieno Pd(dppf)Cl₂ (38 mg, 0,07 mmol) un maisa noslēgtā ampulā argona atmosfērā 80 °C temperatūrā 48 stundas. Reakcijas maisījumu atdzesē,nofiltrē caur silikagelu, silikagelu izskalo ar EtOAc un apvienotos filtrātus ietvaicē. Atlikumu hromatografē uz silikagela (EtOAc-PE, 1:8-1:5) un iegūst 0,19 g (77 %) produkta **S18**. ¹H NMR (300 MHz, CDCl₃) δ 7.61 (dd, $J = 8.1, 7.3$ Hz, 1H), 6.61 (dd, $J = 8.1, 2.3, 0.4$ Hz, 1H), 6.52 (dd, $J = 10.6, 2.3$ Hz, 1H), 5.41 (s, 1H), 1.34 (s, 12H). **2-(3-(2'-Fluor-4'-hidroksi-[1,1'-bifenil]-4-il)propanamido)cikloheks-1-ēn-1-karbonskābes etilesteris (78f)**.

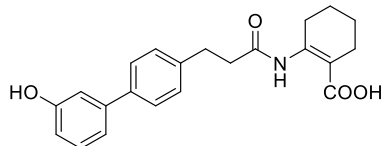
78f iegūst no iodīda **77** (0,18 g, 0,42 mmol), **S18** (0,13 g, 0,55 mmol), 2 M K₂CO₃ šķīduma (0,63 ml, 1,26 mmol) un Pd(dppf)Cl₂ (25 mg, 0,03 mmol), izmantojot savienojuma **76** iegūšanas metodi. Iegūst 0,15 g (87 %) produkta **78f**, balta cieta viela. ¹H-KMR (300 MHz, CDCl₃) δ 11.66 (s, 1H), 7.40 (dd, *J* = 8.3, 1.7 Hz, 2H), 7.30 – 7.21 (m, 3H), 6.70 – 6.62 (m, 2H), 5.34 (s, 1H), 4.17 (q, *J* = 7.1 Hz, 2H), 3.06 – 2.94 (m, 4H), 2.73 – 2.62 (m, 2H), 2.36 – 2.26 (m, 2H), 1.69 – 1.54 (m, 4H), 1.29 (t, *J* = 7.1 Hz, 3H). AEŠH-MS (ESI) *m/z*: 412.3 [M+H]⁺.

2-(3-(2'-Hidroksi-[1,1'-bifenil]-4-il)propānamido)cikloheks-1-ēn-karbonskābe (**79a**)



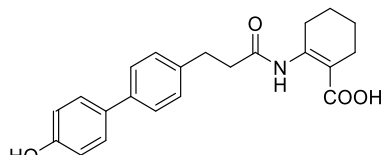
79a iegūst no etilestera **78a** (0,11 g, 0,28 mmol) un 2 N NaOH šķīduma (0,42 ml, 0,84 mmol), izmantojot karbonskābes **27a** iegūšanas metodi. Iegūst 38 mg (37 %) produkta **79a**, balta cieta viela. ¹H-KMR (300 MHz, DMSO-*d*6) δ 12.54 (b s, 1H), 11.65 (s, 1H), 9.45 (b s, 1H), 7.45 (d, *J* = 8.3 Hz, 2H), 7.24 (d, *J* = 8.3 Hz, 2H), 7.22 (dd, *J* = 7.7, 1.7 Hz, 1H), 7.03 (ddd, *J* = 8.1, 7.3, 1.7 Hz, 1H), 6.92 (dd, *J* = 8.1, 1.2 Hz, 1H), 6.85 (td, *J* = 7.4, 1.2 Hz, 1H), 2.88 (t, *J* = 7.6 Hz, 2H), 2.87 – 2.78 (m, 2H), 2.62 (t, *J* = 7.6 Hz, 2H), 2.26 – 2.18 (m, 2H), 1.60 – 1.45 (m, 4H). ¹³C-KMR (100 MHz, DMSO-*d*6) δ 171.2, 169.9, 154.3, 150.6, 138.9, 136.3, 130.2, 129.0, 128.2, 127.8, 127.5, 119.4, 116.0, 104.7, 39.0, 30.1, 28.2, 24.4, 21.5, 21.4. Elementanalīze: aprēķināts C₂₂H₂₃NO₄: C 72.31, H 6.34, N 3.83; atrasts: C 72.04, H 6.37, N 4.08. AEŠH-MS (ESI) *m/z*: 364.2 [M-H]⁻.

2-(3-(3'-Hidroksi-[1,1'-bifenil]-4-il)propānamido)cikloheks-1-ēn-karbonskābe (**79b**)



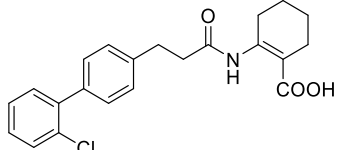
79b iegūst no etilestera **78b** (95 mg, 0,24 mmol) un 2 N NaOH (0,36 ml, 0,72 mmol), izmantojot karbonskābes **27a** iegūšanas metodi. Iegūst 32 mg (36 %) produkta **79b**, balta cieta viela. ¹H-KMR (300 MHz, DMSO-*d*6) δ 12.53 (b s, 1H), 11.63 (s, 1H), 9.48 (s, 1H), 7.50 (d, *J* = 8.2 Hz, 2H), 7.29 (d, *J* = 8.3 Hz, 2H), 7.23 (t, *J* = 7.9 Hz, 1H), 7.03 (ddd, *J* = 7.7, 1.6, 0.9 Hz, 1H), 6.98 (t, *J* = 2.0 Hz, 1H), 6.74 (ddd, *J* = 8.0, 2.5, 0.9 Hz, 1H), 2.89 (t, *J* = 7.5 Hz, 2H), 2.85 – 2.78 (m, 2H), 2.61 (t, *J* = 7.5 Hz, 2H), 2.25 – 2.17 (m, 2H), 1.61 – 1.45 (m, 4H). ¹³C-KMR (100 MHz, DMSO-*d*6) δ 171.2, 169.9, 157.8, 150.6, 141.4, 139.9, 138.1, 129.9, 128.8, 126.5, 117.3, 114.2, 113.3, 104.7, 30.0, 28.2, 24.3, 21.6, 21.4. Elementanalīze: aprēķināts C₂₂H₂₃NO₄ · 0.15 H₂O (0.7 %): C 71.78, H 6.38, N 3.80; atrasts: C 71.71, H 6.20, N 3.75. AEŠH-MS (ESI) *m/z*: 364.2 [M-H]⁻.

2-(3-(4'-Hidroksi-[1,1'-bifenil]-4-il)propānamido)cikloheks-1-ēn-karbonskābe (**79c**)⁹⁸



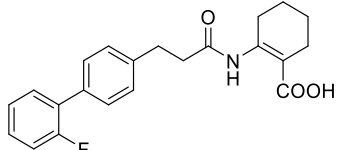
79c iegūst no etilesterā **78c** (0,11 g, 0,28 mmol) un 2 N NaOH (0,40 ml, 0,80 mmol), izmantojot karbonskābes **27a** iegūšanas metodi. Iegūst 60 mg (62 %) produkta **79c**, balta cieta viela. ^1H -KMR (300 MHz, DMSO-*d*6) δ 12.53 (b s, 1H), 11.66 (b s, 1H), 9.48 (s, 1H), 7.51 – 7.41 (m, 4H), 7.29 – 7.22 (m, 2H), 6.85 – 6.79 (m, 2H), 2.87 (t, $J = 7.5$ Hz, 2H), 2.85 – 2.77 (m, 2H), 2.64 – 2.56 (m, 2H), 2.25 – 2.17 (m, 2H), 1.61 – 1.45 (m, 4H). ^{13}C -KMR (100 MHz, DMSO-*d*6) δ 171.2, 169.9, 156.9, 150.5, 138.8, 138.0, 130.8, 128.7, 127.5, 125.9, 115.7, 104.8, 39.0, 30.0, 28.1, 24.4, 21.5, 21.4. Elementanalīze: aprēķināts $\text{C}_{22}\text{H}_{23}\text{NO}_4$: C 72.31, H 6.34, N 3.83; atrasts: C 71.62, H 6.28, N 3.64. AEŠH-MS (ESI) m/z : 364.2 [M-H]⁺.

2-(3-(2'-Hloro-[1,1'-bifenil]4-il)propanamido)cikloheks-1-ēn-karbonskābe (**79d**)



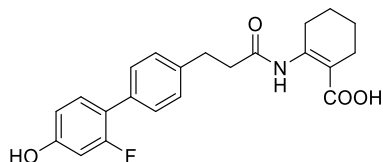
79d iegūst no etilesterā **78d** (0,13 g, 0,32 mmol) un 2 N NaOH (0,47 ml, 0,95 mmol), izmantojot karbonskābes **27a** iegūšanas metodi. Iegūst 71 mg (40 %) produkta **79d**, balta cieta viela. ^1H -KMR (300 MHz, CDCl₃) δ 11.38 (s, 1H), 10.38 (b s, 1H), 7.48 – 7.43 (m, 1H), 7.40 – 7.35 (m, 2H), 7.33 – 7.23 (m, 5H), 3.08 – 2.96 (m, 4H), 2.73 – 2.63 (m, 2H), 2.38 – 2.30 (m, 2H), 1.70 – 1.54 (m, 4H). ^{13}C -KMR (100 MHz, CDCl₃) δ 174.6, 171.0, 155.1, 140.4, 140.0, 137.5, 132.6, 131.5, 130.1, 129.8, 128.54, 128.2, 126.9, 103.6, 40.1, 31.1, 29.0, 24.4, 21.9, 21.7. Elementanalīze: aprēķināts $\text{C}_{22}\text{H}_{22}\text{ClNO}_3$: C 68.84, H 5.78, N 3.65; atrasts: C 68.82, H 5.78, N 3.62. AEŠH-MS (ESI) m/z : 383.1 [M+H]⁺.

2-(3-(2'-Fluor-[1,1'-bifenil]-4-il)propānamido)cikloheks-1-ēn-karbonskābe (**79e**)



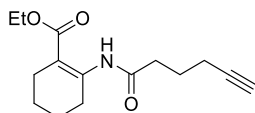
79e iegūst no etilesterā **78e** (0,12 g, 0,30 mmol) un 2 N NaOH (0,46 ml, 0,92 mmol), izmantojot karbonskābes **27a** iegūšanas metodi. Iegūst 59 mg (53 %) produkta **79e**, balta cieta viela. ^1H -KMR (300 MHz, CDCl₃) δ 11.37 (s, 1H), 10.37 (b s, 1H), 7.51 – 7.45 (m, 2H), 7.41 (td, $J = 7.7, 1.9$ Hz, 1H), 7.33 – 7.25 (m, 3H), 7.23 – 7.15 (m, 1H), 7.13 (ddd, $J = 10.8, 8.0, 1.3$ Hz, 1H), 3.07 – 2.95 (m, 4H), 2.72 – 2.63 (m, 2H), 2.38 – 2.28 (m, 2H), 1.70 – 1.54 (m, 4H). ^{13}C -KMR (100 MHz, CDCl₃) δ 174.4, 170.9, 159.9 (d, ${}^1\text{J}_{\text{CF}} = 247.6$ Hz), 155.1, 140.2, 133.9 (${}^1\text{J}_{\text{CF}} = 1.0$ Hz), 130.8 (d, ${}^1\text{J}_{\text{CF}} = 3.5$ Hz), 129.3 (d, ${}^1\text{J}_{\text{CF}} = 3.0$ Hz), 128.9 (d, ${}^1\text{J}_{\text{CF}} = 8.5$ Hz), 128.6, 128.1 (d, ${}^1\text{J}_{\text{CF}} = 1.8$ Hz), 124.4 (d, ${}^1\text{J}_{\text{CF}} = 3.7$ Hz), 116.2 (d, ${}^1\text{J}_{\text{CF}} = 22.6$ Hz), 103.6, 40.2, 31.0, 29.0, 24.4, 21.9, 21.7. Elementanalīze: aprēķināts $\text{C}_{22}\text{H}_{23}\text{FNO}_3$: C 71.95, H 6.04, N 3.81; atrasts: C 71.95, H 6.06, N 3.67. AEŠH-MS (ESI) m/z : 366.2 [M-H]⁺.

2-(3-(2'-Fluor-4'-hidroksi-[1,1'-bifenil]-4-il)propānamido)cikloheks-1-ēn-karbonskābe (**79f**)



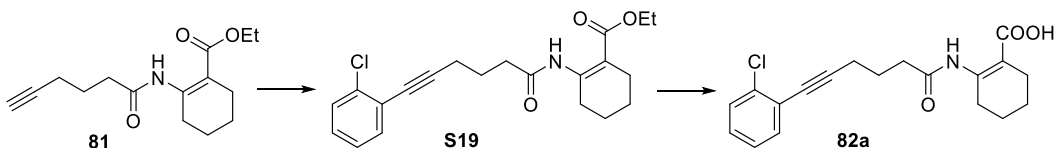
79f iegūst no etilesterā **78f** (0,15 g, 0,36 mmol) un 2 N NaOH (0,55 ml, 1,10 mmol), izmantojot karbonskābes **27a** iegūšanas metodi. Iegūst 80 mg (57 %) produkta **79f**, balta cieta viela. ¹H-KMR (300 MHz, DMSO-*d*6) δ 11.37 (s, 1H), 10.37 (b s, 1H), 7.51 – 7.45 (m, 2H), 7.41 (td, *J* = 7.7, 1.9 Hz, 1H), 7.33 – 7.25 (m, 3H), 7.20 (dd, *J* = 7.5, 1.4 Hz, 1H), 7.13 (ddd, *J* = 10.8, 8.0, 1.3 Hz, 1H), 3.07 – 2.95 (m, 4H), 2.72 – 2.63 (m, 2H), 2.38 – 2.28 (m, 2H), 1.70 – 1.54 (m, 4H). ¹³C-KMR (100 MHz, DMSO-*d*6) δ 171.0, 169.8, 159.6 (d, *J*_{CF} = 245.0 Hz), 158.3 (d, *J*_{CF} = 11.7 Hz), 150.4, 139.5, 133.2 (d, *J*_{CF} = 1.9 Hz), 130.9 (d, *J*_{CF} = 5.6 Hz), 128.4, 128.3 (d, *J*_{CF} = 3.0 Hz), 118.7 (d, *J*_{CF} = 13.4 Hz), 112.1 (d, *J*_{CF} = 2.7 Hz), 104.8, 103.0 (d, *J*_{CF} = 25.1 Hz), 38.9, 30.1, 28.1, 24.4, 21.5, 21.4. Elementanalīze: aprēķināts C₂₂H₂₂FNO₄: C 68.92, H 5.78, N 3.65; atrasts: C 68.51, H 5.71, N 3.52. AEŠH-MS (ESI) *m/z*: 382.2 [M-H]⁺.

2-(Heks-5-īnamido)cikloheks-1-ēn-1-karbonskābes etilesteris (81)



Heks-5-īnskābes (**80**) (0,50 g, 4,46 mmol) šķīdumam DCM (10 ml) argona atmosfērā pievieno DMF (17 μl, 0,22 mmol) un oksalilhlorīdu (0,10 ml, 11,5 mmol), un maisa 40 min. istabas temperatūrā, tad reakcijas maisījumu ietvaicē. Atlikumu izšķīdina DCM (3 ml), iegūto šķīdumu piepilina amīna **23** (0,79 g, 4,68 mmol) un DIPEA (0,77 ml, 4,46 mmol) šķīdumam DCM (5 ml) 0 °C temperatūrā argona atmosfērā un maisa 1 stundu 0 °C temperatūrā, tad reakcijas maisījumam ļauj sasilt līdz istabas temperatūrai. Reakcijas maisījumu atšķaida ar DCM, mazgā secīgi ar pies. NH₄Cl šķīdumu un pies. NaCl šķīdumu, žāvē virs Na₂SO₄ un ietvaicē. Atlikumu hromatografē uz silikagela (*Biotage*, EtOAc-PE, 5-25 %) un iegūst 0,69 g (59 %) produkta **81**, bezkrāsaina eļļa. ¹H-KMR (300 MHz, CDCl₃) δ 11.61 (s, 1H), 4.18 (q, *J* = 7.1 Hz, 2H), 3.01 – 2.89 (m, 2H), 2.46 (t, *J* = 7.3 Hz, 2H), 2.35 – 2.27 (m, 2H), 2.27 (td, *J* = 6.9, 2.6 Hz, 3H), 1.97 (t, *J* = 2.6 Hz, 1H), 1.88 (p, *J* = 7.0 Hz, 2H), 1.69 – 1.50 (m, 4H), 1.29 (t, *J* = 7.1 Hz, 3H). ¹³C-KMR (75 MHz, CDCl₃) δ 171.0, 170.1, 152.3, 104.6, 83.5, 69.3, 60.3, 37.0, 28.8, 24.3, 24.0, 22.0, 21.8, 18.0, 14.4. AEŠH-MS (ESI) *m/z* 264.3 [M+H]⁺.

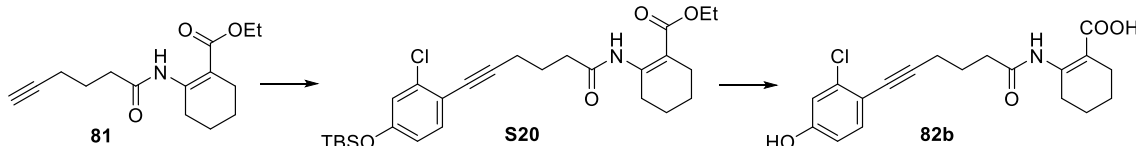
2-(6-(2-Hlorfenil)heks-5-īnamido)cikloheks-1-ēn-1-karbonskābe (82a)



2-(6-(2-Hlorfenil)heks-5-īnamido)cikloheks-1-ēn-1-karbonskābes etilesteris (S19). **S19** iegūst no 1-hlor-2-iodbenzola (0,15 g, 0,64 mmol), alkīna **81** (0,14 g, 0,53 mmol), TEA (0,37 ml, 2,65 mmol), PdCl₂[PPh₃]₂ (19 mg, 0,03 mmol) un CuI (5 mg, 0,03 mmol), izmantojot alkīna **72a** iegūšanas metodi. Iegūst 0,14 g (70 %) produkta **S19**, dzeltena eļļa. ¹H-KMR (300 MHz, CDCl₃) δ 11.66 (s, 1H), 7.47 – 7.41 (m, 1H), 7.39 – 7.34 (m, 1H), 7.23 – 7.13 (m, 2H), 4.17 (q, *J* = 7.1 Hz, 2H), 3.02 – 2.92 (m, 2H), 2.61 – 2.52 (m, 4H), 2.36 – 2.25 (m, 2H), 2.00 (p, *J* = 7.1 Hz, 2H), 1.67 – 1.52 (m, 4H), 1.29 (t, *J* = 7.1 Hz, 3H). AEŠH-MS (ESI) *m/z*: 374.3 [M+H]⁺. *2-(6-(2-Hlorfenil)heks-5-īnamido)cikloheks-1-ēn-1-karbonskābe (82a).* **82a** iegūst no etilesterā **S19** (0,14 g, 0,37 mmol) un 2 N NaOH (0,56 ml, 1,12 mmol), izmantojot karbonskābes **73a** iegūšanas metodi. Iegūst 70 mg (54 %) produkta **82a**, balta cieta viela. ¹H-KMR (400 MHz, CDCl₃) δ 11.43 (s, 1H), 11.27 (b s, 1H), 7.43 – 7.40 (m, 2H), 7.36 – 7.33 (m, 2H), 7.18 (dt, *J* = 7.5, 2.1 Hz, 1H), 7.14 (dt, *J* = 7.4, 1.6 Hz, 1H), 3.05 – 2.95 (m, 2H),

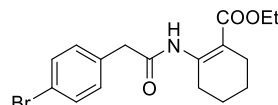
2.60 – 2.52 (m, 4H), 2.35 – 2.26 (m, 2H), 1.98 (p, $J = 7.1$ Hz, 2H), 1.69 – 1.52 (m, 4H). ^{13}C -KMR (100 MHz, CDCl_3) δ 174.6, 171.3, 155.0, 136.0, 133.4, 129.2, 128.8, 126.4, 123.7, 103.6, 94.7, 78.7, 37.2, 29.0, 24.4, 24.1, 21.9, 21.7, 19.1. AIMS (ESI) m/z : aprēķināts $\text{C}_{19}\text{H}_{21}\text{ClNO}_3$ [$\text{M}+\text{H}]^+$ 346.1210, atrasts 346.1215.

2-(6-(4-Hidroksi-2-hlorfenil)heks-5-īnamido)cikloheks-1-ēn-1-karbonskābe (82b)



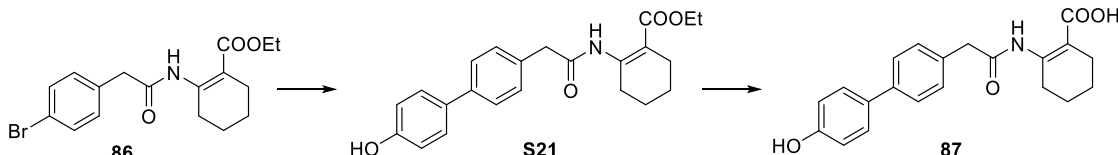
2-(6-((terc-Butildimetsilsilil)oksi)-2-hlorfenil)heks-5-īnamido)cikloheks-1-ēn-1-karbonskābes etilesteris (S20). **S20** iegūst no iodīda **52m** (0,24 g, 0,64 mmol), alkīna **81** (0,14 g, 0,53 mmol), TEA (0,37 ml, 2,66 mmol), $\text{PdCl}_2[\text{PPh}_3]_2$ (19 mg, 0,03 mmol) un CuI (5 mg, 0,03 mmol), izmantojot alkīna **72a** iegūšanas metodi. Iegūst 100 mg (37 %) produkta, bezkrāsaina eļļa. ^1H -KMR (300 MHz, CDCl_3) δ 11.64 (s, 1H), 7.30 (d, $J = 8.5$ Hz, 1H), 6.86 (d, $J = 2.4$ Hz, 1H), 6.65 (dd, $J = 8.5, 2.4$ Hz, 1H), 4.17 (p, $J = 7.1$ Hz, 2H), 3.00 – 2.93 (m, 2H), 2.55 (t, $J = 7.4$ Hz, 2H), 2.54 (t, $J = 6.8$ Hz, 2H), 2.35 – 2.25 (m, 2H), 1.98 (p, $J = 7.1$ Hz, 2H), 1.68 – 1.53 (m, 4H), 1.29 (t, $J = 7.1$ Hz, 3H), 0.97 (s, 9H), 0.19 (s, 6H). AEŠH-MS (ESI) m/z : 504.4 [$\text{M}+\text{H}]^+$. *2-(6-(4-Hidroksi-2-hlorfenil)heks-5-īnamido)cikloheks-1-ēn-karbonskābe (82b).* **82b** iegūst no etilesterā **S20** (0,10 g, 0,20 mmol) un 2 N NaOH (0,30 ml, 0,60 mmol), izmantojot karbonskābes **73a** iegūšanas metodi. Iegūst 25 mg (35 %) produkta **82b**, balta cieta viela. ^1H -KMR (400 MHz, $\text{DMSO}-d_6$) δ 12.49 (s, 1H), 11.65 (s, 1H), 10.19 (s, 1H), 7.30 (d, $J = 8.5$ Hz, 1H), 6.86 (d, $J = 2.4$ Hz, 1H), 6.70 (dd, $J = 8.5, 2.4$ Hz, 1H), 2.85 – 2.78 (m, 2H), 2.48 – 2.43 (m, 4H), 2.25 – 2.16 (m, 2H), 1.80 (p, $J = 7.1$ Hz, 2H), 1.60 – 1.43 (m, 4H). ^{13}C -KMR (100 MHz, $\text{DMSO}-d_6$) δ 171.2, 170.2, 158.0, 150.7, 135.3, 134.1, 115.9, 114.6, 113.1, 104.5, 92.4, 78.0, 36.3, 28.1, 24.3, 23.8, 21.4, 21.4, 18.3. AIMS (ESI) m/z : aprēķināts $\text{C}_{19}\text{H}_{21}\text{ClNO}_4$ [$\text{M}+\text{H}]^+$ 362.1159, atrasts 362.1179.

2-(2-(4-Bromfenil)acetamido)cikloheks-1-ēnkarbonskābes etilesteris (86)



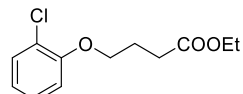
86 iegūst no karbonskābes **85** (0,25 g, 1,18 mmol), oksalilhlorīda (0,26 ml, 2,96 mmol), amīna **23** (0,20 g, 1,18 mmol) un DIPEA (0,20 ml, 1,18 mmol), izmantojot amīda **37a** iegūšanas metodi. Iegūst 0,11 g (26 %) produkta **86**, bezkrāsaina eļļa. ^1H -KMR (300 MHz, CDCl_3) δ 11.69 (s, 1H), 7.51 – 7.41 (m, 2H), 7.23 – 7.16 (m, 2H), 4.16 (q, $J = 7.1$ Hz, 2H), 3.56 (s, 2H), 2.98 – 2.86 (m, 2H), 2.32 – 2.24 (m, 2H), 1.66 – 1.51 (m, 4H), 1.29 (t, $J = 7.1$ Hz, 3H). ^{13}C -KMR (75 MHz, CDCl_3) δ 170.0, 169.0, 152.0, 133.7, 131.9, 131.2, 121.3, 105.4, 60.4, 45.2, 28.6, 24.3, 21.9, 21.7, 14.4. AEŠH-MS (ESI) m/z : 368.1 [$\text{M}+\text{H}]^+$.

2-(2-(4'-Hidroksi[1,1'-bifenil]-4-acetamido)cikloheks-1-ēnkarbonskābe (87)



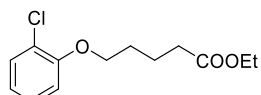
2-(2-(4'-Hidroksi[1,1'-bifenil]-4-acetamido)cikloheks-1-ēnkarbonskābes etilesteris (S21). S21 iegūst no bromīda **86** (0,17 g, 0,46 mmol), 4-hidroksifenilborskābes (96 mg, 0,70 mmol), K₂CO₃ (0,19 g, 1,39 mmol) un Pd(dppf)Cl₂ (17 mg, 0,02 mmol), izmantojot savienojuma **76** iegūšanas metodi. Iegūst 82 mg (47 %) produkta **S21**, balta cieta viela. ¹H-KMR (300 MHz, CDCl₃) δ 11.72 (s, 1H), 7.52 – 7.45 (m, 2H), 7.45 – 7.39 (m, 2H), 7.39 – 7.33 (m, 2H), 6.88 – 6.81 (m, 2H), 5.07 (s, 1H), 4.16 (q, J = 7.1 Hz, 2H), 3.64 (s, 2H), 3.01 – 2.89 (m, 2H), 2.34 – 2.24 (m, 2H), 1.66 – 1.50 (m, 4H), 1.28 (t, J = 7.1 Hz, 3H). ¹³C-KMR (100 MHz, CDCl₃) δ 170.4, 170.1, 155.9, 152.0, 139.9, 132.9, 132.7, 129.8, 128.2, 127.1, 115.8, 105.9, 60.6, 45.5, 28.7, 24.4, 21.9, 21.7, 14.3. AEŠH-MS (ESI) m/z: 380.2 [M+H]⁺. *2-(2-(4'-Hidroksi[1,1'-bifenil]-4-acetamido)cikloheks-1-ēnkarbonskābe (87).* **87** iegūst no etilestera **S21** (35 mg, 0,09 mmol) un 2 N NaOH (0,14 ml, 0,28 mmol), izmantojot karbonskābes **73a** iegūšanas metodi. Iegūst 32 mg (68 %) produkta **87**, balta cieta viela. ¹H-KMR (400 MHz, DMSO-d₆) 12.51 (s, 1H), 11.62 (s, 1H), 9.52 (s, 1H), 7.56 – 7.50 (m, 2H), 7.50 – 7.45 (m, 2H), 7.35 – 7.27 (m, 2H), 6.88 – 6.80 (m, 2H), 3.61 (s, 2H), 2.87 – 2.76 (m, 2H), 2.25 – 2.15 (m, 2H), 1.61 – 1.41 (m, 4H). ¹³C-KMR (100 MHz, DMSO-d₆) δ 171.0, 169.0, 157.1, 150.5, 138.7, 132.9, 130.5, 129.8, 127.6, 126.0, 115.7, 105.1, 44.4, 28.1, 24.4, 21.4, 21.3. AIMS (ESI) m/z: aprēķināts C₂₁H₂₂NO₄ [M+H]⁺ 352.1543, atrasts 352.1539.

Etil 4-(2-hlorfenoksi)butirāts (90a)¹⁴⁸



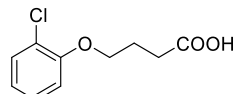
2-Hlorfenola (**88**) (0,50 g, 3,89 mmol), NaI (58 mg, 0,39 mmol) un K₂CO₃ (1,34 g, 9,72 mmol) maisījumam DMF (8 ml) piepilina etil 4-brombutirātu (**89a**) (0,76 g, 3,89 mmol) un maisa 80 °C temperatūrā 2 stundas. Reakcijas maisījumu atdzesē, atšķaida ar Et₂O (50 ml), mazgā secīgi trīs reizes ar ūdeni, tad ar pies. NaCl šķīdumu, žāvē virs Na₂SO₄ un ietvaicē. Atlikumu hromatografē uz silikagela (*Biotage*, EtOAc-PE, 5-50 %) un iegūst 0,65 g (69 %) produkta **90a**. ¹H-KMR (300 MHz, CDCl₃) δ 7.35 (dd, J = 7.8, 1.7 Hz, 1H), 7.20 (ddd, J = 8.1, 7.4, 1.7 Hz, 1H), 6.95 – 6.85 (m, 2H), 4.15 (q, J = 7.1 Hz, 2H), 4.08 (t, J = 6.1 Hz, 2H), 2.58 (t, J = 7.3 Hz, 2H), 2.22 – 2.09 (m, 2H), 1.26 (t, J = 7.1 Hz, 3H).

Etil 5-(2-hlorfenoksi)pentanoāts (90b)



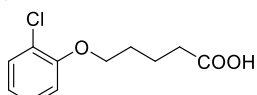
2-Hlorfenola (**88**) (0,50 g, 3,89 mmol) un K₂CO₃ (1,34 g, 9,72 mmol) maisījumam DMF (8 ml) piepilina etil 5-bromvalerātu (**89b**) (0,81 g, 3,89 mmol) un maisa 80 °C temperatūrā 4 stundas. Reakcijas maisījumu atdzesē, atšķaida ar Et₂O (50 ml) un mazgā secīgi trīs reizes ar ūdeni, tad ar pies. NaCl šķīdumu, žāvē virs Na₂SO₄ un ietvaicē. Iegūst 0,99 g (99 %) produkta **90b**, bezkrāsaina eļļa. ¹H-KMR (300 MHz, CDCl₃) δ 7.35 (dd, J = 7.8, 1.6 Hz, 1H), 7.23 – 7.15 (m, 1H), 6.94 – 6.84 (m, 2H), 4.13 (q, J = 7.1 Hz, 2H), 4.07 – 4.01 (m, 2H), 2.45 – 2.36 (m, 2H), 1.93 – 1.81 (m, 4H), 1.26 (t, J = 7.1 Hz, 3H). AEŠH-MS (ESI) – nav ionizācijas.

4-(2-Hlorfenoksi)butānskābe (91a)



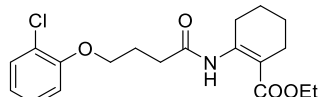
Etilestera **90a** (0,65 g, 2,68 mmol) šķīdumam THF (4 ml) pievieno 2 N NaOH šķīdumu (4,0 ml, 8,00 mmol) un maisa 2 dienas istabas temperatūrā. Šķīdumu ietvaicē līdz ~4 ml tilpumam, paskābina ar 6 N HCl līdz pH 5, izkritušās nogulsnesnofiltrē un mazgā ar ūdeni. Filtrātu paskābina līdz pH 1, izkritušās nogulsnesnofiltrē, nogulsnes apvieno, un žāvē vakuumā virs P₂O₅. Iegūst 0,58 g (87 %) produkta **91a**, balta cieta viela. ¹H-KMR (300 MHz, CDCl₃) δ 10.65 (b s, 1H), 7.35 (dd, *J* = 7.8, 1.6 Hz, 1H), 7.20 (ddd, *J* = 8.3, 7.4, 1.6 Hz, 1H), 6.95 – 6.84 (m, 2H), 4.10 (t, *J* = 6.0 Hz, 2H), 2.66 (t, *J* = 7.2 Hz, 2H), 2.26 – 2.10 (m, 2H). AEŠH-MS (ESI) *m/z*: 215.0 [M+H]⁺.

5-(2-Hlorfenoksi)pentānskābe (91b)



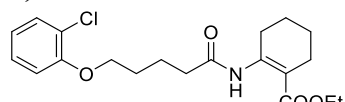
Etilestera **90b** (0,99 g, 3,85 mmol) šķīdumam THF (5 ml) pievieno 2 N NaOH šķīdumu (5,8 ml, 11,6 mmol) un maisa 4 stundas 50 °C temperatūrā. Šķīdumu ietvaicē līdz ~4 ml tilpumam, paskābina ar 6 N HCl līdz pH 1, izkritušās nogulsnesnofiltrē, mazgā ar ūdeni, un žāvē vakuumā virs P₂O₅. Iegūst 0,85 g (96 %) produkta **91b**, balta cieta viela. ¹H-KMR (300 MHz, CDCl₃) δ 9.66 (b s, 1H), 7.35 (dd, *J* = 7.7, 1.7 Hz, 1H), 7.19 (ddd, *J* = 8.2, 7.4, 1.7 Hz, 1H), 6.93 – 6.84 (m, 2H), 4.08 – 4.00 (m, 2H), 2.53 – 2.42 (m, 2H), 1.99 – 1.79 (m, 4H). AEŠH-MS (ESI) *m/z*: 227.6 [M-H]⁻.

2-(4-(2-Hlorfenoksi)butānamido)cikloheks-1-ēn-1-karbonskābes etilesteris (92a)



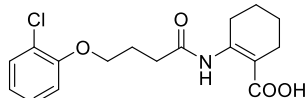
92a iegūst no butānskābes **91a** (0,15 g, 0,70 mmol), oksalilhlorīda (0,15 ml, 1,75 mmol), amīna **23** (0,14 g, 0,84 mmol) un DIPEA (0,12 ml, 0,70 mmol), izmantojot amīda **37a** iegūšanas metodi. Iegūst 0,17 g (45 %) produkta **92a**, kurš satur 1 molekvivalentu hromatogrāfiski neatdalāma amīna **23** piemaisījuma (KMR). Iegūto jēlproduktu izmanto nākamajā stadijā bez attīrišanas. ¹H-KMR (300 MHz, CDCl₃) δ 11.64 (s, 1H), 7.34 (dd, *J* = 7.8, 1.6 Hz, 1H), 7.19 (ddd, *J* = 8.3, 7.7, 1.6 Hz, 1H), 6.92 (dd, *J* = 1.4, 8.3 Hz, 1H), 6.87 (dt, *J* = 1.4, 7.7 Hz, 1H), 4.16 (q, *J* = 7.2 Hz, 3H), 3.02 – 2.92 (m, 2H), 2.59 (t, *J* = 7.2 Hz, 2H), 2.35 – 2.23 (m, 2H), 1.74 – 1.55 (m, 4H), 1.29 (t, *J* = 7.2 Hz, 3H). AEŠH-MS (ESI) *m/z*: 366.3 [M+H]⁺.

2-(5-(2-Hlorfenoksi)pentānamido)cikloheks-1-ēn-1-karbonskābes etilesteris (92b)



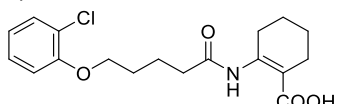
92b iegūst no pentānskābes **91b** (0,16 g, 0,70 mmol), oksalilhlorīda (0,15 ml, 1,75 mmol), amīna **23** (0,14 g, 0,84 mmol) un DIPEA (0,12 ml, 0,70 mmol), izmantojot amīda **37a** iegūšanas metodi. Iegūst 0,14 g (53 %) produkta **92b**, bezkrāsas eļļa. ¹H-KMR (300 MHz, CDCl₃) δ 11.63 (s, 1H), 7.34 (dd, *J* = 7.8, 1.6 Hz, 1H), 7.19 (ddd, *J* = 8.3, 7.7, 1.6 Hz, 1H), 6.90 (dd, *J* = 1.4, 8.3 Hz, 1H), 6.87 (dt, *J* = 1.4, 7.6 Hz, 1H), 4.18 (q, *J* = 7.1 Hz, 2H), 4.10 – 3.99 (m, 2H), 3.02 – 2.90 (m, 2H), 2.49 – 2.38 (m, 2H), 2.37 – 2.23 (m, 2H), 1.99 – 1.81 (m, 4H), 1.69 – 1.54 (m, 4H), 1.29 (t, *J* = 7.1 Hz, 3H). AEŠH-MS (ESI) *m/z*: 380.4 [M+H]⁺.

2-(4-(2-Hlorfenoksi)butānamido)cikloheks-1-ēn-1-karbonskābe (93a)



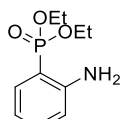
93a iegūst no etilesterā **92a** (0,11 g, 0,30 mmol) un 2 N NaOH (0,66 ml, 1,12 mmol), izmantojot karbonskābes **73a** iegūšanas metodi. Iegūst 62 mg (61 %) produkta **93a**, balta cieta viela. ¹H-KMR (300 MHz, CDCl₃) δ 11.46 (b s, 1H), 11.42 (s, 1H), 7.34 (dd, *J* = 7.9, 1.6 Hz, 1H), 7.18 (ddd, *J* = 8.3, 7.5, 1.6 Hz, 1H), 6.91 (dd, *J* = 8.3, 1.4 Hz, 1H), 6.87 (td, *J* = 7.7, 1.4 Hz, 1H), 4.09 (t, *J* = 6.0 Hz, 2H), 3.05 – 2.96 (m, 2H), 2.60 (t, *J* = 7.2 Hz, 2H), 2.39 – 2.31 (m, 2H), 2.18 (p, *J* = 6.6 Hz, 3H), 1.70 – 1.55 (m, 4H). ¹³C-KMR (100 MHz, CDCl₃) δ 174.5, 171.2, 155.1, 154.4, 130.4, 127.8, 123.2, 121.5, 113.6, 103.5, 67.9, 34.7, 29.1, 24.8, 24.4, 21.9, 21.7. AIMS (ESI) *m/z*: aprēķināts C₁₇H₂₁ClNO₄ [M+H]⁺ 338.1159, atrasts 338.1144.

2-(5-(2-Hlorfenoksi)pentānamido)cikloheks-1-ēn-1-karbonskābe (93b)



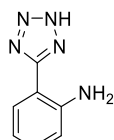
93b iegūst no etilesterā **92b** (0,20 g, 0,53 mmol) un 2 N NaOH (0,80 ml, 1,60 mmol), izmantojot karbonskābes **73a** iegūšanas metodi. Iegūst 0,13 g (72 %) produkta **93b**, balta cieta viela. ¹H-KMR (400 MHz, CDCl₃) δ 11.51 (b s, 1H), 11.40 (s, 1H), 7.34 (dd, *J* = 7.8, 1.6 Hz, 1H), 7.22 – 7.15 (m, 1H), 6.92 – 6.84 (m, 2H), 4.09 – 4.00 (m, 2H), 3.03-2.95 (m, 2H), 2.51 – 2.39 (m, 2H), 2.38 – 2.27 (m, 2H), 1.95 – 1.84 (m, 4H), 1.70 – 1.53 (m, 4H). ¹³C-KMR (100 MHz, CDCl₃) δ 174.6, 171.7, 155.2, 154.6, 130.4, 127.7, 123.1, 121.4, 113.5, 103.4, 68.7, 38.2, 29.0, 28.6, 24.4, 22.0, 21.9, 21.7. AIMS (ESI) *m/z*: aprēķināts C₁₈H₂₃ClNO₄ [M+H]⁺ 352.1316, atrasts 352.1306.

Dietil (2-aminofenil)fosfonāts (95)⁹⁹



2-Bromanilīna (0,40 g, 2,33 mmol), dietilfosfīta (0,30 ml, 2,33 mmol) un TEA (0,65 ml, 4,66 mmol) šķīdumu EtOH (2,5 ml) degazē ar argonu, maisījumam pievieno Pd(OAc)₂ (26 mg, 0,12 mmol) un trifenilfosfinu (61 mg, 0,23 mmol), un maisa argona atmosferā slēgtā ampulā 16 stundas 80 °C temperatūrā. Reakcijas maisījumu atdzesē, filtrē caur silikagelu, silikagelu izskalo ar DCM un apvienotos filtrātus ietvaicē. Atlikumu izšķīdina DCM, secīgi mazgā ar ūdeni un pies. NaCl šķīdumu, tad žāvē virs Na₂SO₄ un ietvaicē. Atlikumu hromatografē uz silikagela (*Biotage*, EtOAc-PE, 20-70 %) un iegūst 0,27 g (51 %) produkta **95**. ¹H-KMR (400 MHz, CDCl₃) δ 7.44 (ddd, *J* = 14.3, 7.7, 1.6 Hz, 1H), 7.27 (tt, *J* = 1.4, 7.8 Hz, 1H), 6.75 – 6.59 (m, 2H), 5.14 (b s, 2H), 4.21 – 3.97 (m, 4H), 1.32 (t, *J* = 7.1 Hz, 6H).

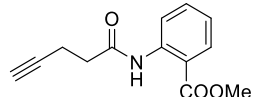
2-(2*H*-Tetrazol-5-il)anilīns (97)¹⁴⁹



2-Aminobenzonitrila (0,50 g, 4,23 mmol), NaN₃ (0,33 g, 5,08 mmol) un NH₄Cl (0,27 g, 5,08 mmol) maisījumu DMF (4 ml) maisa 72 stundas 105 °C temperatūrā slēgtā ampulā

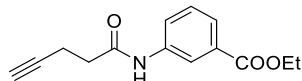
argona atmosfērā. Reakcijas maisījumu atdzesē, ietvaicē līdz ~1 ml tilpumam un tad atšķaida ar ūdeni. Maisījumu ekstrahē ar DCM trīs reizes, organiskos slāņus apvieno, žāvē virs Na₂SO₄ un ietvaicē. Atlikumu pārkristalizē no ūdens un žāvē virs P₂O₅. Iegūst 0,28 g (41 %) produkta **97**. ¹H-KMR (300 MHz, DMSO-*d*₆) δ 9.67 (b s, 1H), 7.71 (dd, *J* = 8.0, 1.5 Hz, 1H), 7.24 (ddd, *J* = 8.3, 7.1, 1.5 Hz, 1H), 6.89 (dd, *J* = 8.3, 1.2 Hz, 1H), 6.68 (ddd, *J* = 8.0, 7.1, 1.2 Hz, 1H).

2-(Pent-4-īnamido)benzoskābes metilesteris (**99a**)¹⁵⁰



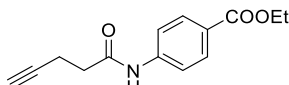
99a iegūst no pent-4-īnskābes (0,20 g, 2,04 mmol), oksalilhlorīda (0,44 ml, 5,10 mmol), 2-aminobenzoskābes metilestera (**98a**) (0,32 g, 2,14 mmol) un DIPEA (0,35 ml, 2,04 mmol), izmantojot amīda **37a** iegūšanas metodi. Iegūst 0,33 g (69 %) produkta **99a**. ¹H-KMR (400 MHz, CDCl₃) δ 11.14 (s, 1H), 8.72 (dd, *J* = 8.5, 1.2 Hz, 1H), 8.03 (ddd, *J* = 8.0, 1.7, 0.4 Hz, 1H), 7.55 (ddd, *J* = 8.5, 7.3, 1.7 Hz, 1H), 7.09 (ddd, *J* = 8.0, 7.3, 1.2 Hz, 1H), 3.93 (s, 3H), 2.72 – 2.67 (m, 2H), 2.66 – 2.60 (m, 2H), 1.99 (t, *J* = 2.5 Hz, 1H).

3-(Pent-4-īnamido)benzoskābes etilesteris (**99b**)



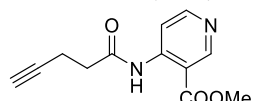
99b iegūst no pent-4-īnskābes (0,20 g, 2,04 mmol), oksalilhlorīda (0,44 ml, 5,10 mmol), 3-aminobenzoskābes etilestera (**98b**) (0,35 g, 2,14 mmol) un DIPEA (0,35 ml, 2,04 mmol), izmantojot amīda **37a** iegūšanas metodi. Iegūst 0,29 g (59 %) produkta **99b**, balta cieta viela. ¹H-KMR (300 MHz, CDCl₃) δ 8.00 (s, 1H), 7.94 (d, *J* = 8.1 Hz, 1H), 7.80 (d, *J* = 7.8 Hz, 1H), 7.53 (s, 1H), 7.41 (t, *J* = 7.9 Hz, 1H), 4.38 (q, *J* = 7.1 Hz, 2H), 2.70 – 2.55 (m, 4H), 2.08 (s, 1H), 1.39 (t, *J* = 7.1 Hz, 3H). AEŠH-MS (ESI) *m/z*: 246.3 [M+H]⁺.

4-(Pent-4-īnamido)benzoskābes etilesteris (**99c**)



99c iegūst no pent-4-īnskābes (0,20 g, 2,04 mmol), oksalilhlorīda (0,44 ml, 5,10 mmol), 4-aminobenzoskābes etilestera (**98c**) (0,35 g, 2,14 mmol) un DIPEA (0,35 ml, 2,04 mmol), izmantojot amīda **37a** iegūšanas metodi. Iegūst 0,38 g (76 %) produkta **99c**, balta cieta viela. ¹H-KMR (300 MHz, CDCl₃) δ 8.07 – 7.94 (m, 2H), 7.65 – 7.54 (m, 2H), 7.50 (s, 1H), 4.36 (q, *J* = 7.1 Hz, 2H), 2.66 – 2.60 (m, 4H), 2.11 – 2.06 (m, 1H), 1.39 (t, *J* = 7.1 Hz, 3H). AEŠH-MS (ESI) *m/z*: 246.3 [M+H]⁺.

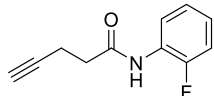
4-(Pent-4-īnamido)nikotīnskābes metilesteris (**99d**)



99d iegūst no pent-4-īnskābes (0,20 g, 2,04 mmol), oksalilhlorīda (0,44 ml, 5,10 mmol), 4-aminonikotīnskābes metilestera (**98d**) (0,33 g, 2,14 mmol) un DIPEA (0,35 ml, 2,04 mmol), izmantojot amīda **37a** iegūšanas metodi. Iegūst 0,27 g (57 %) produkta, dzeltena cieta viela. ¹H-KMR (300 MHz, DMSO-*d*₆) δ 10.73 (s, 1H), 8.98 (s, 1H), 8.63 (d, *J* = 5.8 Hz, 1H), 8.29

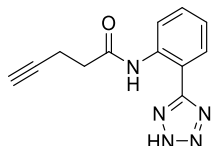
(d, $J = 5.8$ Hz, 1H), 3.90 (s, 3H), 2.83 (t, $J = 2.6$ Hz, 1H), 2.74 – 2.62 (m, 2H), 2.52 – 2.44 (m, pārklājas ar DMSO, 2H). AEŠH-MS (ESI) m/z : 233.1 [M+H]⁺.

N-(2-Fluorfenil)pent-4-īnamīds (99e)¹⁵¹



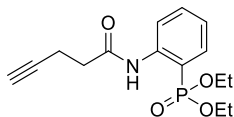
Pent-4-īnskābes (0,20 g, 2,04 mmol), EDCl (0,43 g, 2,24 mmol) un HOBr (0,27 g, 2,04 mmol) šķīdumu DCM (5 ml) maisa 15 min., tad pievieno 2-fluoranilīnu (**98e**) (0,22 g, 2,04 mmol) un maisa istabas temperatūrā 18 stundas. Reakcijas maisījumu atšķaida ar DCM, mazgā ar ūdeni, pies. NaCl šķīdumu, žāvē virs Na₂SO₄ un ietvaicē. Atlikumu hromatografē uz silikagela (EtOAc-PE, 1:4) un iegūst 0,25 g (64 %) produkta **99e**. ¹H-KMR (300 MHz, CDCl₃) δ 8.33 (t, $J = 8.4$ Hz, 1H), 7.59 (s, 1H), 7.19 – 6.98 (m, 3H), 2.72 – 2.55 (m, 4H), 2.10 – 2.05 (m, 1H).

N-(2-(2*H*-Tetrazol-5-il)fenil)pent-4-īnamīds (99f)



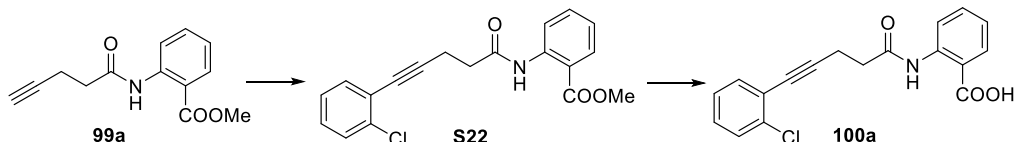
Pent-4-īnskābes (0,10 g, 1,02 mmol), EDCl (0,21 g, 1,12 mmol) un HOBr (0,14 g, 1,02 mmol) šķīdumu DCM (5 ml) maisa 15 min., tad pievieno 2-(2*H*-tetrazol-5-il)anilīnu (**97**) (0,16 g, 1,02 mmol) un maisa istabas temperatūrā 18 stundas. Reakcijas maisījumu atšķaida ar DCM, mazgā ar ūdeni, pies. NaCl šķīdumu, žāvē virs Na₂SO₄ un ietvaicē. Atlikumu hromatografē uz silikagela (MeOH-DCM-AcOH, 20:1:0,5), tad uz *Biotage* apgrieztās fāzes kolonnas (MeOH-ūdens, 20-100 %) un iegūst 0,12 g (49 %) produkta **99f**, balta cieta viela. ¹H-KMR (300 MHz, DMSO-*d*₆) δ 10.56 (s, 1H), 8.24 (dd, $J = 8.4, 1.2$ Hz, 1H), 7.90 (dd, $J = 7.8, 1.6$ Hz, 1H), 7.57 (ddd, $J = 8.4, 7.4, 1.6$ Hz, 1H), 7.32 (td, $J = 7.6, 1.2$ Hz, 1H), 2.79 (t, $J = 2.6$ Hz, 1H), 2.66 – 2.55 (m, 2H), 2.50 – 2.44 (m, pārklājas ar DMSO, 2H). AEŠH-MS (ESI) m/z : 242.2 [M+H]⁺.

Dietil (2-(pent-4-īnamido)fenil)fosfonāts (99g)



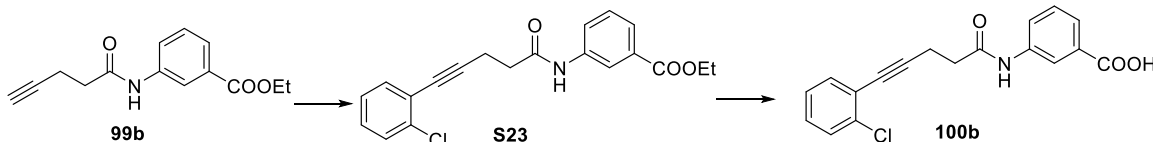
99g iegūst no pent-4-īnskābes (0,26 g, 2,62 mmol), oksalilhlorīda (0,57 ml, 6,54 mmol), dietil (2-aminofenil)fosfonāta (**95**) (0,60 g, 2,62 mmol) un DIPEA (0,50 ml, 2,88 mmol), izmantojot amīda **37a** iegūšanas metodi. Iegūst 0,66 g (82 %) produkta **99g**, dzeltena eļļa. ¹H-KMR (300 MHz, CDCl₃) δ 10.71 (s, 1H), 8.62 (ddd, $J = 8.8, 6.5, 1.0$ Hz, 1H), 7.61 – 7.49 (m, 2H), 7.12 (tdd, $J = 7.6, 3.1, 1.0$ Hz, 1H), 4.23 – 3.98 (m, 4H), 2.71 – 2.57 (m, 4H), 1.96 (t, $J = 2.5$ Hz, 1H), 1.33 (td, $J = 7.1, 0.6$ Hz, 3H). ¹³C-KMR (75 MHz, CDCl₃) δ 169.8, 142.7 (d, $J = 7.6$ Hz), 134.2, 132.5 (d, $J = 5.4$ Hz), 123.1 (d, $J = 13.7$ Hz), 120.9 (d, $J = 11.5$ Hz), 113.7 (d, $J = 179.1$ Hz), 82.8, 69.2, 62.8 (d, $J = 5.3$ Hz), 37.0, 16.3 (d, $J = 6.7$ Hz), 14.7. AEŠH-MS (ESI) m/z : 246.3 [M+H]⁺.

2-(5-(2-Hlorfenil)pent-4-īnamīdo)benzoskābe (100a)



2-(5-(2-Hlorfenil)(pent-4-īnamido)benzoskābes metilesteris (S22). S22 iegūst no 1-hlor-2-iodbenzola (0,16 g, 0,67 mmol), alkīna 99a (0,13 g, 0,56 mmol), TEA (0,39 ml, 2,81 mmol), PdCl₂[PPh₃]₂ (19 mg, 0,03 mmol) un CuI (5 mg, 0,03 mmol), izmantojot alkīna 72a iegūšanas metodi. Iegūst 0,18 g (94 %) produkta S22, dzeltena eļļa. ¹H-KMR (300 MHz, CDCl₃) δ 11.19 (s, 1H), 8.74 (dd, *J* = 8.5, 1.0 Hz, 1H), 8.03 (dd, *J* = 8.0, 1.7 Hz, 1H), 7.55 (ddd, *J* = 8.7, 7.3, 1.5 Hz, 1H), 7.43 – 7.38 (m, 1H), 7.37 – 7.32 (m, 1H), 7.24 – 7.13 (m, 2H), 7.12 – 7.05 (m, 1H), 3.90 (s, 3H), 2.98 – 2.87 (m, 2H), 2.86 – 2.74 (m, 2H). AEŠH-MS (ESI) *m/z*: 342.2 [M+H]⁺. *2-(5-(2-Hlorfenil)(pent-4-īnamido)benzoskābe (100a).* 100a iegūst no metilesterā S22 (0,17 g, 0,50 mmol) un 2 N NaOH (0,75 ml, 1,50 mmol), izmantojot karbonskābes 27a iegūšanas metodi. Iegūst 89 mg (55 %) produkta 100a, balta cieta viela. ¹H-KMR (400 MHz, DMSO-*d*₆) δ 13.61 (s, 1H), 11.25 (s, 1H), 8.51 (dd, *J* = 8.4, 0.9 Hz, 1H), 7.98 (dd, *J* = 7.9, 1.5 Hz, 1H), 7.59 (ddd, *J* = 8.6, 7.4, 1.6 Hz, 1H), 7.51 – 7.42 (m, 2H), 7.33 (td, *J* = 7.7, 2.0 Hz, 1H), 7.28 (td, *J* = 7.5, 1.4 Hz, 1H), 7.18 – 7.12 (m, 1H), 2.87 – 2.78 (m, 2H), 2.76 – 2.67 (m, 2H). ¹³C-KMR (100 MHz, DMSO-*d*₆) δ 169.5, 169.4, 140.7, 134.5, 134.0, 133.2, 131.1, 129.6, 129.2, 127.1, 122.7, 122.5, 120.0, 116.5, 94.9, 77.7, 36.5, 15.2. AIMS (ESI) *m/z*: aprēķināts C₁₈H₁₅ClN₃O [M+H]⁺ 328.0740, atrasts 328.0752.

3-(5-(2-Hlorfenil)pent-4-īnamīdo)benzoskābe (100b)



3-(5-(2-Hlorfenil)(pent-4-īnamido)benzoskābes etilesteris (S23). S23 iegūst no 1-hlor-2-iodbenzola (0,14 g, 0,59 mmol), alkīna 99b (0,12 g, 0,49 mmol), TEA (0,34 ml, 2,45 mmol), PdCl₂[PPh₃]₂ (17 mg, 0,02 mmol) un CuI (5 mg, 0,03 mmol), izmantojot alkīna 72a iegūšanas metodi. Iegūst 0,15 g (84 %) produkta S23, balta cieta viela. ¹H-KMR (300 MHz, CDCl₃) δ 8.02 (s, 1H), 7.92 (d, *J* = 8.2 Hz, 1H), 7.80 (d, *J* = 7.8 Hz, 1H), 7.57 (s, 1H), 7.45 – 7.35 (m, 3H), 7.23 (td, *J* = 7.6, 2.0 Hz, 1H), 7.18 (dd, *J* = 7.4, 1.6 Hz, 1H), 4.36 (q, *J* = 7.1 Hz, 2H), 2.92 (t, *J* = 7.0 Hz, 2H), 2.72 (t, *J* = 6.9 Hz, 2H), 1.38 (t, *J* = 7.2 Hz, 3H). AEŠH-MS (ESI) *m/z*: 356.2 [M+H]⁺. *3-(5-(2-Hlorfenil)(pent-4-īnamido)benzoskābe (100b).* 100b iegūst no etilesterā S23 (0,14 g, 0,39 mmol) un 2 N NaOH (0,60 ml, 1,20 mmol), izmantojot karbonskābes 73a iegūšanas metodi. Iegūst 103 mg (80 %) produkta 100b, balta cieta viela. ¹H-KMR (400 MHz, DMSO-*d*₆) δ 12.93 (s, 1H), 10.22 (s, 1H), 8.26 (t, *J* = 1.6 Hz, 1H), 7.83 (ddd, *J* = 8.0, 2.0, 1.0 Hz, 1H), 7.62 (dt, *J* = 7.9, 1.6 Hz, 1H), 7.50 – 7.45 (m, 2H), 7.42 (t, *J* = 7.9 Hz, 1H), 7.34 (td, *J* = 7.7, 1.9 Hz, 1H), 7.29 (td, *J* = 7.5, 1.4 Hz, 1H), 2.80 (t, *J* = 7.1 Hz, 2H), 2.67 (t, *J* = 7.1 Hz, 2H). ¹³C-KMR (100 MHz, DMSO-*d*₆) δ 169.6, 167.2, 139.3, 134.5, 133.2, 131.3, 129.6, 129.2, 129.0, 127.2, 123.9, 123.1, 122.6, 119.8, 95.3, 77.5, 35.3, 15.2. AIMS (ESI) *m/z*: aprēķināts C₁₈H₁₅ClN₃O [M+H]⁺ 328.0740, atrasts 328.0746.

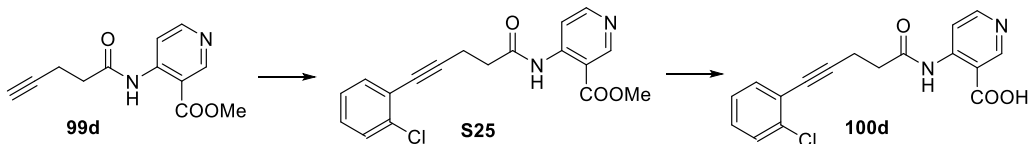
4-(5-(2-Hlorfenil)pent-4-īnamīdo)benzoskābe (100c)



4-(5-(2-Hlorfenil)(pent-4-īnamido)benzoskābes etilesteris (S24). **S24** iegūst no 1-hlor-2-iodbenzola (0,14 g, 0,59 mmol), alkīna **99c** (0,12 g, 0,49 mmol), TEA (0,34 ml, 2,45 mmol), $\text{PdCl}_2[\text{PPh}_3]_2$ (17 mg, 0,02 mmol) un CuI (5 mg, 0,03 mmol), izmantojot alkīna **72a** iegūšanas metodi. Iegūst 0,14 g (78 %) produkta **S24**, balta cieta viela. ^1H -KMR (300 MHz, CDCl_3) δ 8.05 – 7.96 (m, 2H), 7.68 (s, 1H), 7.65 – 7.56 (m, 2H), 7.44 – 7.35 (m, 2H), 7.23 (td, J = 7.6, 2.0 Hz, 1H), 7.18 (dd, J = 7.5, 1.6 Hz, 1H), 4.36 (q, J = 7.1 Hz, 2H), 2.97 – 2.87 (m, 2H), 2.78 – 2.69 (m, 2H), 1.38 (t, J = 7.1 Hz, 3H). AEŠH-MS (ESI) m/z : 356.2 [M+H]⁺.

4-(5-(2-Hlorfenil)(pent-4-īnamido)benzoskābe (100c). **100c** iegūst no etilesterā **S24** (0,13 g, 0,37 mmol) un 2 N NaOH šķīduma (0,55 ml, 1,10 mmol), izmantojot karbonskābes **73a** iegūšanas metodi. Iegūst 39 mg (33 %) produkta **100c**, balta cieta viela. ^1H -KMR (400 MHz, $\text{DMSO}-d_6$) δ 12.69 (s, 1H), 10.34 (s, 1H), 7.93 – 7.86 (m, 2H), 7.75 – 7.69 (m, 2H), 7.50 – 7.45 (m, 2H), 7.34 (td, J = 7.6, 2.1 Hz, 1H), 7.29 (td, J = 7.5, 1.6 Hz, 1H), 2.85 – 2.75 (m, 2H), 2.74 – 2.64 (m, 2H). ^{13}C -KMR (100 MHz, $\text{DMSO}-d_6$) δ 169.9, 166.9, 143.2, 134.5, 133.2, 130.4, 129.6, 129.2, 127.2, 125.0, 122.6, 118.3, 95.2, 77.5, 35.4, 15.2. AIMS (ESI) m/z : aprēķināts $\text{C}_{18}\text{H}_{15}\text{ClN}_3\text{O}$ [M+H]⁺ 328.0740, atrasts 328.0746.

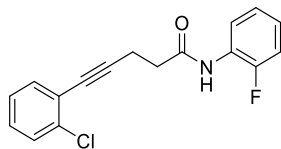
4-(5-(2-Hlorfenil)pent-4-īnamīdo)nikotīnskābe (100d)



4-(5-(2-Hlorfenil)(pent-4-īnamido)nikotīnskābes metilesteris (S25). **S25** iegūst no 1-hlor-2-iodbenzola (0,16 g, 0,67 mmol), alkīna **99d** (0,13 g, 0,56 mmol), TEA (0,34 ml, 2,45 mmol), $\text{PdCl}_2[\text{PPh}_3]_2$ (20 mg, 0,03 mmol) un CuI (5 mg, 0,03 mmol), izmantojot alkīna **72a** iegūšanas metodi. Iegūst 0,14 g (73 %) produkta **S25**, dzeltena cieta viela. ^1H -KMR (300 MHz, CDCl_3) δ 11.25 (s, 1H), 9.15 (s, 1H), 8.65 (d, J = 5.9 Hz, 1H), 8.62 (d, J = 5.9 Hz, 1H), 7.42 – 7.37 (m, 1H), 7.36 – 7.31 (m, 1H), 7.20 (dd, J = 7.3, 2.1 Hz, 1H), 7.15 (dd, J = 7.4, 1.6 Hz, 1H), 3.93 (s, 3H), 2.96 – 2.87 (m, 2H), 2.86 – 2.78 (m, 2H). AEŠH-MS (ESI) m/z : 343.2 [M+H]⁺.

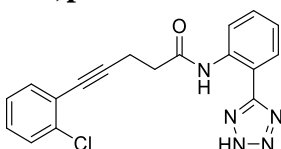
4-(5-(2-Hlorfenil)(pent-4-īnamido)nikotīnskābe (100d). **100d** iegūst no metilesterā **S25** (0,13 g, 0,37 mmol) un 2 N NaOH šķīduma (0,57 ml, 1,14 mmol), izmantojot karbonskābes **27a** iegūšanas metodi. Iegūst 40 mg (32 %) produkta **100d**, balta cieta viela. ^1H -KMR (300 MHz, $\text{DMSO}-d_6$) δ 11.96 (b s, 1H), 9.03 (s, 1H), 8.61 (s, 1H), 8.51 (d, J = 5.4 Hz, 1H), 7.53 – 7.38 (m, 2H), 7.40 – 7.23 (m, 2H), 2.88 – 2.77 (m, 4H). ^{13}C -KMR (100 MHz, $\text{DMSO}-d_6$) δ 170.8, 168.1, 152.3, 150.9, 147.8, 134.5, 133.2, 129.7, 129.2, 127.2, 122.4, 113.3, 94.7, 77.7, 36.6, 15.0. AIMS (ESI) m/z : aprēķināts $\text{C}_{17}\text{H}_{14}\text{ClN}_2\text{O}_3$ [M+H]⁺ 329.0693, atrasts 329.0695.

5-(2-Hlorfenil)-N-(2-fluorfenil)pent-4-īnamīds (100e)



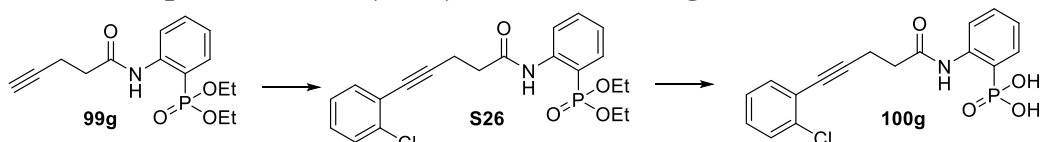
100e iegūst no 1-hlor-2-iodbenzola (0,15 g, 0,63 mmol), alkīna **99e** (0,10 g, 0,46 mmol), TEA (0,36 ml, 2,62 mmol), $\text{PdCl}_2[\text{PPh}_3]_2$ (18 mg, 0,03 mmol) un CuI (5 mg, 0,03 mmol), izmantojot alkīna **72a** iegūšanas metodi. Iegūst 84 mg (53 %) produkta **100e**, balta cieta viela. ^1H -KMR (400 MHz, CDCl_3) δ 8.33 (t, $J = 8.1$ Hz, 1H), 7.65 (s, 1H), 7.42 (dd, $J = 7.2, 2.0$ Hz, 1H), 7.38 – 7.33 (m, 1H), 7.28 – 7.00 (m, 5H), 2.92 (t, $J = 7.1$ Hz, 2H), 2.75 (t, $J = 7.1$ Hz, 2H). ^{13}C -KMR (100 MHz, CDCl_3) δ 169.5, 152.5 (d, $J = 243.5$ Hz), 136.0, 133.4, 129.3, 129.1, 126.5, 126.3 (d, $J = 9.9$ Hz), 124.7 (d, $J = 3.7$ Hz), 124.6 (d, $J = 7.6$ Hz), 123.2, 122.1, 114.9 (d, $J = 19.1$ Hz), 93.6, 79.0, 36.9, 16.1. AIMS (ESI) m/z : aprēķināts $\text{C}_{17}\text{H}_{14}\text{ClFNO}$ [$\text{M}+\text{H}]^+$ 302.0748, atrasts 302.0750.

N-(2-Tetrazol-5-il)fenil-5-(2-hlorfenil)pent-4-īnamīds (100f)



100f iegūst no 1-hlor-2-iodbenzola (0,13 g, 0,55 mmol), alkīna **99f** (0,11 g, 0,46 mmol), TEA (0,32 ml, 2,28 mmol), $\text{PdCl}_2[\text{PPh}_3]_2$ (16 mg, 0,02 mmol) un CuI (4 mg, 0,02 mmol), izmantojot alkīna **72a** iegūšanas metodi. Iegūst 74 mg (46 %) produkta **100f**, balta cieta viela. ^1H -KMR (400 MHz, $\text{DMSO}-d_6$) δ 10.63 (s, 1H), 8.28 (d, $J = 8.3$ Hz, 1H), 7.90 (d, $J = 7.5$ Hz, 1H), 7.57 (t, $J = 7.8$ Hz, 1H), 7.48 – 7.42 (m, 2H), 7.35 – 7.30 (m, 2H), 7.28 (td, $J = 7.5, 1.4$ Hz, 1H), 2.86 – 2.77 (m, 2H), 2.77 – 2.69 (m, 2H). ^{13}C -KMR (100 MHz, $\text{DMSO}-d_6$) δ 169.6, 136.8, 134.4, 133.2, 131.7, 129.6, 129.1, 128.9, 127.1, 124.2, 122.5, 122.5, 114.1, 95.0, 77.6, 35.9, 15.2. AIMS (ESI) m/z : aprēķināts $\text{C}_{18}\text{H}_{15}\text{ClN}_5\text{O}$ [$\text{M}+\text{H}]^+$ 352.0965, atrasts 352.0979.

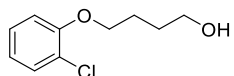
2-(5-(2-Hlorfenil)pent-4-īnamido)fenil)fosfonskābe (100g)



Dietil (2-(5-(2-hlorfenil)(pent-4-īnamido)fenil)fosfonāts (S26). **S26** iegūst no 1-hlor-2-iodbenzola (0,14 g, 0,58 mmol), alkīna **99g** (0,15 g, 0,49 mmol), TEA (0,34 ml, 2,45 mmol), $\text{PdCl}_2[\text{PPh}_3]_2$ (17 mg, 0,02 mmol) un CuI (5 mg, 0,03 mmol), izmantojot alkīna **72a** iegūšanas metodi. Iegūst 0,13 g (64 %) produkta **S26**, dzeltena eļļa. ^1H -KMR (300 MHz, CDCl_3) (300 MHz, CDCl_3) δ 10.77 (s, 1H), 8.65 (ddd, $J = 8.8, 6.6, 1.0$ Hz, 1H), 7.61 – 7.50 (m, 2H), 7.43 – 7.38 (m, 1H), 7.36 – 7.31 (m, 1H), 7.22 – 7.09 (m, 3H), 4.21 – 3.95 (m, 4H), 2.96 – 2.86 (m, 2H), 2.82 – 2.74 (m, 2H), 1.30 (td, $J = 7.1, 0.6$ Hz, 6H). AEŠH-MS (ESI) m/z : 420.3 [$\text{M}+\text{H}]^+$. *(2-(5-(2-Hlorfenil)(pent-4-īnamido)fenil)fosfonskābe (100g).* Dietilfosfonāta **S26** (0,13 g, 0,31 mmol) šķīdumam DCM (1,5 ml) argona atmosfērā, dzesējot ledus vannā, piepilina TMSBr (0,12 ml, 0,93 mmol). Iegūto šķīdumu maisa 18 stundas istabas temperatūrā, tad pievieno vēl TMSBr (30 μL , 0,31 mmol) un turpina maisīšanu 6 dienas. Reakcijas maisījumu ietvaicē, atšķaida ar ūdens (3 ml) un MeOH (1 ml) maisījumu, maisa 3 stundas, tad nogulsnesnofiltrē un žāvē virs P_2O_5 vakuumā. Nogulsnes mazgā ar MeOH, žāvē vakuumā un iegūst 79 mg

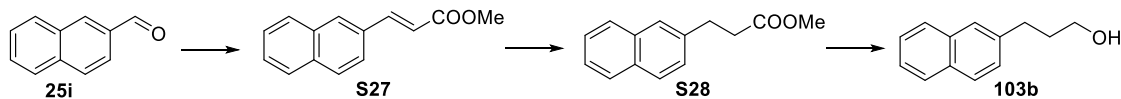
(70 %) produkta **100g**, balta cieta viela. ^1H -KMR (300 MHz, DMSO-*d*₆) δ 11.29 (s, 1H), 8.40 (dd, *J* = 7.9, 5.9 Hz, 1H), 7.62 (dd, *J* = 14.2, 7.6 Hz, 1H), 7.52 – 7.41 (m, 3H), 7.34 (td, *J* = 7.7, 1.8 Hz, 1H), 7.29 (td, *J* = 7.5, 1.2 Hz, 1H), 7.11 (dt, *J* = 7.4, 3.7 Hz, 1H), 4.98 (b s, 2H), 2.81 (t, *J* = 7.2 Hz, 2H), 2.63 (t, *J* = 7.2 Hz, 2H). ^{13}C -KMR (100 MHz, DMSO-*d*₆) δ 168.8, 140.6 (d, *J*_{CP} = 6.9 Hz), 134.5, 133.4, 132.3 (d, *J*_{CP} = 6.2 Hz), 131.8, 129.6, 129.2, 127.2, 122.6 (d, *J*_{CP} = 12.6 Hz), 122.6, 119.4 (d, *J*_{CP} = 10.1 Hz), 95.0, 77.6, 36.3, 15.2. AIMS (ESI) *m/z*: aprēķināts C₁₇H₁₆ClNO₄P [M+H]⁺ 364.0505, atrasts 364.0507.

4-(2-Hlorfenoksi)butan-1-ols (103a)



2-Hlorfenola (**101**) (0,30 ml, 2,94 mmol), 4-hlor-1-butanola (**102**) (0,38 g, 3,52 mmol) un K₂CO₃ (0,49 g, 3,52 mmol) maisījumu DMF (2 ml) silda 80 °C temperatūrā 20 stundas. Reakcijas maisījumu atdzesē, atšķaida ar EtOAc, mazgā secīgi divas reizes ar ūdeni un pies. NaCl šķīdumu, tad žāvē virs Na₂SO₄ un ietvaicē. Atlikumu hromatografē uz silikagela (EtOAc-PE, 1:4), iegūst 89 mg (15 %) produkta **103a**, bezkrāsaina eļļa. ^1H -KMR (300 MHz, CDCl₃) δ 7.36 (dd, *J* = 7.8, 1.7 Hz, 1H), 7.20 (ddd, *J* = 8.3, 7.5, 1.7 Hz, 1H), 6.92 (dd, *J* = 8.3, 1.4 Hz, 1H), 6.87 (td, *J* = 7.6, 1.4 Hz, 1H), 4.08 (t, *J* = 6.0 Hz, 2H), 3.76 (q, *J* = 5.8 Hz, 2H), 2.03 – 1.89 (m, 2H), 1.88 – 1.73 (m, 2H), 1.60 – 1.50 (m, 1H). AEŠH-MS (ESI) *m/z*: 201.0 [M+H]⁺.

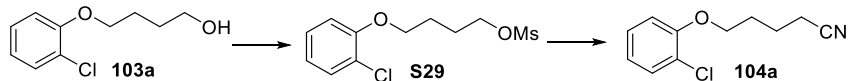
3-(2-Naftil)propan-1-ols (103b)¹⁰²



(*E*)-3-(2-Naftil)akrilskābes metilesteris (**S27**). *t*BuOK (0,46 g, 4,10 mmol) suspendē DMSO (2 ml), pievieno metil 2-(dimetoksifosforil)acetātu (0,55 ml, 3,93 mmol) un maisa 5 min., tad, dzesējot ledus vannā, iegūto maisījumu pievieno pie 2-naftilkarbaldehīda (**25i**) (0,50 g, 3,20 mmol) šķīduma DMSO (2 ml) un turpina maisīšanu 40 min. istabas temperatūrā. Reakcijas maisījumam pievieno ūdeni, izkritušās nogulsnesnofiltrē, mazgā ar ūdeni un žāvē vakuumā. Iegūst 0,62 g (91 %) produkta **S27**. ^1H -KMR (300 MHz, CDCl₃) δ 7.93 (s, 1H), 7.90 – 7.79 (m, 4H), 7.67 (dd, *J* = 8.7, 1.8 Hz, 1H), 7.55 – 7.48 (m, 2H), 3.84 (s, 3H). 3-(2-Naftil)propionskābes metilesteris (**S28**). (*E*)-3-(2-Naftil)akrilskābes metilesteri (**S27**) (0,26 g, 1,22 mmol) izšķīdina 30 ml MeOH un reducē ar H₂ 10 % Pd/C katalizatora (40 mg, 1,5 %) klātienē 2 atm spiedienā 40 min., tad reakcijas maisījumunofiltrē un filtrātu ietvaicē. Iegūst 0,24 g (92 %) produkta **S28**, bezkrāsaina eļļa. ^1H -KMR (300 MHz, CDCl₃) δ 7.85 – 7.73 (m, 3H), 7.65 (s, 1H), 7.51 – 7.38 (m, 2H), 7.34 (dd, *J* = 8.6, 1.8 Hz, 1H), 3.68 (s, 3H), 3.13 (t, *J* = 7.8 Hz, 2H), 2.73 (t, *J* = 7.8 Hz, 3H). 3-(2-Naftil)propan-1-ols (**103b**). LiAlH₄ (0,53 g, 13,94 mmol) suspendē THF (5 ml), tad piepilina 3-(2-naftil)propionskābes metilestera (**S28**) (0,59 g, 2,77 mmol) šķīdumu THF (7 ml) un iegūto suspensiju maisa istabas temperatūrā 1 stundu. Reakcijas maisījumam piepilina EtOAc, līdz vairs neizdalās gāze, maisījumu paskābina ar HCl līdz pH 1 un ekstrahē ar EtOAc divas reizes. Apvienotos ekstraktus mazgā ar pies. NaCl šķīdumu, žāvē virs bezūd. Na₂SO₄ un ietvaicē. Iegūtā eļļa kristalizējas, to žāvē vakuumā un iegūst 0,50 g (98 %) produkta **103b**, balta cieta viela. ^1H -KMR (300 MHz, CDCl₃) δ 7.88 – 7.69 (m, 3H), 7.64 (s, 1H), 7.46 (dt, *J* = 1.7, 6.7 Hz, 1H), 7.42 (dt, *J* = 1.7, 6.8 Hz, 1H), 7.35

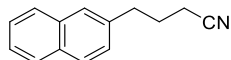
(dd, $J = 8.4, 1.7$ Hz, 1H), 3.72 (t, $J = 6.4$ Hz, 2H), 2.97 – 2.78 (m, 3H), 2.06 – 1.94 (m, 2H), 1.55 (s, 1H).

5-(2-Hlorfenoksi)pentānnitrils (104a)



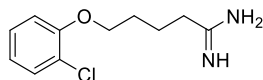
4-(2-Hlorfenoksi)butilmetānsulfonāts (S29). Spirta **103a** (0,18 g, 0,90 mmol) un TEA (0,16 ml, 1,17 mmol) šķīdumam THF (3 ml) argona atmosfērā 0 °C temperatūrā piepilina MsCl (0,09 ml, 1,17 mmol) un maisa istabas temperatūrā 3 stundas. Reakcijas maisījumu atšķaida ar EtOAc, secīgi mazgā ar 1 N HCl, ūdeni, pies. NaHCO₃ šķīdumu un pies. NaCl šķīdumu, tad žāvē virs Na₂SO₄ un ietvaicē. Iegūst 0,23 g (92 %) produkta **S29**, bezkrāsaina eļļa. ¹H-KMR (300 MHz, CDCl₃) δ 7.39 – 7.33 (m, 1H), 7.21 (ddd, $J = 8.3, 7.4, 1.6$ Hz, 1H), 6.94 – 6.86 (m, 2H), 4.40 – 4.33 (m, 2H), 4.08 (t, $J = 5.5$ Hz, 2H), 3.02 (s, 3H), 2.10 – 1.91 (m, 4H). **5-(2-Hlorfenoksi)pentānnitrils (104a).** Mezilāta **S29** (0,23 g, 0,83 mmol) un KCN (0,16 g, 2,47 mmol) šķīdumu DMF (4 ml) maisa 70 °C temperatūrā 16 stundas. Reakcijas maisījumu atdzesē, atšķaida ar ūdeni un ekstrahē ar EtOAc. Ekstraktu mazgā ar ūdeni, pies. NaCl šķīdumu, žāvē virs Na₂SO₄ un ietvaicē. Atlikumu hromatografē uz silikagela (EtOAc-PE, 1:4) un iegūst 0,16 g (93 %) produkta **104a**, bezkrāsaina eļļa. ¹H-KMR (300 MHz, CDCl₃) δ 7.36 (dd, $J = 8.2, 1.7$ Hz, 1H), 7.21 (ddd, $J = 8.3, 7.4, 1.7$ Hz, 1H), 6.94 – 6.87 (m, 2H), 4.08 (t, $J = 5.5$ Hz, 2H), 2.56 – 2.46 (m, 2H), 2.08 – 1.89 (m, 4H). AEŠH-MS (ESI) *m/z*: 211.0 [M+H]⁺.

4-(2-Naftil)butānnitrils (104b)¹⁵²



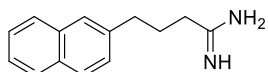
104b iegūst no 3-(2-naftil)propan-1-ola (**103b**) (0,50 g, 2,69 mmol), MsCl (0,23 ml, 0,30 mmol), TEA (0,41 ml, 0,30 mmol) un KCN (0,70 g, 10,7 mmol), izmantojot nitrila **104a** iegūšanas metodi. Iegūst 0,40 g (76 %) produkta **104b**. ¹H-KMR (300 MHz, CDCl₃) δ 7.85 – 7.75 (m, 2H), 7.64 (s, 1H), 7.49 (td, $J = 6.9, 1.7$ Hz, 1H), 7.44 (td, $J = 6.8, 1.7$ Hz, 1H), 7.32 (dd, $J = 8.3, 1.7$ Hz, 1H), 2.96 (t, $J = 7.3$ Hz, 2H), 2.35 (t, $J = 7.1$ Hz, 2H), 2.08 (p, $J = 7.2$ Hz, 2H).

5-(2-Hlorfenoksi)pentānamidīns (105a)



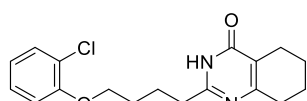
Nitrila **104a** (0,22 g, 1,03 mmol) šķīdumam MeOH (1 ml) 0 °C temperatūrā piepilina acetilhlorīdu (0,40 ml, 5,67 mmol) un maisa 16 stundas istabas temperatūrā. Reakcijas maisījumu ietvaicē, atlikumu izšķīdina 7 N NH₃ šķīdumā MeOH (2,0 ml, 14,0 mmol), un maisa 24 stundas istabas temperatūrā. Šķīdinātāju ietvaicē un atlikumu hromatografē uz *Biotage* apgrieztās fāzes kolonas (MeCN-ūdens, 10-100 %), iegūst 0,12 g (51 %) produkta **105a**, balta cieta viela. ¹H-KMR (300 MHz, DMSO-d₆) δ 8.81 (b s, 3H), 7.42 (dd, $J = 7.8, 1.7$ Hz, 1H), 7.30 (td, $J = 7.8, 1.7$ Hz, 1H), 7.14 (dd, $J = 8.3, 1.5$ Hz, 1H), 6.95 (td, $J = 7.6, 1.5$ Hz, 1H), 4.17 – 3.99 (m, 2H), 2.52 – 2.38 (m, pārklājas ar DMSO, 2H), 1.89 – 1.68 (m, 4H). AEŠH-MS (ESI) *m/z*: 227.2 [M+H]⁺.

4-(2-Naftil)butānamidīns (105b)



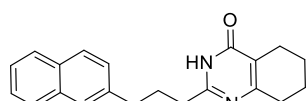
105b iegūst no nitrila **104b** (0,10 g, 0,52 mmol), acetilhlorīda (0,19 ml, 2,60 mmol) un 7 N NH₃ šķīduma MeOH (0,70 ml, 4,90 mmol), izmantojot amidīna **105a** iegūšanas metodi. Iegūst 51 mg (40 %) produkta **105b**, balta cieta viela. ¹H-KMR (300 MHz, DMSO-d₆) δ 9.09 (b s, 3H), 7.90 – 7.82 (m, 3H), 7.71 (s, 1H), 7.49 (dt, *J* = 6.8, 1.6 Hz, 1H), 7.45(dt, *J* = 6.9, 1.6 Hz, 1H), 7.40 (dd, *J* = 8.5, 1.5 Hz, 1H), 2.79 (t, *J* = 7.7 Hz, 2H), 2.46 – 2.38 (m, 2H), 2.06 – 1.95 (m, 4H). AEŠH-MS (ESI) *m/z*: 213.2 [M+H]⁺.

2-(4-(2-Hlorfenoksi)butil)-5,6,7,8-tetrahidrohinazolin-4(3*H*)-ons (106a)



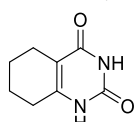
Amidīna **105a** (0,12 g, 0,52 mmol), 2-okso-cikloheksān-1-karbonskābes etilesterā (**22**) (0,09 ml, 0,58 mmol) un K₂CO₃ (36 mg, 0,26 mmol) maisījumu abs. EtOH (1,5 ml) vārā 6 stundas. Reakcijas maisījumu atdzesē, atšķaida ar DCM, tad mazgā ar ūdeni, pies. NaCl šķīdumu, žāvē virs Na₂SO₄ un ietvaicē. Atlikumu hromatografē uz silikagela (MeOH-DCM, 5:95), iegūto produktu pārkristalizē no Et₂O un iegūst 32 mg (18 %) produkta **106a**, balta cieta viela. ¹H-KMR (400 MHz, CDCl₃) δ 12.02 (b s, 1H), 7.34 (dd, *J* = 7.8, 1.7 Hz, 1H), 7.18 (ddd, *J* = 8.3, 7.5, 1.7 Hz, 1H), 6.89 (dd, *J* = 8.3, 1.4 Hz, 1H), 6.88 (td, *J* = 7.7, 1.4 Hz, 1H), 4.07 (t, *J* = 6.0 Hz, 2H), 2.77 – 2.71 (m, 2H), 2.63 – 2.57 (m, 2H), 2.48 – 2.53 (m, 2H), 2.05 – 1.90 (m, 4H), 1.82 – 1.75 (m, 2H), 1.75 – 1.67 (m, 2H). ¹³C-KMR (100 MHz, CDCl₃) δ 165.0, 162.4, 158.0, 154.6, 130.4, 127.7, 123.1, 121.4, 119.4, 113.5, 68.7, 35.0, 31.9, 28.6, 24.5, 22.4, 21.9. Elementanalīze: aprēķināts C₁₈H₂₁ClN₂O₂ · 0.2 H₂O: C 64.26, H 6.41, N 8.33; atrasts: 64.21, H 6.24, N 8.16. AEŠH-MS (ESI) *m/z*: 333.4 [M+H]⁺.

2-(3-(Naftalīn-2-il)-propil)5,6,7,8-tetrahidrohinazolin-4(3*H*)-ons (106b)



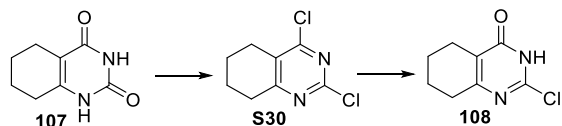
106b iegūts no amidīna **105b** (50 mg, 0,20 mmol), 2-okso-cikloheksān-1-karbonskābes etilesterā (**22**) (35 µl, 0,22 mmol) un K₂CO₃ (14 mg, 0,10 mmol), izmantojot tetrahidrohinazolinona **106a** iegūšanas metodi. Iegūst 37 mg (58 %) produkta **106b**, balta cieta viela. ¹H-KMR (400 MHz, CDCl₃) δ 11.93 (b s, 1H), 7.80 – 7.71 (m, 3H), 7.60 (s, 1H), 7.43 (dt, *J* = 1.8 , 6.9 Hz, 1H), 7.39 (dt, *J* = 1.7, 6.9 Hz, 1H), 7.33 (dd, *J* = 8.4, 1.7 Hz, 1H), 2.88 (t, *J* = 7.5 Hz, 2H), 2.73 – 2.64 (m, 2H), 2.62 – 2.54 (m, 2H), 2.42 – 2.34 (m, 2H), 2.27 – 2.14 (m, 2H), 1.81 – 1.61 (m, 4H). ¹³C-KMR (100 MHz, CDCl₃) δ 165.0, 162.4, 158.1, 139.0, 133.7, 132.2, 128.0, 127.7, 127.5, 127.4, 126.8, 126.0, 125.3, 119.3, 35.7, 35.2, 31.9, 29.1, 22.4, 21.9, 21.8. Elementanalīze: aprēķināts C₂₁H₂₂N₂O: C 79.21, H 6.96, N 8.80; atrasts: C 78.99, H 6.96, N 8.70. AEŠH-MS (ESI) *m/z*: 319.3 [M+H]⁺.

5,6,7,8-Tetrahidrohinazolin-2,4(1*H*,3*H*)-dions (107)¹⁵³



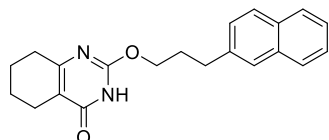
2-Okso-cikloheksān-1-karbonskābes etilesterā (**22**) (0,50 ml, 3,13 mmol) šķīdumam EtOH (10 ml) pievieno nātrijs metoksīda šķīdumu MeOH (5,4 M, 1,12 ml, 6,25 mmol) un urīnvielu (0,24 g, 4,06 mmol), un maisa 80 °C temperatūrā 4,5 stundas, veidojas nogulsnes. Reakcijas maisījumu atdzesē, nogulsnes nofiltrē, mazgā ar aukstu Et₂O, žāvē un iegūst 0,40 g (77 %) produkta **107**, balta cieta viela. ¹H-KMR (300 MHz, DMSO-*d*₆) δ 5.41 (s, 1H), 2.20 – 2.03 (m, 1H), 1.64 – 1.43 (m, 1H).

2-Hlor-5,6,7,8-tetrahidrohinazolīn-4(3H)-ons (**108**)¹⁰¹



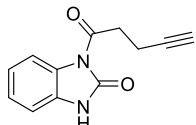
2,4-Dihlor-5,6,7,8-tetrahidrohinazolīns (S30). Tetrahidrohinazolīndionam **107** (0,39 g, 2,35 mmol) pievieno POCl₃ (2,18 ml, 23,5 mmol) un maisījumu silda slēgtā ampulā 115 °C temperatūrā 2 stundas. Reakcijas maisījumu atdzesē, izlej ledus ūdenī un neutralizē līdz pH 6 ar 3 M NaOH šķīdumu. Maisījumu ekstrahē ar EtOAc divas reizes, organiskos slāņus apvieno, mazgā ar pies. NaCl šķīdumu, žāvē virs Na₂SO₄ un ietvaicē. Atlikumu hromatografē uz silikagela (EtOAc-PE, 1:4), iegūst 0,10 g (22 %) produkta **S30**. ¹H NMR (300 MHz, CDCl₃) δ 2.95 – 2.79 (m, 2H), 2.79 – 2.65 (m, 2H), 1.96 – 1.80 (m, 4H). *2-Hlor-5,6,7,8-tetrahidrohinazolīn-4(3H)-ons (108).* 2,4-Dihlor-5,6,7,8-tetrahidrohinazolīna (**S30**) (0,10 g, 0,49 mmol) šķīdumam THF (1 ml) pievieno 1 N NaOH šķīdumu (0,25 ml, 0,25 mmol) un maisa istabas temperatūrā 6 dienas. Reakcijas maisījumu daļēji ietvaicē, paskābina ar 2 N HCl līdz pH 5, ekstrahē ar CHCl₃, ekstraktu žāvē virs Na₂SO₄ un ietvaicē. Atlikumu hromatografē uz silikagela (MeOH-DCM, 5:95) un iegūst 60 mg (66 %) produkta **108**, balta cieta viela. ¹H-KMR (300 MHz, CDCl₃) δ 12.12 (s, 1H), 2.69 – 2.56 (m, 2H), 2.57 – 2.42 (m, 2H), 1.91 – 1.66 (m, 4H).

2-(3-(Naftalīn-2-il)-propoksi)-5,6,7,8-tetrahidrohinazolīn-4(3H)-ons (**109b**)



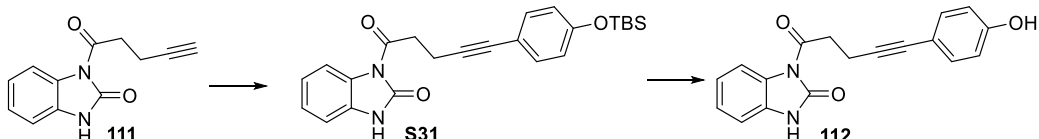
2-Hlor-5,6,7,8-tetrahidrohinazolīn-4(3H)-ona (108) (57 mg, 0,31 mmol) un spirta **103b** (69 mg, 0,37 mmol) maisījumam THF (1,3 ml) argona atmosfērā pievieno 1,6 M *t*BuOK šķīdumu THF (0,23 ml, 0,37 mmol) un maisa 18 stundas. Reakcijas maisījumam pievieno 1 ml DMSO un 1,66 M *t*BuOK šķīdumu THF (0,1 ml, 0,16 mmol) un maisa 50 °C temperatūrā 24 stundas argona atmosfērā. Reakcijas maisījumu atšķaida ar ūdeni, ekstrahē ar CHCl₃ divas reizes, ekstraktu mazgā ar ūdeni, pies. NaCl šķīdumu, žāvē virs Na₂SO₄ un ietvaicē. Atlikumu hromatografē uz *Biotage* apgrieztās fāzes kolonnas (MeCN-ūdens, 15-100 %), un iegūst 32 mg (31 %) produkta **109b**, balta cieta viela. ¹H-KMR (300 MHz, CDCl₃) δ: 8.89 (b s, 1H), 7.83 – 7.74 (m, 3H), 7.63 (s, 1H), 7.49 – 7.39 (m, 2H), 7.34 (dd, *J* = 8.4, 1.7 Hz, 1H), 4.37 (t, *J* = 6.5 Hz, 2H), 2.94 – 2.87 (m, 2H), 2.51 – 2.41 (m, 4H), 2.22 – 2.11 (m, 2H), 1.80 – 1.65 (m, 4H). ¹³C-KMR (100 MHz, CDCl₃) δ 165.3, 162.1, 154.1, 138.7, 133.7, 132.2, 128.1, 127.7, 127.5, 127.3, 126.7, 126.1, 125.4, 114.9, 66.9, 32.2, 32.1, 30.1, 22.5, 22.1, 21.8. AIMS (ESI) *m/z*: aprēķināts C₂₁H₂₃N₂O₂ [M+H]⁺ 335.1754, atrasts 335.1766.

1-(Pent-4-īnil)-1,3-dihidro-2H-benzo[d]imidazol-2-ons (111)



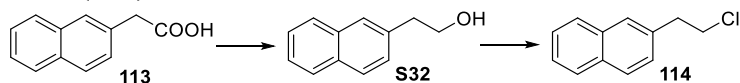
Pent-4-īnskābes (0,20 g, 2,04 mmol) šķīdumam DCM (3 ml) pievieno DMF (8 µl, 0,10 mmol), piepilina oksalilhlorīdu (0,36 ml, 4,08 mmol) un maisa istabas temperatūrā 1 stundu, tad reakcijas maisījumu ietvaicē. 2-Benzimidazolinona (110) (0,27 g, 2,04 mmol) šķīdumam DMF (4 ml) argona atmosfērā, dzesējot ledus vannā, pievieno 60 % NaH suspensiju eļļā (90 mg, 2,24 mmol), maisa 20 min., tad, dzesējot ledus vannā, pievieno iepriekš iegūto pent-4-īnskābes hlorīda šķīdumu DCM (1 ml) un maisa 20 stundas istabas temperatūrā. Reakcijas maisījumu atšķaida ar ūdeni, ekstrahē ar EtOAc divas reizes, apvienotos ekstraktus mazgā secīgi divas reizes ar ūdeni un pies. NaCl šķīdumu, žāvē virs Na₂SO₄ un ietvaicē. Atlikumu hromatografē uz silikagela (MeOH-DCM, 0-5 %) un iegūst 90 mg (21 %) produkta 111, brūna cieta viela. ¹H-KMR (300 MHz, CDCl₃) δ 8.30 (b s, 1H), 8.21 (d, J = 8.1 Hz, 1H), 7.24 – 7.11 (m, 2H), 7.08 (s, 1H), 7.06 – 7.01 (m, 1H), 3.43 (t, J = 7.1 Hz, 2H), 2.69 (td, J = 7.1, 2.6 Hz, 2H), 2.01 (t, J = 2.6 Hz, 1H). AEŠH-MS (ESI) m/z: 214.9 [M+H]⁺.

1-(5-(4-Hidroksifenil)pent-4-īnil)-1,3-dihidro-2H-benzo[d]imidazol-2-ons (112)



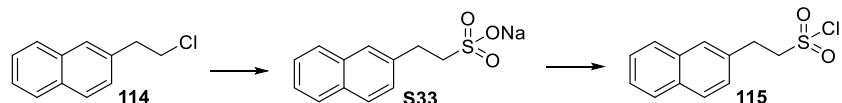
terc-Butil(4-iodfenoksi)dimetilsilāna (52k) (0,17 g, 0,50 mmol), alkīna 111 (90 mg, 0,42 mmol) un TEA (0,29 ml, 2,10 mmol) šķīdumu MeCN (2 ml) degazē ar argonu, tad argona atmosfērā pievieno PdCl₂[PPh₃]₂ (15 mg, 0,02 mmol) un CuI (4 mg, 0,02 mmol). Iegūto maisījumu maisa noslēgtā ampulā argona atmosfērā 60 °C temperatūrā 2 stundas un istabas temperatūrā 18 stundas. Reakcijas maisījumu ietvaicē, atlikumu atšķaida ar NH₄Cl šķīdumu, ekstrahē ar DCM divas reizes, apvienotos ekstraktus žāvē virs Na₂SO₄ un ietvaicē. Atlikumu hromatografē uz silikagela (MeOH-DCM, 2:98-5:95-10:90) un iegūst 40 mg 1-(5-(4-(*terc*-butildimetilsilil)oksifenil)pent-4-īnil)-1,3-dihidro-2H-benzo[d]imidazol-2-ona (S31), kā arī savienojuma S31 desilīlēto analogu 112, ko papildus attīra uz *Biotage* apgrieztās fāzes kolonnas (MeCN-ūdens, 20-100 %), iegūstot 15 mg savienojuma 112. Silīlēto produktu S31 (40 mg, 0,10 mmol) izšķīdina THF (1 ml), tad argona atmosfērā, dzesējot ledus vannā, piepilina 1 M TBAF šķīdumu THF (0,10 ml, 0,10 mmol) un maisa 30 min. Maisījumu ietvaicē, atšķaida ar EtOAc, mazgā ar ūdeni, žāvē virs Na₂SO₄ un ietvaicē. Atlikumu apvieno ar augstāk izdalīto desilīlēto analogu 112 un hromatografē uz silikagela (MeOH-DCM, 5:95), iegūstot 24 mg (19 %) produkta 112, dzeltena cieta viela. ¹H-KMR (400 MHz, DMSO-d₆) δ 11.36 (s, 1H), 9.68 (s, 1H), 7.98 (d, J = 8.0, 1H), 7.17 – 7.12 (m, 3H), 7.05 (td, J = 7.8, 1.3 Hz, 1H), 7.00 (ddd, J = 7.7, 1.2, 0.5 Hz, 1H), 6.70 – 6.64 (m, 2H), 3.35 – 3.30 (m, 2H), 2.75 – 2.68 (m, 2H). ¹³C-KMR (100 MHz, DMSO-d₆) δ 171.7, 157.3, 152.3, 132.7, 129.0, 127.0, 124.4, 121.6, 115.5, 114.9, 113.2, 109.1, 86.9, 80.9, 36.1, 13.9. AIMS (ESI) m/z: aprēķināts C₁₈H₁₅N₂O₃ [M+H]⁺ 307.1072, atrasts 307.1080.

2-(2-Hloretil)naftalīns (114)¹⁰³



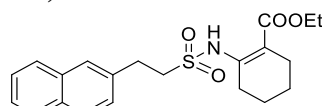
2-(2-Naftil)etanols (S32). 2-Naftiletikskābes (113) (1,50 g, 8,06 mmol) šķīdumu THF (15 ml) piepilina 10 min. laikā 0 °C temperatūrā argona atmosfērā pie LiAlH₄ (0,61 g, 16,1 mmol) suspensijas THF (20 ml) un maisa 2 stundas istabas temperatūrā. Reakcijas maisījumam pievieno EtOAc (4 ml) un pēc 10 minūtēm 3 N HCl šķīdumu (5 ml), tad intensīvi maisa 30 min. un maisījumu atšķaida ar EtOAc (40 ml). Organisko slāni atdala, ūdens slāni ekstrahē ar EtOAc divas reizes un apvienotos organiskus slāņus ietvaicē. Atlikumu izšķīdina EtOAc un mazgā secīgi ar pies. NaHCO₃ šķīdumu, ūdeni un pies. NaCl šķīdumu, tad žāvē virs Na₂SO₄ un ietvaicē. Iegūst 0,97 g (70 %) produkta S32. ¹H-KMR (400 MHz, CDCl₃) δ 7.86 – 7.76 (m, 3H), 7.69 (s, 1H), 7.52 – 7.41 (m, 2H), 7.37 (dd, J = 8.4, 1.8 Hz, 1H), 3.96 (t, J = 6.5 Hz, 2H), 3.04 (t, J = 6.5 Hz, 2H), 1.50 (s, 1H). *2-(2-Hloretil)naftalīns (114).* Spīra S32 (0,96 g, 5,57 mmol) un piridīna (0,25 ml, 3,12 mmol) šķīdumam Et₂O (10 ml) 0 °C temperatūrā pievieno tionilhlorīdu (1,82 ml, 25,1 mmol) un maisījumu silda 35 °C temperatūrā 4 stundas. Reakcijas maisījumu atdzesē ledus vannā un tad izlej ledū. Maisījumam pievieno Et₂O, atdala organisko slāni, ko mazgā ar pies. NaCl šķīdumu, žāvē virs Na₂SO₄ un ietvaicē. Atlikumu hromatografē uz silikagela (EtOAc-PE, 1:10) un iegūst 0,86 g (81 %) produkta 114, balta cieta viela. ¹H-KMR (400 MHz, CDCl₃) δ 7.87 – 7.76 (m, 3H), 7.69 – 7.66 (s, 1H), 7.52 – 7.42 (m, 2H), 7.35 (dd, J = 8.4, 1.8 Hz, 1H), 3.81 (t, J = 7.4 Hz, 2H), 3.24 (t, J = 7.4 Hz, 2H).

2-(Naftalīn-2-il)etān-1-sulfonīl hlorīds (115)¹⁰³



Nātrijs 2-(naftalīn-2-il)etān-1-sulfonāts (S33). 2-(2-Hloretil)naftalīna (114) (0,86 g, 4,50 mmol) un Na₂SO₃ (0,61 g, 4,81 mmol) šķīdumu ūdens un etilēnglikola maisījumā 1:1 (2 ml) silda 24 stundas 120 °C temperatūrā, tad reakcijas maisījumu atdzesē un nogulsnesnofiltrē, mazgājot ar ūdeni. Nogulsnes žāvē vakuumā virs P₂O₅ un iegūst 0,53 g (46 %) produkta S33. ¹H-KMR (300 MHz, DMSO-d₆) δ 7.91 – 7.74 (m, 3H), 7.70 (s, 1H), 7.52 – 7.41 (m, 2H), 7.38 (dd, J = 8.5, 1.8 Hz, 1H), 3.09 – 2.97 (m, 2H), 2.81 – 2.69 (m, 2H). AEŠH-MS (ESI) m/z: 235.0 [M-Na]⁺. *2-(Naftalīn-2-il)etān-1-sulfonīl hlorīds (115).* Nātrijs sulfonāta S33 (0,53 g, 2,05 mmol) un PCl₅ (0,44 g, 2,09 mmol) šķīdumu toluolā (2 ml) silda 90 °C temperatūrā 3 stundas. Reakcijas maisījumu atdzesē ledus vannā, pievieno DCM un ledu, tad atdala organisko slāni, ko žāvē virs Na₂SO₄ un ietvaicē. Atlikumu hromatografē uz silikagela (EtOAc-PE, 1:8). Iegūst 0,24 g (44 %) produkta 115. ¹H-KMR (300 MHz, CDCl₃) δ 7.88 – 7.76 (m, 3H), 7.71 (s, 1H), 7.55 – 7.46 (m, 2H), 7.34 (dd, J = 8.4, 1.9 Hz, 1H), 4.07 – 3.93 (m, 2H), 3.57 – 3.44 (m, 2H).

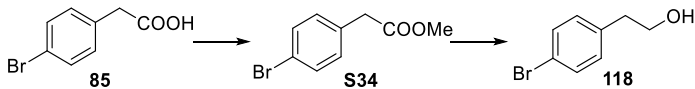
2-((2-(Naftalīn-2-il)etil)sulfonamido)cikloheks-1-ēn-1-karbonskābes etilesteris (116)



Sulfonilhlorīda 115 (32 mg, 0,13 mmol) un amīna 23 (32 mg, 0,19 mmol) šķīdumam toluolā (0,2 ml) pievieno TEA (18 µl, 0,13 mmol) un maisa 65 °C temperatūrā 1 stundu.

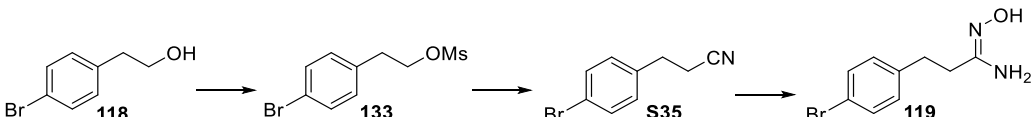
Reakcijas maisījumu atdzesē, atšķaida ar DCM, mazgā ar ūdeni, žāvē virs Na₂SO₄ un ietvaicē. Atlikumu hromatografē uz silikagela (EtOAc-PE, 1:10), iegūst 22 mg (45 %) produkta **116**, dzeltena eļļa. ¹H-KMR (300 MHz, CDCl₃) δ 11.38 (s, 1H), 7.83 – 7.74 (m, 3H), 7.65 (s, 1H), 7.51 – 7.42 (m, 2H), 7.30 (dd, *J* = 8.4, 1.8 Hz, 1H), 4.15 (q, *J* = 7.1 Hz, 2H), 3.56 – 3.44 (m, 2H), 3.37 – 3.26 (m, 2H), 2.64 – 2.55 (m, 2H), 2.22 – 2.14 (m, 2H), 1.67 – 1.57 (m, 2H), 1.57 – 1.47 (m, 2H), 1.28 (t, *J* = 7.1 Hz, 3H). AEŠH-MS (ESI) *m/z*: 388.3 [M+H]⁺.

2-(4-Bromfenil)etanols (118)¹⁵⁴



Metil 4-bromfenilacetāts (S34). 4-Bromfeniletikskābes (**85**) (0,55 g, 2,54 mmol) šķīdumam MeOH (5 ml) pievieno konc. H₂SO₄ (0,02 ml, 0,38 mmol) un vāra 3 stundas. Reakcijas maisījumu ietvaicē. Atlikumu izšķīdina EtOAc, mazgā secīgi ar pies. NaHCO₃ šķīdumu divas reizes, ūdeni un pies. NaCl šķīdumu, tad žāvē virs Na₂SO₄ un ietvaicē. Iegūst 0,58 g (96 %) produkta **S34**. ¹H-KMR (400 MHz, CDCl₃) δ 7.52 – 7.40 (m, 2H), 7.20 – 7.11 (m, 2H), 3.69 (s, 3H), 3.58 (s, 2H). *2-(4-Bromfenil)etanol* (**118**). LiAlH₄ (0,11 g, 2,89 mmol) suspensijai THF (10 ml) 0 °C temperatūrā argona atmosfērā piepilina estera **S34** (0,51 g, 2,23 mmol) šķīdumu THF (3 ml) un maisa 40 min. 0 °C temperatūrā. Reakcijas maisījumu atšķaida ar Et₂O (20 ml), tad maisījumam pievieno Na₂SO₄·10H₂O (0,72 g, 2,23 mmol) un, dzesējot ledus vannā, maisa 30 min. Maisījumunofiltrē caur celītu, celītu skalo ar Et₂O, apvienotos filtrātus mazgā secīgi ar pies. NaHCO₃ šķīdumu, ūdeni un pies. NaCl šķīdumu, tad žāvē virs Na₂SO₄ un ietvaicē. Iegūst 0,40 g (90 %) produkta **118**. ¹H-KMR (300 MHz, CDCl₃) δ 7.47 – 7.40 (m, 2H), 7.15 – 7.06 (m, 2H), 3.90 – 3.80 (m, 2H), 2.83 (t, *J* = 6.5 Hz, 2H), 1.35 (t, *J* = 5.7 Hz, 1H).

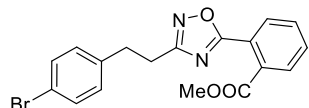
3-(4-Bromfenil)-N'-hidroksipropānimīdamīds (119)



4-Bromfeniletilmētānsulfonāts (133). 2-(4-Bromfenil)etanola (**118**) (0,82 g, 4,05 mmol) un TEA (0,68 ml, 4,86 mmol) šķīdumam THF (3 ml) 0 °C temperatūrā piepilina MsCl (0,38 ml, 4,86 mmol) un maisa istabas temperatūrā 2 stundas. Reakcijas maisījumu atšķaida ar EtOAc, mazgā secīgi ar 1 N HCl šķīdumu, ūdeni, pies. NaHCO₃ šķīdumu un pies. NaCl šķīdumu, tad žāvē virs Na₂SO₄ un ietvaicē. Iegūst 1,10 g (97 %) jēlprodukta **133** kā bezkrāsinu eļļu, kuru nākošajā stadijā izmanto bez papildus attīrišanas. ¹H-KMR (400 MHz, CDCl₃) δ 7.48 – 7.42 (m, 2H), 7.14 – 7.09 (m, 2H), 4.39 (td, *J* = 6.8, 0.7 Hz, 2H), 3.01 (t, *J* = 6.8 Hz, 2H), 2.89 (d, *J* = 0.7 Hz, 3H). AEŠH-MS (ESI) *m/z*: 271.8 [M+H]⁺. *3-(4-Bromfenil)propānnitrils (S35).* Mezilāta **133** (0,75 g, 2,69 mmol) un KCN (0,52 g, 8,06 mmol) maisījumu DMF (5 ml) maisa 70 °C temperatūrā 5 stundas. Reakcijas maisījumu atdzesē, atšķaida ar ūdeni, un ekstrahē ar EtOAc. Ekstraktu mazgā ar ūdeni, pies. NaCl šķīdumu, žāvē virs Na₂SO₄ un ietvaicē. Atlikumu hromatografē uz silikagela (EtOAc-PE, 1:4-1:2) un iegūst 0,44 g (78 %) produkta **S35**, bezkrāsaina eļļa. ¹H-KMR (300 MHz, CDCl₃) δ 7.51 – 7.44 (m, 2H), 7.15 – 7.08 (m, 2H), 2.92 (t, *J* = 7.3 Hz, 2H), 2.61 (t, *J* = 7.3 Hz, 2H). AEŠH-MS (ESI) *m/z*: 250.8 [M+H]⁺. *3-(4-Bromfenil)-N'-hidroksipropānimīdamīds (119).*

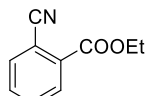
Nitrila **S35** (0,20 g, 0,95 mmol) šķīdumam EtOH (4 ml) pievieno 50 % hidroksilamīna šķīdumu ūdenī (0,28 ml, 9,52 mmol), maisa 50 °C temperatūrā 5 stundas, tad 16 stundas istabas temperatūrā. Reakcijas maisījumu ietvaicē, atlikumu žāvē virs P₂O₅ vakuumā, iegūst 0,23 g (99 %) produkta **119**, balta cieta viela. ¹H-KMR (400 MHz, DMSO-d₆) δ 8.73 (s, 1H), 7.53 – 7.35 (m, 2H), 7.22 – 7.10 (m, 2H), 5.41 (s, 2H), 2.81 – 2.73 (m, 2H), 2.27 – 2.17 (m, 2H). AEŠH-MS (ESI) *m/z*: 244.8 [M+H]⁺.

2-(3-(4-Bromfeniletil)-1,2,4-oksadiazol-5-il)benzoskābes metilesteris (120)



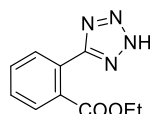
Ftālskābes monometilesterā (44 mg, 0,25 mmol) šķīdumam DCM (1 ml) pievieno 1 pielienu DMF, tad piepilina oksalilhlorīdu (43 µl, 0,45 mmol) un maisa istabas temperatūrā 1 stundu. Reakcijas maisījumu ietvaicē, izšķīdina DCM (1 ml) un iegūto šķīdumu 0 °C temperatūrā argona atmosfērā piepilina amīdoksīma **119** (40 mg, 0,16 mmol) un piridīna (20 µl, 0,25 mmol) maisījumam DCM (1 ml), tad maisa istabas temperatūrā 1 stundu. Šķīdinātāju ietvaicē, atlikumu izšķīdina toluolā (1 ml), pievieno piridīnu (60 µl, 0,75 mmol) un iegūto maisījumu maisa noslēgtā ampulā argona atmosfērā 20 stundas 80 °C temperatūrā. Reakcijas maisījumu atšķaida ar DCM, mazgā ar ūdeni, žāvē virs Na₂SO₄ un ietvaicē. Atlikumu hromatografē uz silikagela (*Biotage*, EtOAc-PE, 15-60 %), iegūst 51 mg (80 %) produkta **120**, bezkrāsaina eļļa. ¹H-KMR (400 MHz, CDCl₃) δ 7.91 – 7.86 (m, 1H), 7.85 – 7.80 (m, 1H), 7.68 – 7.62 (m, 2H), 7.44 – 7.39 (m, 2H), 7.16 – 7.09 (m, 2H), 3.83 (s, 3H), 3.11 (s, 4H). ¹³C-KMR (100 MHz, CDCl₃) δ 175.5, 170.0, 167.2, 139.3, 132.3, 132.0, 131.7, 131.7, 130.3, 130.2, 129.9, 124.4, 120.3, 52.9, 32.5, 27.9. AEŠH-MS (ESI) *m/z*: 388.9 [M+H]⁺.

2-Ciānbenzoskābes etilesteris (122)¹⁵⁵



2-Brombenzoskābes etilesterā (**121**) (0,76 g, 3,31 mmol), Zn(CN)₂ (0,23 g, 1,99 mmol), Zn pulvera (26 mg, 0,40 mmol), Pd₂(dba)₃ (61 mg, 0,07 mmol) un Pd(dppf)Cl₂ (98 mg, 0,13 mmol) maisījumu DMA (7 ml) maisa argona atmosfērā noslēgtā ampulā 110–120 °C temperatūrā 16 stundas. Reakcijas maisījumu atdzesē, atšķaida ar EtOAc (10 ml) un filtrē caur celītu, ko izskalo ar EtOAc. Apvienotos filtrātus skalo ar ūdeni, pies. NaCl šķīdumu, žāvē virs Na₂SO₄ un ietvaicē. Atlikumu hromatografē uz silikagela (EtOAc-PE 1:6-1:4) un iegūst 0,55 g (96 %) produkta **122**. ¹H-KMR (300 MHz, CDCl₃) δ 8.18 – 8.13 (m, 1H), 7.83 – 7.77 (m, 1H), 7.71 – 7.62 (m, 2H), 4.48 (q, *J* = 7.2 Hz, 2H), 1.45 (t, *J* = 7.2 Hz, 3H).

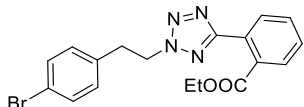
2-(2*H*-Tetrazol-5-il)benzoskābes etilesteris (123)



2-Ciānbenzoskābes etilesterā (**122**) (0,12 g, 0,69 mmol), NaN₃ (71 mg, 1,10 mmol) un NH₄Cl (59 mg, 1,10 mmol) maisījumu DMF (0,4 ml) maisa argona atmosfērā 110 °C temperatūrā 16 stundas. Reakcijas maisījumu atdzesē, atšķaida ar ūdeni, ekstrahē ar DCM trīs reizes, ekstraktus apvieno, žāvē virs Na₂SO₄ un ietvaicē. Atlikumam pievieno ūdeni, nofiltrē un nogulsnes žāvē virs P₂O₅ vakuumā. Iegūst 65 mg (44 %) produkta **123**, balta cieta viela.

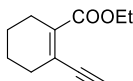
¹H-KMR (400 MHz, DMSO-*d*₆) δ 7.99 – 7.95 (m, 1H), 7.81 – 7.69 (m, 3H), 4.13 (q, *J* = 7.1 Hz, 2H), 1.07 (t, *J* = 7.1 Hz, 3H). AEŠH-MS (ESI) *m/z*: 218.9 [M+H]⁺.

2-(2-(4-Bromfeniletil)-2*H*-tetrazol-5-il)benzoskābes etilesteris (124)



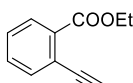
Tetrazola **123** (64 mg, 0,29 mmol) un mezilāta **133** (90 mg, 0,32 mmol) šķīdumam DMF (0,5 ml) pievieno K₂CO₃ (53 mg, 0,38 mmol) un maisa 70 °C temperatūrā 18 stundas. Reakcijas maisījumu atdzesē, atšķaida ar NH₄Cl šķīdumu, ekstrahē ar DCM, ekstraktu mazgā ar ūdeni, žāvē virs Na₂SO₄ un ietvaicē. Atlikumu hromatografē uz silikagela (*Biotage*, EtOAc-PE, 15-70 %) un iegūst 82 mg (70 %) produkta **124**, eļļa. ¹H-KMR (400 MHz, CDCl₃) δ 7.85 – 7.82 (m, 1H), 7.80 – 7.76 (m, 1H), 7.60 (td, *J* = 7.5, 1.7 Hz, 1H), 7.56 (td, *J* = 7.5, 1.5 Hz, 1H), 7.46 – 7.39 (m, 2H), 7.09 – 7.04 (m, 2H), 4.89 – 4.84 (m, 2H), 4.26 (q, *J* = 7.2 Hz, 2H), 3.34 (t, *J* = 7.5 Hz, 2H), 1.21 (t, *J* = 7.1 Hz, 2H). AEŠH-MS (ESI) *m/z*: 403.0 [M+H]⁺.

2-Etinilcikloheks-1-ēn-1-karbonskābes etilesteris (125)



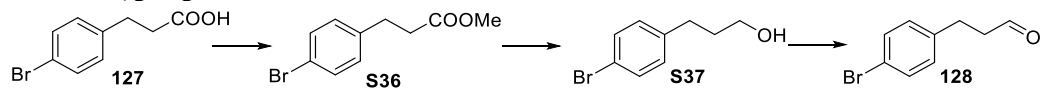
Triflāta **42** (0,30 g, 0,99 mmol), trimetilsililacetilēna (0,21 ml, 1,49 mmol) un TEA (0,42 ml, 2,98 mmol) šķīdumu THF (4 ml) degazē, tad argona atmosfērā pievieno PdCl₂[PPh₃]₂ (35 mg, 0,05 mmol) un CuI (10 mg, 0,05 mmol), un maisa 2 stundas istabas temperatūrā. Reakcijas maisījumu filtrē caur silikagelu, silikagelu skalo ar Et₂O, apvienotos filtrātus mazgā ar pies. NaCl, žāvē virs Na₂SO₄ un ietvaicē. Atlikumu izšķīdina 2 ml MeOH, pievieno K₂CO₃ (0,14 g, 0,10 mmol) un maisa 1 stundu istabas temperatūrā. Maisījumu atšķaida ar EtOAc, mazgā ar ūdeni, pies. NaCl šķīdumu, žāvē virs Na₂SO₄ un ietvaicē. Atlikumu hromatografē uz silikagela (*Biotage*, EtOAc-PE, 2-20 %) un iegūst 0,16 g (88 %) produkta **125**, dzeltena eļļa. ¹H-KMR (300 MHz, CDCl₃) δ 4.24 (q, *J* = 7.1 Hz, 2H), 3.35 (s, 1H), 2.43 – 2.28 (m, 4H), 1.71 – 1.57 (m, 4H), 1.31 (t, *J* = 7.1 Hz, 3H). AEŠH-MS (ESI) *m/z*: 178.9 [M+H]⁺.

2-Etinilbenzoskābes etilesteris (126)¹⁵⁶



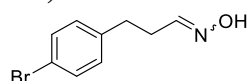
2-Brombenzoskābes etilesterā (**121**) (0,80 g, 3,49 mmol), trimetilsililacetilēna (0,74 ml, 5,23 mmol) un TEA (1,46 ml, 10,5 mmol) šķīdumu THF (5 ml) degazē, argona atmosfērā pievieno PdCl₂[PPh₃]₂ (0,12 g, 0,17 mmol) un CuI (33 mg, 0,17 mmol), un maisa 3 stundas 60 °C temperatūrā. Reakcijas maisījumu atdzesē, filtrē caur silikagelu, silikagelu skalo ar EtOAc, apvienotos filtrātus mazgā secīgi ar pies. NH₄Cl šķīdumu un pies. NaCl šķīdumu, tad žāvē virs Na₂SO₄ un ietvaicē. Atlikumu izšķīdina THF (8 ml), tad, dzesējot ledus vannā, pievieno 1 M TBAF šķīdumu THF (3,49 ml, 3,49 mmol) un maisa 1 stundu istabas temperatūrā. Maisījumu atšķaida ar EtOAc, iegūto šķīdumu mazgā ar ūdeni, pies. NaCl šķīdumu, žāvē virs Na₂SO₄ un ietvaicē. Atlikumu hromatografē uz silikagela (*Biotage*, EtOAc-PE, 5-25 %) un iegūst 0,20 g (33 %) produkta **126**. ¹H-KMR (300 MHz, CDCl₃) δ 7.94 (dd, *J* = 7.6, 1.6 Hz, 1H), 7.62 (dd, *J* = 7.6, 1.6 Hz, 1H), 7.47 (td, *J* = 7.5, 1.6 Hz, 1H), 7.40 (td, *J* = 7.6, 1.6 Hz, 1H), 4.41 (q, *J* = 7.1 Hz, 2H), 3.38 (s, 1H), 1.41 (t, *J* = 7.1 Hz, 3H).

3-(4-Bromfenil)propanāls (128)¹⁵⁷



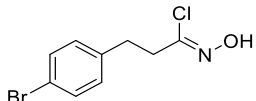
2-(4-Bromfenil)propānskābes metilesteris (S36). 2-(4-Bromfenil)propānskābes (**127**) (2,02 g, 8,80 mmol) šķīdumam MeOH (15 ml) pievieno konc. H₂SO₄ (0,1 ml, 1,76 mmol) un maisa 16 stundas istabas temperatūrā. Reakcijas maisījumu ietvaicē. Atlikumu izšķīdina EtOAc (50 ml), secīgi mazgā ar pies. NaHCO₃ šķīdumu divas reizes, ūdeni un pies. NaCl šķīdumu, tad žāvē virs Na₂SO₄ un ietvaicē. Iegūst 1,80 g (84 %) produkta **S36**. ¹H-KMR (300 MHz, CDCl₃) δ 7.46 – 7.33 (m, 2H), 7.14 – 7.02 (m, 2H), 3.66 (s, 3H), 2.90 (t, J = 7.7 Hz, 2H), 2.70 – 2.53 (m, 2H). *3-(4-Bromfenil)propanols (S37).* Metilestera **S36** (1,2 g, 4,94 mmol) šķīdumu THF (5 ml) piepilina 10 min. laikā 0 °C temperatūrā argona atmosfērā pie LiAlH₄ (0,24 g, 6,42 mmol) suspensijas THF (20 ml) un maisa 30 min. 0 °C temperatūrā. Reakcijas maisījumu atšķaida ar Et₂O (20 ml) un, dzesējot ledus vannā, pakāpeniski pievieno Na₂SO₄·10H₂O (1,59 g, 4,94 mmol) un intensīvi maisa 30 min. Maisījumu sasilda līdz istabas temperatūrai un izfiltrē caur celītu, atdalot nogulsnes, kuras mazgā ar Et₂O. Apvienotos filtrātus ietvaicē. Atlikumu izšķīdina Et₂O, mazgā ar pies. NaHCO₃ šķīdumu, ūdeni, pies. NaCl šķīdumu, žāvē virs Na₂SO₄ un ietvaicē. Iegūst 0,96 g (90 %) produkta **S37**. ¹H-KMR (300 MHz, CDCl₃) δ 7.44 – 7.36 (m, 2H), 7.13 – 7.03 (m, 2H), 3.67 (t, J = 6.4 Hz, 2H), 2.72 – 2.63 (m, 2H), 1.94 – 1.79 (m, 2H), 1.26 (s, 1H). *3-(4-Bromfenil)propanāls (128).* Spirta **S37** (0,89 g, 4,13 mmol) šķīdumam DCM (10 ml) piepilina 15 % Dessa-Martina perjodināna šķīdumu DCM (11,4 ml, 4,54 mmol) un maisa istabas temperatūrā 1 stundu. Reakcijas maisījumu atšķaida ar DCM (20 ml), pievieno 10 % Na₂S₂O₃ ūdens šķīdumu (15 ml), maisa 15 min., organisko slāni atdala un mazgā ar pies. NaHCO₃ šķīdumu, ūdeni, pies. NaCl šķīdumu, tad žāvē virs Na₂SO₄ un ietvaicē. Atlikumu hromatografē uz silikagela (*Biotage*, EtOAc-PE, 10-40 %) un iegūst 0,65 g (73 %) produkta **128**, eļļa. ¹H-KMR (300 MHz, CDCl₃) δ 9.81 (t, J = 1.3 Hz, 1H), 7.45 – 7.38 (m, 2H), 7.11 – 7.04 (m, 2H), 2.95 – 2.87 (m, 2H), 2.82 – 2.72 (m, 2H).

3-(4-Bromfenil)propanāla oksīms (129)



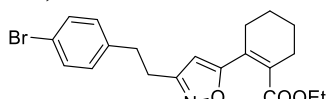
Aldehīda **128** (0,64 g, 3,03 mmol) šķīdumam DCM (10 ml) pievieno hidroksilamīna hidrohlorīdu (0,42 g, 6,05 mmol), piepilina TEA (1,27 ml, 9,08 mmol) un maisa 2 stundas istabas temperatūrā. Reakcijas maisījumu atdzesē ledus vannā, pievieno pies. NaHCO₃ šķīdumu, atšķaida ar DCM, organisko slāni žāvē virs Na₂SO₄ un ietvaicē. Iegūst 0,61 g (88 %) produkta **129 E** un **Z** izomēru maisījuma veidā attiecībā 1:1 (KMR). ¹H-KMR (300 MHz, CDCl₃) δ 7.47 (s, 1 H), 7.44 – 7.37 (m, 2H), 7.13 – 7.03 (m, 2H), 6.73 (t, J = 5.2 Hz, 1H), 2.84 – 2.73 (m, 2H), 2.73 – 2.63 (m, 1H), 2.55 – 2.45 (m, 1H). 2. izomērs: ¹H-KMR (300 MHz, CDCl₃) δ 7.91 (s, 1H), 7.44 (t, J = 5.7 Hz, 1H), 7.44 – 7.37 (m, 2H), 7.13 – 7.03 (m, 2H), 2.84 – 2.73 (m, 2H), 2.73 – 2.63 (m, 1H), 2.55 – 2.45 (m, 1H). AEŠH-MS (ESI) *m/z*: 229.8 [M+H]⁺.

3-(4-Bromfenil)-N-hidroksipropānimidoilhlorīds (130)



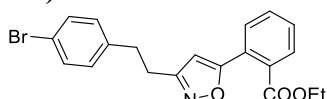
Oksīma **129** (0,60 g, 2,63 mmol) šķīdumam DMF (4 ml) tumsā pievieno NCS (0,37 g, 2,89 mmol), dzesējot ledusvannā, un maisa 4 stundas istabas temperatūrā. Reakcijas maisījumam izlej ledū, ekstrahē ar EtOAc (20 ml) 2 reizes. Organiskus slāņus apvieno, mazgā ar ūdeni, pies. NaCl šķīdumu, žāvē virs Na₂SO₄ un ietvaicē. Iegūst 0,70 g (kvant.) jēlprodukta **130**, bezkrās. eļļa. ¹H-KMR (300 MHz, CDCl₃) δ δ 7.46 – 7.34 (m, 3H), 7.11 – 7.01 (m, 2H), 2.98 – 2.87 (m, 2H), 2.82 – 2.75 (m, 2H). AEŠH-MS nav jonizācijas.

2-(3-(4-Bromfeniletil)-izoksazol-5-il)cikloheks-1-énkarbonskäbes etilesteris (132a)



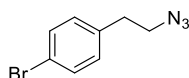
Oksīma **129** (0,12 g, 0,51 mmol) šķīdumam DMF (2 ml) pievieno NCS (75 mg, 0,56 mmol), maisa 60 °C temperatūrā 1 stundu, tad reakcijas maisījumu atdzesē līdz istabas temperatūrai un pievieno 2-etinilcikloheks-1-ēn-1-karbonskābes etilesteri (**125**) (100 mg, 0,56 mmol) un TEA (85 µl, 0,61 mmol). Maisīšanu turpina 1 stundu istabas temperatūrā. Reakcijas maisījumu atšķaida ar EtOAc, mazgā divas reizes ar ūdeni, pies. NaCl šķīdumu, žāvē virs Na₂SO₄ un ietvaicē. Atlikumu hromatografē uz silikagela (*Biotage*, EtOAc-PE, 7-30 %) un iegūst 89 mg (43 %) produkta **132a**, eļļa. ¹H-KMR (300 MHz, CDCl₃) δ 7.45 – 7.37 (m, 2H), 7.11 – 7.04 (m, 2H), 5.95 (s, 1H), 4.17 (q, *J* = 7.2 Hz, 2H), 2.94 (s, 4H), 2.49 – 2.32 (m, 4H), 1.81 – 1.64 (m, 4H), 1.20 (t, *J* = 7.1 Hz, 3H). ¹³C NMR (100 MHz, CDCl₃) δ 169.8, 169.5, 162.7, 139.6, 134.3, 131.7, 130.3, 126.4, 120.2, 101.5, 61.3, 33.9, 27.8, 27.7, 27.4, 21.7, 21.4, 14.1. AEŠH-MS (ESI) *m/z*: 406.1 [M+H]⁺.

2-(3-(4-Bromfeniletil)-izoksazol-5-il)benzoskābes etilesteris (132b)



132b iegūst no oksīma **129** (50 mg, 0,22 mmol), NCS (32 mg, 0,24 mmol), 2-etenilbenzoskābes etilesterā (**126**) (42 mg, 0,24 mmol) un TEA (37 µl, 0,26 mmol), izmantojot izokszazola **132a** iegūšanas metodi. Iegūst 45 mg (51 %) produkta **132b**, bezkrāsaina eļļa. ^1H -KMR (300 MHz, CDCl_3) δ 7.88 – 7.80 (m, 1H), 7.62 – 7.54 (m, 2H), 7.46 – 7.37 (m, 3H), 7.17 – 7.07 (m, 2H), 7.02 – 6.91 (m, 1H), 6.22 (s, 1H), 4.28 (q, $J = 7.1$ Hz, 2H), 3.02 (s, 4H), 1.24 (t, $J = 7.1$ Hz, 3H). AEŠH-MS (ESI) m/z : 402.1 [$\text{M}+\text{H}$] $^+$.

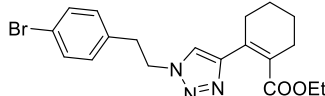
1-(2-Azidoetil)-4-brombenzols (134)



4-Bromfeniletil metānsulfonāta (**133**) (0,55 g, 1,97 mmol) šķīdumam DMF (7 ml) pievieno NaN_3 (0,26 g, 3,94 mmol) un maisa argona atmosfērā istabas temperatūrā 17 stundas. Reakcijas maisījumu atšķaida ar ūdeni, ekstrahē ar EtOAc , organisko slāni mazgā ar ūdeni divas reizes, pies. NaCl šķīdumu, žāvē virs Na_2SO_4 un ietvaicē. Iegūst 0,48 g jēlprodukta **134**, ko izmanto nākamajā reakcijā bez attīrišanas. ^1H -KMR (300 MHz, CDCl_3) δ

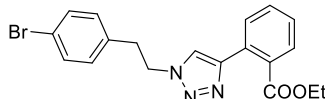
7.49 – 7.41 (m, 2H), 7.13 – 7.06 (m, 2H), 3.49 (t, $J = 7.1$ Hz, 2H), 2.84 (t, $J = 7.1$ Hz, 2H). AEŠH-MS apstākļos savienojums sabrūk.

2-(1-(4-Bromfeniletil)-1*H*-1,2,3-triazol-4-il)cikloheks-1-ēnkarbonskābes etilesteris (135a)



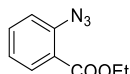
Azīda **134** (0,12 g, 0,53 mmol) un alkīna **125** (95 mg, 0,53 mmol) šķīdumam *t*BuOH (0,8 ml) un ūdens (0,8 ml) maisījumā argona atmosfērā pievieno CuSO₄·5H₂O (3 mg, 0,01 mmol) un nātrijs askorbātu (10 mg, 0,05 mmol) un maisa 40 °C temperatūrā 3 stundas. Reakcijas maisījumu atšķaida ar EtOAc, mazgā ar ūdeni, pies. NaCl šķīdumu, žāvē virs Na₂SO₄ un ietvaicē. Atlikumu hromatografē uz silikagela (*Biotage*, EtOAc-PE, 30-100 %) un iegūst 0,14 g (66 %) produkta **135a**, bezkrāsaina eļļa. ¹H-KMR (400 MHz, CDCl₃) δ 7.41 – 7.37 (m, 2H), 7.33 (s, 1H), 6.99 – 6.92 (m, 2H), 4.52 (t, $J = 7.2$ Hz, 2H), 4.10 (q, $J = 7.1$ Hz, 2H), 3.16 (t, $J = 7.2$ Hz, 2H), 2.54 – 2.46 (m, 2H), 2.44 – 2.36 (m, 2H), 1.78 – 1.64 (m, 3H), 1.17 (t, $J = 7.1$ Hz, 3H). ¹³C-KMR (75 MHz, CDCl₃) δ 170.4, 146.7, 136.1, 132.0, 130.6, 130.5, 129.9, 122.0, 121.2, 60.7, 51.3, 36.2, 29.3, 27.4, 22.1, 21.8, 14.2. AEŠH-MS (ESI) *m/z*: 406.1 [M+H]⁺.

2-(1-(4-Bromfeniletil)-1*H*-1,2,3-triazol-4-il)benzoskābes etilesteris (135b)



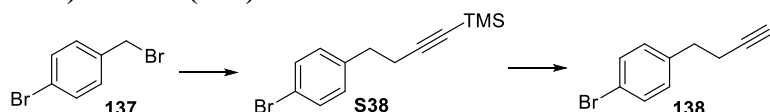
135b iegūst no azīda **134** (57 mg, 0,25 mmol), alkīna **126** (40 mg, 0,23 mmol), CuSO₄·5H₂O (1 mg, 0,004 mmol) un nātrijs askorbāta (5 mg, 0,02 mmol), izmantojot triazola **135a** iegūšanas metodi. Iegūst 63 mg (69 %) produkta **135b**, bezkrāsaina eļļa. ¹H-KMR (300 MHz, CDCl₃) δ 7.79 (dd, $J = 7.8, 1.4$ Hz, 2H), 7.64 (s, 1H), 7.55 (td, $J = 7.6, 1.4$ Hz, 1H), 7.46 – 7.37 (m, 3H), 7.05 – 6.98 (m, 2H), 4.61 (t, $J = 7.2$ Hz, 2H), 4.26 (q, $J = 7.1$ Hz, 2H), 3.23 (t, $J = 7.2$ Hz, 2H), 1.28 (t, $J = 7.1$ Hz, 3H). ¹³C NMR (75 MHz, CDCl₃) δ 168.2, 145.6, 136.1, 132.0, 131.5, 130.6, 130.6, 130.5, 130.3, 129.8, 128.1, 123.2, 121.2, 61.4, 51.4, 36.3, 14.3. AEŠH-MS (ESI) *m/z*: 402.1 [M+H]⁺.

2-Azidobenzoskābes etilesteris (136)¹⁰⁷



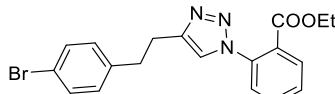
2-Brombenzoskābes etilesterā (**121**) (0,50 g, 2,18 mmol), NaN₃ (0,28 g, 4,37 mmol), CuI (42 mg, 0,22 mmol), nātrijs askorbāta (22 mg, 0,11 mmol) un trans-*N,N*-dimetilcikloheksān-1,2-diamīna (52 µl, 0,33 mmol) šķīdumu EtOH (7 ml) un ūdens (3 ml) maisījumā degazē ar argonu un tad maisa slēgtā ampulā 100 °C temperatūrā 7 stundas. Reakcijas maisījumu atdzesē, izfiltrē caur celītu, celītu izskalo ar EtOAc, filtrātus apvieno un mazgā ar pies. NH₄Cl šķīdumu, ūdeni, pies. NaCl šķīdumu, žāvē virs Na₂SO₄ un ietvaicē. Atlikumu hromatografē uz silikagela (*Biotage*, EtOAc-PE, 2-15 %) un iegūst 0,24 g (58 %) produkta **136**, bezkrāsaina eļļa. ¹H-KMR (300 MHz, CDCl₃) δ 7.85 (dd, $J = 7.8, 1.6$ Hz, 1H), 7.57 – 7.48 (m, 1H), 7.38 – 7.30 (m, 1H), 7.19 – 7.14 (m, 1H), 4.38 (q, $J = 7.1$ Hz, 2H), 1.40 (t, $J = 7.1$ Hz, 3H).

1-Brom-4-(but-3-īnil)benzols (138)¹⁰⁸



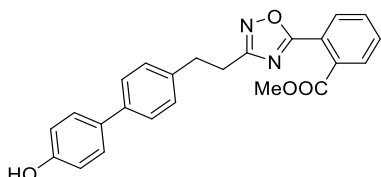
(4-(4-Bromfenil)but-1-īn-1il)trimetilsilāns (S38). 1-Trimetilsilil-1-propīna (0,44 ml, 3,00 mmol) šķīdumam THF (3 ml) argona atmosfērā -78 °C temperatūrā 10 min. laikā piepilina *n*BuLi šķīdumu heksānā (2,5 M, 1,20 ml, 3,00 mmol) un maisa 10 min. -78 °C temperatūrā, un tad 50 min. ledus vannā. Reakcijas maisījumam 5 min. laikā pievieno 4-brommetil-1-brombenzola (**137**) (0,50 g, 2,00 mmol) šķīdumu THF (2 ml) un, dzesējot ledus vannā, turpina maisīšanu 10 min., tad istabas temperatūrā 15 stundas. Reakcijas maisījumu atšķaida ar ūdeni, ekstrahē ar Et₂O divas reizes, apvienotos ekstraktus žāvē virs Na₂SO₄ un ietvaicē. Atlikumu hromatografē uz silikagela (Et₂O-PE, 1:50) un iegūst 0,45 g (80 %) produkta **S38**. ¹H-KMR (300 MHz, CDCl₃) δ 7.46 – 7.35 (m, 2H), 7.14 – 7.05 (m, 2H), 2.78 (t, *J* = 7.4 Hz, 2H), 2.47 (t, *J* = 7.4 Hz, 2H), 0.14 (s, 9H). *1-Brom-4-(but-3-īnil)benzols (138).* Trimetilsilāna **S38** (0,44 g, 1,56 mmol) šķīdumam MeOH (4 ml) pievieno K₂CO₃ (0,43 g, 3,13 mmol) un maisa istabas temperatūrā 2 stundas, tad reakcijas maisījumu atšķaida ar Et₂O unnofiltrē, filtrātu ietvaicē. Atlikumu hromatografē uz silikagela (*Biotage*, EtOAc-PE, 2-15 %) un iegūst 0,17 g (52 %) produkta **138**, eļļa. ¹H-KMR (300 MHz, CDCl₃) δ 7.46 – 7.38 (m, 2H), 7.15 – 7.06 (m, 2H), 2.79 (t, *J* = 7.4 Hz, 2H), 2.47 (td, *J* = 7.4, 2.6 Hz, 2H), 1.97 (t, *J* = 2.6 Hz, 1H).

2-(4-(4-Bromfenilet)-1*H*-1,2,3-triazol-1-il)benzoskābes etilesteris (139)



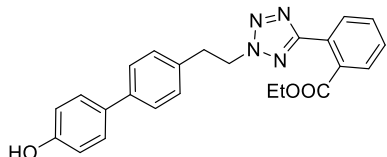
139 iegūst no azīda **136** (0,15 g, 0,81 mmol), alkīna **138** (0,17 g, 0,81 mmol), CuSO₄·5H₂O (4 mg, 0,02 mmol) un nātrijs askorbāta (16 mg, 0,08 mmol), izmantojot triazola **135a** iegūšanas metodi. Iegūst 0,28 g (86 %) produkta **139**, eļļa. ¹H-KMR (400 MHz, CDCl₃) δ 7.97 (dd, *J* = 7.6, 1.7 Hz, 1H), 7.64 (td, *J* = 7.6, 1.8 Hz, 1H), 7.57 (td, *J* = 7.6, 1.5 Hz, 1H), 7.44 (s, 1H), 7.43 – 7.37 (m, 3H), 7.15 – 7.06 (m, 2H), 4.15 (q, *J* = 7.1 Hz, 2H), 3.15 – 3.00 (m, 4H), 1.13 (t, *J* = 7.1 Hz, 3H). ¹³C-KMR (75 MHz, CDCl₃) δ 165.4, 146.7, 140.2, 136.3, 132.6, 131.6, 131.3, 130.4, 129.8, 128.2, 126.7, 123.0, 120.0, 61.8, 35.0, 27.3, 14.0. AEŠH-MS (ESI) *m/z*: 402.1 [M+H]⁺.

2-(3-(2-(4'-Hidroksi[1,1'-bifenil]-4-il)etil)-1,2,4-oksadiazol-5-il)benzoskābes metilesteris (140a)



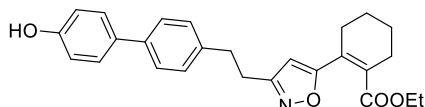
140a iegūst no bromīda **120** (0,14 g, 0,36 mmol), 4-hidroksifenilborskābes (75 mg, 0,54 mmol), 2 M K₂CO₃ šķīduma (0,54 ml, 1,08 mmol) un Pd(dppf)Cl₂ (13 mg, 0,02 mmol), izmantojot savienojuma **76** iegūšanas metodi. Iegūst 75 mg (52 %) produkta **140a**, balta cieta viela. ¹H-KMR (400 MHz, CDCl₃) δ 7.92 – 7.87 (m, 1H), 7.87 – 7.83 (m, 1H), 7.68 – 7.63 (m, 2H), 7.50 – 7.46 (m, 1H), 7.46 – 7.42 (m, 2H), 7.32 – 7.27 (m, 2H), 6.91 – 6.85 (m, 2H), 5.12 (s, 1H), 3.83 (s, 3H), 3.26 – 3.10 (m, 4H). AEŠH-MS (ESI) *m/z*: 401.2 [M+H]⁺.

2-(2-(2-(4'-Hidroksi-[1,1'-bifenil]-4-il)etil)-2*H*-tetrazol-5-il)benzoskābes etilesteris (140b)



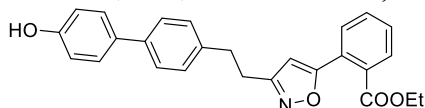
140b iegūst no bromīda **124** (80 mg, 0,20 mmol), 4-hidroksifenilborskābes (41 mg, 0,30 mmol), 2 M K₂CO₃ šķīduma (0,30 ml, 0,60 mmol) un Pd(dppf)Cl₂ (7 mg, 0,01 mmol), izmantojot savienojuma **76** iegūšanas metodi. Iegūst 64 mg (78 %) produkta **140b**, balta cieta viela. ¹H-KMR (400 MHz, CDCl₃) δ 7.87 – 7.83 (m, 1H), 7.82 – 7.78 (m, 1H), 7.60 (td, *J* = 7.6, 1.8 Hz, 1H), 7.56 (td, *J* = 7.5, 1.6 Hz, 1H), 7.48 – 7.43 (m, 2H), 7.42 – 7.37 (m, 2H), 7.23 – 7.18 (m, 2H), 6.90 – 6.84 (m, 2H), 5.95 – 5.90 (m, 1H), 4.94 – 4.87 (m, 2H), 4.26 (q, *J* = 7.1 Hz, 2H), 3.39 (t, *J* = 7.6 Hz, 2H), 1.20 (t, *J* = 7.1 Hz, 3H). AEŠH-MS (ESI) *m/z*: 415.2 [M+H]⁺.

2-(3-(2-(4'-Hidroksi-[1,1'-bifenil]-4-il)-etil)-izoksazol-5-il)cikloheks-1-ēnkarbonskābes etilesteris (140c)



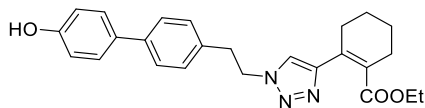
140c iegūst no bromīda **132a** (0,13 g, 0,32 mmol), 4-hidroksifenilborskābes (65 mg, 0,47 mmol), 2 M K₂CO₃ šķīduma (0,47 ml, 0,94 mmol) un Pd(dppf)Cl₂ (12 mg, 0,02 mmol), izmantojot savienojuma **76** iegūšanas metodi. Iegūst 94 mg (71 %) produkta **140c**, balta cieta viela. ¹H-KMR (300 MHz, CDCl₃) δ 7.47 – 7.37 (m, 4H), 7.24 – 7.18 (m, 2H), 6.91 – 6.84 (m, 2H), 6.01 (s, 1H), 5.93 (s, 1H), 4.18 (q, *J* = 7.2 Hz, 2H), 3.00 (s, 4H), 2.50 – 2.33 (m, 4H), 1.82 – 1.66 (m, 4H), 1.19 (t, *J* = 7.2 Hz, 3H). ¹³C-KMR (75 MHz, CDCl₃) δ 170.1, 169.4, 163.2, 155.6, 139.0, 138.9, 134.3, 133.4, 128.8, 128.2, 126.8, 126.5, 115.8, 101.6, 61.4, 34.1, 27.9, 27.7, 27.5, 21.6, 21.4, 14.1. AEŠH-MS (ESI) *m/z*: 418.2 [M+H]⁺.

2-(3-(2-(4'-Hidroksi-[1,1'-bifenil]-4-il)-etil)-izoksazol-5-il)benzoskābes etilesteris (140d)



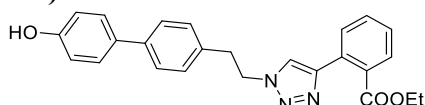
140d iegūst no bromīda **132b** (52 mg, 0,13 mmol), 4-hidroksifenilborskābes (27 mg, 0,20 mmol), 2 M K₂CO₃ šķīduma (0,19 ml, 0,38 mmol) un Pd(dppf)Cl₂ (5 mg, 0,01 mmol), izmantojot savienojuma **76** iegūšanas metodi. Iegūst 40 mg (75 %) produkta **140d**, balta cieta viela. ¹H-KMR (300 MHz, CDCl₃) δ 7.84 (dd, *J* = 6.9, 1.7 Hz, 1H), 7.62 – 7.51 (m, 2H), 7.51 – 7.43 (m, 4H), 7.33 – 7.25 (m, 2H), 6.96 – 6.81 (m, 2H), 6.26 (s, 1H), 4.86 (s, 1H), 4.27 (q, *J* = 7.1 Hz, 2H), 3.08 (s, 4H), 1.23 (t, *J* = 7.1 Hz, 3H). ¹³C-KMR (75 MHz, CDCl₃) δ 169.3, 167.7, 163.6, 155.5, 139.0, 139.0, 133.5, 131.5, 131.5, 130.1, 130.1, 129.8, 128.9, 128.3, 127.5, 126.9, 115.8, 102.7, 61.9, 34.1, 28.0, 14.1. AEŠH-MS (ESI) *m/z*: 414.2 [M+H]⁺.

2-(1-(2-(4'-Hidroksi-[1,1'-bifenil]-4-il)-etil)-1*H*-1,2,3-triazol-5-il)benzoskābes etilesteris (140e)



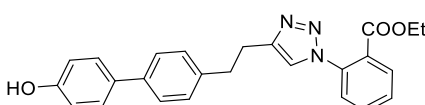
140e iegūst no bromīda **135a** (78 mg, 0,19 mmol), 4-hidroksifenilborskābes (40 mg, 0,29 mmol), 2 M K₂CO₃ šķīduma (0,29 ml, 0,58 mmol) un Pd(dppf)Cl₂ (7 mg, 0,01 mmol), izmantojot savienojuma **76** iegūšanas metodi. Iegūst 48 mg (60 %) produkta **140e**, balta cieta viela. ¹H-KMR (400 MHz, CDCl₃) δ 7.80 (dd, *J* = 7.7, 1.0 Hz, 1H), 7.73 (dd, *J* = 7.8, 0.8 Hz, 1H), 7.69 (s, 1H), 7.53 (td, *J* = 7.6, 1.3 Hz, 1H), 7.48 – 7.42 (m, 2H), 7.42 – 7.32 (m, 3H), 7.19 – 7.10 (m, 2H), 6.94 (s, 1H), 6.91 – 6.86 (m, 2H), 4.66 (t, *J* = 7.2 Hz, 2H), 4.23 (q, *J* = 7.1 Hz, 2H), 3.27 (t, *J* = 7.2 Hz, 2H), 1.23 (t, *J* = 7.1 Hz, 3H). ¹³C-KMR (75 MHz, CDCl₃) δ 168.4, 156.1, 145.7, 139.9, 135.2, 132.7, 131.6, 130.7, 130.5, 130.3, 129.9, 129.2, 128.3, 128.2, 127.0, 123.3, 116.0, 61.5, 51.8, 36.4, 14.2. AEŠH-MS (ESI) *m/z*: 414.2 [M+H]⁺.

2-(1-(2-(4'-Hidroksi-[1,1'-bifenil]-4-il)-etil)-1*H*-1,2,3-triazol-5-il)cikloheks-1-ēnkarbonskābes etilesteris (**140f**)



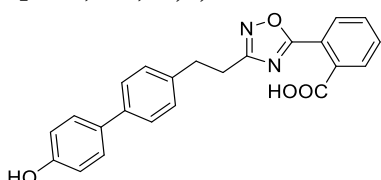
140f iegūst no bromīda **135b** (0,14 g, 0,35 mmol), 4-hidroksifenilborskābes (72 mg, 0,52 mmol), 2 M K₂CO₃ šķīduma (0,52 ml, 1,04 mmol) un Pd(dppf)Cl₂ (13 mg, 0,02 mmol), izmantojot savienojuma **76** iegūšanas metodi. Iegūst 70 mg (48 %) produkta **140f**, balta cieta viela. ¹H-KMR (300 MHz, CDCl₃) δ 7.48 – 7.40 (m, 4H), 7.38 (s, 1H), 7.17 – 7.11 (m, 2H), 6.93 – 6.86 (m, 2H), 5.36 (s, 1H), 4.58 (t, *J* = 7.3 Hz, 2H), 4.09 (q, *J* = 7.1 Hz, 2H), 3.23 (t, *J* = 7.3 Hz, 2H), 2.55 – 2.46 (m, 2H), 2.45 – 2.36 (m, 2H), 1.81 – 1.64 (m, 4H), 1.15 (t, *J* = 7.1 Hz, 3H). ¹³C-KMR (100 MHz, CDCl₃) δ 170.6, 156.2, 146.7, 139.8, 135.1, 132.6, 130.8, 130.2, 129.1, 128.1, 127.0, 122.1, 116.0, 60.9, 51.6, 36.4, 29.5, 27.3, 22.0, 21.7, 14.1. AEŠH-MS (ESI) *m/z*: 418.3 [M+H]⁺.

2-(3-(2-(4'-Hidroksi[1,1'-bifenil]-4-il)etil)-1*H*-1,2,3-triazol-1-il)benzoskābes etilesteris (**140g**)



140g iegūst no bromīda **139** (0,10 g, 0,25 mmol), 4-hidroksifenilborskābes (52 mg, 0,37 mmol), 2 M K₂CO₃ šķīduma (0,37 ml, 0,75 mmol) un Pd(dppf)Cl₂ (9 mg, 0,01 mmol), izmantojot savienojuma **76** iegūšanas metodi. Iegūst 72 mg (70 %) produkta **140g**, balta cieta viela. ¹H-KMR (300 MHz, CDCl₃) δ 7.99 (dd, *J* = 7.5, 1.7 Hz, 1H), 7.64 (td, *J* = 7.6, 1.7 Hz, 1H), 7.58 (td, *J* = 7.6, 1.6 Hz, 1H), 7.51 – 7.40 (m, 6H), 7.32 – 7.21 (m, 2H), 6.95 – 6.87 (m, 2H), 5.81 (s, 1H), 4.15 (q, *J* = 7.1 Hz, 2H), 3.23 – 3.07 (m, 4H), 1.12 (t, *J* = 7.1 Hz, 3H). AEŠH-MS (ESI) *m/z*: 414.5 [M+H]⁺.

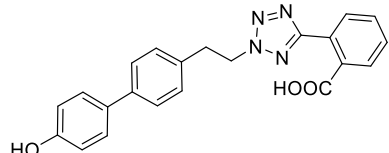
2-(3-(2-(4'-Hidroksi[1,1'-bifenil]-4-il)etil)-1,2,4-oksadiazol-5-il)benzoskābe (**141a**)



141a iegūst no metilestera **140a** (70 mg, 0,17 mmol) un 2 N NaOH šķīduma (0,26 ml, 0,52 mmol), izmantojot karbonskābes **27a** iegūšanas metodi. Iegūst 56 mg (83 %) produkta **141a**, balta cieta viela. ¹H-KMR (400 MHz, DMSO-d₆) δ 13.45 (b s, 1H), 9.50 (s, 1H), 7.96 – 7.89 (m, 1H), 7.86 – 7.81 (m, 1H), 7.81 – 7.73 (m, 2H), 7.49 (d, *J* = 8.2 Hz, 2H), 7.46 (d, *J* =

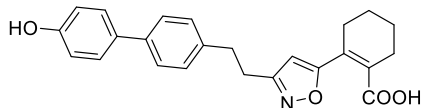
8.6 Hz, 2H), 7.29 (d, J = 8.2 Hz, 2H), 6.83 (d, J = 8.6 Hz, 2H), 3.15 – 3.03 (m, 4H). ^{13}C -KMR (100 MHz, DMSO- d_6) δ 175.2, 169.8, 167.5, 156.9, 138.3, 138.2, 133.0, 132.3, 131.8, 130.8, 130.2, 129.7, 128.9, 127.5, 125.9, 123.7, 115.7, 31.9, 27.3. AIMS (ESI) m/z : aprēķināts $\text{C}_{23}\text{H}_{19}\text{N}_2\text{O}_4$ [M+H] $^+$ 387.1339, atrasts 387.1346.

2-(2-(4'-Hidroksi-[1,1'-bifenil]-4-il)etil)-2*H*-tetrazol-5-il)benzoskābe (141b)



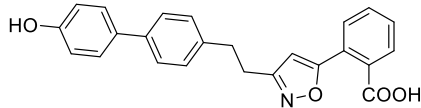
141b iegūst no etilestera **140b** (62 mg, 0,15 mmol) un 2 N NaOH šķīduma (0,22 ml, 0,44 mmol), izmantojot karbonskābes **73a** iegūšanas metodi. Iegūst 30 mg (52 %) produkta **141b**, balta cieta viela. ^1H -KMR (400 MHz, DMSO- d_6) δ 13.08 (b s, 1H), 9.52 (s, 1H), 7.81 (dd, J = 6.8, 2.0 Hz, 1H), 7.73 – 7.61 (m, 3H), 7.51 – 7.42 (m, 4H), 7.20 (d, J = 8.1 Hz, 2H), 6.83 (d, J = 8.5 Hz, 2H), 4.99 (t, J = 6.9 Hz, 2H), 3.30 (t, J = 6.9 Hz, 2H). ^{13}C -KMR (100 MHz, DMSO- d_6) δ 168.7, 163.7, 157.0, 138.6, 135.1, 133.2, 131.1, 130.6, 130.3, 129.9, 129.2, 129.2, 127.6, 126.2, 126.0, 115.7, 53.9, 34.5. AIMS (ESI) m/z : aprēķināts $\text{C}_{22}\text{H}_{19}\text{N}_4\text{O}_3$ [M+H] $^+$ 387.1452, atrasts 387.1460.

2-(3-(2-(4'-Hidroksi-[1,1'-bifenil]-4-yl)-ethyl)-izoksazol-5-il)-cikloheks-1-ēnkarbonskābe (141c)



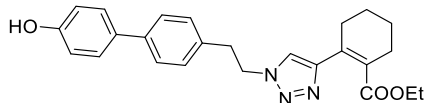
141c iegūst no etilestera **140c** (90 mg, 0,22 mmol) un 2 N NaOH šķīduma (0,32 ml, 0,64 mmol), izmantojot karbonskābes **73a** iegūšanas metodi. Iegūst 48 mg (57 %) produkta **141c**, balta cieta viela. ^1H -KMR (400 MHz, DMSO- d_6) δ 12.73 (b s, 1H), 9.48 (s, 1H), 7.50 – 7.43 (m, 4H), 7.29 – 7.24 (m, 2H), 6.85 – 6.79 (m, 2H), 6.43 (s, 1H), 2.99 – 2.86 (m, 4H), 2.38 – 2.29 (m, 4H), 1.72 – 1.58 (m, 4H). ^{13}C -KMR (100 MHz, DMSO- d_6) δ 170.8, 168.6, 162.9, 156.9, 138.8, 138.1, 134.7, 130.8, 128.8, 127.5, 125.9, 123.4, 115.7, 101.7, 33.0, 27.2, 27.0, 26.7, 21.2, 20.9. AIMS (ESI) m/z : aprēķināts $\text{C}_{24}\text{H}_{24}\text{NO}_4$ [M+H] $^+$ 390.1700, atrasts 390.1966.

2-(3-(2-(4'-Hidroksi-[1,1'-bifenil]-4-yl)-ethyl)-izoksazol-5-il)benzoskābe (141d)



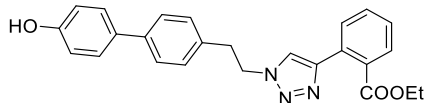
141d iegūst no etilestera **140d** (58 mg, 0,14 mmol) un 2 N NaOH šķīduma (0,21 ml, 0,42 mmol), izmantojot karbonskābes **73a** iegūšanas metodi. Iegūst 40 mg (74 %) produkta **141d**, balta cieta viela. ^1H -KMR (400 MHz, DMSO- d_6) δ 13.14 (s, 1H), 9.50 (s, 1H), 7.81 – 7.72 (m, 1H), 7.69 – 7.57 (m, 2H), 7.53 – 7.42 (m, 4H), 7.34 – 7.26 (m, 2H), 6.88 – 6.79 (m, 2H), 6.71 (s, 1H), 3.00 (s, 4H). ^{13}C -KMR (100 MHz, DMSO- d_6) δ 168.7, 168.4, 163.4, 156.9, 138.8, 138.1, 132.4, 131.1, 130.8, 130.3, 129.3, 129.1, 128.9, 127.5, 126.0, 125.9, 115.7, 102.6, 33.0, 27.3. AIMS (ESI) m/z : aprēķināts $\text{C}_{24}\text{H}_{20}\text{NO}_4$ [M+H] $^+$ 386.1387, atrasts 386.1392.

2-(1-(2-(4`-Hidroksi[1,1`-bifenil]-4-il)etil)-1*H*-1,2,3-triazol-4-il)cikloheks-1-ēn-1-karbonskābe (141e)



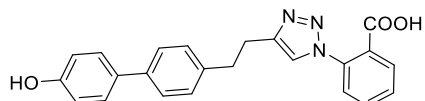
141e iegūst no etilesterā **140e** (70 mg, 0,17 mmol) un 2 N NaOH šķīduma (0,25 ml, 0,50 mmol), izmantojot karbonskābes **73a** iegūšanas metodi. Iegūst 40 mg (61 %) produkta **141e**, balta cieta viela. ^1H -KMR (400 MHz, DMSO-*d*₆) δ 12.29 (s, 1H), 9.51 (s, 1H), 7.99 (s, 1H), 7.52 – 7.40 (m, 4H), 7.25 – 7.16 (m, 2H), 6.87 – 6.79 (m, 2H), 4.59 (t, *J* = 7.3 Hz, 2H), 3.14 (t, *J* = 7.3 Hz, 2H), 2.42 – 2.34 (m, 2H), 2.34 – 2.25 (m, 2H), 1.69 – 1.57 (m, 4H). ^{13}C -KMR (100 MHz, DMSO-*d*₆) δ 171.4, 157.0, 145.8, 138.5, 135.7, 130.6, 129.6, 129.2, 127.7, 127.6, 125.9, 122.2, 115.7, 50.4, 35.4, 28.3, 26.9, 21.6, 21.4. AIMS (ESI) *m/z*: aprēķināts C₂₃H₂₄N₃O₃ [M+H]⁺ 390.1812, atrasts 390.1814.

2-(1-(2-(4`-Hidroksi[1,1`-bifenil]-4-il)etil)-1*H*-1,2,3-triazol-4-il)benzoskābe (141f)



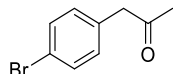
141f iegūst no etilesterā **140f** (46 mg, 0,11 mmol) un 2 N NaOH šķīduma (0,17 ml, 0,34 mmol), izmantojot karbonskābes **73a** iegūšanas metodi. Iegūst 30 mg (70 %) produkta **141f**, balta cieta viela. ^1H -KMR (400 MHz, DMSO-*d*₆) δ 12.87 (s, 1H), 9.51 (s, 1H), 8.29 (s, 1H), 7.67 (dd, *J* = 1.2, 7.6 Hz, 1H), 7.65 (dd, *J* = 1.1, 7.6 Hz, 1H), 7.56 (td, *J* = 7.6, 1.4 Hz, 1H), 7.51 – 7.47 (m, 2H), 7.47 – 7.42 (m, 3H), 7.28 – 7.20 (m, 2H), 6.87 – 6.80 (m, 2H), 4.67 (t, *J* = 7.3 Hz, 2H), 3.21 (t, *J* = 7.3 Hz, 2H). ^{13}C -KMR (100 MHz, DMSO-*d*₆) δ 169.6, 157.0, 144.8, 138.5, 135.7, 132.2, 130.6, 129.4, 129.2, 129.2, 128.8, 127.9, 127.6, 125.9, 123.0, 115.7, 50.6, 35.4 AIMS (ESI) *m/z*: aprēķināts C₂₃H₂₀N₃O₃ [M+H]⁺ 386.1499, atrasts 386.1510.

2-(3-(2-(4`-Hidroksi[1,1`-bifenil]-4-il)etil)-1*H*-1,2,3-triazol-1-il)benzoskābe (141g)



141g iegūst no etilesterā **140g** (71 mg, 0,17 mmol) un 2 N NaOH šķīduma (0,26 ml, 0,52 mmol), izmantojot karbonskābes **73a** iegūšanas metodi. Iegūst 58 mg (88 %) produkta **141g**, balta cieta viela. ^1H -KMR (400 MHz, DMSO-*d*₆) δ 13.10 (s, 1H), 9.50 (s, 1H), 8.24 (s, 1H), 7.90 (dd, *J* = 7.7, 1.6 Hz, 1H), 7.74 (td, *J* = 7.7, 1.6 Hz, 1H), 7.65 (td, *J* = 7.7, 1.3 Hz, 1H), 7.56 (dd, *J* = 7.7, 1.3 Hz, 1H), 7.51 – 7.47 (m, 2H), 7.47 – 7.44 (m, 2H), 7.32 – 7.26 (m, 2H), 6.88 – 6.79 (m, 2H), 3.06 – 2.96 (m, 4H). ^{13}C -KMR (100 MHz, DMSO-*d*₆) δ 166.8, 156.9, 146.4, 139.3, 138.0, 135.4, 132.3, 130.9, 130.3, 129.6, 128.9, 128.7, 127.5, 126.2, 125.9, 123.5, 115.7, 34.5, 27.0. AIMS (ESI) *m/z*: aprēķināts C₂₃H₂₀N₃O₃ [M+H]⁺ 386.1499, atrasts 386.1506.

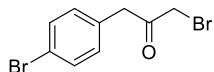
1-(4-Bromfenil)propān-2-ons (142)¹⁵⁸



4-Bromfeniletikskābes (**85**) (1,00 g, 4,65 mmol) šķīdumam Ac₂O (2,19 ml, 23,3 mmol) argona atmosfērā istabas temperatūrā pievieno *N*-metilimidazolu (0,18 ml, 2,36 mmol) un

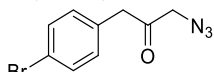
maisa 16 stundas. Reakcijas maisījumam pievieno ledus aukstu ūdeni, ekstrahē ar EtOAc divas reizes, organiskos slāņus apvieno, mazgā ar pies. NaHCO₃ šķīdumu, pies. NaCl šķīdumu, žāvē virs Na₂SO₄ un ietvaicē. Atlikumu hromatografē uz silikagela (EtOAc-PE, 1:10). Iegūst 0,78 g (79 %) produkta **142**, eļļa. ¹H-KMR (300 MHz, CDCl₃) δ 7.50 – 7.43 (m, 2H), 7.09 – 7.05 (m, 2H), 3.66 (s, 2H), 2.17 (s, 3H).

1-Brom-3-(4-bromfenil)propān-2-ons (143)¹⁵⁹



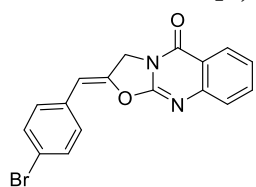
Br₂ (0,22 ml, 4,39 mmol) šķīdumu AcOH (0,75 ml) pievieno pie metilketona **142** (0,43 g, 1,99 mmol) šķīduma AcOH (0,5 ml) un 48 % HBr šķīduma (0,25 ml, 2,09 mmol) maisījumā un maisa istabas temperatūrā 5 stundas. Reakcijas maisījumam pievieno acetonu (2,5 ml) un turpina maisīšanu 16 stundas. Reakcijas maisījumu ietvaicē, atšķaida ar pies. NaCl šķīdumu, ekstrahē ar DCM, ekstraktu žāvē virs Na₂SO₄ un ietvaicē. Atlikumu hromatografē uz silikagela (EtOAc-PE, 1:20-1:6). Iegūst 0,44 g (76 %) produkta **143**, iezalgana cieta viela. ¹H-KMR (300 MHz, CDCl₃) δ 7.53 – 7.41 (m, 2H), 7.16 – 7.06 (m, 2H), 3.92 (s, 2H), 3.90 (s, 2H).

1-Azido-3-(4-Bromfenil)propān-2-ons (144a)



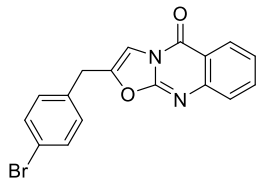
α-Bromketona **143** (0,63 g, 2,16 mmol) un NaN₃ (0,17 g, 2,61 mmol) maisījumu MeOH (5 ml) maisa 2 stundas istabas temperatūra, tad šķīdinātāju ietvaicē. Atlikumam pievieno ūdeni un EtOAc, organisko slāni atdala un mazgā ar ūdeni, pies. NaCl šķīdumu, žāvē virs Na₂SO₄ un ietvaicē. Iegūst 0,54 g (99 %) produkta **144a**, brūna cieta viela. ¹H-KMR (300 MHz, CDCl₃) δ 7.52 – 7.45 (m, 2H), 7.13 – 7.05 (m, 2H), 3.99 (s, 2H), 3.72 (s, 2H). ¹³C-KMR (75 MHz, CDCl₃) δ 201.4, 132.2, 131.6, 131.2, 121.8, 57.1, 46.6. AEŠH-MS apstākļos viela sabrūk.

(Z)-2-(4-Brombenzilidēn)-2,3-dihidro-5H-oksazolo[2,3-b]hinazolīn-5-ons (147a)



Azidoketona **144a** (0,10 g, 0,40 mmol) un izotiocianāta **145** (77 mg, 0,40 mmol) šķīdumam dioksānā (0,8 ml) argona atmosfērā pievieno trifenilfosfinu (105 mg, 0,40 mmol) un maisa 5 min. istabas temperatūrā, tad silda 2 stundas 80 °C temperatūrā. Reakcijas maisījumu atdzesē un šķīdinātāju ietvaicē. Atlikumu sajauc ar DCM (3 ml), nogulsnesnofiltrē un žāvē vakuumā. Iegūst 80 mg (56 %) produkta **147a**, balta cieta viela. ¹H-KMR (300 MHz, DMSO-d₆) δ 8.09 (dd, J = 7.9, 1.2 Hz, 1H), 7.79 (ddd, J = 8.5, 7.2, 1.5 Hz, 1H), 7.65 – 7.58 (m, 2H), 7.58 – 7.51 (m, 3H), 7.44 (ddd, J = 7.9, 7.2, 1.1 Hz, 1H), 6.04 – 5.99 (t, J=1.7 Hz, 1H), 5.01 (d, J = 1.7 Hz, 2H). ¹³C-KMR (75 MHz, DMSO d₆) δ 159.1, 154.3, 148.1, 144.7, 134.8, 132.5, 131.6, 129.9, 126.2, 126.1, 125.2, 119.9, 119.1, 102.0, 46.7. AIMS (ESI) m/z: aprēķināts C₁₇H₁₂BrN₂O₃ [M+H]⁺ 355.0077, atrasts 355.0092.

2-(4-Brombenzil)-5H-oksazolo[2,3-b]hinazolin-5-ons (149a)



Oksazolohinazolinona **147a** (28 mg, 0,08 mmol) un K₂CO₃ (11 mg, 0,08 mmol) maisījumu dioksānā (0,5 ml) maisa slēgtā ampulā argona atmosfērā 80 °C temperatūrā 7 dienas. Reakcijas maisījumu ietvaicē, atlikumu hromatografē uz silikagela (MeOH-DCM, 1-3 %) un iegūst 18 mg produkta **149a** (64 %) kā baltu cietu vielu, kas kā piemaisījumu satur izejvielu **147a** (6 %). ¹H-KMR (400 MHz, CDCl₃) δ 8.30 (ddd, J = 8.1, 1.6, 0.6 Hz, 1H), 7.75 (ddd, J = 8.3, 7.0, 1.6 Hz, 1H), 7.66 (ddd, J = 8.3, 1.2, 0.6 Hz, 1H), 7.52 – 7.47 (m, 2H), 7.41 (ddd, J = 8.1, 7.0, 1.2 Hz, 1H), 7.35 (t, J = 1.4 Hz, 1H), 7.23 – 7.17 (m, 2H), 3.96 (d, J = 1.4f Hz, 2H). ¹³C-KMR (100 MHz, CDCl₃) δ 157.5, 152.5, 148.1, 146.8, 135.0, 133.1, 132.3, 130.8, 127.1, 126.8, 124.9, 121.9, 117.3, 106.1, 32.1. AIMS (ESI) m/z: aprēķināts C₁₇H₁₂BrN₂O₃ [M+H]⁺ 355.0077, atrasts 355.0087.

5.3. Aprēķini

HCA2 receptora modelis

HCA2 receptora modeli izveidojām, izmantojot GPCR-I-TASSER metodi²⁸ (<https://zhanglab.ccmb.med.umich.edu/GPCR-I-TASSER/>) uz CCR5 hemokīna receptora veidnes. Šis modelis darbā ir izmantots HCA2 vizuālajai reprezentācijai. Piemēram, 1.2. attēlā 13. lpp. redzamie receptora aminoskābju atlikumi ir attēloti uz izveidotā modeļa, nevis uz citētajās publikācijās iegūtajiem modeļiem.

Datormodelēšana

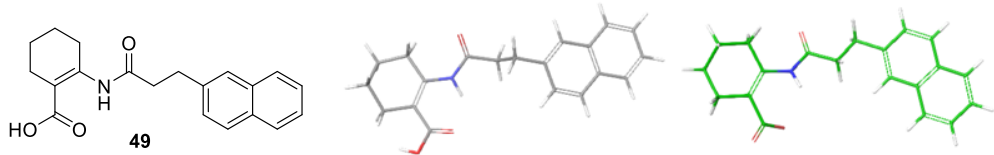
Datormodelēšanā ir izmanots Schrödinger Small-Molecule Drug Discovery Suite⁸⁷.

Savienojumu fiziko-ķīmiskie deskriptori

Savienojumu fiziko-ķīmisko deskriptoru aprēķiniem izmantojām Canvas Shrodinge programmatūru.

Savienojumu 3D struktūras

Savienojumu 3D struktūras izveidojām, izmantojot LigPrep programmatūras piedāvāto spēka lauku OPLS3 un ar šīs programmatūras Epik opciju ģenerētas jonizētas struktūras pie pH 7±2. Visi cikloheksēnkarbonskābi saturošie ligandi pie pH 7±2 var pastāvēt gan deprotonētajā COO⁻ formā, gan kā COOH (5.1. att.). Izmantojot ConfGen rīku, aprēķinājām ligandu varbūtīgākās bioaktīvās konformācijas. Struktūru savietošanā ir izmantota tikai viena struktūru forma – deprotonētā karbonskābe COO⁻. Struktūru savietošanai izmantojām Flexible Ligand Alignment.



5.1. attēls. 3D struktūru izveide

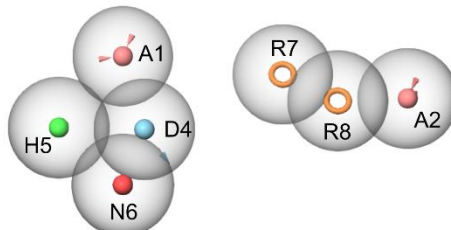
Farmakoforais modelis, ligandu skrīnings

HCA2 farmakoforo modeli izveidojām ar *Develop Pharmacophore Model*. Ar šīs programmas palīdzību ģenerējām hipotēzes, kuras satur no 5 līdz 7 farmakoforiem apgabaliem, un atrastās hipotēzes atbilst vismaz 50 % aktīvo vielu. Struktūras negatīvi lādētie elementi un akceptoris, kā arī struktūras hidrofobie apgabali un aromātiskas daļas tiek uzskaitītas par vienlīdzīgiem farmakoforiem.

Farmakoforie modeļi ir izveidoti, izmantojot sekojošas metodes:

1. Vairāku ligandu analīze (*multiple ligands*) – visas struktūras no tabulas ar vai bez izslēgtām telpām:
 - a. savietošana, izmantojot jaunu ģenerētu konformērus (*best alignment*)
 - b. izmantojot savietotus ligandus (*prealigned ligands – consensus model*)
2. Viena liganda analīze (*single ligand*) ar izslēgtām telpām:
 - a. Savienojums **38a** (modelis ir redzams 5.2. attēlā)
 - b. Savienojums **49**

Vairāku ligandu analīzē visi savienojumi tika sadalīti 3 grupās atkarībā no aktivitātes: aktīvi savienojumi ($EC_{50} < 15 \mu M$), vidēji aktīvi (EC_{50} no 15 līdz 52 μM vai viela spēj aktivēt receptoru 50 μM koncentrācijā), neaktīvi – viela neaktivē HCA2 50 μM koncentrācijā).



5.2. attēls. Automātiski izveidotais farmakoforais modelis AADHNRR
Single ligand metode, savienojums **38e**

Struktūru atbilstības pārbaude farmakoforajam modelim – ligandu skrīnings – ir veikts ar *Phase Ligand Screening* rīku ar vai bez izslēgtām telpām. Ir pieņemts, ka darbā iegūts savienojums atbilst farmakoforajam modelim, ja vismaz 5 farmakoforie apgabali sakrīt ar modeļa farmakoforajiem apgabaliem. Ligandu skrīningā ir izmantotas sekojošas metodes:

1. Ar izslēgtām telpām, saglabā konformērus ar minimizētajām enerģijām
2. Ar izslēgtām telpām, izveido jaunus konformērus
3. Bez izslēgtām telpām, saglabā konformērus ar minimizētajām enerģijām

Automātiski izveidoto modeli AADHNRR ar labāko vērtējumu manuāli modificējām tā, lai tam atbilstu maksimālais skaits aktīvo vielu un minimālais skaits neaktīvo, rezultātā ieguvam modeli AADHNRR_2.

ChEMBL ligandu datubāzes skrīnings

Eiropas Bioinformātikas institūta ligandu datubāzei ChEMBL (ID CHEMBL3785) piekļuve tika izveidota 31.01.2017. Izvēlējās tikai savienojumus kuriem ir minēti afinitātes dati; struktūras, kuras atkārtojas, tika izslēgtas. Pavisam ieguvām 245 savienojumus, kuriem izveidojām 3D struktūras (*LigPrep OPLS3, pH 7±2*). ChEMBL ligandu skrīningā pieņemām, ka ligands atbilst farmakoforajam modelim, ja sakrīt vismaz 4 vai 5 farmakoforie apgabali, jo ChEMBL datubāzē ir iekļauti vairāku dažādu ligandu grupu savienojumi, arī mazmolekulārie savienojumi, piemēram, nikotīnskābes atvasinājumi (molekulārais svars zem 300). Daži skrīninga reprezentatīvi rezultāti ir parādīti 5.1. tabulā.

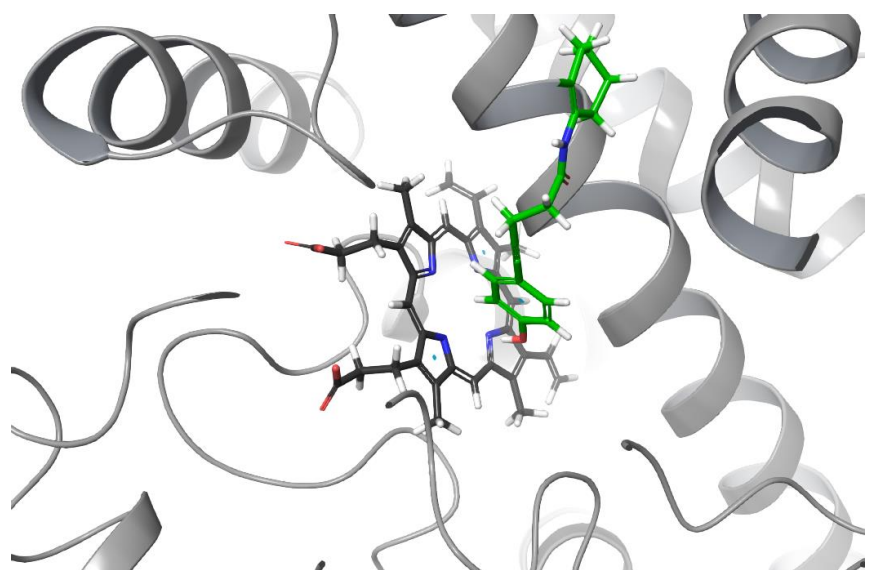
5.1. tabula

ChEMBL datubāzes savienojumu skrīnings

N.p.k.	Modelis	Farmakoforu skaits	Izslēgtās telpas	Izveido konformērus	Atbilst (no 245)
1.	AADHNRR	Vismaz 4	Ar	Nē	32
2.	AADHNRR	Vismaz 5	Ar	Nē	16
3.	AADHNRR	Vismaz 4	Ar	Jā	101
4.	AADHNRR	Vismaz 5	Ar	Jā	47
5.	AADHNRR	Vismaz 4	Bez	Nē	231
6.	AADHNRR_2	Vismaz 4	Ar	Nē	30
7.	AADHNRR_2	Vismaz 4	Ar	Jā	93
8.	AADHNRR_2	Vismaz 5	Ar	Jā	69

Savienojuma **73c** metaboliskā stabilitāte

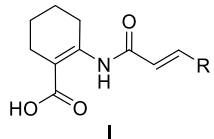
Savienojuma **73c** metaboliskā stabilitāte ir aprēķināta, izmantojot *P450 Site of Metabolism* rīku, bet aprēķiniem izvēlēta 2C9 enzīma izoforma. 5.3. attēlā ir parādīta savienojuma **73c** reprezentatīva poza citohromā P450 aktīvajā centrā, kur redzams, ka savienojuma 4-hidroksifenilgrupa ir tuvu hēmam.



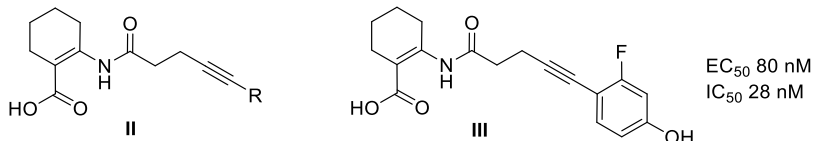
5.3. attēls. Savienojuma **73c** dokings
Zaļš – **73c**, tumši pelēks – hēms

SECINĀJUMI

- Iegūtās (*E*)-2-(3-(arilakrilamido)cikloheks-1-ēn-1-karbonskābes **I** ir selektīvākas pret HCA2, salīdzinot ar HCA1 un HCA3.



- Balstoties uz (*E*)-2-(3-(arilakrilamido)cikloheks-1-ēn-1-karbonskābes sērijā **I** atrastajām struktūras-aktivitātes likumsakarībām, atrasti tādi jauni struktūrfragmenti kā hinolīns, benzodioksols un fenilacetilēns, kurus var izmantot ligandu hidrofobās daļas dizainā, aizstājot literatūrā zināmo naftalīna grupu.
- Ir novērojama tendence, ka iegūto HCA2 agonistu aktivitāte ir augstāka, ja savienojuma struktūrai ir ierobežotas dažādu konformāciju veidošanas iespējas.
- Cikloheksēnkarbonskābi saturošiem HCA2 ligandiem piemīt saistība ar vērsa seruma albumīnu, kas ietekmē pētāmo ligandu aktivitātes cAMP funkcionālajā testā.
- Iegūtajā 2-(5-arpent-4-īnamido)cikloheks-1-ēn-1-karbonskābju **II** sērijā ir atrasti augstas afinitātes HCA2 agonisti (piem., savienojums **III**).



- Antranilskābi saturošos HCA2 ligandos karbonskābi var aizvietot ar tās bioizostēru – fosforskābi.
- Amīda grupa cikloheksēnkarbonskābi un antranilskābi saturošos HCA2 ligandos ir svarīga struktūrdaļa, kuru nevar aizvietot ar tādiem heterocikliem kā tetrazols, 1,2,4-oksadiazols, izoksazols un 1,2,3-triazols.

LITERATŪRAS SARAKSTS

1. Ērglis, A. *Kardiovaskulāro slimību (KVS) Profilakses Vadlīnijas*; Rīga, 2007.
2. Bäck, M.; Hansson, G. K. Anti-Inflammatory Therapies for Atherosclerosis. *Nat. Rev. Cardiol.* **2015**, *12* (4), 199–211.
3. Statistika par nāves cēloņiem – Eurostat. http://ec.europa.eu/eurostat/statistics-explained/index.php/Causes_of_death_statistics/lv (lapa skatīta 6.02.2018.).
4. Hauser, A. S.; Attwood, M. M.; Rask-Andersen, M.; Schiöth, H. B.; Gloriam, D. E. Trends in GPCR Drug Discovery: New Agents, Targets and Indications. *Nat. Rev. Drug Discov.* **2017**, *16* (12), 829–842.
5. Husted, A. S.; Trauelsen, M.; Rudenko, O.; Hjorth, S. A.; Schwartz, T. W. GPCR-Mediated Signaling of Metabolites. *Cell Metab.* **2017**, *25* (4), 777–796.
6. Offermanns, S.; Colletti, S. L.; Lovenberg, T. W.; Semple, G.; Wise, A. International Union of Basic and Clinical Pharmacology. LXXXII: Nomenclature and Classification of Hydroxy-Carboxylic Acid Receptors. *Pharmacol. Rev.* **2011**, *63* (2), 269–290.
7. Offermanns, S. Free Fatty Acid (FFA) and Hydroxy Carboxylic Acid (HCA) Receptors. *Annu. Rev. Pharmacol. Toxicol.* **2013**, *54*, 1–28.
8. Wise, A.; Foord, S. M.; Fraser, N. J.; Barnes, A. A.; Elshourbagy, N.; Eilert, M.; Ignar, D. M.; Murdock, P. R.; Steplewski, K.; Green, A.; Brown, A. J.; Dowell, S. J.; Szekeres, P. G.; Hassall, D. G.; Marshall, F. H.; Wilson, S.; Pike, N. B. Molecular Identification of High and Low Affinity Receptors for Nicotinic Acid. *J. Biol. Chem.* **2003**, *278* (11), 9869–9874.
9. Tunaru, S.; Kero, J.; Schaub, A.; Wufka, C.; Blaukat, A.; Pfeffer, K.; Offermanns, S. PUMA-G and HM74 Are Receptors for Nicotinic Acid and Mediate Its Anti-Lipolytic Effect. *Nat. Med.* **2003**, *9* (3), 352–355.
10. Soga, T.; Kamohara, M.; Takasaki, J.; Matsumoto, S.; Saito, T.; Ohishi, T.; Hiyama, H.; Matsuo, A.; Matsushime, H.; Furuichi, K. Molecular Identification of Nicotinic Acid Receptor. *Biochem. Biophys. Res. Commun.* **2003**, *303* (1), 364–369.
11. Blad, C. C.; Tang, C.; Offermanns, S. G Protein-Coupled Receptors for Energy Metabolites as New Therapeutic Targets. *Nat. Rev. Drug Discov.* **2012**, *11* (8), 603–619.
12. Taggart, A. K. P.; Kero, J.; Gan, X.; Cai, T. Q.; Cheng, K.; Ippolito, M.; Ren, N.; Kaplan, R.; Wu, K.; Wu, T. J.; Jin, L.; Liaw, C.; Chen, R.; Richman, J.; Connolly, D.; Offermanns, S.; Wright, S. D.; Waters, M. G. (D)-β-Hydroxybutyrate Inhibits Adipocyte Lipolysis via the Nicotinic Acid Receptor PUMA-G. *J. Biol. Chem.* **2005**, *280* (29), 26649–26652.
13. Offermanns, S. Hydroxy-Carboxylic Acid Receptor Actions in Metabolism. *Trends Endocrinol. Metab.* **2017**, *28* (3), 227–236.
14. Lauring, B.; Taggart, A. K. P.; Tata, J. R.; Dunbar, R.; Caro, L.; Cheng, K.; Chin, J.; Colletti, S. L.; Cote, J.; Khalilieh, S.; Liu, J.; Luo, W.-L.; MacLean, A. A.; Peterson, L. B.; Polis, A. B.; Sirah, W.; Wu, T.-J.; Liu, X.; Jin, L.; Wu, K.; Boatman, P. D.; Semple, G.; Behan, D. P.; Connolly, D. T.; Lai, E.; Wagner, J. A.; Wright, S. D.; Cuffie, C.; Mitchel, Y. B.; Rader, D. J.; Paolini, J. F.; Waters, M. G.; Plump, A. Niacin Lipid Efficacy Is Independent of Both the Niacin Receptor GPR109A and Free Fatty Acid Suppression. *Sci. Transl. Med.* **2012**, *4* (148), 148ra115.
15. Digby, J. E.; Martinez, F.; Jefferson, A.; Ruparelia, N.; Chai, J.; Wamil, M.; Greaves, D. R.; Choudhury, R. P. Anti-Inflammatory Effects of Nicotinic Acid in Human Monocytes Are Mediated by GPR109A Dependent Mechanisms. *Arterioscler. Thromb. Vasc. Biol.* **2012**, *32* (3), 669–676.
16. Lukasova, M.; Hanson, J.; Tunaru, S.; Offermanns, S. Nicotinic Acid (Niacin): New

- Lipid-Independent Mechanisms of Action and Therapeutic Potentials. *Trends Pharmacol. Sci.* **2011**, *32* (12), 700–707.
- 17. Lukasova, M.; Malaval, C.; Gille, A.; Kero, J.; Offermanns, S. Nicotinic Acid Inhibits Progression of Atherosclerosis in Mice through Its Receptor GPR109A Expressed by Immune Cells. *J. Clin. Invest.* **2011**, *121* (3), 1163–1173.
 - 18. Graff, E. C.; Fang, H.; Wanders, D.; Judd, R. L. Anti-Inflammatory Effects of the Hydroxycarboxylic Acid Receptor 2. *Metabolism*. **2016**, *65* (2), 102–113.
 - 19. Chen, H.; Assmann, J. C.; Krenz, A.; Rahman, M.; Grimm, M.; Karsten, C. M.; Köhl, J.; Offermanns, S.; Wettschureck, N.; Schwaninger, M. Hydroxycarboxylic Acid Receptor 2 Mediates Dimethyl Fumarate's Protective Effect in EAE. *J. Clin. Invest.* **2014**, *124* (5), 2188–2192.
 - 20. European Medicines Agency - Find medicine - Tecfidera. http://www.ema.europa.eu/ema/index.jsp?curl=pages%2Fmedicines%2Fhuman%2Fmedicines%2F002601%2Fhuman_med_001657.jsp&mid=WC0b01ac058001d124 (lapa skatīta 4.09.2017.).
 - 21. Linker, R. A.; Haghikia, A. Dimethyl Fumarate in Multiple Sclerosis: Latest Developments, Evidence and Place in Therapy. *Ther. Adv. Chronic Dis.* **2016**, *7* (4), 198–207.
 - 22. Maciejewski-Lenoir, D.; Richman, J. G.; Hakak, Y.; Gaidarov, I.; Behan, D. P.; Connolly, D. T. Langerhans Cells Release Prostaglandin D2 in Response to Nicotinic Acid. *J. Invest. Dermatol.* **2006**, *126* (12), 2637–2646.
 - 23. Singh, N.; Gurav, A.; Sivaprakasam, S.; Brady, E.; Padia, R.; Shi, H.; Thangaraju, M.; Prasad, P. D. D.; Manicassamy, S.; Munn, D. H. H.; Lee, J. R. R.; Offermanns, S.; Ganapathy, V. Activation of Gpr109a, Receptor for Niacin and the Commensal Metabolite Butyrate, Suppresses Colonic Inflammation and Carcinogenesis. *Immunity* **2014**, *40* (1), 128–139.
 - 24. Tan, J.; McKenzie, C.; Vuillermin, P. J.; Goverse, G.; Vinuesa, C. G.; Mebius, R. E.; Macia, L.; Mackay, C. R. Dietary Fiber and Bacterial SCFA Enhance Oral Tolerance and Protect against Food Allergy through Diverse Cellular Pathways. *Cell Rep.* **2016**, *15* (12), 2809–2824.
 - 25. Ahmed, K. Biological Roles and Therapeutic Potential of Hydroxy-Carboxylic Acid Receptors. *Front. Endocrinol. (Lausanne)*. **2011**, *2* (OCT), 1–12.
 - 26. Stäubert, C.; Broom, O. J.; Nordström, A.; Stäubert, C.; Broom, O. J.; Nordström, A. Hydroxycarboxylic Acid Receptors Are Essential for Breast Cancer Cells to Control Their Lipid/Fatty Acid Metabolism. *Oncotarget* **2015**, *6* (23), 19706–19720.
 - 27. Palczewski, K.; Kumada, T.; Hori, T.; Behnke, C. A.; Motoshima, H.; Fox, B. A.; Le Trong, I.; Teller, D. C.; Okada, T.; Stenkamp, R. E.; Yamamoto, M.; Miyano, M. Crystal Structure of Rhodopsin: A G Protein-Coupled Receptor. *Science* **2000**, *289* (5480), 739–745.
 - 28. Zhang, J.; Yang, J.; Jang, R.; Zhang, Y. GPCR-I-TASSER: A Hybrid Approach to G Protein-Coupled Receptor Structure Modeling and the Application to the Human Genome. *Structure* **2015**, *23* (8), 1538–1549.
 - 29. Liu, R.; van Veldhoven, J. P. D.; IJzerman, A. P. The Role of the C-Terminus of the Human Hydroxycarboxylic Acid Receptors 2 and 3 in G Protein Activation Using Ga-Engineered Yeast Cells. *Eur. J. Pharmacol.* **2016**, *770*, 70–77.
 - 30. Congreve, M.; Langmead, C. J.; Mason, J. S.; Marshall, F. H. Progress in Structure Based Drug Design for G Protein-Coupled Receptors. *J. Med. Chem.* **2011**, *54* (13), 4283–4311.
 - 31. Venkatakrishnan, A. J.; Deupi, X.; Lebon, G.; Tate, C. G.; Schertler, G. F.; Babu, M. M. Molecular Signatures of G-Protein-Coupled Receptors. *Nature* **2013**, *494* (7436), 185–194.

32. Tunaru, S.; Lattig, J.; Kero, J.; Krause, G.; Offermanns, S. Characterization of Determinants of Ligand Binding to the Nicotinic Acid Receptor GPR109A (HM74A/PUMA-G). *Mol. Pharmacol.* **2005**, *68* (5), 1271–1280.
33. Isberg, V.; Mordalski, S.; Munk, C.; Rataj, K.; Harpsøe, K.; Hauser, A. S.; Vroling, B.; Bojarski, A. J.; Vriend, G.; Gloriam, D. E. GPCRdb: An Information System for G Protein-Coupled Receptors. *Nucleic Acids Res.* **2016**, *44* (D1), D356–D364.
34. Deng, Q.; Frie, J. L.; Marley, D. M.; Beresis, R. T.; Ren, N.; Cai, T. Q.; Taggart, A. K. P.; Cheng, K.; Carballo-Jane, E.; Wang, J.; Tong, X.; Waters, M. G.; Tata, J. R.; Colletti, S. L. Molecular Modeling Aided Design of Nicotinic Acid Receptor GPR109A Agonists. *Bioorg. Med. Chem. Lett.* **2008**, *18* (18), 4963–4967.
35. Yang, F.; Zhang, Y.; Huang, J.; Cao, H. Homology Modelling of G-Coupled Protein Receptor 109A and Docking Simulation with Pyrazole Agonists. *Jisuanji Yu Yingyong Huaxue* **2016**, *33* (5), 569–574.
36. Correll, C. C.; McKittrick, B. A. Biased Ligand Modulation of Seven Transmembrane Receptors (7TMRs): Functional Implications for Drug Discovery. *J. Med. Chem.* **2014**, *57* (16), 6887–6896.
37. Walters, R. W.; Shukla, A. K.; Kovacs, J. J.; Violin, J. D.; DeWire, S. M.; Lam, C. M.; Chen, J. R.; Muehlbauer, M. J.; Whalen, E. J.; Lefkowitz, R. J. Beta-Arrestin1 Mediates Nicotinic Acid-Induced Flushing, but Not Its Antilipolytic Effect, in Mice. *J. Clin. Invest.* **2009**, *119* (5), 1312–1321.
38. Imbriglio, J. E.; Chang, S.; Liang, R.; Raghavan, S.; Schmidt, D.; Smenton, A.; Tria, S.; Schrader, T. O.; Jung, J.-K.; Esser, C.; Taggart, A. K. P.; Cheng, K.; Carballo-jane, E.; Waters, M. G.; Tata, J. R.; Colletti, S. L. GPR109a Agonists. Part 1: 5-Alkyl and 5-Aryl-Pyrazole – Tetrazoles as Agonists of the Human Orphan G-Protein Coupled Receptor GPR109a. *Bioorg. Med. Chem. Lett.* **2009**, *19* (8), 2121–2124.
39. Palani, A.; Rao, A. U.; Chen, X.; Huang, X.; Su, J.; Tang, H.; Huang, Y.; Qin, J.; Xiao, D.; Degrado, S.; Sofalarides, M.; Zhu, X.; Liu, Z.; McKittrick, B.; Zhou, W.; Aslanian, R.; Greenlee, W. J.; Senior, M.; Cheewatrakoolpong, B.; Zhang, H.; Farley, C.; Cook, J.; Kurowski, S.; Li, Q.; van Heek, M.; Wang, G.; Hsieh, Y.; Li, F.; Greenfeder, S.; Chintala, M. Discovery of SCH 900271, a Potent Nicotinic Acid Receptor Agonist for the Treatment of Dyslipidemia. *ACS Med. Chem. Lett.* **2012**, *3* (1), 63–68.
40. Zhang, R.; Xie, X. Tools for GPCR Drug Discovery. *Acta Pharmacol. Sin.* **2012**, *33* (3), 372–384.
41. Harrison, C.; Traynor, J. R. The [³⁵S]GTP γ S Binding Assay: Approaches and Applications in Pharmacology. *Life Sci.* **2003**, *74* (4), 489–508.
42. Altschul, R.; Hoffer, A.; Stephen, J. D. Influence of Nicotinic Acid on Serum Cholesterol in Man. *Arch. Biochem. Biophys.* **1955**, *54* (2), 558–559.
43. European Medicines Agency - Find medicine - European public assessment reports - Nicotinic Acid. http://www.ema.europa.eu/ema/index.jsp?curl=pages%2Fmedicines%2Flanding%2Fepar_search.jsp&mid=WC0b01ac058001d124&searchTab=searchByKey&alreadyLoaded=true&isNewQuery=true&status=Authorised&status=Withdrawn&status=Suspended&status=Refused&keyword=nicotinic+ (lapa skatīta 5.09.2017.).
44. Drugs@FDA: FDA Approved Drug Products. <https://www.accessdata.fda.gov/scripts/cder/daf/index.cfm?event=overview.process&applno=076378> (lapa skatīta 5.09.2017.).
45. Ambrogi, V.; Logemann, W.; Parenti, M. A.; Tomassini. Pyrazinederivate, Verfahren Zu Ihrer Herstellung Und Die Sie Enthalte Pharmazeutische Zubereitungen. DE2319834 (A1), 1973.
46. Aktories, K.; Schultz, G.; Jakobs, K. H. Islet-Activating Protein Prevents Nicotinic Acid-Induced GTPase Stimulation and GTP but Not GTP γ S-Induced Adenylate

- Cyclase Inhibition in Rat Adipocytes. *FEBS Lett.* **1983**, *156* (1), 88–92.
47. Lorenzen, A.; Stannek, C.; Lang, H.; Andrianov, V.; Kalvinsh, I.; Schwabe, U. Characterization of a G Protein-Coupled Receptor for Nicotinic Acid. *Mol. Pharmacol.* **2001**, *59* (2), 349–357.
48. Goel, H.; Dunbar, R. L. Niacin Alternatives for Dyslipidemia: Fool’s Gold or Gold Mine? Part II: Novel Niacin Mimetics. *Curr. Atheroscler. Rep.* **2016**, *18* (4), 17.
49. Bachovchin, W. W.; Lai, H.; O’Connell, D. P.; W, W.; C, K. Niacin Mimetics, and Methods of Use Thereof. US2012077807 (A1), 2013.
50. Van Herk, T.; Brussee, J.; Van den Nieuwendijk, A. M. C. H.; Van der Klein, P. A. M.; IJzerman, A. P.; Stannek, C.; Burmeister, A.; Lorenzen, A. Pyrazole Derivatives as Partial Agonists for the Nicotinic Acid Receptor. *J. Med. Chem.* **2003**, *46* (18), 3945–3951.
51. Gharbaoui, T.; Skinner, P. J.; Shin, Y. J.; Averbuj, C.; Jung, J. K.; Johnson, B. R.; Duong, T.; Decaire, M.; Uy, J.; Cherrier, M. C.; Webb, P. J.; Tamura, S. Y.; Zou, N.; Rodriguez, N.; Boatman, P. D.; Sage, C. R.; Lindstrom, A.; Xu, J.; Schrader, T. O.; Smith, B. M.; Chen, R.; Richman, J. G.; Connolly, D. T.; Colletti, S. L.; Tata, J. R.; Semple, G. Agonist Lead Identification for the High Affinity Niacin Receptor GPR109a. *Bioorg. Med. Chem. Lett.* **2007**, *17* (17), 4914–4919.
52. Semple, G.; Skinner, P. J.; Gharbaoui, T.; Shin, Y. J.; Jung, J. K.; Cherrier, M. C.; Webb, P. J.; Tamura, S. Y.; Boatman, P. D.; Sage, C. R.; Schrader, T. O.; Chen, R.; Colletti, S. L.; Tata, J. R.; Waters, M. G.; Cheng, K.; Taggart, A. K.; Cai, T. Q.; Carballo-Jane, E.; Behan, D. P.; Connolly, D. T.; Richman, J. G. 3-(1H-Tetrazol-5-Yl)-1,4,5,6-Tetrahydro-Cyclopentapyrazole (MK-0354): A Partial Agonist of the Nicotinic Acid Receptor, G-Protein Coupled Receptor 109a, with Antilipolytic but No Vasodilatory Activity in Mice. *J. Med. Chem.* **2008**, *51* (16), 5101–5108.
53. Lai, E.; Waters, M. G.; Tata, J. R.; Radziszewski, W.; Perevozskaya, I.; Zheng, W.; Wenning, L.; Connolly, D. T.; Semple, G.; Johnson-Levonas, A. O.; Wagner, J. A.; Mitchel, Y.; Paolini, J. F. Effects of a Niacin Receptor Partial Agonist, MK-0354, on Plasma Free Fatty Acids, Lipids, and Cutaneous Flushing in Humans. *J. Clin. Lipidol.* **2008**, *2* (5), 375–383.
54. Boatman, P. D.; Schrader, T. O.; Kasem, M.; Johnson, B. R.; Skinner, P. J.; Jung, J. K.; Xu, J.; Cherrier, M. C.; Webb, P. J.; Semple, G.; Sage, C. R.; Knudsen, J.; Chen, R.; Taggart, A. K.; Carballo-Jane, E.; Richman, J. G. Potent Tricyclic Pyrazole Tetrazole Agonists of the Nicotinic Acid Receptor (GPR109a). *Bioorg. Med. Chem. Lett.* **2010**, *20* (9), 2797–2800.
55. Boatman, P. D.; Lauring, B.; Schrader, T. O.; Kasem, M.; Johnson, B. R.; Skinner, P.; Jung, J.-K.; Xu, J.; Cherrier, M. C.; Webb, P. J.; Semple, G.; Sage, C. R.; Knudsen, J.; Chen, R.; Luo, W.-L.; Caro, L.; Cote, J.; Lai, E.; Wagner, J.; Taggart, A. K.; Carballo-Jane, E.; Hammond, M.; Colletti, S. L.; Tata, J. R.; Connolly, D. T.; Waters, M. G.; Richman, J. G. (1aR,5aR)1a,3,5,5a-Tetrahydro-1H-2,3-Diaza-Cyclopropa[a]Pentalene-4-Carboxylic Acid (MK-1903): A Potent GPR109a Agonist That Lowers Free Fatty Acids in Humans. *J. Med. Chem.* **2012**, *55* (8), 3644–3666.
56. Jirkovsky, I.; Cayen, M. Hypolipidemic 4,5-Dihydro-4-Oxo-5,5-Disubstituted-2-Furancarboxylic Acids. *J. Med. Chem.* **1982**, *25* (10), 1154–1156.
57. Mahboubi, K.; Witman-Jones, T.; Adamus, J. E.; Letsinger, J. T.; Whitehouse, D.; Moorman, A. R.; Sawicki, D.; Bergenhem, N.; Ross, S. A. Triglyceride Modulation by Acifran Analogs: Activity towards the Niacin High and Low Affinity G Protein-Coupled Receptors HM74A and HM74. *Biochem. Biophys. Res. Commun.* **2006**, *340* (2), 482–490.
58. Jung, J. K.; Johnson, B. R.; Duong, T.; Decaire, M.; Uy, J.; Gharbaoui, T.; Boatman, P.

- D.; Sage, C. R.; Chen, R.; Richman, J. G.; Connolly, D. T.; Semple, G. Analogues of Acifran: Agonists of the High and Low Affinity Niacin Receptors, GPR109a and GPR109b. *J. Med. Chem.* **2007**, *50* (7), 1445–1448.
59. Tang, H.; Lu, J. Y.-L. L.; Zheng, X.; Yang, Y.; Reagan, J. D. The Psoriasis Drug Monomethylfumarate Is a Potent Nicotinic Acid Receptor Agonist. *Biochem. Biophys. Res. Commun.* **2008**, *375* (4), 562–565.
60. Lee, M.-K.; Park, Y. B.; Moon, S.-S.; Bok, S. H.; Kim, D.-J.; Ha, T.-Y.; Jeong, T.-S.; Jeong, K.-S.; Choi, M.-S. Hypocholesterolemic and Antioxidant Properties of 3-(4-Hydroxyl)Propanoic Acid Derivatives in High-Cholesterol Fed Rats. *Chem. Biol. Interact.* **2007**, *170* (1), 9–19.
61. Van Veldhoven, J. P. D.; Blad, C. C.; Artsen, C. M.; Klopman, C.; Wolfram, D. R.; Abdelkadir, M. J.; Lane, J. R.; Brussee, J.; Ijzerman, A. P. Structure-Activity Relationships of Trans-Substituted-Propenoic Acid Derivatives on the Nicotinic Acid Receptor HCA2 (GPR109A). *Bioorg. Med. Chem. Lett.* **2011**, *21* (9), 2736–2739.
62. Peters, J.-U. U.; Kühne, H.; Dehmlow, H.; Grether, U.; Conte, A.; Hainzl, D.; Hertel, C.; Kratochwil, N. A.; Otteneder, M.; Narquizian, R.; Panousis, C. G.; Ricklin, F.; Röver, S. Pyrido Pyrimidinones as Selective Agonists of the High Affinity Niacin Receptor GPR109A: Optimization of in Vitro Activity. *Bioorg. Med. Chem. Lett.* **2010**, *20* (18), 5426–5430.
63. Qin, J.; Rao, A.; Chen, X.; Zhu, X.; Liu, Z.; Huang, X.; Degrado, S.; Huang, Y.; Xiao, D.; Aslanian, R.; Cheewatrakoolpong, B.; Zhang, H.; Greenfeder, S.; Farley, C.; Cook, J.; Kurowski, S.; Li, Q.; Van Heek, M.; Chintala, M.; Wang, G.; Hsieh, Y.; Li, F.; Palani, A. Discovery of a Potent Nicotinic Acid Receptor Agonist for the Treatment of Dyslipidemia. *ACS Med. Chem. Lett.* **2011**, *2* (2), 171–176.
64. Huang, X.; Su, J.; Rao, A. U.; Tang, H.; Zhou, W.; Zhu, X.; Chen, X.; Liu, Z.; Huang, Y.; Degrado, S.; Xiao, D.; Qin, J.; Aslanian, R.; McKittrick, B. A.; Greenfeder, S.; Heek, M. Van; Chintala, M.; Palani, A. SAR Studies of C2 Ethers of 2H-Pyran[2,3-d]Pyrimidine-2,4,7(1H,3H)-Triones as Nicotinic Acid Receptor (NAR) Agonist. *Bioorg. Med. Chem. Lett.* **2012**, *22* (2), 854–858.
65. Pinto, I. L.; Rahman, S. S.; Nicholson, N. H. Novel Compounds. WO2005077950 (A2), 2005.
66. Hatley, R. J. D.; Heer, J. P.; Liddle, J.; Mason, A. M.; Pinto, I. L.; Rahman, S. S.; Smith, I. E. D. Xanthine Derivatives as Selective HM74A Agonists. WO2007017262 (A1), 2007.
67. Sprecher, D.; Maxwell, M.; Goodman, J.; White, B.; Tang, C. M.; Boullay, V.; De Gouville, A. C. Discovery and Characterization of GSK256073, a Non-Flushing Hydroxy-Carboxylic Acid Receptor 2 (HCA2) Agonist. *Eur. J. Pharmacol.* **2015**, *756*, 1–7.
68. Kim, H. Y.; Jadhav, V. B.; Jeong, D. Y.; Park, W. K.; Song, J.-H. H.; Lee, S.; Cho, H. Discovery of 4-(Phenyl)Thio-1H-Pyrazole Derivatives as Agonists of GPR109A, a High Affinity Niacin Receptor. *Arch. Pharm. Res.* **2015**, *38* (6), 1019–1032.
69. Geyer, M.; Baus, J. A.; Fjellström, O.; Wellner, E.; Gustafsson, L.; Tacke, R. Synthesis and Pharmacological Properties of Silicon-Containing GPR81 and GPR109A Agonists. *ChemMedChem* **2015**, *10* (12), 2063–2070.
70. Shen, H. C.; Ding, F.-X.; Luell, S.; Forrest, M. J.; Carballo-Jane, E.; Wu, K. K.; Wu, T.-J.; Cheng, K.; Wilsie, L. C.; Krsmanovic, M. L.; Taggart, A. K.; Ren, N.; Cai, T.-Q.; Deng, Q.; Chen, Q.; Wang, J.; Wolff, M. S.; Tong, X.; Holt, T. G.; Waters, M. G.; Hammond, M. L.; Tata, J. R.; Colletti, S. L. Discovery of Biaryl Anthranilides as Full Agonists for the High Affinity Niacin Receptor. *J. Med. Chem.* **2007**, *50* (25), 6303–6306.

71. Raghavan, S.; Tria, G. S.; Shen, H. C.; Ding, F. X.; Taggart, A. K.; Ren, N.; Wilsie, L. C.; Krsmanovic, M. L.; Holt, T. G.; Wolff, M. S.; Waters, M. G.; Hammond, M. L.; Tata, J. R.; Colletti, S. L. Tetrahydro Anthranilic Acid as a Surrogate for Anthranilic Acid: Application to the Discovery of Potent Niacin Receptor Agonists. *Bioorg. Med. Chem. Lett.* **2008**, *18* (11), 3163–3167.
72. Shen, H. C.; Szymonifka, M. J.; Kharbanda, D.; Deng, Q.; Carballo-Jane, E.; Wu, K. K.; Wu, T.-J.; Cheng, K.; Ren, N.; Cai, T.-Q.; Taggart, A. K.; Wang, J.; Tong, X.; Waters, M. G.; Hammond, M. L.; Tata, J. R.; Colletti, S. L. Discovery of Orally Bioavailable and Novel Urea Agonists of the High Affinity Niacin Receptor GPR109A. *Bioorg. Med. Chem. Lett.* **2007**, *17* (24), 6723–6728.
73. Shen, H. C.; Ding, F.-X. X.; Raghavan, S.; Deng, Q.; Luell, S.; Forrest, M. J.; Carballo-Jane, E.; Wilsie, L. C.; Krsmanovic, M. L.; Taggart, A. K.; Wu, K. K.; Wu, T.-J. J.; Cheng, K.; Ren, N. N.; Cai, T.-Q. Q.; Chen, Q.; Wang, J.; Wolff, M. S.; Tong, X.; Holt, T. G.; Waters, M. G.; Hammond, M. L.; Tata, J. R.; Colletti, S. L. Discovery of a Biaryl Cyclohexene Carboxylic Acid (MK-6892): A Potent and Selective High Affinity Niacin Receptor Full Agonist with Reduced Flushing Profiles in Animals as a Preclinical Candidate. *J. Med. Chem.* **2010**, *53* (6), 2666–2670.
74. Imbriglio, J. E.; DiRocco, D.; Bodner, R.; Raghavan, S.; Chen, W.; Marley, D.; Esser, C.; Holt, T. G.; Wolff, M. S.; Taggart, A. K. P.; Waters, M. G.; Tata, J. R.; Colletti, S. L. The Discovery of High Affinity Agonists of GPR109a with Reduced Serum Shift and Improved ADME Properties. *Bioorg. Med. Chem. Lett.* **2011**, *21* (9), 2721–2724.
75. Schmidt, D.; Smenton, A.; Raghavan, S.; Shen, H.; Ding, F. X.; Carballo-Jane, E.; Luell, S.; Ciecko, T.; Holt, T. G.; Wolff, M.; Taggart, A.; Wilsie, L.; Krsmanovic, M.; Ren, N.; Blom, D.; Cheng, K.; McCann, P. E.; Waters, M. G.; Tata, J.; Colletti, S. Anthranilic Acid Replacements in a Niacin Receptor Agonist. *Bioorg. Med. Chem. Lett.* **2010**, *20* (11), 3426–3430.
76. Shen, H. C.; Ding, F.-X.; Deng, Q.; Wilsie, L. C.; Krsmanovic, M. L.; Taggart, A. K.; Carballo-Jane, E.; Ren, N.; Cai, T.-Q.; Wu, T.-J.; Wu, K. K.; Cheng, K.; Chen, Q.; Wolff, M. S.; Tong, X.; Holt, T. G.; Waters, M. G.; Hammond, M. L.; Tata, J. R.; Colletti, S. L. Discovery of Novel Tricyclic Full Agonists for the G-Protein-Coupled Niacin Receptor 109A with Minimized Flushing in Rats. *J. Med. Chem.* **2009**, *52* (8), 2587–2602.
77. Ding, F. X.; Shen, H. C.; Wilsie, L. C.; Krsmanovic, M. L.; Taggart, A. K.; Ren, N.; Cai, T. Q.; Wang, J.; Tong, X.; Holt, T. G.; Chen, Q.; Gerard Waters, M.; Hammond, M. L.; Tata, J. R.; Colletti, S. L. Discovery of Pyrazolyl Propionyl Cyclohexenamide Derivatives as Full Agonists for the High Affinity Niacin Receptor GPR109A. *Bioorg. Med. Chem. Lett.* **2010**, *20* (11), 3372–3375.
78. Pinto, I. L.; Simpson, J. K. Chemical Compounds. WO2006085113 (A2), 2006.
79. Imbriglio, J. E.; DiRocco, D.; Raghavan, S.; Ball, R. G.; Tsou, N.; Mosley, R. T.; Tata, J. R.; Colletti, S. L. The Synthesis and Conformational Analysis of Amino Acid-Tetrahydroanthranilic Acid Hybrids. *Tetrahedron Lett.* **2008**, *49* (33), 4897–4900.
80. Shen, H. C.; Taggart, A. K. P. P.; Wilsie, L. C.; Waters, M. G.; Hammond, M. L.; Tata, J. R.; Colletti, S. L. Discovery of Pyrazolopyrimidines as the First Class of Allosteric Agonists for the High Affinity Nicotinic Acid Receptor GPR109A. *Bioorg. Med. Chem. Lett.* **2008**, *18* (18), 4948–4951.
81. Blad, C. C.; van Veldhoven, J. P. D.; Klopman, C.; Wolfram, D. R.; Brussee, J.; Lane, J. R.; Ijzerman, A. P. Novel 3,6,7-Substituted Pyrazolopyrimidines as Positive Allosteric Modulators for the Hydroxycarboxylic Acid Receptor 2 (GPR109A). *J. Med. Chem.* **2012**, *55* (7), 3563–3567.
82. Brak, K.; Doyle, P. S.; McKerrow, J. H.; Ellman, J. A. Identification of a New Class of

- Nonpeptidic Inhibitors of Cruzain. *J. Am. Chem. Soc.* **2008**, *130* (20), 6404–6410.
83. Das, J. P.; Roy, U. K.; Roy, S. Synthesis of Alkynyl and Vinyl Selenides via Selenodecarboxylation of Arylpropiolic and Cinnamic Acids. *Organometallics* **2005**, *24* (25), 6136–6140.
84. Ando, K. Highly Selective Synthesis of Z-Unsaturated Esters by Using New Horner-Emmons Reagents, Ethyl (Diarylphosphono)Acetates. *J. Org. Chem.* **1997**, *62* (7), 1934–1939.
85. Grimes, K.; Gupte, A.; Aldrich, C. Copper(II)-Catalyzed Conversion of Aryl/Heteroaryl Boronic Acids, Boronates, and Trifluoroborates into the Corresponding Azides: Substrate Scope and Limitations. *Synthesis* **2010**, *2010* (09), 1441–1448.
86. Li, S.; Dieter, R. K. Coupling Reactions of α -(N-Carbamoyl)Alkylcuprates with Enol Triflates Derived from Cyclic β -Keto Esters: A Facile Approach to γ -Carbamoyl- α,β -Enoates. *J. Org. Chem.* **2003**, *68* (3), 969–973.
87. Small-Molecule Drug Discovery Suite 2016-4. Schrödinger, LLC, New York, NY. 2016.
88. Bento, A. P.; Gaulton, A.; Hersey, A.; Bellis, L. J.; Chambers, J.; Davies, M.; Krüger, F. A.; Light, Y.; Mak, L.; McGlinchey, S.; Nowotka, M.; Papadatos, G.; Santos, R.; Overington, J. P. The ChEMBL Bioactivity Database: An Update. *Nucleic Acids Res.* **2014**, *42* (D1), D1083–D1090.
89. Smith, D. a; Di, L.; Kerns, E. H. The Effect of Plasma Protein Binding on in Vivo Efficacy: Misconceptions in Drug Discovery. *Nat. Rev. Drug Discov.* **2010**, *9* (12), 929–939.
90. Colletti, S. L.; Imbriglio, J. E.; Beresis, R. T.; Frie, J. L. Niacin Receptor Agonists, Compositions Containing Such Compounds and Methods of Treatment. WO2007035478 (A2), 2006.
91. Wu, H.; He, Y.-P.; Gong, L.-Z. The Combination of Relay and Cooperative Catalysis with a Gold/Palladium/Brønsted Acid Ternary System for the Cascade Hydroamination/Allylic Alkylation Reaction. *Adv. Synth. Catal.* **2012**, *354* (6), 975–980.
92. Arcadi, A.; Burini, A.; Cacchi, S.; Delmastro, M.; Marinelli, F.; Pietroni, B. R. Palladium-Catalyzed Reaction of Vinyl Triflates and Vinyl/Aryl Halides with 4-Alkynoic Acids: Regio- and Stereoselective Synthesis of (E)-Delta-Vinyl/Aryl-Gamma-Methylene-Gamma-Butyrolactones. *J. Org. Chem.* **1992**, *57* (3), 976–982.
93. Sun, C.; Fang, Y.; Li, S.; Zhang, Y.; Zhao, Q.; Zhu, S.; Li, C. Synthesis of Enol Lactones via Cu(I)-Catalyzed Intramolecular O-Vinylation of Carboxylic Acids.
94. Amishiro, N.; Nagamura, S.; Kobayashi, E.; Gomi, K.; Saito, H. New Water-Soluble Duocarmycin Derivatives: Synthesis and Antitumor Activity of A-Ring Pyrrole Compounds Bearing β -Heteroarylacryloyl Groups. *J. Med. Chem.* **1999**, *42* (4), 669–676.
95. Cheung, S.-Y.; Chow, H.-F.; Ngai, T.; Wei, X. Synthesis of Organometallic Poly(Dendrimer)s by Macromonomer Polymerization: Effect of Dendrimer Size and Structural Rigidity on the Polymerization Efficiency. *Chem. - A Eur. J.* **2009**, *15* (10), 2278–2288.
96. Li, J.; Ding, D.; Liu, L.; Sun, J. CuI-Catalyzed Cross-Coupling of Diazoacetamide with Terminal Alkynes: An Approach to Synthesizing Substituted Dienamides and 3-Butynamides. *RSC Adv.* **2013**, *3* (44), 21260.
97. Abbas, A.; Xing, B.; Loh, T.-P. Allenamides as Orthogonal Handles for Selective Modification of Cysteine in Peptides and Proteins. *Angew. Chemie Int. Ed.* **2014**, *53* (29), 7491–7494.

98. van Veldhoven, J. P. D. D.; Liu, R.; Thee, S. A.; Wouters, Y.; Verhoork, S. J. M. M.; Mooiman, C.; Louvel, J.; IJzerman, A. P. Affinity and Kinetics Study of Anthranilic Acids as HCA2 Receptor Agonists. *Bioorg. Med. Chem.* **2015**, 23 (14), 4013–4025.
99. Bessmertnykh, A.; Douaihy, C. M.; Guillard, R. Direct Synthesis of Amino-Substituted Aromatic Phosphonates via Palladium-Catalyzed Coupling of Aromatic Mono- and Dibromides with Diethyl Phosphite. *Chem. Lett.* **2009**, 38 (7), 738–739.
100. Guo, Q.; Yang, H.; Liu, H.; Jiang, Y.; Fu, H. Easy and Efficient Copper-Catalyzed Synthesis of Bicyclic Pyrimidinones under Mild Conditions. *Synlett* **2010**, No. 17, 2611–2616.
101. Zhang, Z.; Wallace, M. B.; Feng, J.; Stafford, J. A.; Skene, R. J.; Shi, L.; Lee, B.; Aertgeerts, K.; Jennings, A.; Xu, R.; Kassel, D. B.; Kaldor, S. W.; Navre, M.; Webb, D. R.; Gwaltney, S. L. Design and Synthesis of Pyrimidinone and Pyrimidinedione Inhibitors of Dipeptidyl Peptidase IV. *J. Med. Chem.* **2011**, 54 (2), 510–524.
102. Bach, A.; Eildal, J. N. N.; Stuhr-Hansen, N.; Deeskamp, R.; Gottschalk, M.; Pedersen, S. W.; Kristensen, A. S.; Strømgaard, K. Cell-Permeable and Plasma-Stable Peptidomimetic Inhibitors of the Postsynaptic Density-95/N-Methyl-D-Aspartate Receptor Interaction. *J. Med. Chem.* **2011**, 54 (5), 1333–1346.
103. Sasiambarrena, L. D.; Cánepa, A. S.; Luna, C. N.; Bravo, R. D. Intramolecular Sulfonylamidomethylation of 2-(2-Naphthyl) and 2-(1-Naphthyl)Ethanesulfonamides: Synthesis of New Class of Naphthosultams. *Tetrahedron Lett.* **2015**, 56 (16), 2054–2058.
104. Jin, F.; Confalone, P. N. Palladium-Catalyzed Cyanation Reactions of Aryl Chlorides. *Tetrahedron Lett.* **2000**, 41 (18), 3271–3273.
105. Ohe, K.; Miki, K.; Yokoi, T.; Nishino, F.; Uemura, S. Novel Pyranylidene Complexes from Group 6 Transition Metals and β -Ethynyl α,β -Unsaturated Carbonyl Compounds. *Organometallics* **2000**, 19 (25), 5525–5528.
106. Himo, F.; Lovell, T.; Hilgraf, R.; Rostovtsev, V. V.; Noodleman, L.; Sharpless, K. B.; Fokin, V. V. Copper(I)-Catalyzed Synthesis of Azoles. DFT Study Predicts Unprecedented Reactivity and Intermediates. *J. Am. Chem. Soc.* **2005**, 127 (1), 210–216.
107. Andersen, J.; Madsen, U.; Björkling, F.; Liang, X. Rapid Synthesis of Aryl Azides from Aryl Halides under Mild Conditions. *Synlett* **2005**, No. 14, 2209–2213.
108. Trost, B. M.; Kalnmais, C. A. Stereoselective Synthesis of Exocyclic Tetrasubstituted Vinyl Halides via Ru-Catalyzed Halotropic Cycloisomerization of 1,6-Haloenynes. *Org. Lett.* **2017**, 19 (9), 2346–2349.
109. Horváth, P.; Šebej, P.; Šolomek, T.; Klán, P. Small-Molecule Fluorophores with Large Stokes Shifts: 9-Iminopyronin Analogues as Clickable Tags. *J. Org. Chem.* **2015**, 80 (3), 1299–1311.
110. Tran, K.-V.; Bickar, D. Dakin-West Synthesis of β -Aryl Ketones. *J. Org. Chem.* **2006**, 71 (13), 6640–6643.
111. Choi, H. Y.; Chi, D. Y. Nonselective Bromination-Selective Debromination Strategy: Selective Bromination of Unsymmetrical Ketones on Singly Activated Carbon against Doubly Activated Carbon. *Org. Lett.* **2003**, 5 (4), 411–414.
112. Dhar, T. G. M.; Guo, J.; Shen, Z.; Pitts, W. J.; Gu, H. H.; Chen, B. C.; Zhao, R.; Bednarz, M. S.; Iwanowicz, E. J. A Modified Approach to 2-(N-Aryl)-1,3-Oxazoles: Application to the Synthesis of the IMPDH Inhibitor BMS-337197 and Analogues. *Org. Lett.* **2002**, 4 (12), 2091–2093.
113. Olsen, E. P. K. K.; Arrechea, P. L.; Buchwald, S. L. Mechanistic Insight Leads to a Ligand Which Facilitates the Palladium-Catalyzed Formation of 2-(Hetero)Arylaminooxazoles and 4-(Hetero)Arylaminothiazoles. *Angew. Chemie Int.*

Ed. **2017**, *56* (35), 10569–10572.

114. Barlaam, B. Identifying High Quality, Potent and Selective Inhibitors of ATM Kinase: Discovery of AZD0156. In *53rd International Conference on Medicinal Chemistry Drug Discovery & Selection*; Toulouse, France, 2017; p 65.
115. Pike, K. G.; Barlaam, B.; Cadogan, E.; Campbell, A.; Chen, Y.; Colclough, N.; Davies, N. L.; De-Almeida, C.; Degorce, S. L.; Didelot, M.; Dishington, A.; Ducray, R.; Durant, S. T.; Hassall, L. A.; Holmes, J.; Hughes, G. D.; Macfaul, P. A.; Mulholland, K. R.; McGuire, T. M.; Ouvry, G.; Pass, M.; Robb, G.; Stratton, N.; Wang, Z.; Wilson, J.; Zhai, B.; Zhao, K.; Al-Huniti, N. The Identification of Potent, Selective, and Orally Available Inhibitors of Ataxia Telangiectasia Mutated (ATM) Kinase: The Discovery of AZD0156 (8-{6-[3-(Dimethylamino)Propoxy]Pyridin-3-yl}-3-Methyl-1-(Tetrahydro-2H-Pyran-4-yl)-1,3-Dihydro-2H-Imidazo[4,5-c]quinolin-2-one). *J. Med. Chem.* **2018**, *61* (9), 3823–3841.
116. Patani, G. A.; LaVoie, E. J. Bioisosterism: A Rational Approach in Drug Design. *Chem. Rev.* **1996**, *96* (8), 3147–3176.
117. Ciapetti, P.; Giethlen, B. *The practice of medicinal chemistry*; Wermuth, C. G., Ed.; 3rd Edition, Academic Press, Elsevier Ltd.: London, UK, 2008, 290 lpp.
118. Polyák, M.; Varga, G.; Szilágyi, B.; Juhász, L.; Docsa, T.; Gergely, P.; Begum, J.; Hayes, J. M.; Somsák, L. Synthesis, Enzyme Kinetics and Computational Evaluation of N-(β-d-Glucopyranosyl) Oxadiazolecarboxamides as Glycogen Phosphorylase Inhibitors. *Bioorg. Med. Chem.* **2013**, *21* (18), 5738–5747.
119. Kloek, J. A.; Leschinsky, K. L. An Improved Method for the Synthesis of Stabilized Primary Enamines and Imines. *J. Org. Chem.* **1978**, *43* (7), 1460–1462.
120. Li, J.-Y.; Chen, C.-Y.; Ho, W.-C.; Chen, S.-H.; Wu, C.-G. Unsymmetrical Squaraines Incorporating Quinoline for Near Infrared Responsive Dye-Sensitized Solar Cells. *Org. Lett.* **2012**, *14* (21), 5420–5423.
121. Thomas, J.; Mi, S.; Lin, E. Y.-S.; Zheng, G. Z.; Ma, B.; Caldwell, R. D.; Guckian, K.; Kumaravel, G. Preparation of Quinolinylmethyl- or Naphthalenemethylpiperidine carboxylic Acid Derivatives as S1P Modulating Agents. WO 2012109108, 2012.
122. Iwano, S.; Obata, R.; Miura, C.; Kiyama, M.; Hama, K.; Nakamura, M.; Amano, Y.; Kojima, S.; Hirano, T.; Maki, S.; Niwa, H. Development of Simple Firefly Luciferin Analogs Emitting Blue, Green, Red, and near-Infrared Biological Window Light. *Tetrahedron* **2013**, *69* (19), 3847–3856.
123. Khan, Z. A.; Wirth, T. Synthesis of Indene Derivatives via Electrophilic Cyclization. *Org. Lett.* **2009**, *11* (1), 229–231.
124. Park, K.; You, J.-M.; Jeon, S.; Lee, S. Palladium-Catalyzed Sonogashira Reaction for the Synthesis of Arylalkynecarboxylic Acids from Aryl Bromides at Low Temperature. *European J. Org. Chem.* **2013**, *2013* (10), 1973–1978.
125. Chen, L.; Xu, H.-H.; Yin, B.-L.; Xiao, C.; Hu, T.-S.; Wu, Y.-L. Synthesis and Antifeeding Activities of Tonghaosu Analogues. *J. Agric. Food Chem.* **2004**, *52* (22), 6719–6723.
126. Hajbi, Y.; Neagoie, C.; Biannic, B.; Chilloux, A.; Vedrenne, E.; Baldeyrou, B.; Bailly, C.; Mérour, J.-Y.; Rosca, S.; Routier, S.; Lansiaux, A. Synthesis and Biological Activities of New Furo[3,4-b]Carbazoles: Potential Topoisomerase II Inhibitors. *Eur. J. Med. Chem.* **2010**, *45* (11), 5428–5437.
127. Ando, K. Highly Selective Synthesis of Z-Unsaturated Esters by Using New Horner-Emmons Reagents, Ethyl (Diarylphosphono)Acetates. *J. Org. Chem.* **1997**, *62* (7), 1934–1939.
128. Chen, Y.; Zhang, X. P. Vitamin B12 Derivatives as Natural Asymmetric Catalysts: Enantioselective Cyclopropanation of Alkenes. *J. Org. Chem.* **2004**, *69* (7), 2431–

129. Wu, M.-J.; Lee, C.-Y.; Lin, C.-F. A Route to 5-Substituted Dibenzofurans by Anionic Cycloaromatization of 2-(6-Substituted 3-Hexen-1,5-Diynyl)Phenyl Tert-Butyldimethyl Ethers and Related Molecules. *Angew. Chemie Int. Ed.* **2002**, *41* (21), 4077–4079.
130. Xu, S.; Mao, L.; Ding, P.; Zhuang, X.; Zhou, Y.; Yu, L.; Liu, Y.; Nie, T.; Xu, T.; Xu, Y.; Liu, J.; Smaill, J.; Ren, X.; Wu, D.; Ding, K. 1-Benzyl-4-Phenyl-1H-1,2,3-Triazoles Improve the Transcriptional Functions of Estrogen-Related Receptor γ and Promote the Browning of White Adipose. *Bioorg. Med. Chem.* **2015**, *23* (13), 3751–3760.
131. Bohno, A.; Matsuda, D.; Otake, N.; Kakinuma, Hiroyuki Kobashi, Yohei Kawamura, Madoka Shiozawa, Fumiyasu Kawabe, K.; Iwata, Y.; Hamada, M. Condensed Heterocyclic Compound. WO2012086735 (A1), 2012.
132. Jan, S.-T.; Chang, K.-J.; Biciunas, K. P.; Ma, X. Diarylmethylpiperazines as μ - and δ -Opioid Receptor Modulators and Their Preparation, Pharmaceutical Compositions and Method of Use Thereof. WO 2006113468 A2, 2006.
133. Ogawa, T.; Ohta, K.; Iijima, T.; Suzuki, T.; Ohta, S.; Endo, Y. Synthesis and Biological Evaluation of P-Carborane Bisphenols and Their Derivatives: Structure–activity Relationship for Estrogenic Activity. *Bioorg. Med. Chem.* **2009**, *17* (3), 1109–1117.
134. Dantlgraber, G.; Shen, D.; Diele, S.; Tschierske, C. Antiferroelectric Switchable Mesophases of Nonchiral Bent-Core Liquid Crystals Containing Fluorinated Central Cores. *Chem. Mater.* **2002**, *14* (3), 1149–1158.
135. Krimmelbein, I. K. *Enantioselektive Totalsynthese von Desogestrel Und Synthese von Steroidanaloga Als Liganden Für Die Aktivierung von Maxi-K⁺-Kanälen Sowie Zur Induktion von Pflanzenpromotoren*; Cuvillier Verlag, 2007.
136. Ye, B.; Burke, T. R. A Concise Synthesis of the Differentiating Antibiotic L-Azatyrosine. *J. Org. Chem.* **1995**, *60* (8), 2640–2641.
137. Suzuki, T.; Ota, Y.; Ri, M.; Bando, M.; Gotoh, A.; Itoh, Y.; Tsumoto, H.; Tatum, P. R.; Mizukami, T.; Nakagawa, H.; Iida, S.; Ueda, R.; Shirahige, K.; Miyata, N. Rapid Discovery of Highly Potent and Selective Inhibitors of Histone Deacetylase 8 Using Click Chemistry to Generate Candidate Libraries. *J. Med. Chem.* **2012**, *55* (22), 9562–9575.
138. Elie, C.-R.; Hébert, A.; Charbonneau, M.; Haiun, A.; Schmitzer, A. R. Benzimidazolium-Based Synthetic Chloride and Calcium Transporters in Bacterial Membranes. *Org. Biomol. Chem.* **2013**, *11* (6), 923–928.
139. Yoshida, M.; Morishita, Y.; Fujita, M.; Ihara, M. Palladium-Catalyzed Cyclization Reactions of Propargylic Carbonates with Nucleophiles: A Methodology for the Syntheses of Substituted 2,3-Dihydrofuran and Benzofuran. *Tetrahedron* **2005**, *61* (18), 4381–4393.
140. Tanaka, K.; Wada, A.; Noguchi, K. Rhodium-Catalyzed Chemo-, Regio-, and Enantioselective [2 + 2 + 2] Cycloaddition of Alkynes with Isocyanates. *Org. Lett.* **2005**, *7* (21), 4737–4739.
141. Dell’Isola, A.; McLachlan, M. M. W.; Neuman, B. W.; Al-Mullah, H. M. N.; Binks, A. W. D.; Elvidge, W.; Shankland, K.; Cobb, A. J. A. Synthesis and Antiviral Properties of Spirocyclic [1,2,3]-Triazolooxazine Nucleosides. *Chem. - A Eur. J.* **2014**, *20* (37), 11685–11689.
142. Hack, D.; Chauhan, P.; Deckers, K.; Hermann, G. N.; Mertens, L.; Raabe, G.; Enders, D. Combining Silver Catalysis and Organocatalysis: A Sequential Michael Addition/Hydroalkoxylation One-Pot Approach to Annulated Coumarins. *Org. Lett.*

- 2014**, **16** (19), 5188–5191.
143. Kim, S. M.; Lee, D.; Hong, S. H. Gold(I)-Catalyzed, Stereocontrolled Enamide Synthesis from Primary Amides and Propargyl Aldehydes Using a Tandem Strategy. *Org. Lett.* **2014**, **16** (23), 6168–6171.
144. James, K. E.; Asgian, J. L.; Li, Z. Z.; Ekici, O. D.; Rubin, J. R.; Mikolajczyk, J.; Salvesen, G. S.; Powers, J. C. Design, Synthesis, and Evaluation of Aza-Peptide Epoxides as Selective and Potent Inhibitors of Caspases-1, -3, -6, and -8. *J. Med. Chem.* **2004**, **47** (6), 1553–1574.
145. van Veldhoven, J. P. D.; Liu, R.; Thee, S. A.; Wouters, Y.; Verhoork, S. J. M.; Mooiman, C.; Louvel, J.; IJzerman, A. P. Affinity and Kinetics Study of Anthranilic Acids as HCA2 Receptor Agonists. *Bioorg. Med. Chem.* **2014**, **23** (14), 4013–4025.
146. Friedman, A. A.; Panteleev, J.; Tsoung, J.; Huynh, V.; Lautens, M. Rh/Pd Catalysis with Chiral and Achiral Ligands: Domino Synthesis of Aza-Dihydrodibenzoxepines. *Angew. Chemie - Int. Ed.* **2013**, **52** (37), 9755–9758.
147. Gràcia, J.; Buil, M. A.; Castro, J.; Eichhorn, P.; Ferrer, M.; Gavaldà, A.; Hernández, B.; Segarra, V.; Lehner, M. D.; Moreno, I.; Pagès, L.; Roberts, R. S.; Serrat, J.; Sevilla, S.; Taltavull, J.; Andrés, M.; Cabedo, J.; Vilella, D.; Calama, E.; Carcasona, C.; Miralpeix, M. Biphenyl Pyridazinone Derivatives as Inhaled PDE4 Inhibitors: Structural Biology and Structure-Activity Relationships. *J. Med. Chem.* **2016**, **59** (23), 10479–10497.
148. Amézquita-Valencia, M.; Alper, H. Regioselective Alkoxy carbonylation of Allyl Phenyl Ethers Catalyzed by Pd/Dppb under Syngas Conditions. *J. Org. Chem.* **2016**, **81** (9), 3860–3867.
149. Treitler, D. S.; Leung, S.; Lindrud, M. Development and Demonstration of a Safer Protocol for the Synthesis of 5-Aryltetrazoles from Aryl Nitriles. *Org. Process Res. Dev.* **2017**, **21** (3), 460–467.
150. Atkinson, R. S.; Grimshire, M. J. Intramolecular Reactions of N-Nitrenes with Alkynes: Conformational Anchoring in Spiro-Fused 2H-Azirines Robert. *J. Chem. Soc. Perkin Trans. 1* **1986**, **0** (0), 1215–1224.
151. Liu, X.-Y.; Che, C.-M. A Highly Efficient and Selective AuI-Catalyzed Tandem Synthesis of Diversely Substituted Pyrrolo[1,2-a]Quinolines in Aqueous Media. *Angew. Chemie Int. Ed.* **2008**, **47** (20), 3805–3810.
152. Kim, D. W.; Song, C. E.; Chi, D. Y. Significantly Enhanced Reactivities of the Nucleophilic Substitution Reactions in Ionic Liquid. *J. Org. Chem.* **2003**, **68** (11), 4281–4285.
153. Zhou, H. J.; Wang, J.; Yao, B.; Wong, S.; Djakovic, S.; Kumar, B.; Rice, J.; Valle, E.; Soriano, F.; Menon, M. K.; Madriaga, A.; Kiss Von Soly, S.; Kumar, A.; Parlati, F.; Yakes, F. M.; Shawver, L.; Le Moigne, R.; Anderson, D. J.; Rolfe, M.; Wustrow, D. Discovery of a First-in-Class, Potent, Selective, and Orally Bioavailable Inhibitor of the P97 AAA ATPase (CB-5083). *J. Med. Chem.* **2015**, **58** (24), 9480–9497.
154. Sakai, N.; Kawana, K.; Ikeda, R.; Nakaike, Y.; Konakahara, T. InBr₃-Catalyzed Deoxygenation of Carboxylic Acids with a Hydrosilane: Reductive Conversion of Aliphatic or Aromatic Carboxylic Acids to Primary Alcohols or Diphenylmethanes. *European J. Org. Chem.* **2011**, **2011** (17), 3178–3183.
155. Li, J.; Okuda, Y.; Zhao, J.; Mori, S.; Nishihara, Y. Skeletal Rearrangement of Cyano-Substituted Iminoisobenzofurans into Alkyl 2-Cyanobenzoates Catalyzed by B(C₆F₅)₃. *Org. Lett.* **2014**, **16** (19), 5220–5223.
156. Chen, Y. H.; Tüllmann, C. P.; Ellwart, M.; Knochel, P. Preparation of Solid Polyfunctional Alkynylzinc Pivalates with Enhanced Air and Moisture Stability for Organic Synthesis. *Angew. Chemie - Int. Ed.* **2017**, **56** (31), 9236–9239.

157. Vellakkaran, M.; Andappan, M. M. S.; Kommu, N. Replacing a Stoichiometric Silver Oxidant with Air: Ligated Pd(Ii)-Catalysis to β -Aryl Carbonyl Derivatives with Improved Chemoselectivity. *Green Chem.* **2014**, *16* (5), 2788.
158. Zhang, G.; Hu, X.; Chiang, C.-W.; Yi, H.; Pei, P.; Singh, A. K.; Lei, A. Anti-Markovnikov Oxidation of β -Alkyl Styrenes with H₂O as the Terminal Oxidant. *J. Am. Chem. Soc.* **2016**, *138* (37), 12037–12040.
159. Pesce, E.; Bellotti, M.; Liessi, N.; Guariento, S.; Damonte, G.; Cichero, E.; Galatini, A.; Salis, A.; Gianotti, A.; Pedemonte, N.; Zegarra-Moran, O.; Fossa, P.; Galietta, L. J. V.; Millo, E. Synthesis and Structure–activity Relationship of Aminoarylthiazole Derivatives as Correctors of the Chloride Transport Defect in Cystic Fibrosis. *Eur. J. Med. Chem.* **2015**, *99*, 14–35.

PATEICĪBAS

Vēlos pateikties visiem, kas dažādi palīdzēja man promocijas darba tapšanas laikā. Paldies manam darba vadītājam LOSI vadošajam pētniekam *Dr. Chem.* Eināram Ložam par idejām, vērtīgiem padomiem, zinātniskajām diskusijām un atbalstu.

Paldies kolēģiem Mārtiņam Ikauniekam un Ilzei Kaulai par atsevišķu darbā iekļauto savienojumu sintēzi, pozitīvu attieksmi un uzmundrinājumiem. Paldies Viktoram Andrianovam par diskusijām un palīdzību laboratorijā; Marinai Madrei par ieguldījumu disertācijas rakstīšanā.

Izsaku pateicību Ilonai Mandrikai un Ramonai Petrovskai (BMC) par savienojumu bioloģiskās aktivitātes noteikšanu.

Paldies Anatolijam Mišņovam par rentgenstruktūralīzes datiem.

Pateicība valsts pētījumu programmas “Biomedicīna sabiedrības veselībai” projektam Nr. 2 “Diabēta un kardiovaskulāro komplikāciju molekulārie mehānismi, farmakoģēnētika un jauni ārstniecības līdzekļi” un Latvijas Organiskās sintēzes institūtam par finansiālo atbalstu.

Sirsnīgs paldies ģimenei un īpašs paldies māmiņai par to, ka iemācīja labi darīt savu darbu un pabeigt iesākto. Paldies Artūram par bezgalīgo pacietību.